

[한우자조금관리위원회 연구용역 최종보고서]

**한우고기 펩타이드의 근육세포 퇴화 억제 효과 구명**

**2021년 4월**

**서울대학교 산학협력단**

본 연구결과는 연구진의 의견 및 주장이며 한우자조금의 공식입장과는 다를 수 있음

[한우자조금관리위원회 연구용역 최종보고서]

**한우고기 펩타이드의 근육세포 퇴화 억제 효과 구명**

**2021년 4월**

**서울대학교 산학협력단**

# 제 출 문

한우자조금관리위원회 귀하

본 보고서를 「한우고기 펩타이드의 근육세포 퇴화 억제 효과 구명」의  
최종연구보고서로 제출합니다.

2021년 4월

- 과제수행연구기관 : 서울대학교 산학협력단
- 책 임연구원 : 김갑돈 (서울대학교)
- 연구원 : 정명일 ((주)건세바이오텍)  
정은영 (서울대학교)  
황미진 (소중한유외과의원)
- 연구보조원 : 송수민 (서울대학교)  
송민근 (서울대학교)

# 목 차

---

## 제1장. 연구개요

제1절. 연구의 배경 및 필요성 .....	1
1. 연구의 배경 .....	1
2. 연구의 필요성 .....	10

## 제2장. 연구목표 및 연구방법

제1절. 연구목표 .....	11
제2절. 연구방법 .....	11
1. 한우고기 부위별 자연생성 펩타이드 구명 .....	11
2. 한우고기 유래 펩타이드의 인체 내 소화-흡수 특성 .....	15
3. 세포 및 동물실험을 통한 근육세포 퇴화 억제능 구명 .....	18

## 제3장. 연구결과

제1절. 한우고기 부위별 근섬유 특성 및 이화학적 특성 비교 .....	21
1. 주요 부위별 근섬유 특성 비교 .....	21
2. 주요 부위별 이화학적 특성 비교 .....	23
제2절. 한우고기 부위별 자연생성 펩타이드 및 구성 아미노산 조성 변화 .....	25
1. 저장 중 한우고기 내 proteolysis-induced peptides 분석 결과 .....	25
2. 한우고기의 구성 아미노산 조성 .....	29
3. 생리활성 peptide 탐색 .....	30
제3절. 한우고기 유래 펩타이드의 인체 내 소화-흡수 특성 .....	31
1. 인체소화액( <i>In vitro</i> digestion) 적용 후 펩타이드 변화 .....	31
2. 인체소화액( <i>In vitro</i> digestion) 적용 후 아미노산 조성 변화 .....	40
3. 냉장 저장이 한우고기의 소화율에 미치는 영향 .....	44
제4절. 세포 및 동물실험을 통한 근육퇴화 억제능 구명 결과 .....	48
1. 장상피세포모델(Caco-2 cell) 적용을 통한 펩타이드 인체 이용성 분석 .....	48
2. 한우고기 유래 저분자 물질이 근아세포(C2C12 cell) 분화에 미치는 영향 .....	50

3. 한우고기 유래 저분자 물질이 실험동물의 근육퇴화 억제에 미치는 영향.....	51
---	----

#### 제4장. 요약 및 결론

제1절. 주요 결과 요약.....	64
제2절. 결론 .....	67

참고문헌 .....	69
------------	----

[별첨 1] 주요 용어 설명 .....	71
-----------------------	----

[별첨 2] 저장 중 한우고기에서 생성된 펩타이드 목록 .....	72
--------------------------------------	----

[별첨 3] 인체소화액( <i>In vitro</i> digestion) 모델 적용 후 한우고기에서 생성된 펩타이드 목록 .....	86
---	----

## 표 목차

---

[표 1] 한우자조금관리위원회 선행조사연구 주요사례	1
[표 2] 한우고기 관련 주요 논문 및 특허 현황	4
[표 3] 연도별 쇠고기 수급현황	6
[표 4] 한우의 기능적 효과에 대한 인식 현황	8
[표 5] 공시된 한우 도체 정보	12
[표 6] 저장 중 한우고기 내 단백질 종류별 펩타이드 수	25
[표 7] 한우고기 부위별 구성 아미노산 조성(%) 비교	29
[표 8] 인체소화액 적용 후 한우고기 내 단백질 종류별 펩타이드 수	32
[표 9] 인체소화액( <i>In vitro</i> digestion) 적용 전후의 호주산 등심 근육의 단백질 종류별 펩타이드 수	41
[표 10] Caco-2 monolayer 투과실험을 통해 얻은 한우고기 및 수입 쇠고기 유래 펩타이드	56

## 그림 목차

---

[그림 1] 2020년 한우고기 소비·유통 모니터링 결과.....	7
[그림 2] 노화에 따른 근육 감소(sarcopenia) 시작.....	9
[그림 3] 한우고기 주요 부위별 저장 중 자연생성 펩타이드 분석 모식도.....	11
[그림 4] 한우고기 유래 펩타이드 인체 내 소화-흡수 실험 모식도 .....	15
[그림 5] 한우고기 유래 펩타이드 급여 동물실험 모식도 .....	18
[그림 6] 한우 주요 부위별 근섬유 특성 비교.....	22
[그림 7] 한우 우둔, 사태 및 설도 부위의 일반성분 및 저장 중 육질 특성 비교.....	24
[그림 8] 저장 동안 한우 채끝, 안심 및 양지의 단백질 분해 정도 .....	27
[그림 9] 저장 동안 한우 우둔, 설도 및 사태의 단백질 분해 정도 .....	28
[그림 10] 인체소화액 적용 후 가열 한우고기(채끝, 안심, 양지)의 단백질 변화.....	33
[그림 11] 인체소화액 적용 후 가열 한우고기(우둔, 설도, 사태)의 단백질 변화.....	34
[그림 12] 인체소화액 적용 후 한우고기 채끝, 안심, 양지에서 확인된 펩타이드의 길이 별 출현 빈도 .....	37
[그림 13] 인체소화액 적용 후 한우고기 우둔, 설도, 사태에서 확인된 펩타이드의 길이 별 출현 빈도 .....	38
[그림 14] 인체소화액 적용 전후의 한우고기 내에서 확인된 펩타이드 농도 변화.....	39
[그림 15] 저장 기간별 한우 주요 부위의 인체소화액 적용 후 아미노산 조성 변화....	42
[그림 16] 인체소화액 적용 전후 한우고기의 아미노산 조성 비교.....	43
[그림 17] 저장 기간별 한우고기의 인체소화액 적용 후 잔존 단백질 함량 비교 .....	44
[그림 18] 저장 기간별 한우고기의 인체소화액 적용 전후 펩타이드 농도 비교 .....	45
[그림 19] 저장 기간별 한우고기의 인체소화액 적용에 따른 소화율 차이 .....	47
[그림 20] 한우고기 저분자 추출물을 배양액에 첨가하여 분화시킨 마우스 근아세포 (C2C12 cell) 특성 .....	50
[그림 21] 4주 동안 한우고기 저분자 추출물을 급여한 동물실험 처리군별 체중, 사료 및 물 섭취량 비교 .....	51
[그림 22] 한우고기 저분자 추출물과 가수분해물을 급여한 실험동물의 주요 장기 및 근 육 무게 비교 .....	52
[그림 23] 저장 기간별 한우고기 저분자 추출물을 급여한 실험동물의 주요 장기 및 근	

육 무게 비교	54
[그림 24] 마우스 <i>M. tibialis anterior</i> 의 근섬유 염색 결과	56
[그림 25] 마우스 <i>M. tibialis anterior</i> 근섬유 특성 비교	57
[그림 26] Longevity regulating pathway	59
[그림 27] mTOR signaling pathway	60
[그림 28] 근육단백질 합성 및 산화적 스트레스 대응 연관 mRNA 발현 비교	61
[그림 29] 미토콘드리아 생합성, 산화적 스트레스 대응과 근육 단백질 합성 연관 mRNA 발현 비교 및 처리구 간 PCA 분석 결과	62
[그림 30] 선행연구(D' Antona 등, 2010)에서 대조군과 BCAA 급여군의 생존율 및 주요 근육의 근섬유 크기 비교 결과	63
[그림 31] 한우고기 섭취의 노화로 인한 근육기능 퇴화 억제 효과에 대한 모식도	68

# 제1장 연구개요

## 제1절. 연구의 배경 및 필요성

### 1. 연구의 배경

- 한우 및 한우고기의 우수성은 크게 두 가지의 카테고리, 즉 “품질 및 위생 관리”와 “한우의 효능”으로 구분하여 정리할 수 있음. 철저한 유전자 및 개체 관리를 통해 우수 형질의 유전혈통을 유지하고, 생산부터 소비에 이르기까지 위생안전성을 확보하고 있으며, 또한 축산물등급제 및 이력제를 통해 개체별 품질 및 안전성 관리를 하고 있음.
- 지속적인 조사연구사업을 통해 한우고기가 지닌 영양적, 기능적, 품질적 가치를 구명해 왔음. 주요 선행조사연구 사례(표 1)에서와 같이 수입육 대비 한우고기가 지닌 영양적 가치는 탁월할 뿐만 아니라 건강에 이로운 기능성 물질을 다양하게 함유하고 있는 것으로 보고되었음.
- 현재까지 수행한 주요 연구 결과는 한우고기가 함유한 물질 또는 추출물(conjugated linoleic acid(CLA), 저분자 펩타이드, 한우고기 소화물, branched chain amino acid(BCAA), 사골추출물)이 항산화, 항고혈압, 항대장암, 면역기능 개선 및 혈중 콜레스테롤 개선 효과가 있음을 과학적으로 구명하였음.

[표 1] 한우자조금관리위원회 선행조사연구 주요사례

구 분	제 목	연 구 내 용
영양적 가치	한우의 육질등급별 39개 소분할 육의 영양성분 및 품질 조사 (2014-2015)	<ul style="list-style-type: none"><li>○ 소도체 대분할육 및 소분할육별 영양성분 조사 : 10개의 대분할육별/39개의 소분할육별 영양성분 및 품질 조사</li><li>○ 한우 품질 등급별로 구분하여 각 부위별 영양성분 및 품질 조사 : 육질등급(1++, 1+, 1, 2, 3)별 및 각 부위별 영양성분 및 품질 조사, 등급 및 부위별 영양성분표 작성</li><li>○ 영양 성분과 품질을 고려한 각 부위별 활용방법 탐색 : 각 부위별 영양성분과 품질을 고려한 활용법 조사 및 이용 매뉴얼 작성</li></ul>
	인체 유익한 단	<ul style="list-style-type: none"><li>○ 사료급여 조절을 통한 단가불포화지방산 증진 기술</li></ul>

	가불포화지방산 증대 한우고기 생산 기술 개발 (2014-2016)	개발 : 비육능력(사료섭취량, 중체량), 도체등급(육량, 육질등급), 일반조성분, 지방산, 융점, 경제성 분석 ○ 비타민 C 급여 조절을 통한 단가불포화지방산 증진 기술 개발 : 비육능력(사료섭취량, 중체량), 도체등급(육량, 육질등급), 일반조성분, 지방산, 융점, 경제성 분석
기능성(생리활성)	한우육의 면역기능 개선효과 규명 연구 (2017-2018)	○ 한우육 인공소화 분해물 제조 및 항산화 활성 규명 ○ 한우육 인공소화 분해물의 면역기능 증진 효과 규명
	한우고기 지방의 혈중 콜레스테롤 개선 효과 구명 연구(2016-2017)	○ 목초비육과 곡물비육 소고기의 육질, 지방산 조성 및 근섬유 조성 차이, 혈관건강에 미치는 영향 조사 ○ 곡물비육 한우고기의 지방산 조성이 혈중 콜레스테롤 개선에 미치는 효과 구명
	한우육 내 생리 활성물질의 변화와 대장암 억제 메카니즘 영향 규명 연구 (2015-2017)	○ 한우육의 냉장 저장 중 품질 특성 확인 ○ 냉장 저장 중 한우육 및 수입육내 항산화 생리활성 기능물질의 분리 및 확인 ○ 냉장 저장기간 중 분리한 한우육내 유용 펩타이드의 기전 연구 및 유전자의 발현 조절기전 ○ 대장암 세포주를 이용한 한우육의 냉장 저장 중 생리활성 기능물질 및 항산화 기능 검증 ○ 실험동물 급여실험을 통한 장내 미생물 균총의 변화 및 대장암 관련 유전자 변화 규명
	한우 뼈 부위별 (사골, 꼬리, 우족) 국물의 건강 기능성 연구 (2013-2014)	○ 한우 및 수입육 뼈 부위별(사골,꼬리,우족) 국물의 조리 최적화 및 기능성 성분 분석 ○ 한우 및 수입육의 뼈 부위별(사골,꼬리,우족) 국물의 세포주 이용 기능성 활성, 피부 활성에 미치는 기능성 연구 ○ 한우 뼈 부위별(사골,꼬리,우족) 국물의 기능성 향상을 위한 부재료 발굴
	한우고기의 건강 기능성 특성 구명에 관한 연구 (2011-2012)	○ 한우고기와 수입고기의 건강 기능성 성분 비교 분석 ○ 실험동물을 이용한 한우고기와 수입고기의 기능성 비교 연구 ○ 임상실험을 통한 한우고기와 수입고기의 기능성 비교 연구
활용가치	한우고기 예찬 (2012-2013)	○ 한우산업 현황 및 소고기 수급현황 조사 ○ 한우 및 한우고기의 역사적 가치 재조명 ○ 한우고기의 우수성 조사 및 건강에 미치는 효과 조사 ○ 수입쇠고기의 품질적 단점 조사 ○ 한우고기를 이용한 다양한 요리 조사
	한우고기 건식숙성 방법설정 연구 (2015-2016)	○ 건식숙성 쇠고기 유통현황 조사 ○ 건식숙성에 의한 한우고기 품질향상 효과 규명 ○ 한우고기 건식숙성 적정 조건 설정 연구 ○ 보급형 건식숙성방법 가이드라인 제시
	한국인 식문화에	○ 인터넷 검색 및 문현 조사를 통한 기존 메뉴 자료

	<p>맞는 저지방 부위 한우 이용 메뉴 개발 및 실용성 연구(2011)</p>	<p>수집</p> <ul style="list-style-type: none"> <li>○ 시식 및 현장 방문을 통한 활용 가능 메뉴 발굴</li> <li>○ 외식업체 및 단체급식소의 한우 메뉴 사용현황 조사 및 문제점 분석</li> <li>○ 한우 선호부위를 이용하여 개발된 기존 비인기 메뉴의 개선</li> <li>○ 정육 부위 한우를 활용한 메뉴 개발</li> <li>○ 한우이용 음식의 맛과 영양의 향상을 위한 부재료 발굴 및 응용</li> <li>○ 한우 및 수입육 이용 음식의 조리과정 비교</li> <li>○ 한우 및 수입육 이용 음식의 관능평가를 통한 소비자 선호도 조사를 통한 한우 이용 음식의 우수성 입증</li> </ul>
	<p>한우육을 사용한 내장부위 요리 개발 연구(2011)</p>	<ul style="list-style-type: none"> <li>○ 한우의 내장 부위를 부위별로 영양학측면에서도 우수하고 맛있게 만들어 먹을 수 있는 다양한 요리를 개발 및 연구</li> <li>○ 영양학적 측면과 칼로리를 고려하여 조리법 분석 및 요리 개발</li> <li>○ 내장 각 부위별 세척, 손질 방법, 효능 및 성분 연구</li> <li>○ 한우 내장 부위 vs 수입 내장 부위 비교 분석</li> <li>○ 콜레스테롤 수치가 높은 내장 부위를 다양한 조리법과 식재료의 활용으로 줄일 수 있는 레서피 및 조리 연구</li> <li>○ 내장부위의 일품 요리 구성과 반찬 등의 side dish 구성 가능 용도의 레시피 연구</li> </ul>
	<p>한우육을 사용한 보신 및 명품 부위 요리 개발 연구(2010-2011)</p>	<ul style="list-style-type: none"> <li>○ 보신 및 명품부위의 특성 분석</li> <li>○ 한우 보신, 명품 부위 요리 연구 개발</li> <li>○ 한우 보신, 명품 부위의 영양학적 분석</li> </ul>
	<p>한우 요리법에 따른 고기맛 증대연구(2007)</p>	<ul style="list-style-type: none"> <li>○ 현대인의 입맛을 충족시키고 영양학적으로도 가치가 있는 기존의 조리법을 바탕으로 여러나라의 조리법을 응용하여 조리법을 개발</li> </ul>
	<p>저지방 부위육을 이용한 편이형 가공제품 개발 (2009-2010)</p>	<ul style="list-style-type: none"> <li>○ 저지방 부위육의 정의설정 및 상온유통 불고기에 적합한 원료육 부위 선정</li> <li>○ 상온 유통 불고기용으로 원료육 전처리 조건 및 배합비 선정, 가공제품의 저장중 품질변화 분석</li> <li>○ 가열처리 조건 선정</li> </ul>

- 그러나 대부분의 연구는 신선육 또는 신선육에서 유래한 물질을 대상으로 하고 있음. 실제 한우고기는 대부분 구이, 볶음, 전골, 삶기 등을 통해 가열된 형태로 섭취하게 되고, 또한 섭취한 한우고기는 인체 내 위장관에서 소화된 뒤 흡수되어 에너지원 및 영양원 등으로 이용됨.
- 선행연구에서 인체소화액을 적용한 한우고기 및 사골추출물의 기능성 검증 사례가

있으나 조리 등 가열과정과 인체소화액 모델을 모두 적용한 연구 사례는 없는 것으로 조사됨.

- 따라서 소비자가 한우고기를 섭취하는 방법과 섭취 후 인체내에서 한우고기 유래 기능성 물질의 안정성 및 이용성이 모두 검증되어야 한우고기의 섭취와 기능성에 대한 보다 현실적이고 정확한 근거를 제시할 수 있음.
- 한우고기의 소비촉진 및 우수성 구명을 목적으로 수행된 연구는 대부분 수입육과의 품질 및 영양적 특성을 비교한 것과 한우 정육 부위를 활용한 육제품 개발이 주를 이루고 있음(표 2). 그러나 한우고기가 수입육 대비 품질 및 영양적으로 우수함에도 불구하고 한우고기 소비량의 증가율은 크게 개선되지 않고 있으며, 오히려 자급률은 2013년 50.1%에서 2019년에 36.5%로 대폭 감소한 실정임(표 3).
- 다시 말해 쇠고기 소비량( $10.3\text{kg} \rightarrow 13.0\text{kg}$ )은 소폭 증가하였으나, 자급률( $50.1\% \rightarrow 36.5\%$ )이 크게 감소한 것은 소비자가 한우고기보다 수입산 쇠고기를 더 많이 소비하는 것을 나타냄.
- 따라서, 한우고기에 대한 현재의 소비자 인식을 직시하여 개선방법 및 방향을 찾는 것이 시급함.

[표 2] 한우고기 관련 주요 논문 및 특허 현황

구 분	내 용	주요결과
논 문	Anti-aging effects of the Hanwoo leg bone, foot and tail infusions (HLI, HFI and HTI) on skin fibroblast (Korean J Food Sci Ani, 2016)	한우 사골 추출물이 피부 탄력성에 효과가 있음.
	Meat quality of highly marbled imported beef with reference to Hanwoo beef (J Anim Sci & Technol, 2004)	한우고기가 더 높은 근내지방을 함유한 냉장 수입육보다 더 우수함.
	Effect of intramuscular fat content on the meat quality and antioxidative dipeptides of Hanwoo beef (Korean J Food & Nutr, 2013)	근내지방도가 한우육의 기능성분 (dipeptides) 함량의 차이에 영향 없음.
	한우육에 존재하는 Carnosine의 항산화	저장기간이 증가함에 따라 carnosine

	활성에 관한 연구(Kor J Anim Sci, 1999) 냉장한 제주흑우육, 한우육 및 호주산 수입우육의 품질 특성 비교(J East Asian Soc Dietary Life, 2012)	함량도 감소함. 제주흑우육은 철 및 아연 등의 무기물 함량과 불포화지방산 및 단가불포화지방산 함량이 한우육과 호주산 수입육보다 높은 결과를 나타냄.
	수입 등심육과 유기 한우의 품질특성 및 항산화 활성 비교(농업생명과학연구, 2016)	조지방, 보수력, 연도 및 다가불포화지방산 함량이 한우육에서 높은 값을 나타냄.
	등급제에 따른 한우육과 수입우육의 품질 비교(Korean J Anim Sci, 1994)	수입육은 품질적 측면에서 한우육의 2등급과 3등급 사이의 특성의 나타냄.
	한우고기와 뉴질랜드산 냉장수입육의 육질 및 영양성분 비교(Korean J Food Sci Ani Resour, 2011)	한우고기가 조지방함량과 보수력이 높은 특성을 나타냄.
	한우고기와 호주산 냉장수입육의 육질 및 영양성분 비교(Korean J Food Sci Ani Resour, 2011)	한우고기가 단가불포화지방산 함량이 높은 특성을 나타냄
특 허	가바(감마아미노부티르산) 성분이 함유된 기능성 쇠고기 및 이의 생산방법(등록번호 : 10-2009-0054144)	뽕잎을 급여하여 생산한 가바함유쇠고기 개발
	고급 육질을 위한 우육 건식 숙성 방법(등록번호 : 10-2018-0108552)	우육의 맛과 풍미를 증진시키는 건식 숙성 방법 개발
	식육을 이용한 육김 및 그 제조방법(등록번호 : 10-2012-0083817)	한우 정육 부위를 이용한 새로운 형태의 육제품(육김) 개발
	식육을 이용한 미트페이퍼의 제조방법 및 이를 이용하여 제조한 미트페이퍼(등록번호 : 10-2013-0055470)	한우 정육 부위를 이용한 새로운 형태의 육제품(미트페이퍼) 개발
	한우 저분자 추출물 또는 한우 유래 펩타이드를 함유하는 대장암 개선, 예방 또는 치료용 조성물(등록번호 : 10-2018-0106795)	우수한 항산화 활성을 가지고, 대장암 개선, 예방 또는 치료 효과가 우수한 한우 저분자(3kDa) 추출물 개발
	항암성분 CLA를 함유하는 고기능성 한우고기 생산기술(등록번호 : 10-2017-0125269)	아마씨앗 캡슐화 제품을 이용하여 한우고기 내 CLA 함량을 강화시키는 기술

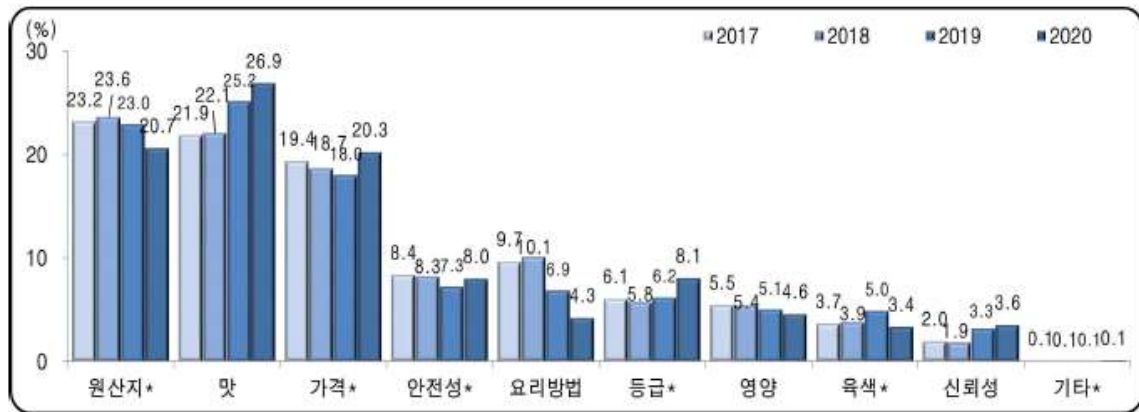
[표 3] 연도별 쇠고기 수급현황

구분	수요(천톤)	공급(천톤)	생산(천톤)	수입(천톤)	1인당 소비량(kg)	자급률(%)
2012	486	488	234	254	9.7	48.2
2013	519	519	260	257	10.3	50.1
2014	542	542	261	282	10.8	48.1
2015	554	554	244	290	10.7	45.9
2016	594	594	231	363	11.6	38.9
2017	583	583	239	344	11.3	41.0
2018	654	654	238	416	12.7	36.4
2019	672	672	245	427	13.0	36.5

(출처 : 농림축산식품부 주요통계, 국립축산과학원)

- 2020년 한우고기 소비 · 유통 모니터링(그림 1) 자료에 따르면 소비자들이 육류를 구입할 때 고려하는 주요 항목은 원산지, 맛, 가격 등이었으며, 쇠고기별 가격 만족도 지수는 수입산 쇠고기(호주산, 미국산, 기타)가 가장 높았고, 한우고기가 가장 낮았음.
- 한편, 한우고기 판매촉진을 위한 식육판매업자의 의견은 한우고기의 품질 우수성을 알리는 홍보와 가격안정화를 중요한 항목으로 꼽았으며(2020년 한우고기 소비 · 유통 모니터링), 한우 이미지 개선에 대한 소비자의 의견은 정확한 쇠고기 등급제에 대한 정보 전달(42.8%)과 한우고기의 성분, 영양관련 우수성 홍보(22.4%) 및 신뢰할 수 있는 판매점 홍보(22.2%)를 가장 중요한 항목으로 꼽았음(2017년 한우고기 소비 · 유통 모니터링).
- 대부분의 소비자들은 품질이 우수하고 안전한 한우고기를 선호하지만, 가격을 매우 부담스럽게 여기고 있어 한우고기 소비량 증대를 크게 기대할 수 없는 실정임.
- 한편, 한우고기의 우수성에 대한 조사연구를 꾸준히 수행해 온 결과, 최근에 한우고기가 함유한 기능성 성분과 그 효과에 대해 비교적 잘 구명이 되었는데, 이러한 정보를 소비자들이 현재 얼마나 인지 또는 인식하고 있는지 확인해 볼 필요가 있음. 아래(표 4)에 나타낸 바와 같이 면역력 및 발육 효과에 대한 인지도는 높았으나, 콜레스테롤 개선, 비만예방 및 대장암 억제 효과에 대한 인지도는 연령에 관계없이 대체로 낮은 수준을 나타내고 있어 이에 대한 홍보가 필요한 실정임.

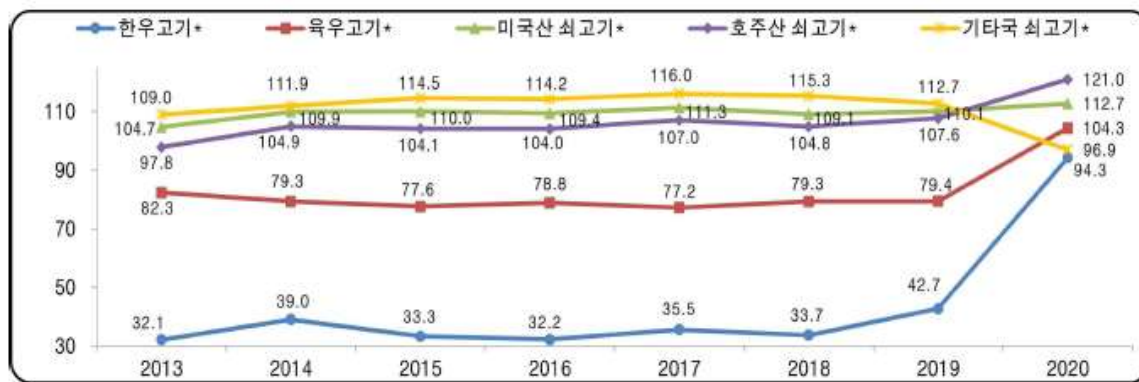
(A)



주1. 우선순위 응답의 결과에 가중치를 부여(1순위×3+2순위×2+3순위×1)하여 백분율로 계산한 수치임.

주2. \*은 2019년 대비 2020년의 결과가 95% 신뢰수준에서 유의한 차이가 있는 것으로 나타남.

(B)



주: \*은 2019년 대비 2020년의 결과가 95% 신뢰수준에서 유의한 차이가 있는 것으로 나타남.

[그림 1] 2020년 한우고기 소비·유통 모니터링 결과(한우자조금관리위원회, 2021).

(A) 육류 구입 시 고려 기준. (B) 쇠고기별 가격 만족도지수.

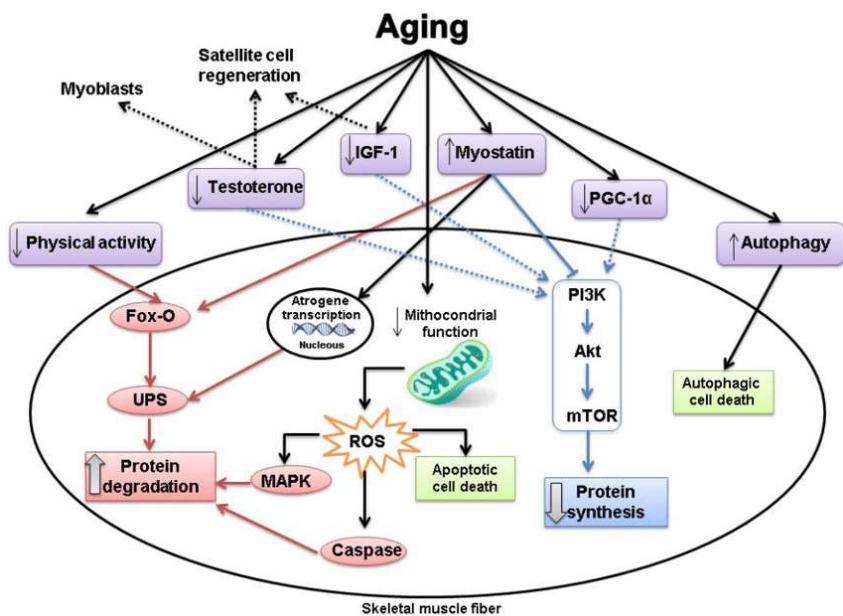
[표 4] 한우의 기능적 효과에 대한 인식 현황

(단위 : 점)

연령	면역력 향상		발육 효과		콜레스테롤 개선		비만예방효과		대장암 억제	
	인지도	동의도	인지도	동의도	인지도	동의도	인지도	동의도	인지도	동의도
20대	60.4	65.1	42.6	67.1	30.7	46.3	18.8	50.2	10.9	49.5
30대	66.3	65.3	56.5	68.6	21.5	46.1	17.9	48.9	11.0	47.8
40대	63.0	67.3	68.0	72.3	24.2	45.6	19.9	51.1	8.9	49.0
50대	71.8	69.3	68.8	71.3	22.9	46.9	18.0	50.1	12.4	48.6
60대	78.3	73.8	53.8	77.6	29.2	47.6	16.0	51.7	11.3	50.0
계	67.96	68.16	57.94	71.38	25.7	46.5	18.12	50.4	10.9	48.98

(출처 : 2017 한우자조금사업 홍보 효과 분석(한우자조금관리위원회, 2017))

- 보다 다양한 한우고기의 기능성 또는 기능적 효과에 대한 과학적 근거를 마련하여 한우고기에 대한 소비자 인식개선과 소비촉진을 위한 홍보자료가 필요함.
- 현재 우리나라는 2017년에 65세 이상 노인 인구가 14.2%로 고령사회(UN, 14% 이상)에 진입하였고, 인구의 고령화는 기대수명의 지속적인 증가로 더욱 가속화되어 2025년에는 20%가 넘어 초고령사회가 될 것이라 예측하고 있음(통계청, 2017년도 노인실태조사).
- 노인 또는 고령층은 대체로 식욕부진 및 식품 섭취능력 저하로 인해 영양상태 불균형과 각종 신체기능이 약화되는데, 특히 노화에 의해 자연적으로 근감소증(sarcopenia)이 나타나 근육량이 점차 줄어들어 근육의 기능이 약화 됨(그림 2). 이러한 근육 기능의 약화는 대사성 질병의 발생률을 높이고 상해의 위험도 증가시키게 됨.



[그림 2] 노화에 따른 근육 감소(sarcopenia) 기작 (Gomes 등, 2017)

- 최근 고령사회에 대응하기 위한 다양한 정책과 사회적 노력을 기울이고 있으며, 특히 고령친화식품시장의 활성화를 위한 연구도 다수 수행되었음. 예컨대, 급속한 노인인구의 증가에 효과적인 대응을 위해 노인 영양 및 건강상태 조사, 식품 소비 형태 및 식품에 대한 기호 조사, 식품업계 및 고령자 급식시설 공급 실태 등에 대한 조사 연구를 수행한 바가 있음(한국농촌경제연구원, 2017; 노인실태조사, 2017).
- 한우고기는 양질의 영양소 및 기능성 물질을 함유하고 있어 노인 건강에 매우 이로운 식품이지만, 다른 동물성 식품과 차별화된 노인 건강 기능성의 과학적 근거를 제시하여 고령친화식품으로서의 이미지를 선점할 필요가 있음.

## 2. 연구의 필요성

- 기존의 연구에서 한우고기 우수성에 대한 과학적 근거는 대부분 영양 및 품질적 우수성에 관한 것이 주를 이루며, 최근에 면역개선, 혈중 콜레스테롤 개선, 대장 질환 예방 및 개선, 피부 탄력성 개선 등에 대한 효과를 구명한 바가 있으나, 노화에 따른 근육감소 개선 및 근육기능 저하 억제 효과를 구명한 바가 없음.
- 우리나라는 2017년에 고령사회로 진입하였고, 점차 노인 인구가 지속적으로 증가하고 있는 추세임. 노화에 의해 근육량이 자연적으로 감소하여 근육이 약화되고, 그로 인해 각종 대사성 질병이 발생하거나 상해 등의 위험이 커짐. 따라서 꾸준한 운동과 양질의 음식 섭취로 근육을 강화시켜야 함.
- 최근 이러한 인구변화에 대응하여 고령친화식품산업이 발전하고 있음. 그러나 한우고기는 양질의 영양원이고 다양한 기능성 물질을 함유하고 있음에도 고령친화식품으로 인식되지 않고 있음.
- 따라서 노화에 의한 근육감소를 억제하고 근육기능 강화의 효과를 지닌 한우고기 유래 기능성 물질에 대한 연구가 수행된다면 고령친화식품으로 인식될 수 있음.

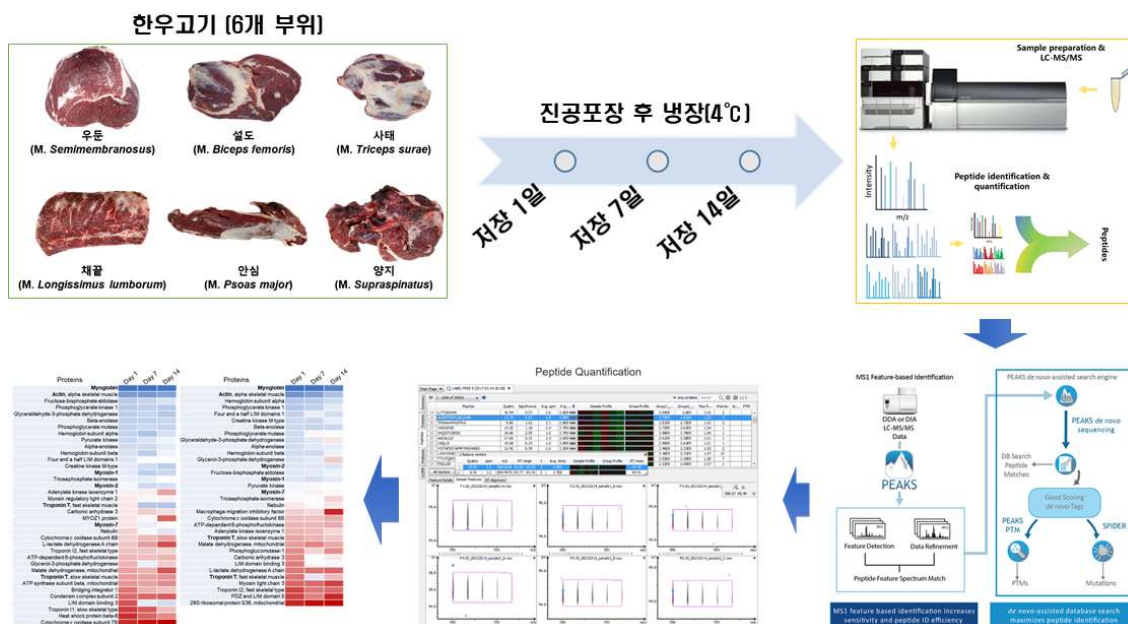
## 제2장 연구목표 및 연구방법

### 제1절. 연구목표

최종 목표		한우고기 펩타이드의 근육세포 퇴화 억제 효과 구명을 통해 고령친화식품의 과학적 근거 마련
세부 목표	(1단계)	한우고기 부위별 proteolysis-induced peptides 정성 및 정량 분석
	(2단계)	가열처리 후 <i>In vitro</i> digestion 모델로 소화시킨 한우고기 유래 아미노산과 펩타이드 정성 및 정량 분석
	(3단계)	한우고기 유래 BCAA 및 펩타이드의 근육세포 퇴화 억제 효과 검증

### 제2절. 연구방법

#### 1. 한우고기 부위별 자연생성 펩타이드 구명



[그림 3] 한우고기 주요 부위별 저장 중 자연생성 펩타이드 분석 모식도

#### 가. 공시재료

- 본 연구에 사용된 한우고기는 강원도 평창군 소재 도축장에서 도축된 한우 도체(4

두)에서 도축 후 1일에 채취하였음. 부위는 우둔(M. *semimembranosus*), 설도(M. *biceps femoris*), 사태(M. *triceps surae*), 채끝(M. *longissimus lumborum*), 안심(M. *psoas major*) 및 양지(M. *supraspinatus*) 등 총 6개 부위이며, 각 부위별 3개씩(3반복) 채취하여 냉장상태로 서울대학교 식육과학연구실로 이송한 뒤 실험에 사용하였다. 한우고기 주요 부위를 채취한 한우 도체 정보를 아래(표 5)에 나타내었음.

[표 5] 공시된 한우 도체 정보

개체이력번호	품종	성별	연령(개월)	도체중(kg)	육질등급
002117229474	한우	거세	31	392	2
002116832102	한우	거세	32	453	1
002120463951	한우	거세	31	445	1+
002120458120	한우	거세	31	447	1+
합계	4 두		31.3 ± 0.5	434 ± 28	

■ 한우고기 각 부위는 일정한 크기(약 5cm 두께)로 절단하여 진공포장 후, 4°C에서 6일 및 13일 동안 저장하였다.

■ 저장 중 생성된 펩타이드를 분석하기 위하여 도축 후 1일(Day 01), 저장 6일(Day 07) 및 저장 13일(Day 14)에 각각 시료를 채취하였음. 각 부위별 이화학적 특성 및 근섬유 특성을 위한 시료는 도축 후 1일에 채취하였다.

#### 나. 분석방법

##### (1) 이화학적 특성 분석

■ 조수분, 조회분 및 조단백 함량은 AOAC(2000) 방법으로 분석하였고, 조지방 함량은 Folch 등(1957)의 방법으로 분석하였다. pH는 시료 3 g을 채취하여 27 ml의 증류수와 함께 균질화한 후, pH-meter (MP230, Mettler Toledo, Switzerland)로 측정하였다. 육색은 색차계(CR-400, Minolta Co., Japan)를 이용하여 표준색판(Y=93.5, x=0.3132, y=0.3198)으로 보정 후 측정하여 CIE(Commission Internationale de

l' Eclairage) 체계로 명도(CIE L\*), 적색도(CIE a\*) 및 황색도(CIE b\*)로 나타내었음. 보수력은 포장감량, 육즙감량 및 가열감량으로 나타내었는데, 포장감량은 진공 포장 후 6일 및 13일 동안 냉장 저장으로 인해 발생된 육즙의 중량을 측정하였고, 육즙감량은 각 시료를 밀폐된 용기 속에 매달아 48시간 동안 빠져나온 육즙의 양을 측정하였으며, 가열감량은 시료의 심부 온도가 70°C에 도달할 때까지 항온수조 (75°C)에서 가열 후 빠져나온 육즙의 양을 측정하여 감량 전 시료 무게 대비 백분율(%)로 나타내었음. 모든 분석은 3반복으로 실시하였고 그 평균값을 각 시료의 대푯값으로 하였음.

- 구성 아미노산 분석을 위해 각 부위별 시료 2 g을 채취하여 6N HCl 용액 10 ml과 혼합한 뒤, 110°C에서 24시간 가수분해 후, Whatman No. 1 여과지로 여과한 뒤 농축기(Scanvasc, Labogene, Sweden)를 사용하여 농축하였음. 0.1N HCl로 희석 후, 0.45 μm membrane filter(Millipore, Merck, USA)로 여과한 뒤 HPLC(UltiMate 3000, Thermo Fisher Scientific, USA)로 분석하였다. 이때 분석용 컬럼은 C18 5μm\_120A (4.6X250mm; Thermo Fisher Scientific Inc., USA)를 사용하였고, 아미노산 정성 및 정량분석을 위해 아미노산 표준 혼합용액(AAS18, Merck, USA)를 사용하였다.

## (2) 펩타이드 정성 및 정량분석

- 각 시료에서 펩타이드 추출은 Gallego 등(2016)의 방법으로 수행하였음. 각 부위별 시료 50 g에 0.01N HCl 용액 200 ml을 혼합하여 10분 동안 stomacher(BagMixer®400, Interscience, France)를 이용하여 균질화하였음. 유리섬유에 여과 후 10,000 g에서 30분 동안 원심분리한 뒤, 상등액을 채취하여 0.01N NaOH 용액을 이용하여 pH를 7.0으로 조절하였음. 0.45 μm membrane filter로 여과한 뒤, 3-kDa cut-off centrifuge filter(Amicon® Ultra-15, Millipore, USA)로 여과 (10,000 g, 30분) 후 LC-MS/MS (LTQ-Orbitrap XL MS, EASY-nLC 1000 system, Thermo Fisher Scientific Inc., USA)로 분석하였으며, 이때 컬럼은 ZORBAX 300SB-C18(Agilent, USA)를 사용하였음. LC-MS/MS 분석을 위한 세부 조건은 Kim 등(2019)의 방법을 따라 설정하였다.

■ 펩타이드 정성 및 정량분석은 PEAKS Studio 10.0(Bioinformatics Solutions Inc., Canada)을 이용하였고, 이때 MS/MS spectra는 UniProt(<http://www.uniprot.org>, *Bos taurus* 9913(46,765 sequences)) 데이터베이스를 활용하여 분석하였다. 정성 분석된 각 펩타이드는 유래 단백질 종류에 따라 합산하여 한우고기 저장 기간에 따른 단백질 분해 정도를 비교하였다. 이때 정량분석은 PEAK Q algorithm(Bioinformatics Solutions Inc., Canada)을 이용한 Label-free quantification으로 실시하였다.

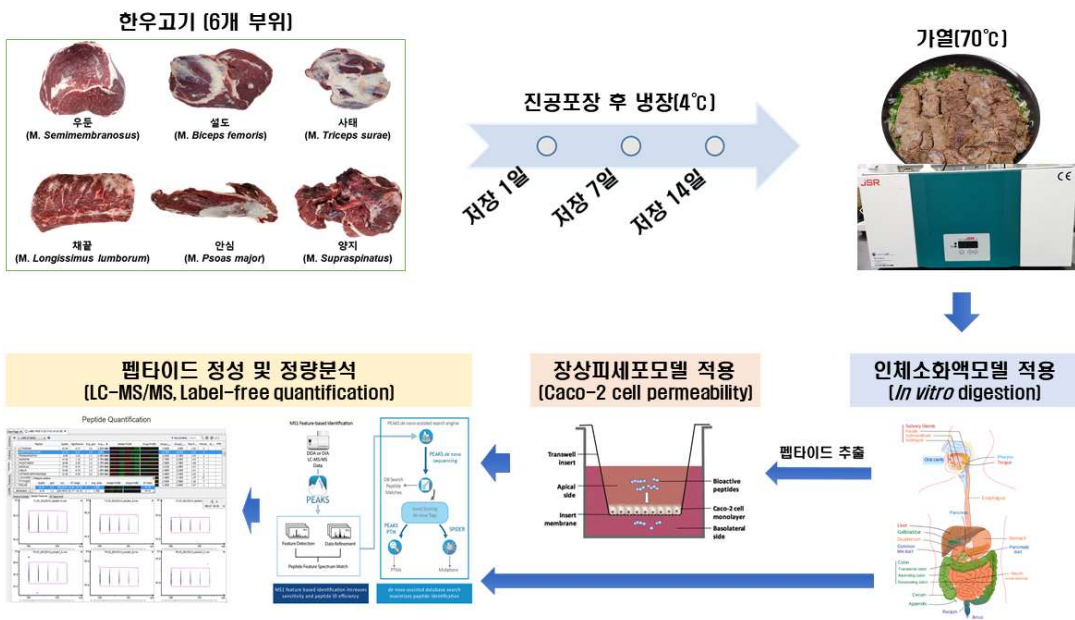
### (3) 근섬유 특성 분석

■ 근섬유 분석용 시료는 각 부위별로 3군데에서  $1 \times 1 \times 1.5$  cm 크기로 채취하여 액체 질소로 냉각된 2-methylbutane 용액으로 동결하였다. 동결 시료는 냉동조직절편기 (CM1860, Leica Biosystems, Germany)를 이용하여  $10 \mu\text{m}$  두께로 절단하였다. 각 절편은 근섬유 타입 구분을 위하여 1차 항체(SC-71, BF-35; DSHB, USA)와 2차 항체 (anti-mouse IgG<sub>1</sub> AlexaFluor488, anti-mouse IgG<sub>1</sub> AlexaFluor594; Thermo Fisher Scientific Inc., USA)를 각각 순차적으로 반응시켰다. 근섬유 이미지는 형광현미경 (EVOS M5000, Thermo Fisher Scientific Inc., USA)으로 획득하였고, 근섬유 타입은 1차 항체 반응 여부에 따라 3종(I, IIa, IIx)으로 구분하였다. 각 근섬유 타입별 크기 (cross-sectional area,  $\mu\text{m}^2$ ), 근섬유 밀도(fiber density, number/mm<sup>2</sup>), 수적 조성 (relative number, %) 및 면적 조성(relative area, %)을 Image-Pro plus 5.1(Media Cybernetic Inc., USA)를 이용하여 분석하였다.

### (4) 통계분석

■ 이화학적 특성 및 근섬유 특성은 평균값과 표준편차로 나타내었으며, 그룹 간 유의적 차이( $p<0.05$ )는 SAS(2012) 프로그램을 이용하여 ANOVA 분석 및 Duncan's multiple range test로 검증하였다. LC-MS/MS 분석을 통해 얻은 펩타이드 intensity는 각 펩타이드가 유래한 단백질별로 합산하여 PEAK Q algorithm(Bioinformatics Solutions Inc., Canada) 분석 및 label-free quantification으로 그룹 간 유의적 차이 ( $p<0.05$ )를 검증함.

## 2. 한우고기 유래 펩타이드의 인체 내 소화-흡수 특성



### 가. 공시재료

- 저장 기간별(도축 후 1일, 7일 및 14일) 한우고기 6개 부위를 각각 항온수조(75°C)에서 가열하여 시료의 심부온도가 70°C에 도달했을 때, 실온에 냉각 후 분쇄기 (M-22, (주)한국후지공업)를 이용하여 분쇄함. 저장 기간 및 부위별 가열 한우고기 시료를 인체소화액모델(*In vitro* digestion)에 적용하였고, 가열 한우고기에서 펩타이드를 추출하여 장상피세포모델(Caco-2 cell)에 적용하였음.

### 나. 분석방법

#### (1) 인체소화액모델 적용 실험

- 가열 한우고기를 인체소화액모델(*In vitro* digestion)에 적용하여 단백질 및 펩타이드 분해물을 획득하기 위한 실험은 Lee 등(2015)의 방법을 일부 변형하여 적용하였음. 가열 한우고기를 부위별로 1 g, 2 g, 4 g 및 10 g씩 각각 채취하여 인체소화액에 적용함. 인체소화액은 타액(175.3 g/L NaCl 용액 1.7 ml, 25 g/L Urea 용액 8 ml,

15 mg uric acid, 290 mg  $\alpha$ -amylase, 25 mg mucin; pH 6.8), 위액(37 g/L HCl 용액 6.5 ml, 22.2 g/L CaCl<sub>2</sub> · H<sub>2</sub>O 용액 18 ml, 1 g bovine serum albumin, 2.5 g pepsin, 3 g mucin; pH 1.5), 십이지장액(89.6 g/L KCl 용액 6.3 ml, 22.2 g/L CaCl<sub>2</sub> · H<sub>2</sub>O 용액 9 ml, 1 g bovine serum albumin, 9 g pancreatin, 1.5 g lipase; pH 8.0) 및 담즙(84.7 g/L NaHCO<sub>3</sub> 용액 68.3 ml, 22.2 g/L CaCl<sub>2</sub> · H<sub>2</sub>O 용액 10 ml, 1 g bovine serum albumin, 30 g bile; pH 7.0)으로 준비함. 구강 내 소화는 타액 10 mL을 준비하여 시료와 혼합한 뒤, 37°C에서 150 rpm으로 5분간 반응시킴. 위에서의 소화는 위액 20 ml에 시료를 혼합하여 37°C에서 150 rpm으로 2시간 반응시킴. 소장 내 소화는 십이지장액과 담즙을 혼합한 뒤 35 ml을 준비하여 시료와 혼합한 뒤 37°C에서 150 rpm으로 2시간 반응시킴.

■ 인체소화액 적용 후 획득한 소화물은 잔존 단백질 함량, 펩타이드 및 아미노산 조성 분석을 실시함. 단백질 함량 측정을 위하여 소화물 5 ml을 채취하여 5% trichloroacetic acid로 단백질 침전 후, 10,000 g에서 30분간 원심분리 후 상등액을 제거한 뒤, lysis buffer(8M urea, 0.1M DTT)로 단백질 용해 후 Bradford(1976) 방법으로 단백질 농도를 측정하였음. 펩타이드는 소화물 2 ml을 채취한 뒤 15% trichloroacetic acid 용액을 첨가하여 원심분리(10,000 g, 30분) 후, 상등액을 회수하여 0.01N NaOH 용액을 이용하여 pH를 7.0으로 조절하였음. 0.45  $\mu\text{m}$  membrane filter로 여과한 뒤, 3-kDa cut-off centrifuge filter(Amicon® Ultra-15, Millipore, USA)로 여과(10,000 g, 30분) 후 LC-MS/MS (LTQ-Orbitrap XL MS, EASY-nLC 1000 system, Thermo Fisher Scientific Inc., USA)로 펩타이드를 분석하였음. 아미노산 조성은 LC-MS/MS 분석 전까지 펩타이드 분석을 위한 전처리 방법과 동일하게 처리한 뒤, 1 ml을 채취하여 농축기(Scavac, Labogene, Sweden)로 농축하였음. 0.1N HCl로 회석 후, 0.45  $\mu\text{m}$  membrane filter(Millipore, Merck, USA)로 여과한 뒤 HPLC(UltiMate 3000, Thermo Fisher Scientific Inc., USA)로 분석하였음. 이때 분석 용 컬럼은 C18 5 $\mu\text{m}$ \_120A(4.6X250mm; Thermo Fisher Scientific Inc., USA)를 사용하였고, 아미노산 정성 및 정량분석을 위해 아미노산 표준 혼합용액(AAS18, Merck, USA)를 사용하였음.

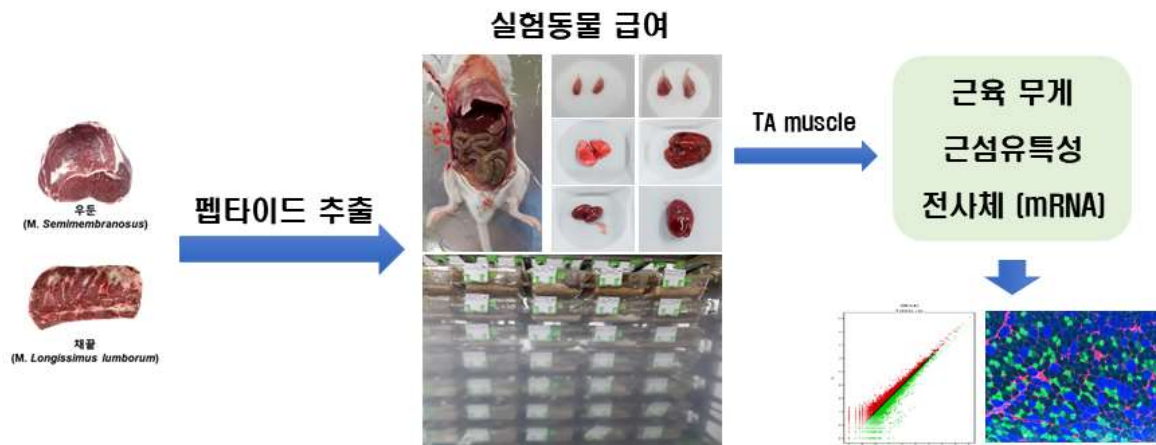
## (2) 장상피세포모델 적용 실험

■ 장상피세포모델 적용 실험을 위하여 서울대학교 생명윤리위원회의 승인(IRB No. E2006/003-002)을 받았고, Angelis와 Turco (2011)의 방법으로 실험을 실시하였음. 장상피세포모델 실험에 적용한 세포(Caco-2)는 ATCC® HTB-37™(ATCC, USA)를 사용하였고, 펩타이드 투과 실험을 위하여 Caco-2 cell을  $3 \times 105$  cell/cm<sup>2</sup> 수준으로 cell culture insert(0.4  $\mu\text{m}$  pores, transparent polyethylene-terephthalate membrane, Falcon Becton-Dickinson #35-3090, Italy)에 접종하여 5% CO<sub>2</sub> 배양기(37°C)에서 21 일 동안 배양함. 펩타이드 통과 실험 전 trans epithelial electric resistance (TEER; Volt-Ohm Meter, Millipore, USA)를 측정하여  $700 \Omega/\text{cm}^2$  이상의 Caco-2 monolayer 를 선택하였음. 펩타이드는 transport buffer(HBSS[ $\ominus$ ] 포함된 10 mM HEPES, pH 7.4)에 최종 농도 1.5 mg/ml로 맞추어 투과 실험(37°C, 330분)에 적용하였음. 투과 실험 후, 투과액(basolateral compartment)을 회수하여 0.45  $\mu\text{m}$  membrane filter로 여과한 뒤, LC-MS/MS (LTQ-Orbitrap XL MS, EASY-nLC 1000 system, Thermo Fisher Scientific Inc., USA)로 펩타이드를 분석하였음.

### (3) 통계분석

■ LC-MS/MS 분석을 통해 얻은 펩타이드 intensity는 각 펩타이드가 유래한 단백질별로 합산하여 PEAK Q algorithm(Bioinformatics Solutions Inc., Canada) 분석 및 label-free quantification으로 그룹 간 유의적 차이( $p < 0.05$ )를 검증함. 아미노산 분석 결과는 평균값과 표준편차로 나타내었으며, 그룹 간 유의적 차이( $p < 0.05$ )는 SAS(2000) 프로그램을 이용하여 ANOVA 분석 및 Duncan's multiple range test로 검증하였음.

### 3. 세포 및 동물실험을 통한 근육세포 퇴화 억제능 구명



[그림 5] 한우고기 유래 펩타이드 급여 동물실험 모식도

#### 가. 공시재료 및 급여실험

- 동물실험을 위해 서울대학교 동물실험윤리위원회의 승인(IACUC 승인번호 : SNU-200330-1)을 받았음. 실험동물은 SIC ddy계통 mouse(암, 9개월령)를 도입하여 14개월령까지 사육한 뒤 한우고기 저분자 추출물 급여실험을 실시하였음.
- 동물실험에 사용할 한우고기는 우둔과 채끝 부위를 선정하였고, 각각 저장 1일 및 14일째 시료를 사용하였음. 한우고기의 저분자 추출물은 가열 분쇄육에서 0.01N HCl 용액으로 추출하였고, 0.01N NaOH 용액으로 pH를 7.0으로 조절한 뒤, 0.45 μm membrane filter로 여과한 뒤, 3-kDa cut-off centrifuge filter(Amicon® Ultra-15, Millipore, USA)로 여과(10,000 g, 30분) 후 여액을 회수하였음. o-Phthaldialdehyde (OPA) assay (Colombini 등; 2011) 방법으로 저분자 추출물의 농도를 측정하였음. 우둔 추출물 절반을 별도로 회수하여 추출물 내 펩타이드를 아미노산으로 완전히 분해하기 위해 6N HCl 용액으로 110°C에서 24시간 가수분해한 뒤, Whatman No. 1 여과지로 여과 후 1N NaOH를 이용하여 pH를 7.0으로 조절하였음. Sephadex G-10 레진(Merck, USA)으로 염을 제거한 뒤, OPA assay로 농도를 측정하였음.
- 급여실험 전 실험동물은 사료와 물을 자유롭게 섭취하도록 하였고, 급여실험 전 4

주 동안 1일 평균 물 섭취량을 계산하여, 급여할 추출물의 최종 농도가 1.5 mg/g body weight/day가 되도록 물과 희석하였고, 대조군은 추출물을 넣지 않은 순수한 물로 준비하였음. 실험동물은 4마리씩 8개의 처리군으로 분류한 뒤 4주 동안 급여 실험을 실시하였음. 사료와 추출물이 포함(대조군 제외)된 물을 자유롭게 섭취하도록 하였음. 사료는 Purina mouse diets(조단백질 20% 이상, 조지방 4.5% 이상, 조섬유 6% 이하, 조회분 7% 이하, 칼슘 0.5% 이상, 인 1% 이하)를 급여하였음.

- 4주 동안 급여실험을 실시한 후, CO<sub>2</sub> 가스로 기절시킨 뒤 체중, 주요 근육(*M. tibialis anterior*, TA; *M. soleus*, M. *gastrocnemius*, GA; *M. extensor digitorum longus*, EDL) 및 내장(간, 허파, 심장, 신장)의 무게를 측정하였음. TA 근육은 근섬유 특성 및 전사체 분석을 실시하였음.

#### 나. 분석방법

##### (1) 근섬유 특성 분석

- 근섬유 분석용 시료는 마우스 TA 근육을 채취하여 액체질소로 냉각된 2-methylbutane 용액으로 동결하였음. 동결 시료는 냉동조직절편기(CM1860, Leica Biosystems, Germany)를 이용하여 10 μm 두께로 절단하였음. 각 절편은 근섬유 타입 구분을 위하여 1차 항체(BA-F8, SC-71, BF-F3; DSHB, USA)와 2차 항체(anti-mouse IgG<sub>2b</sub> AlexaFluor594, anti-mouse IgG<sub>1</sub> AlexaFluor488, anti-mouse IgM AlexaFluor555; Thermo Fisher Scientific Inc., USA)를 각각 순차적으로 반응시켰음. 근섬유 이미지는 형광현미경(EVOS M5000, Thermo Fisher Scientific Inc., USA)으로 획득하였고, 근섬유 타입은 1차 항체 반응 여부에 따라 4종(I, II A, II X, II B)으로 구분하였다. 각 근섬유 타입별 크기(cross-sectional area, μm<sup>2</sup>), 근섬유 밀도(fiber density, number/mm<sup>2</sup>), 수적 조성(relative number, %) 및 면적 조성(relative area, %)을 Image-Pro plus 5.1(Media Cybernetic Inc., USA)를 이용하여 분석하였다.

##### (2) 전사체(mRNA) 분석

■ 마우스 TA 근육을 액체질소로 동결시킨 뒤 total mRNA를 추출하여 QuantSeq 3' mRNA-sequence를 분석함. mRNA sequencing을 위해 NextSeq500 system(Illumina, USA)과 Lexogen QuanSeq 3' mRNA-Seq Library Prep Kit, Illumina NextSeq500 single-end 75를 사용하였음. Raw data는 ExDEGA program(ebiogen, Korea)을 이용하여 각 mRNA의 발현량을 처리구별로 비교하였음. 단백질 합성 관련 pathway 및 mTOR pathway 등은 Kyoto Encyclopedia of Genes and Genomes(KEGG; <https://www.genome.jp/kegg/>) 데이터베이스를 참조하였음.

#### (3) 근아세포 분화 특성 실험

■ 마우스 근아세포(myoblast) 분화 특성 실험을 위하여 C2C12(ATCC® CRL-1772™, ATCC, USA)를  $5 \times 10^6$  cells/cm<sup>2</sup> 수준으로 배양 플레이트에 접종하여 분화를 유도 함. 이때 대조군은 분화 배지를 사용하고, 처리군은 분화 배지에 한우고기 및 수입 육에서 추출한 펩타이드를 0.1 mg/mL 농도로 처리함. 분화 후 myotube 형성능을 비교하기 위해 현미경(EVOS M5000, Thermo Fisher Scientific Inc., USA)으로 광학 이미지를 획득하여 myotube 수 및 길이 변화를 분석하였음.

#### (4) 통계분석

■ 실험동물의 사료 및 물 섭취량, 체중, 주요 근육 및 장기의 무게는 평균값과 표준 편차로 나타내었고, 대조군 대비 처리군의 유의적 차이( $p < 0.05$ )를 검증하기 위해 SAS (2012) 프로그램을 이용하여 t-test 검증을 실시하였음. 마우스 TA 근육에서 분석한 근섬유 특성에 대한 결과는 ANOVA 분석 및 Duncan's multiple range test 를 통한 그룹 간 유의적 차이( $p < 0.05$ )를 검증하였음.

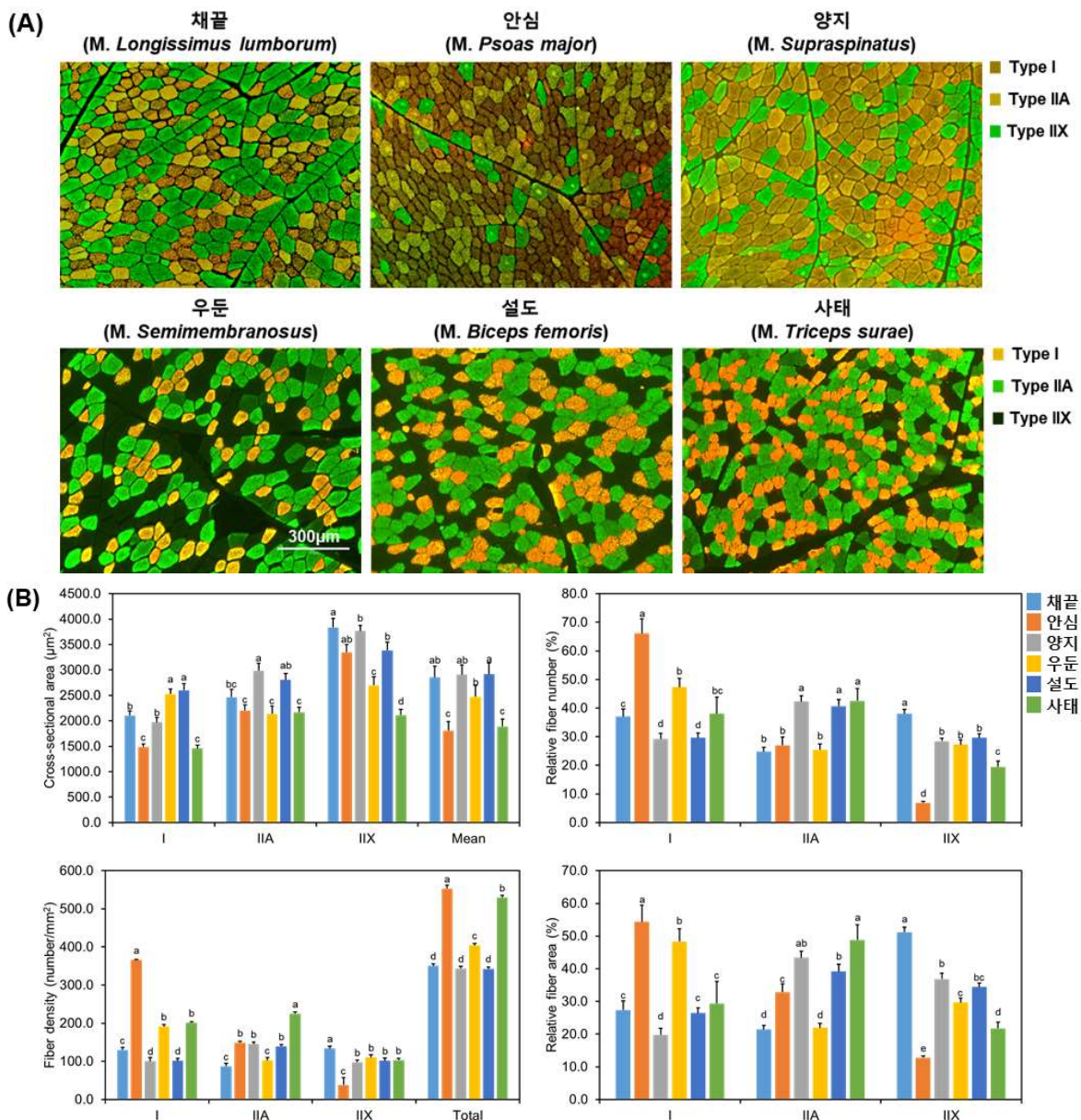
## 제3장 연구결과

---

### 제1절. 한우고기 부위별 근섬유 특성 및 이화학적 특성 비교

#### 1. 주요 부위별 근섬유 특성 비교

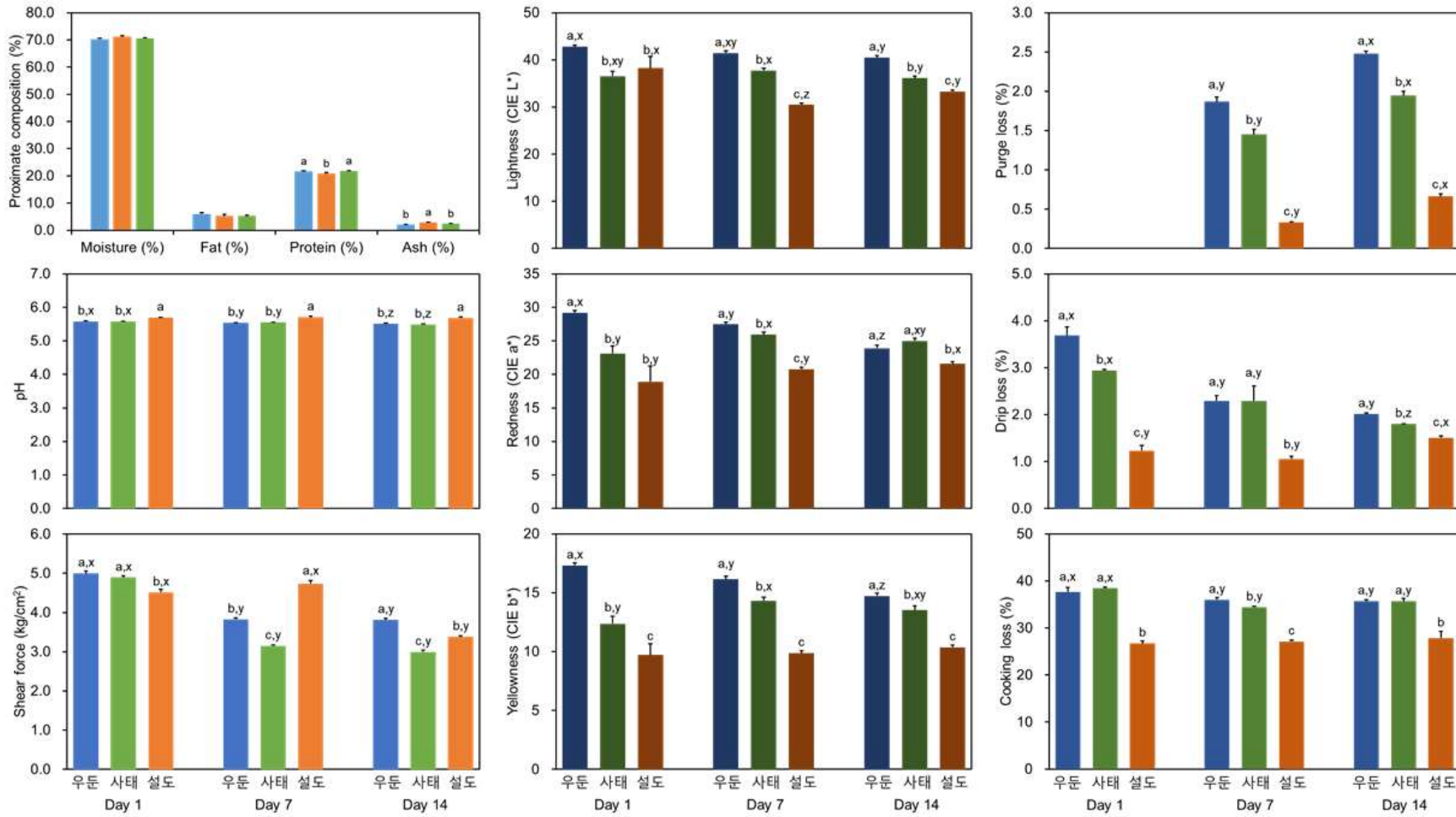
- 소의 주요 콜격근은 3종(I, IIa, IIx)의 근섬유로 구성되어 있고, 부위에 따라 근섬유 타입(유형)별 크기, 근섬유 조성 및 밀도가 상이함(그림 6).
- 6개 부위 중 안심과 우둔이 I 타입의 근섬유를 많이 함유하고 있는 반면, 사태, 양지 및 설도 부위는 IIa 근섬유를 상대적으로 많이 함유하고 있음( $p<0.05$ ). 채끝은 다른 부위보다 IIx의 구성 비율이 높은 결과를 나타냄( $p<0.05$ ).
- 근섬유 크기 및 밀도에서는 안심과 사태 부위가 근섬유 타입에 관계없이 작은 크기를 나타내고, 그로 인해 단위 면적당 근섬유 수(밀도)가 가장 높은 결과를 나타내었음( $p<0.05$ ).
- 부위별 근섬유 조성의 차이는 각 근육이 지니고 있는 생리학적, 형태학적 및 대사학적 특성 차이에 기인한다고 보고되었고, 그로 인해 근육의 이화학적 특성은 물론 근육 단백질체(proteome)의 발현이 달라서 저장 중 식육 내 단백질 분해 정도와 펩타이드 생성 양상이 다르다고 보고하였음(Kim 등, 2021).
- 따라서 한우고기 주요 부위별 구성 단백질체의 발현 형태가 달라서 저장 중 단백질 분해로 인해 생성되는 펩타이드의 종류 및 함량이 부위별로 다를 것으로 사료됨.



[그림 6] 한우 주요 부위별 근섬유 특성 비교. (A) 근섬유 염색 결과. (B) 각 부위별 근섬유 크기, 근섬유 조성 및 근섬유 밀도 비교 결과. 동일한 첨자(<sup>a~e</sup>)로 나타낸 값은 부위별로 유의적 차이가 없음( $p>0.05$ ).

## 2. 주요 부위별 이화학적 특성 비교

- 한우 우둔, 사태 및 설도 부위의 일반성분 및 저장 중 육질 변화를 분석한 결과(그림 7), 수분 및 지방 함량은 차이가 없었으나( $p>0.05$ ), 단백질 함량은 우둔과 설도 부위가 사태보다 높은 함량을 나타낸 반면, 조회분 함량에서는 사태가 더 높은 것으로 확인됨( $p<0.05$ ).
- 대부분의 육질 항목은 부위별 차이를 나타내고 있음. 특히 육색과 보수력에서 확인한 차이를 나타냄. 우둔 부위가 사태나 설도 보다 명도(CIE L\*), 적색도(CIE a\*) 및 황색도(CIE b\*)가 높은 경향을 나타냄( $p<0.05$ ). 또한, 우둔과 사태는 설도 보다 높은 포장감량, 육즙감량 및 가열감량을 나타냄. 연도는 설도가 높은 결과를 나타냄 ( $p<0.05$ ).
- 저장 기간의 증가에 따른 육질 변화는 부위에 따라 다른 경향을 나타냄. 우둔은 모든 육색 항목과 전단가, 육즙감량 및 가열감량에서 저장 초기보다 후기에 더 낮은 값을 나타내었지만( $p<0.05$ ), 설도는 황색도와 가열감량에는 변화가 없었고( $p>0.05$ ), 육즙감량은 오히려 증가하는 경향을 나타냄. 사태 부위는 전단가, 육즙감량 및 가열감량은 낮아졌지만( $p<0.05$ ), 적색도는 증가하고, 황색도는 차이가 없었음( $p>0.05$ ).



[그림 7] 한우 우둔, 사태 및 설도 부위의 일반성분 및 저장 중 육질 특성 비교. 동일한 첨자로 표기한 값은 부위별(<sup>a-c</sup>) 또는 저장 기간별(<sup>x-z</sup>)로 유의적 차이가 없음( $p>0.05$ ).

## 제2절. 한우고기 부위별 자연생성 펩타이드 및 구성 아미노산 조성 변화

### 1. 저장 중 한우고기 내 proteolysis-induced peptides 분석 결과

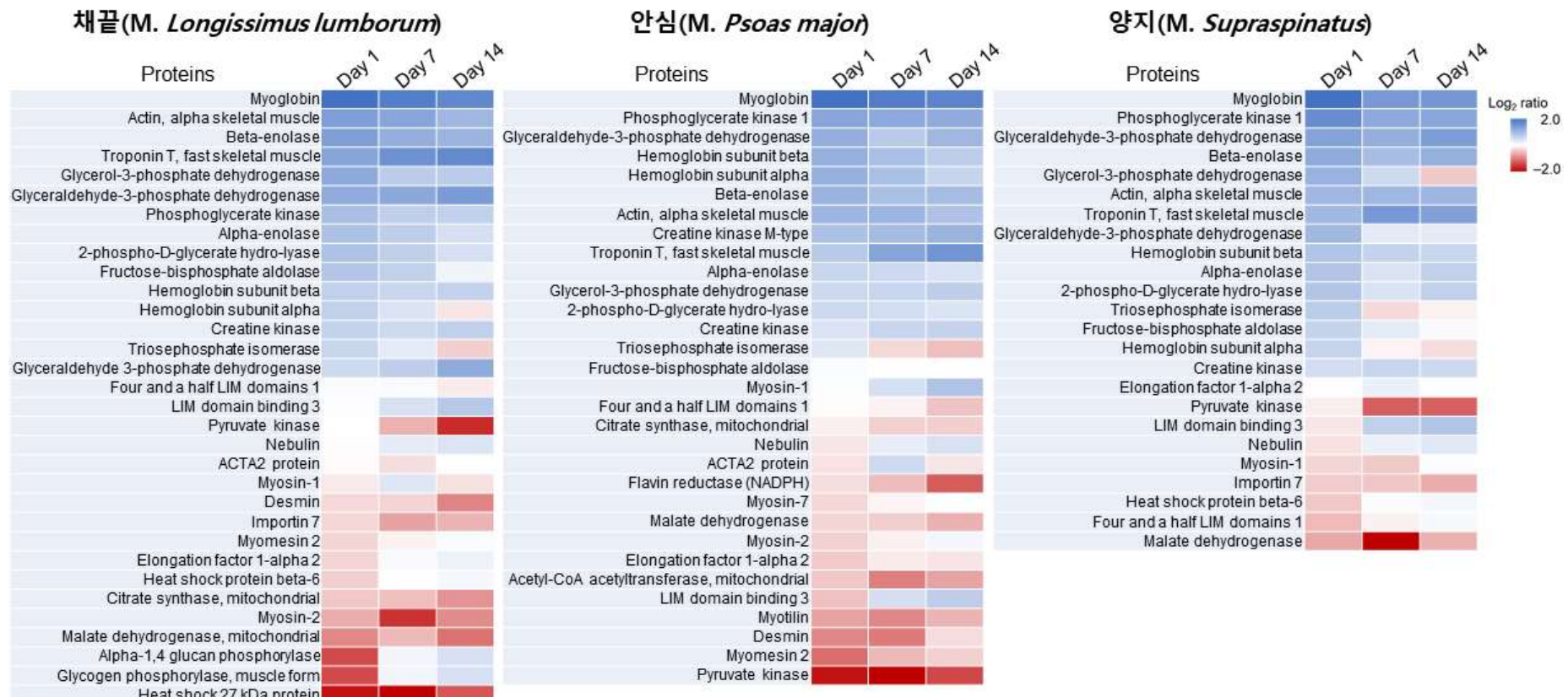
- 한우고기를 도축 후 14일 동안 냉장 저장 중 생성된 펩타이드 종류는 4,252종이며, 총 37,938개가 확인되었음(별첨 2). 모든 펩타이드는 아미노산 서열을 확인하여 각 펩타이드가 유래한 단백질을 확인한 결과, myoglobin, myosins, actin 등을 포함한 총 44종의 단백질이었음(표 6).
- 가장 많은 펩타이드가 유래한 단백질은 myoglobin이었고, myosin-1, actin, myosin-2, glyceraldehyde-3-phosphate dehydrogenase 및 phosphoglycerate kinase 1에서도 많은 종류의 펩타이드가 생성되었음.
- 도축 후 1일(Day 1)에 이미 대부분의 단백질이 분해되어 수많은 펩타이드를 생성 시켰고, 저장 기간이 증가함에 따라 펩타이드가 대체로 증가하는 경향을 나타냄. 이러한 현상은 부위와 상관없이 확인할 수 있었음(그림 8, 그림 9).

[표 6] 저장 중 한우고기 내 단백질 종류별 펩타이드 수

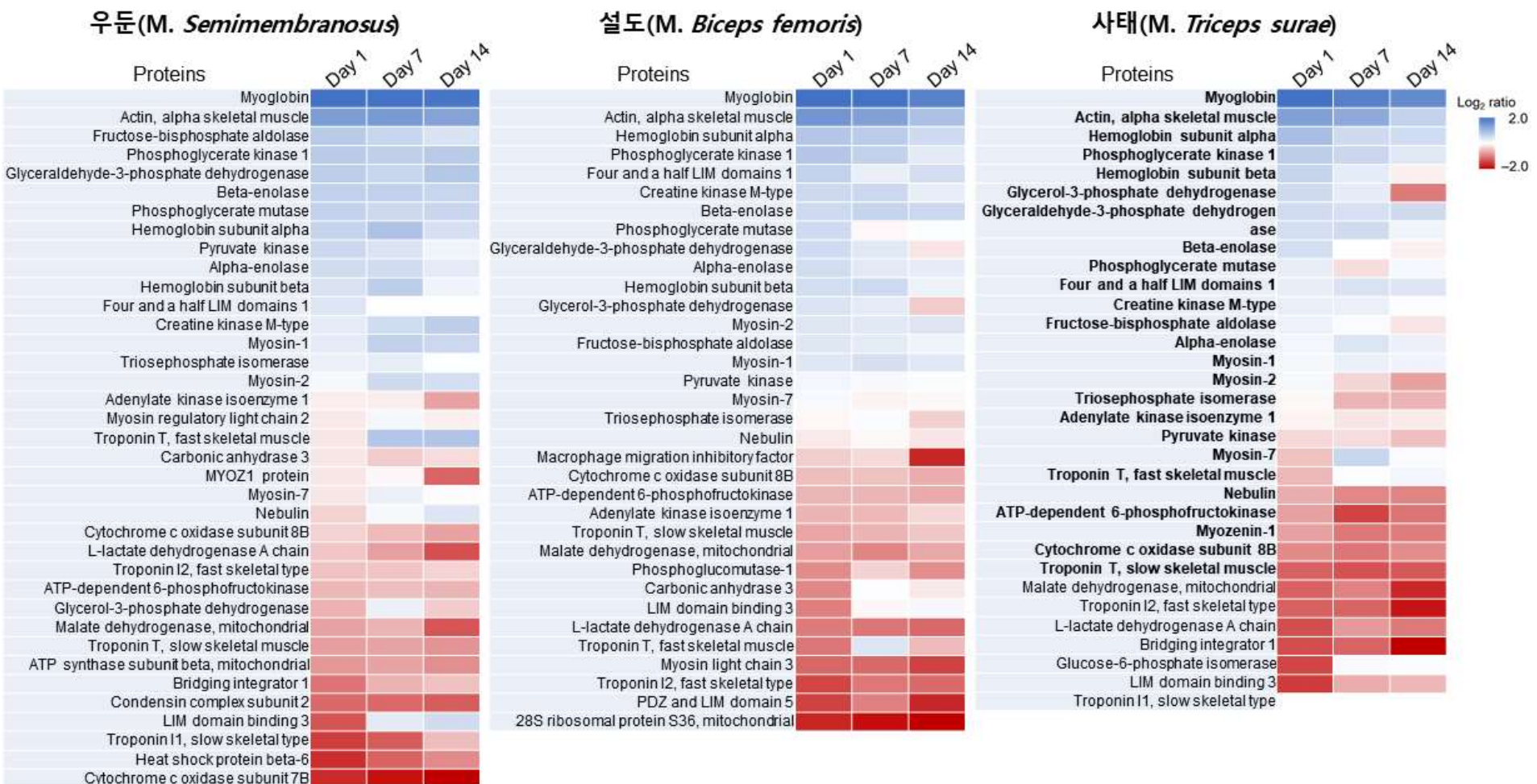
Accession no. <sup>1)</sup>	Gene <sup>1)</sup>	Protein name <sup>1)</sup>	Max	Min	Mean	SD
P02192	MB	Myoglobin	201	99	156.6	29.6
P10096	GAPDH	Glyceraldehyde-3-phosphate dehydrogenase	84	16	40.2	18.1
Q9BE40	MYH1	Myosin-1	70	31	44.4	12.6
A0A3Q1M C60	NEB	Nebulin	69	11	30.1	14.1
Q9XSC6	CKM	Creatine kinase M-type	61	19	36.4	12.6
P68138	ACTA1	Actin, alpha skeletal muscle	56	26	45.8	8.8
Q9BE41	MYH2	Myosin-2	56	23	37.3	10.1
P01966	HBA	Hemoglobin subunit alpha	53	17	27.1	8.9
Q3T0P6	PGK1	Phosphoglycerate kinase 1	53	18	38.6	8.8
A6QLL8	ALDOA	Fructose-bisphosphate aldolase	47	15	21.2	7.7
P02070	HBB	Hemoglobin subunit beta	45	5	18.2	9.2
A0A3Q1M 1H0	LDB3	LIM domain binding 3	34	1	13.2	9.2
F1MR86	FHL1	Four and a half LIM domains 1	34	10	20.0	7.2
Q9BE39	MYH7	Myosin-7	32	10	17.3	6.1

F1N2F2	PGAM2	Phosphoglycerate mutase	29	10	17.5	4.8
Q3ZC09	ENO3	Beta-enolase	26	13	20.6	4.0
Q5E956	TPI1	Triosephosphate isomerase	25	8	15.4	5.0
A5D984	PKM	Pyruvate kinase	23	7	11.9	4.2
A0A3Q1M HL7	TNNT3	Troponin T, fast skeletal muscle	21	1	7.9	5.9
Q9XSJ4	ENO1	Alpha-enolase	15	4	9.3	3.4
G3MYN5	TNNI1	Troponin I, slow skeletal type	15	0	5.2	4.1
Q3SZX4	CA3	Carbonic anhydrase 3	12	0	3.7	3.2
P00570	AK1	Adenylate kinase isoenzyme 1	11	2	4.4	2.7
Q08E10	MYL1	MYL1 protein	10	1	4.6	2.4
P10175	COX8B	Cytochrome c oxidase subunit 8B, mitochondrial	10	2	5.6	2.0
Q0IIG5	PFKM	ATP-dependent 6-phosphofructokinase, muscle type	10	4	5.9	1.5
P19858	LDHA	L-lactate dehydrogenase A chain	9	1	4.3	2.2
Q32LG3	MDH2	Malate dehydrogenase, mitochondrial	8	2	5.8	1.7
Q5EA88	GPD1	Glycerol-3-phosphate dehydrogenase	8	2	4.1	1.9
Q0P571	MYLPF	Myosin regulatory light chain 2	8	0	2.1	2.2
F6QIC1	TNNI2	Troponin I, fast skeletal type	6	1	3.1	1.4
A0A140T8 A1	HSPB6	Heat shock protein beta-6	5	0	1.3	1.2
Q3ZBD7	GPI	Glucose-6-phosphate isomerase	5	0	2.1	1.4
Q3ZBU0	PDLIM5	PDZ and LIM domain 5	5	0	1.7	1.1
A4IFK4	SYNPO2	SYNPO2 protein	4	0	1.2	1.3
Q8SQ24	MYOZ1	Myozenin-1	4	0	1.8	0.9
Q08DP0	PGM1	Phosphoglucomutase-1	4	0	1.9	1.1
Q8MKH6	TNNT1	Troponin T, slow skeletal muscle	4	2	2.3	0.6
E1BF23	MYOM2	Myomesin 2	3	0	1.1	1.0
A0A3Q1M 026	BIN1	Bridging integrator 1	3	0	1.5	0.9
P79334	PYGM	Glycogen phosphorylase, muscle form	2	0	1.1	0.7
P00829	ATP5F1 B	ATP synthase subunit beta, mitochondrial	2	0	0.9	0.7
P33097	GOT1	Aspartate aminotransferase, cytoplasmic	1	0	0.1	0.3
F1MH70	NCAPH	Condensin complex subunit 2	1	0	0.9	0.3

<sup>1)</sup>Accession no. and protein name were derived from the UniProt database, taxonomy *Bos taurus* 9913 (46,765 sequences).



[그림 8] 저장 동안 한우 채끝, 안심 및 양지의 단백질 분해 정도. 단백질 분해로 생성된 펩타이드를 정성 및 정량 분석 후 각 펩타이드가 유래한 단백질 종류에 따라 합산하여 나타냄.



[그림 9] 저장 동안 한우 우둔, 설도 및 사태의 단백질 분해 정도. 단백질 분해로 생성된 펩타이드를 정성 및 정량 분석 후 각 펩타이드가 유래한 단백질 종류에 따라 합산하여 나타냄.

## 2. 한우고기의 구성 아미노산 조성

- 한우 주요 부위별 구성 아미노산 조성 분석 결과(표 7), aspartic acid와 leucine을 제외한 모든 아미노산 항목에서 유의적 차이를 나타냄( $p<0.05$ ). 채끝, 안심 및 우둔에서는 serine, histidine, threonine, arginine 및 tyrosine 등이 양지, 설도 및 사태보다 더 높은 함량을 나타낸 반면, glutamic acid, glycine, alanine 및 cysteine은 양지, 설도 및 사태가 더 높은 조성을 나타냄( $p<0.05$ ).
- BCAA인 valine은 우둔, 양지 및 사태가 설도보다 더 높은 조성을 나타내었지만 ( $p<0.05$ ), 채끝과 안심과는 유의적 차이를 나타내지 않았음( $p>0.05$ ). Isoleucine은 안심과 우둔이 양지, 설도 및 사태보다 높은 조성을 나타냄( $p<0.001$ ). 그러나 leucine은 부위별 차이를 나타내지 않았음( $p>0.05$ ).

[표 7] 한우고기 부위별 구성 아미노산 조성(%) 비교

Amino acids	채끝	안심	우둔	양지	설도	사태	PSE <sup>1)</sup>	P-value
Aspartic acid	10.6	10.5	7.3	8.9	6.1	6.4	1.3	ns
Glutamic acid	10.5 <sup>d</sup>	10.7 <sup>d</sup>	11.3 <sup>c</sup>	12.5 <sup>b</sup>	12.6 <sup>b</sup>	13.4 <sup>a</sup>	0.2	***
Serine	5.1 <sup>a</sup>	5.1 <sup>a</sup>	5.3 <sup>a</sup>	4.7 <sup>b</sup>	4.7 <sup>b</sup>	4.8 <sup>b</sup>	0.1	***
Histidine	8.1 <sup>a</sup>	8.4 <sup>a</sup>	8.2 <sup>a</sup>	3.4 <sup>b</sup>	2.7 <sup>c</sup>	3.3 <sup>bc</sup>	0.2	***
Glycine	5.5 <sup>c</sup>	5.3 <sup>c</sup>	5.6 <sup>c</sup>	9.1 <sup>b</sup>	12.3 <sup>a</sup>	9.2 <sup>b</sup>	0.3	***
Threonine	5.5 <sup>a</sup>	5.5 <sup>a</sup>	5.5 <sup>a</sup>	4.6 <sup>bc</sup>	4.5 <sup>c</sup>	4.9 <sup>b</sup>	0.1	***
Arginine	8.1 <sup>a</sup>	8.2 <sup>a</sup>	8.5 <sup>a</sup>	6.0 <sup>b</sup>	5.0 <sup>c</sup>	5.3 <sup>c</sup>	0.2	***
Alanine	2.7 <sup>c</sup>	2.7 <sup>c</sup>	2.8 <sup>c</sup>	8.2 <sup>b</sup>	8.6 <sup>a</sup>	8.5 <sup>a</sup>	0.1	***
Tyrosine	8.3 <sup>a</sup>	7.8 <sup>a</sup>	8.7 <sup>a</sup>	2.3 <sup>b</sup>	2.2 <sup>b</sup>	2.3 <sup>b</sup>	0.2	***
Cysteine	1.2 <sup>cd</sup>	0.8 <sup>d</sup>	1.6 <sup>c</sup>	3.6 <sup>b</sup>	4.5 <sup>a</sup>	3.6 <sup>b</sup>	0.1	*
Valine	5.3 <sup>ab</sup>	5.2 <sup>ab</sup>	5.5 <sup>a</sup>	5.6 <sup>a</sup>	5.0 <sup>b</sup>	5.6 <sup>a</sup>	0.1	*
Methionine	2.3 <sup>ab</sup>	2.3 <sup>a</sup>	2.4 <sup>a</sup>	2.2 <sup>bc</sup>	2.1 <sup>c</sup>	2.3 <sup>ab</sup>	0.0	**
Phenylalanine	3.4 <sup>ab</sup>	3.4 <sup>ab</sup>	3.5 <sup>a</sup>	3.0 <sup>c</sup>	2.9 <sup>c</sup>	3.2 <sup>b</sup>	0.1	***
Isoleucine	4.6 <sup>ab</sup>	4.6 <sup>a</sup>	4.7 <sup>a</sup>	4.1 <sup>bc</sup>	3.9 <sup>c</sup>	4.3 <sup>b</sup>	0.1	***
Leucine	7.6	7.7	7.8	7.7	7.4	7.9	0.1	ns
Lysine	7.5 <sup>b</sup>	7.9 <sup>b</sup>	7.1 <sup>a</sup>	10.0 <sup>a</sup>	10.6 <sup>a</sup>	10.7 <sup>a</sup>	0.4	***
Proline	3.9 <sup>cd</sup>	3.7 <sup>d</sup>	4.2 <sup>b</sup>	4.3 <sup>b</sup>	5.2 <sup>a</sup>	4.4 <sup>b</sup>	0.1	***

<sup>a-d</sup>Means with the same superscript are not significantly different among the muscles ( $p>0.05$ ).

<sup>1)</sup>PSE, pooled standard error.

P-value : ns, not significant; \*,  $p<0.05$ ; \*\*,  $p<0.01$ ; \*\*\*,  $p<0.001$ .

### 3. 생리활성 peptide 탐색

- 생리활성 펩타이드에 대한 데이터베이스가 구축되어 자유롭게 검색이 가능한 기관 및 웹사이트(PeptideDB : <http://www4g.biotech.or.th/PeptideDB>; NEUROPEPTIDE GENE FAMILIES : <http://www.neuropeptides.nl>; AHTPDB : <http://crdd.osdd.net/raghava/ahtpdb>; Elsevier : <https://www.scopus.com>)에서 탐색함. 생리활성 펩타이드 목록이 제공되는 곳에서 확인한 펩타이드와 대조하고 웹사이트에서 직접 입력하여 탐색한 결과 한우고기 유래 펩타이드에서 생리활성을 나타내는 펩타이드로 확인된 것은 없었음.

## 제3절. 한우고기 유래 펩타이드의 인체 내 소화-흡수 특성

### 1. 인체소화액(*In vitro* digestion) 적용 후 펩타이드 변화

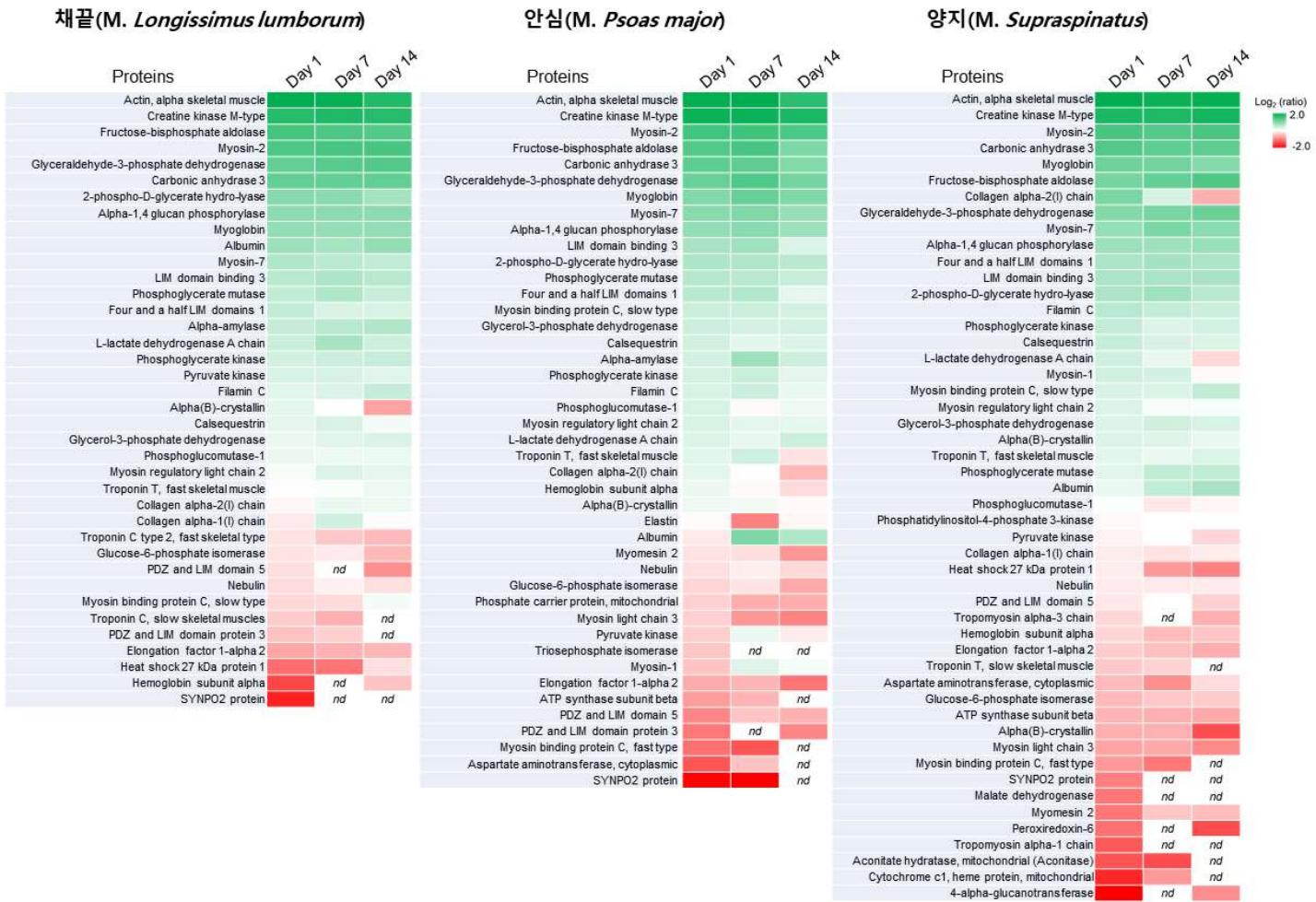
#### 가. 한우고기 부위별 펩타이드 변화

- 가열 한우고기를 인체소화액 모델에 적용하여 소화 후 획득한 소화물에서 2,152종의 펩타이드를 확인하였고, 총 15,055개의 fraction을 확인하였음(별첨 3). 펩타이드는 32종의 단백질에서 유래한 것으로 확인되었고, 주요한 단백질은 myoglobin, glyceraldehyde-3-phosphate dehydrogenase, myosins, actin 등으로 저장 후 한우고기에서 확인했던 결과와 유사한 경향을 보였음(표 8).
- 인체소화액 적용으로 인해 펩타이드 종류 및 수는 확연하게 감소하였음. 또한, 가장 많은 양의 펩타이드가 확인된 단백질은 부위에 관계없이 actin으로 확인됨. 그 외 creatine kinase M-type, myosin-2 등도 소화 후에도 여전히 많은 펩타이드가 잔존하고 있음이 확인됨(그림 10, 그림 11).

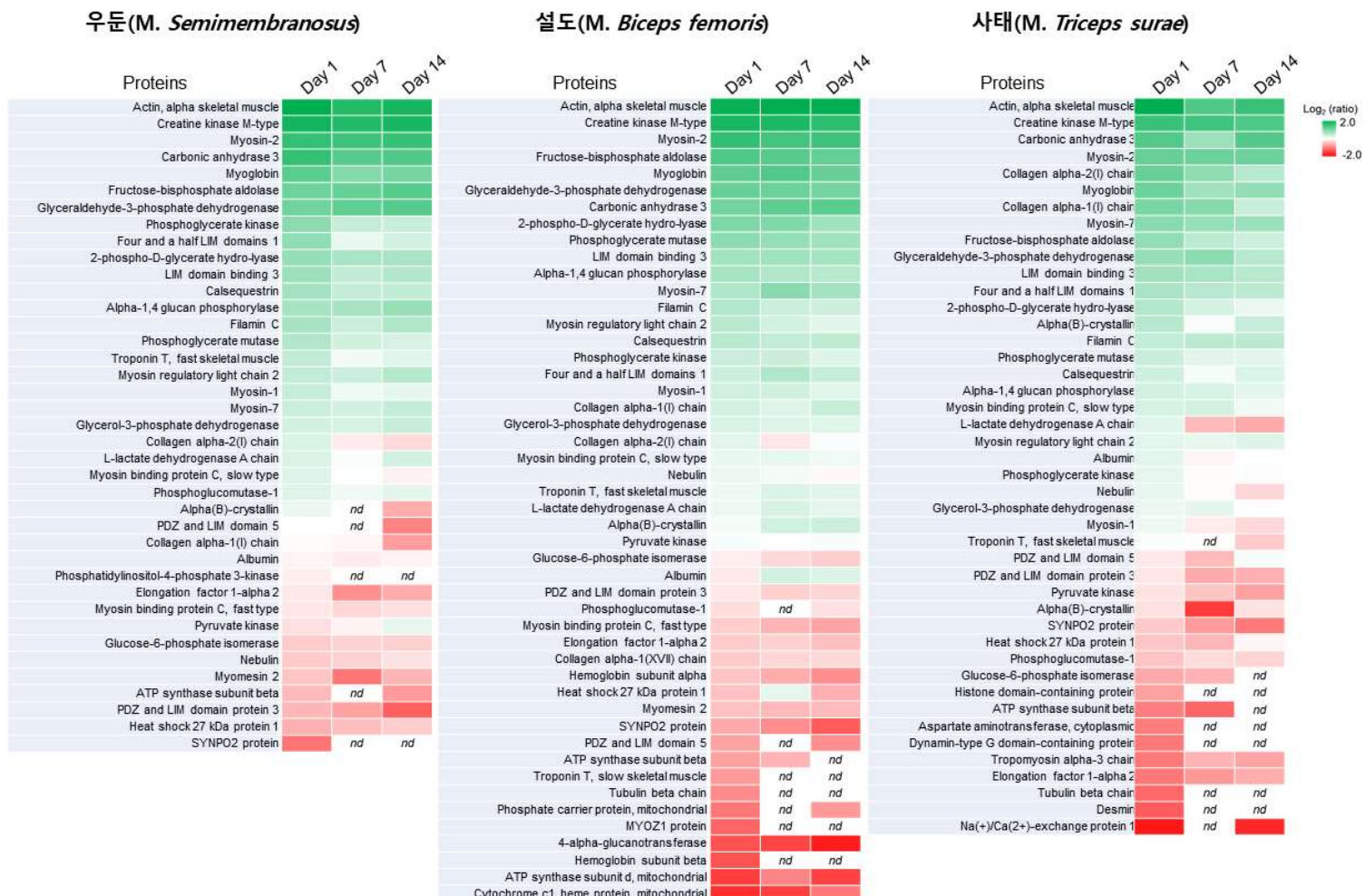
[표 8] 인체소화액 적용 후 한우고기 내 단백질 종류별 웹타이드 수

Accession no. <sup>1)</sup>	Gene <sup>1)</sup>	Protein name <sup>1)</sup>	Max	Min	Mean	SD
P02192	MB	Myoglobin	102	20	39.2	20.6
P10096	GAPDH	Glyceraldehyde-3-phosphate dehydrogenase	19	0	6.2	5.5
Q9BE40	MYH1	Myosin-1	20	0	3.4	4.5
A0A3Q1MC60	NEB	Nebulin	18	0	4.0	4.3
Q9XSC6	CKM	Creatine kinase M-type	19	1	6.7	5.0
P68138	ACTA1	Actin, alpha skeletal muscle	28	2	5.7	6.3
Q9BE41	MYH2	Myosin-2	16	0	3.3	3.5
P01966	HBA	Hemoglobin subunit alpha	18	1	6.9	4.2
Q3T0P6	PGK1	Phosphoglycerate kinase 1	6	0	2.6	2.0
A6QLL8	ALDOA	Fructose-bisphosphate aldolase	2	0	0.4	0.7
P02070	HBB	Hemoglobin subunit beta	8	0	1.9	2.1
A0A3Q1M1H0	LDB3	LIM domain binding 3	12	0	3.7	3.8
F1MR86	FHL1	Four and a half LIM domains 1	5	0	1.8	1.3
Q9BE39	MYH7	Myosin-7	10	0	1.9	2.4
F1N2F2	PGAM2	Phosphoglycerate mutase	2	0	0.3	0.6
Q3ZC09	ENO3	Beta-enolase	14	2	5.2	3.0
Q5E956	TPI1	Triosephosphate isomerase	3	1	1.2	0.5
A5D984	PKM	Pyruvate kinase	16	2	8.3	3.4
A0A3Q1MHL7	TNNT3	Troponin T, fast skeletal muscle	6	0	0.9	1.6
Q9XSJ4	ENO1	Alpha-enolase	12	0	1.4	3.0
G3MYN5	TNNI1	Troponin I, slow skeletal type	4	0	0.4	1.1
P00570	AK1	Adenylate kinase isoenzyme 1	4	0	0.3	1.0
Q08E10	MYL1	MYL1 protein	5	0	1.8	1.3
Q32LG3	MDH2	Malate dehydrogenase, mitochondrial	1	0	0.2	0.4
A0A140T8A1	HSPB6	Heat shock protein beta-6	1	0	0.1	0.2
A4IFK4	SYNPO2	SYNPO2 protein	2	0	0.2	0.5
E1BF23	MYOM2	Myomesin 2	2	0	0.4	0.7
P79334	PYGM	Glycogen phosphorylase, muscle form	2	0	0.3	0.6
P33097	GOT1	Aspartate aminotransferase, cytoplasmic	1	0	0.1	0.3
A0A3Q1NJ3	BLVRB	Flavin reductase	3	0	0.6	0.9
A0A3Q1MQA3	CHRD	Chordin	1	0	0.1	0.2
Q68719	EDIP	Purine nucleoside phosphorylase	1	0	0.1	0.2

<sup>1)</sup>Accession no. and protein name were derived from the UniProt database, taxonomy *Bos taurus* 9913 (46,765 sequences).



[그림 10] 인체소화액 적용 후 가열 한우고기(채끝, 안심, 양지)의 단백질 변화. 단백질 분해로 생성된 펩타이드를 정성 및 정량 분석 후 각 펩타이드가 유래한 단백질 종류에 따라 합산하여 나타냄. nd : not detected.

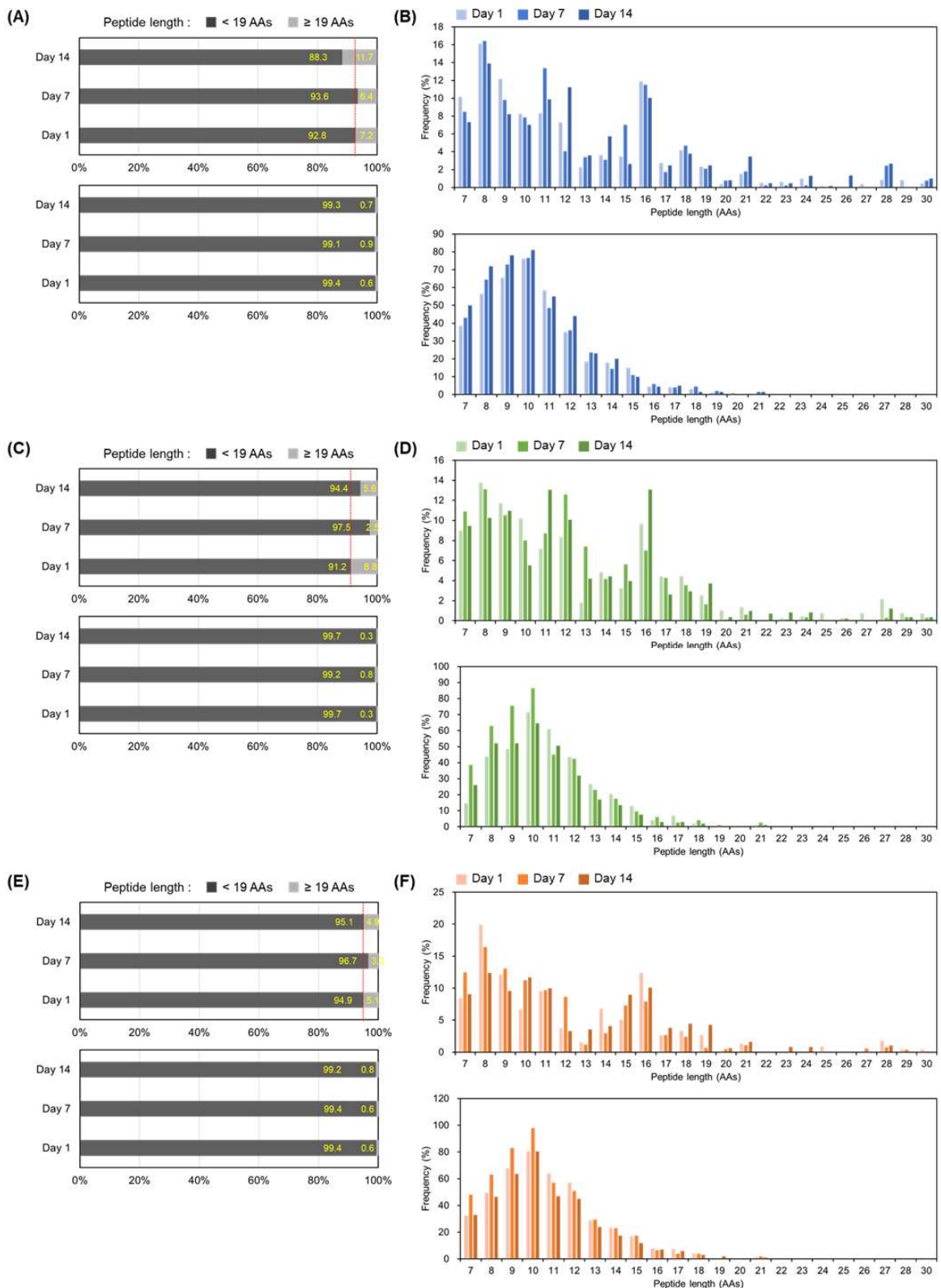


[그림 11] 인체소화액 적용 후 가열 한우고기(우둔, 설도, 사태)의 단백질 변화. 단백질 분해로 생성된 펩타이드를 정성 및 정량 분석 후 각 펩타이드가 유래한 단백질 종류에 따라 합산하여 나타냄. nd : not detected.

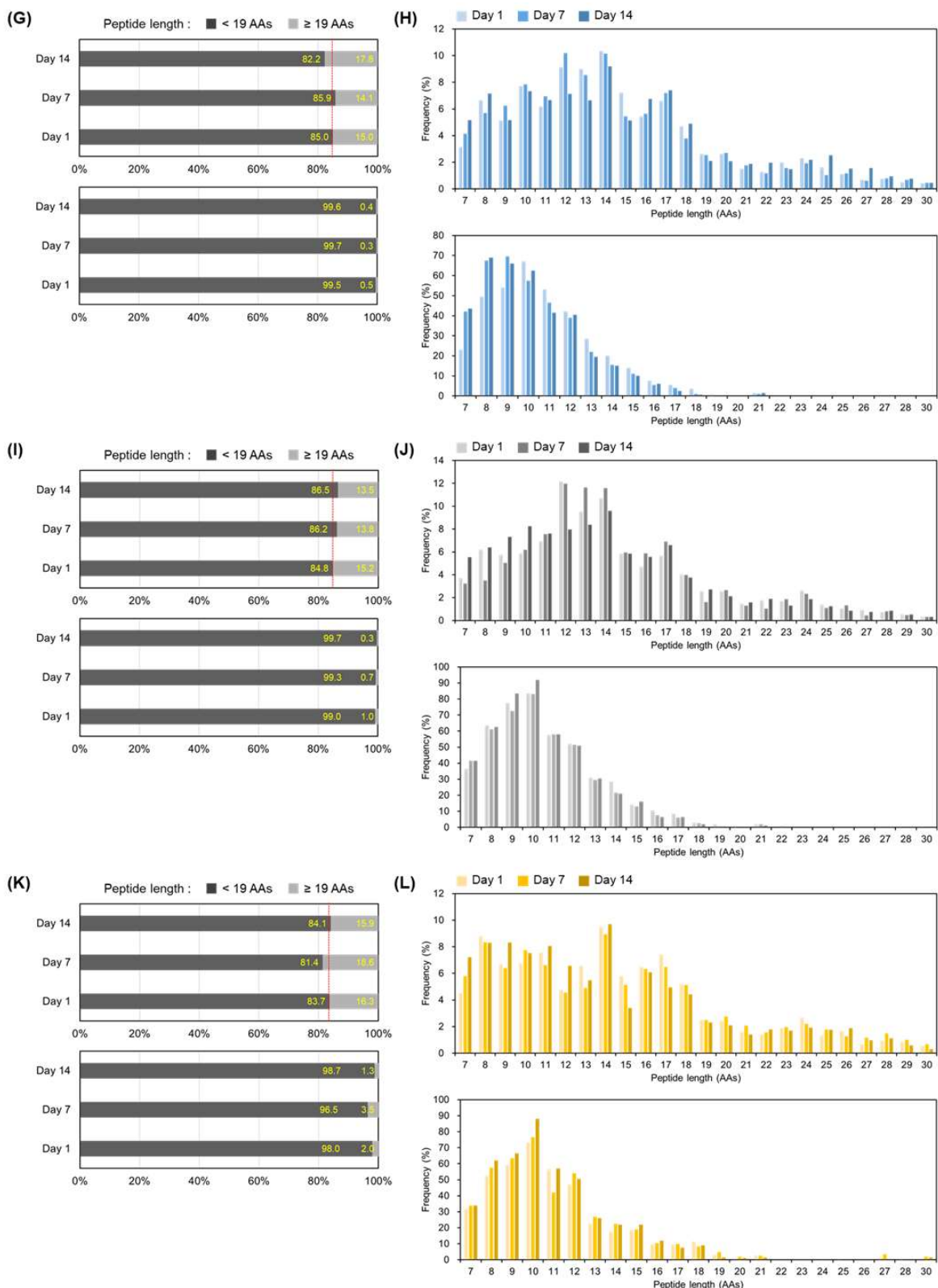
- 인체소화액 모델을 적용하기 전 및 후의 펩타이드는 모두 아미노산이 7개에서 30개로 구성된 것으로 확인되었음(그림 12, 그림 13).
- 펩타이드의 길이(AAs sequence)별로 분류하여 출현 빈도(%)를 비교한 결과, 인체소화액을 적용하기 전에는 채끝, 안심 및 양지의 긴 펩타이드(>19 AAs) 비율이 5.1%~8.8%(저장 1일 기준)를 나타낸 반면, 우둔, 설도 및 사태 부위는 15.0%~16.3%(저장 1일 기준)를 나타내었음.
- 저장 기간이 증가함에 따라 긴 사슬의 펩타이드가 안심에서는 줄어드는 경향을 보이지만, 다른 부위는 차이를 나타내지 않았음.
- 펩타이드 농도를 분석한 결과에서는 양지와 안심은 저장 초기보다 후기에 긴 사슬의 펩타이드 빈도가 줄어든 것을 확인함.
- 인체소화액 모델에 적용하면 긴 사슬의 펩타이드 빈도는 사태를 제외한 모든 부위에서 1.0% 미만으로 감소하였음. 이러한 현상은 저장 기간에 관계없이 확인됨. 반면 사태는 긴 사슬의 펩타이드 빈도가 1.3%~3.5%를 나타냄.
- 펩타이드 농도 변화에서도 비슷한 경향을 나타냄. 대부분의 부위에서는 소화 후 긴 사슬의 펩타이드 농도가 0.01%~0.14% 범위를 나타내지만, 사태는 0.49%~2.86%를 나타냄(그림 14).
- 사태 부위를 구성하고 있는 근육인 *M. triceps surae*는 형태가 multipennate로 근섬유를 고정하는 결체조직이 다른 부위보다 많은 편임. 그래서 저장 중 단백질분해 효소와 인체 소화효소의 작용에 의한 단백질 및 펩타이드 분해가 상대적으로 적었을 것으로 사료됨.
- 사태 부위에서 분해된 단백질 중 tropomyosin, collagen, troponin T slow-type, myosin light chain, desmin 등은 다른 부위보다 더 많이 분해되었지만, troponin C slow-type, MYOZ1, creatin kinase, triosephosphate isomerase 등의 분해물은 거의

없었음.

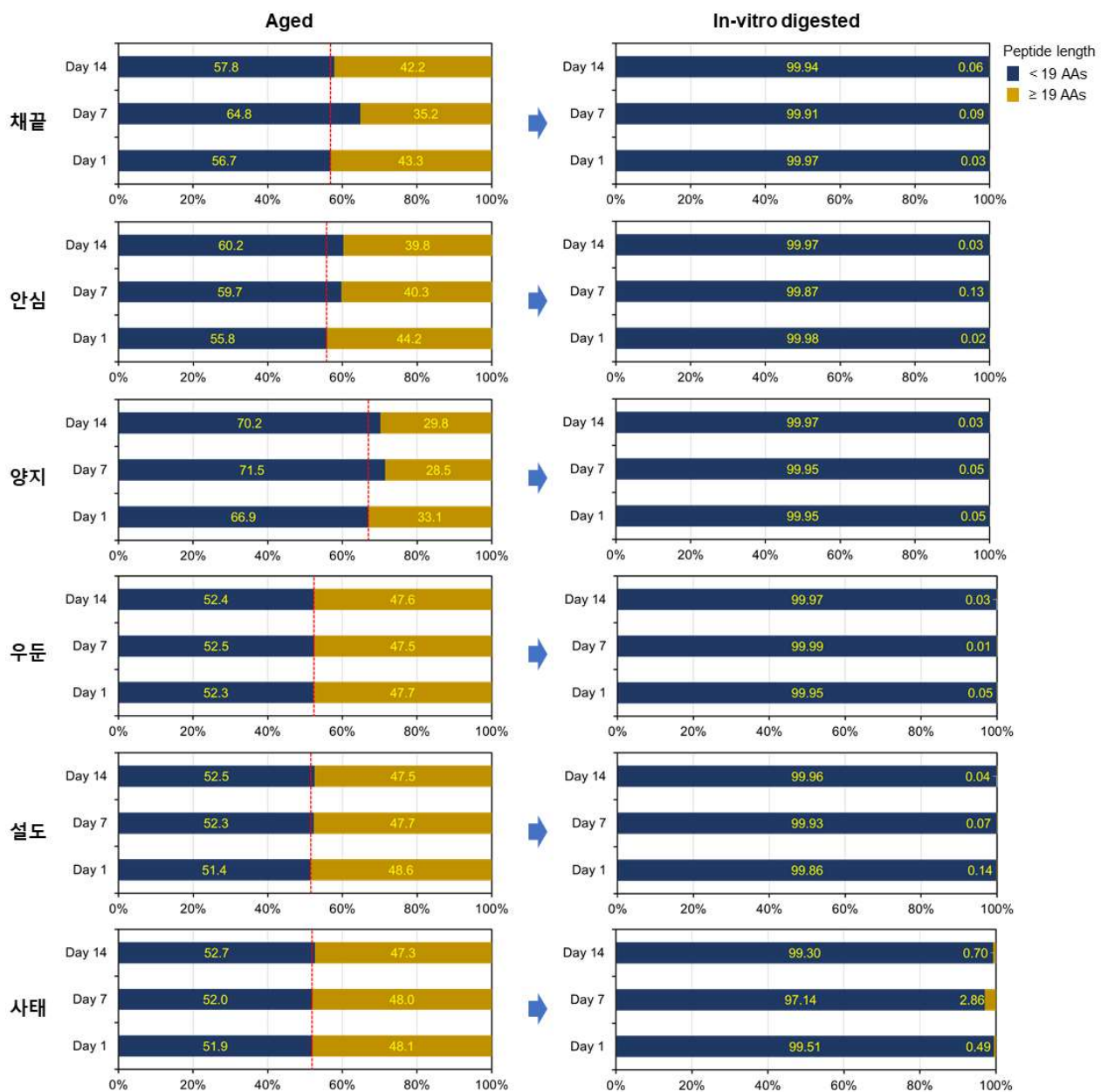
- 따라서 사태 부위의 형태적 특성이 다른 부위와 달라 저장 중 단백질 분해효소의 작용 및 인체 내 소화효소의 작용에 의한 단백질 분해 특성이 다른 부위와 상이한 결과를 나타내고, 상대적으로 낮은 분해성을 나타냄.



[그림 12] 인체소화액 적용 후 한우고기 채끝(A, B), 안심(C, D), 양지(E, F)에서 확인된 펩타이드의 길이(AAs sequence)별 출현 빈도(%). A, C, E : 펩타이드 길이를 19 AAs 기준으로 구분하여 백분율(%)로 나타냄. B, D, F : 펩타이드 길이별 출현 빈도(%)



[그림 13] 인체소화액 적용 후 한우고기 우둔(G, H), 설도(I, J), 사태(K, L)에서 확인된 펩타이드의 길이(AAs sequence)별 출현 빈도(%). G, I, K : 펩타이드 길이를 19 AAs 기준으로 구분하여 백분율(%)로 나타냄. H, J, L : 펩타이드 길이별 출현 빈도(%)



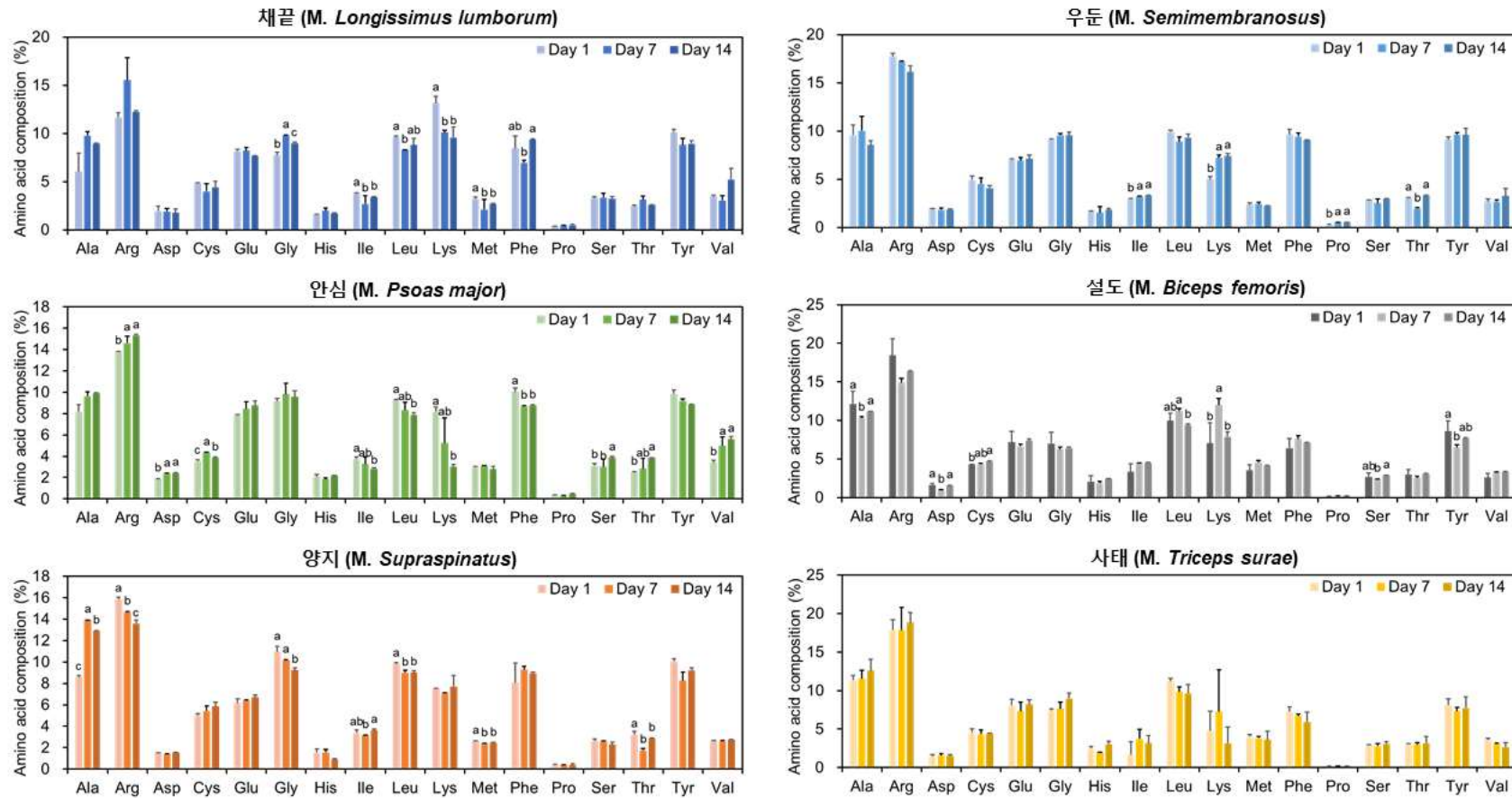
[그림 14] 인체소화액 적용 전후의 한우고기 내에서 확인된 펩타이드 농도 변화.  
펩타이드 길이(19 AAs 기준)에 따라 구분하여 백분율(%)로 나타냄.

## 2. 인체소화액(*In vitro* digestion) 적용 후 아미노산 조성 변화

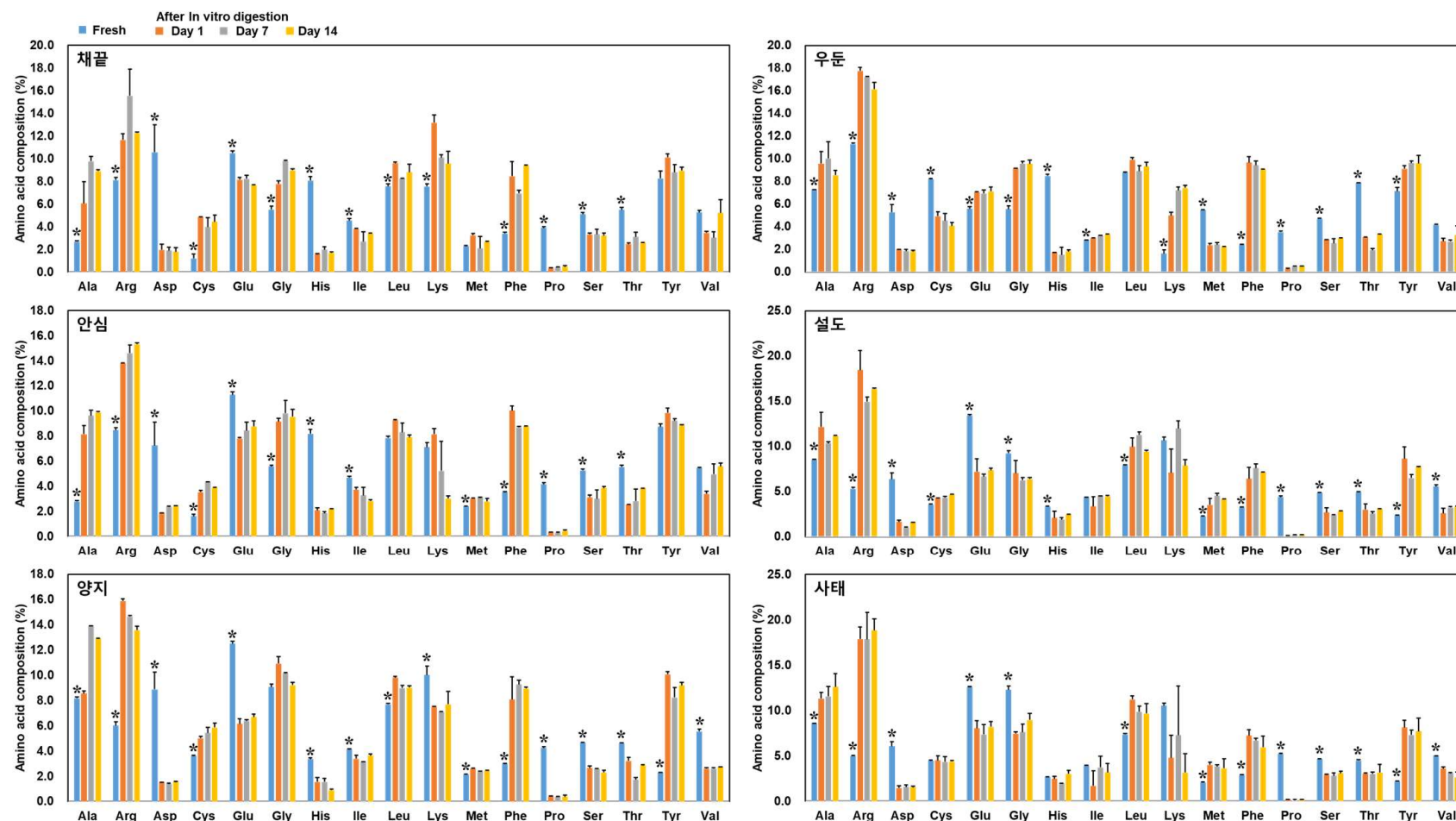
- 저장 기간 동안 아미노산 조성 변화는 부위별로 다른 경향을 나타냄. 채끝의 경우, isoleucine, lysine 및 methionine은 저장 기간이 증가함에 따라 감소하는 경향을 나타냄(그림 15). 반면, 안심은 isoleucine, lysine뿐만 아니라 phenylalanine과 leucine도 감소하는 경향을 보임. Arginine, aspartic acid, serine, threonine 및 valine은 오히려 증가하였음. 양지 부위는 arginine, glycine, leucine, methionine 및 threonine에서 감소하는 경향을 나타내었고, 우둔에서는 isoleucine, lysine 및 proline에서 증가하는 경향을 나타냄. 설도는 cysteine과 serine이 저장 초기보다 후기에 더 높은 조성을 나타내었음. 한편, 사태 부위는 저장 기간에 따른 구성 아미노산 조성의 차이를 나타내지 않았음( $p>0.05$ ).
- BCAA 중 valine은 안심에서, isoleucine은 우둔에서 저장 기간이 증가함에 따라 유의적으로 증가한 반면, leucine은 채끝, 안심, 양지 및 설도에서 저장 초기보다 후기에 더 낮은 조성을 나타냄( $p<0.05$ ).
- 인체소화액을 적용하기 전 한우고기를 구성하고 있는 아미노산 조성은 인체소화액을 적용한 후에 대부분의 아미노산 항목에서 조성의 변화를 나타냄(그림 16).
- 인체소화액 적용 후에는 대부분의 부위에서 aspartic acid, proline, serine, threonine의 조성은 감소한 반면, alanine, arginine, phenylalanine의 조성은 증가하였음.
- BCAA 중 isoleucine은 그 조성이 채끝, 안심 및 양지에서 인체소화액 적용 후에 감소하는 경향을 나타내었고, 우둔에서는 증가하는 경향을 나타냄. Leucine의 조성은 인체소화액 적용 후 채끝, 양지, 설도 및 사태에서 증가하는 경향을 나타내었고, valine의 조성은 양지, 설도 및 사태에서 증가하는 경향을 나타냄.
- 따라서, 한우 신선육을 구성하고 있는 아미노산은 섭취 후 소화과정을 거치면서 대체로 그 조성이 변하는데, 근육의 기능 개선과 연관된 isoleucine 및 valine은 각각

우둔 및 안심 저장육에서 더 높은 조성을 기대할 수 있음.

- 즉, 우둔 및 안심을 7일에서 14일 동안 저장하는 동안 단백질분해효소의 작용으로 인해 BCAA 중 isoleucine 또는 valine의 인체 이용성을 높일 것으로 사료됨.



[그림 15] 저장 기간별 한우 주요 부위의 인체소화액 적용 후 아미노산 조성 변화. Day 1 : 도축 후 1일, Day 7 : 도축 후 7일, Day 14 : 도축 후 14일. 유의성 : 동일한 첨자(a-c)로 표시된 값은 동일한 아미노산 항목에서 유의적으로 차이가 없음( $p>0.05$ ).

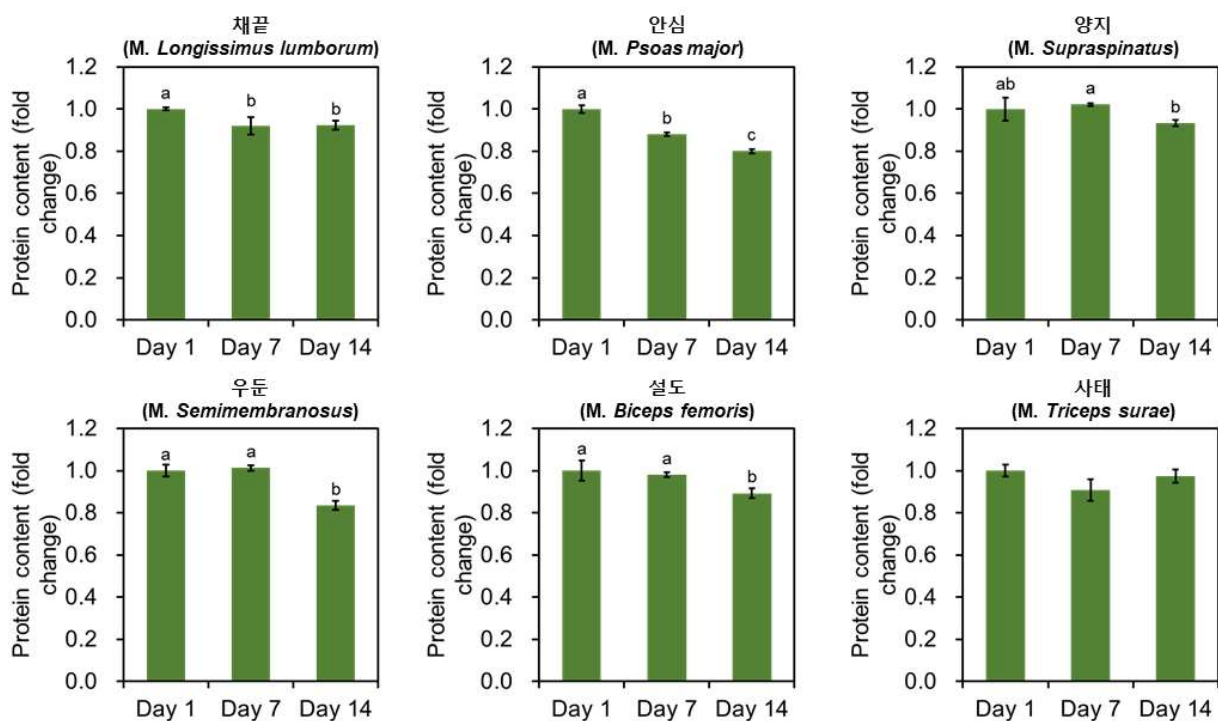


[그림 16] 인체소화액 적용 전후 한우고기의 아미노산 조성 비교. Fresh : 도축 후 1일, 인체소화액 적용 : Day 1, 도축 후 1일; Day 7, 도축 후 7일; Day 14, 도축 후 14일. 유의성 : 첨자(\*)로 표시된 값은 인체소화액 적용 후와 비교하여 유의적으로 차이가 있음을 의미함(p<0.05).

### 3. 냉장 저장이 한우고기의 소화율에 미치는 영향

#### 가. 저장 기간별 한우고기의 단백질 농도 변화

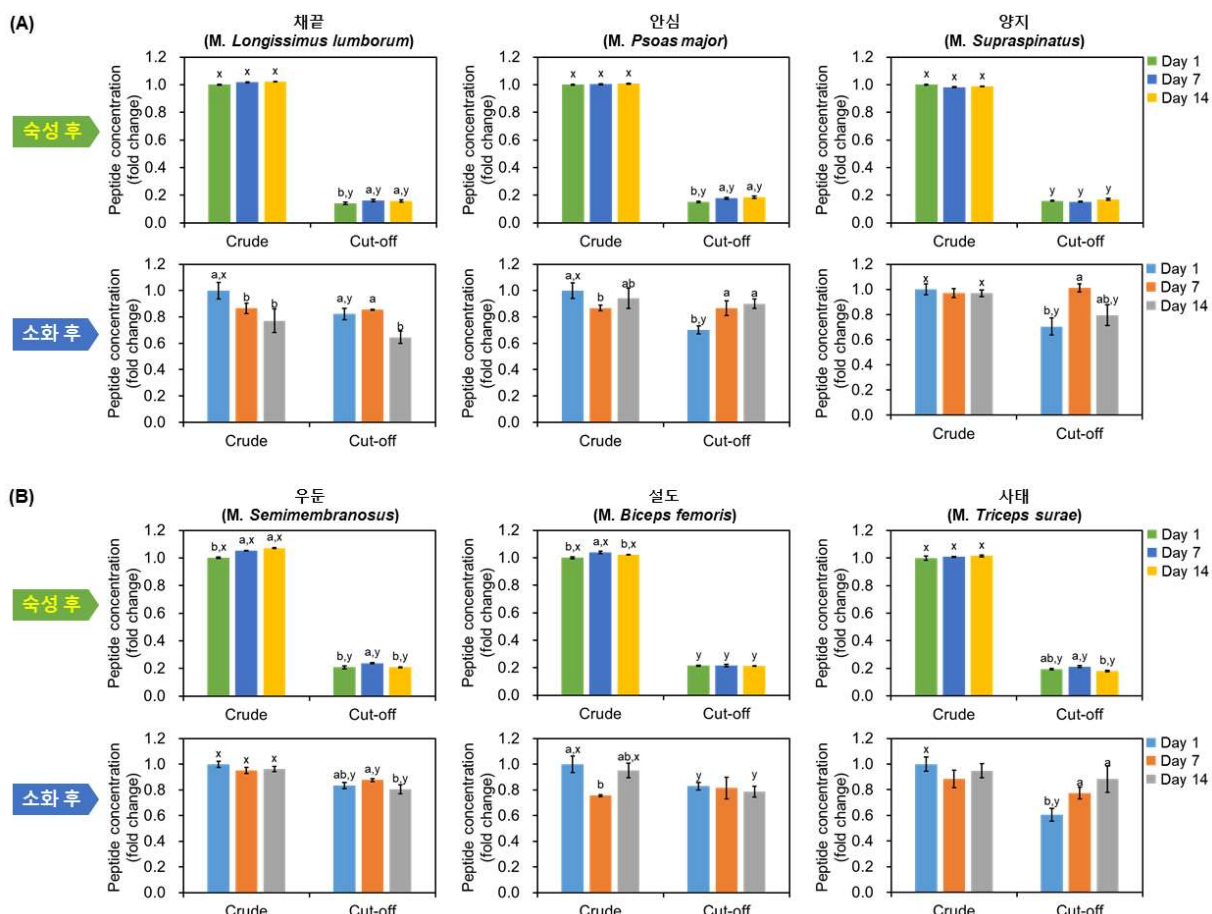
- 저장 기간의 증가에 따라 한우고기 단백질이 점차 분해되어 펩타이드 및 아미노산 형태로 변함으로써 단백질 농도가 대체로 감소하는 경향을 보임(그림 17).
- 사태와 양지를 제외한 모든 부위에서 저장 초기(Day 1)에 비해 저장 후기(Day 14)에 유의적으로 낮은 단백질 농도를 나타냄( $p<0.05$ ). 양지 부위는 저장 초기와 후기 차이가 없으나, 저장 7일보다 저장 14일에 단백질 농도가 유의적으로 낮았음( $p<0.05$ ).



[그림 17] 저장 기간별 한우고기의 인체소화액 적용 후 잔존 단백질 함량 비교. Day 1 : 도축 후 1일, Day 7 : 도축 후 7일, Day 14 : 도축 후 14일. 유의성 : 동일한 첨자(<sup>a-c</sup>)로 표시된 값은 동일 부위 내에서 유의적으로 차이가 없음( $p>0.05$ ).

## 나. 저장 기간별 한우고기에서 생성된 펩타이드 특성 변화

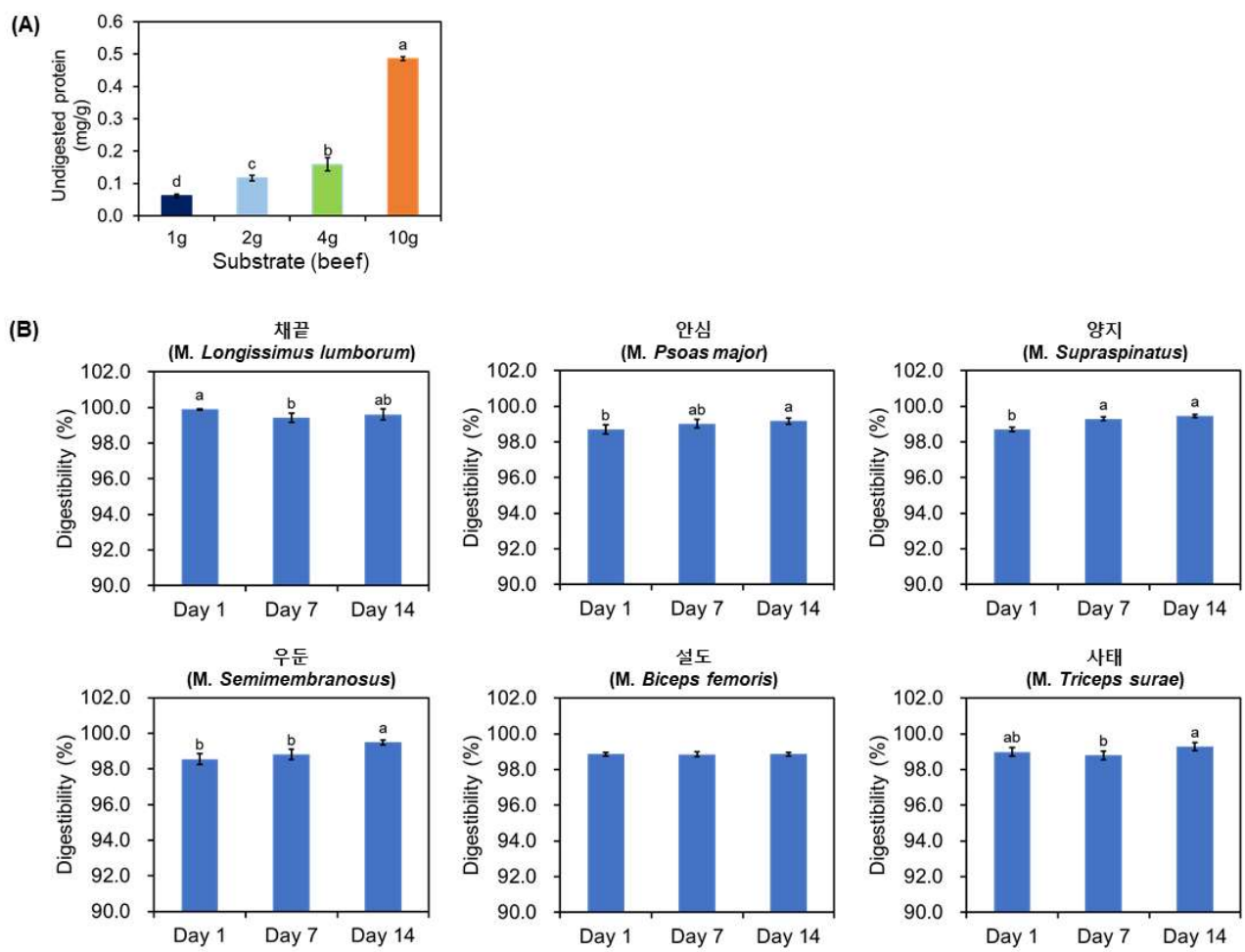
- 인체소화액 적용 전과 후의 펩타이드 특성을 비교한 결과, 소화 후에 저분자 물질이 확연하게 증가함을 알 수 있음. 이러한 현상은 부위에 상관없이 나타남(그림 18).
- LC-MS/MS 분석으로 확인한 소화 후 펩타이드 특성에서 길이가 짧은 펩타이드의 비율이 급격히 증가한 결과와 부합함.



[그림 18] 저장 기간별 한우고기의 인체소화액 적용 전후 펩타이드 농도 비교. Day 1 : 도축 후 1일, Day 7 : 도축 후 7일, Day 14 : 도축 후 14일, Crude : 3,000Da cut-off 전 총 펩타이드, Cut-off : 3,000Da cut-off 후 획득한 저분자 펩타이드. 유의성 : 동일한 첨자로 표시된 값은 동일 부위 내에서 저장 기간별(<sup>a-c</sup>) 또는 cut-off 유무별(<sup>x, y</sup>) 유의적으로 차이가 없음( $p>0.05$ ).

#### 다. 저장 기간별 한우고기의 소화율 차이

- 동일한 조건의 인체소화액 모델에 소화물의 양을 증가시킬 경우, 미소화 단백질의 양도 유의적으로 증가함을 확인함(그림 19).
- 안심, 양지 및 우둔에서 저장 기간이 증가함에 따라 소화율이 증가하는 것으로 확인됨( $p<0.05$ ). 그러나 채끝, 설도 및 사태 부위는 저장 초기와 저장 후기의 소화율은 서로 차이를 나타내지 않았음( $p>0.05$ ).
- 따라서 저장 기간 동안 한우고기 단백질이 분해되어 인체소화액에 적용하였을 때, 소화율이 개선되는 현상을 일부 부위에서 확인함.



[그림 19] 저장 기간별 한우고기의 인체소화액 적용에 따른 소화율 차이. (A) 소화물질의 양 차이에 따른 소화율 비교. Day 1 : 도축 후 1일, Day 7 : 도축 후 7일, Day 14 : 도축 후 14일. 유의성 : 동일한 첨자(<sup>a-d</sup>)로 표시된 값은 처리구별 유의적 차이가 없음( $p>0.05$ ).

## 제4절. 세포 및 동물실험을 통한 근육퇴화 억제능 구명 결과

### 1. 장상피세포모델(Caco-2 cell) 적용을 통한 펩타이드 인체 이용성 분석

- 인체의 소장에서 흡수 가능한 한우고기 유래 펩타이드를 확인하기 위하여 Caco-2 cell monolayer에 투과 실험을 실시하여 획득한 펩타이드는 총 9종으로 확인됨(표 9).
- 이 중 4종은 myoglobin 단백질에서 유래한 펩타이드였고, 나머지는 2종 또는 1종씩 phosphoglycerate kinase(1종), creatine kinase M-type(2종) 및 glyceraldehyde-3-phosphate dehydrogenase(2종)에서 유래한 것으로 확인됨.
- 장상피세포모델 투과실험에 적용한 시료 중 저장 14일의 채끝과 설도, 저장 1일의 우둔에서 유래한 펩타이드로 확인됨. 저장 1일의 우둔에서는 6종의 펩타이드가 확인되었음.
- 그러나 투과된 펩타이드는 동일 시료의 반복 실험에서 재연되지 않는 결과를 확인하였음.
- 따라서 한우고기에서 생성된 펩타이드 중 일부는 장상피세포를 통과할 수 있으나, 그 종류가 매우 적고 불특정하여 단일 또는 특정 펩타이드의 기능성을 기대하기 어려울 것으로 판단됨.

[표 9] Caco-2 monolayer 투과실험을 통해 얻은 한우고기 유래 펩타이드

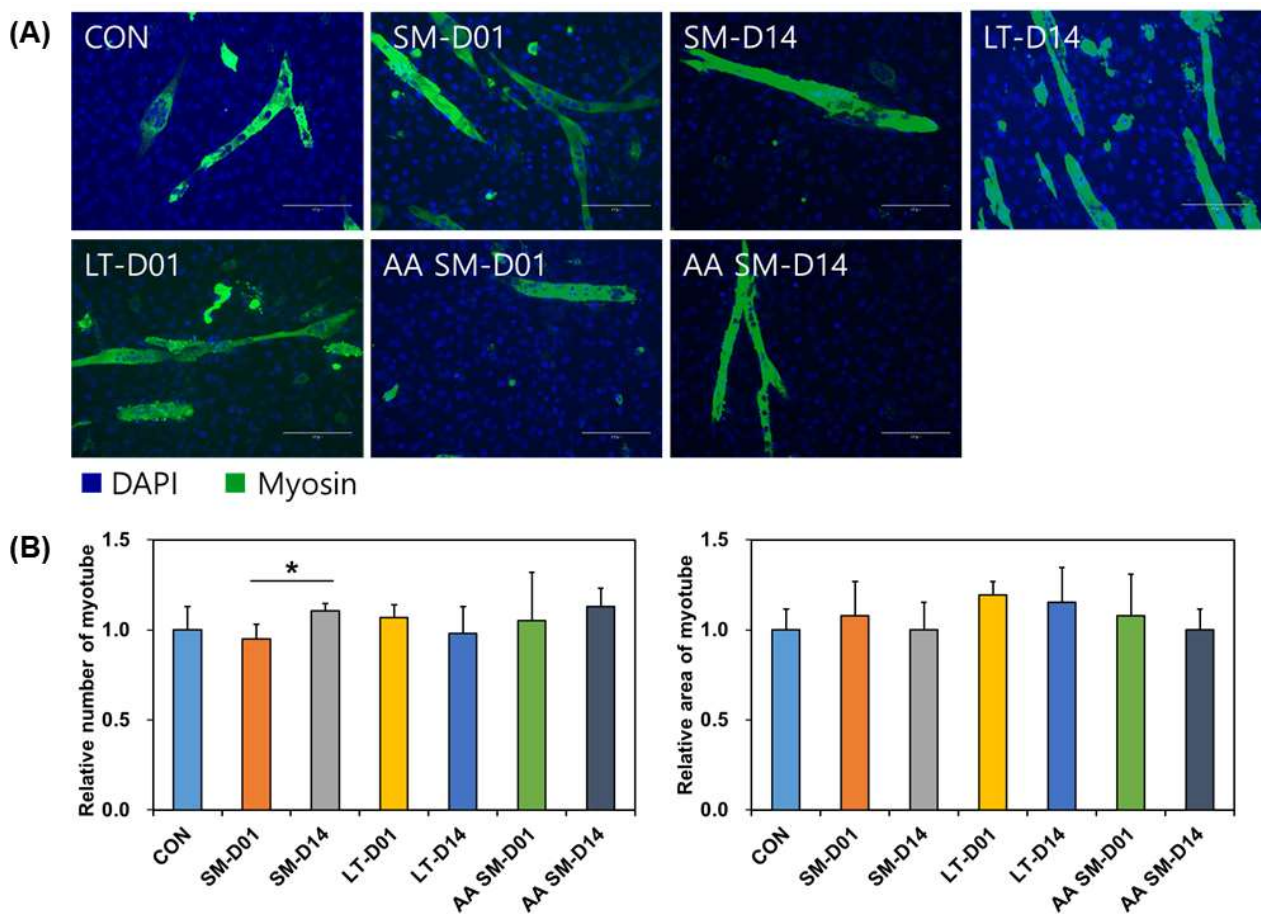
Accession no. <sup>1)</sup>	Gene <sup>1)</sup>	Protein name <sup>1)</sup>	Peptides				-10log(P-value)	Mass (Da)	Spectral count		
			Sequence	Start	End	Length (AAs)			LT14	SM01	BF14
P02192	MB	Myoglobin	WGKVEADVAGHGQE	15	28	14	65.9	1481.69	2		
			NAWKGKVEADVAGHG	13	26	14	63.05	1409.669	1		
			AAQYKVLG	144	151	8	36.93	848.4756	1		
			YKVLGFHG	147	154	8	39.61	919.4916	1		
Q3T0P6	PGK1	Phosphoglycerate kinase 1	LEGKVLPGVDA	403	413	11	53.51	1096.613	1		
Q9XSC6	CKM	Creatine kinase M-type	DVIQTGVVDNPGHPF	55	68	14	71.07	1494.71	1		
			VDNPGHPF	61	68	8	36.89	881.4031	1		
A0A4W2GEV4	GAPDH	Glyceraldehyde-3-phosphate dehydrogenase	QERDPANIKWG	75	85	11	26.25	1312.652	1		
			QERDPANIKWGDAG	75	88	14	27.82	1555.738	1		

<sup>1)</sup>Accession no., gene, and protein name were derived from the UniProt database, taxonomy *Bos taurus* 9913 (46,765 sequences).

LT14 : 저장 14일의 채끝, SM01 : 저장 1일의 우둔, BF14 : 저장 14일의 설도

## 2. 한우고기 유래 저분자 물질이 근아세포(C2C12 cell) 분화에 미치는 영향

- 한우고기 저분자 추출물을 C2C12 cell 분화용 배지에 첨가하여 92시간 동안 분화를 유도하여 형성된 근관(myotube)의 단위면적당 수 및 면적을 분석하여 대조군과 비교한 결과(그림 20), 모든 처리구에서 유의적 차이를 나타내지 않았음( $p>0.05$ ). 그러나 근관의 수에서 한우 우둔에서 유래한 저분자 추출물이 저장 1일과 14일간 유의적 차이를 나타내었음( $p<0.05$ ).

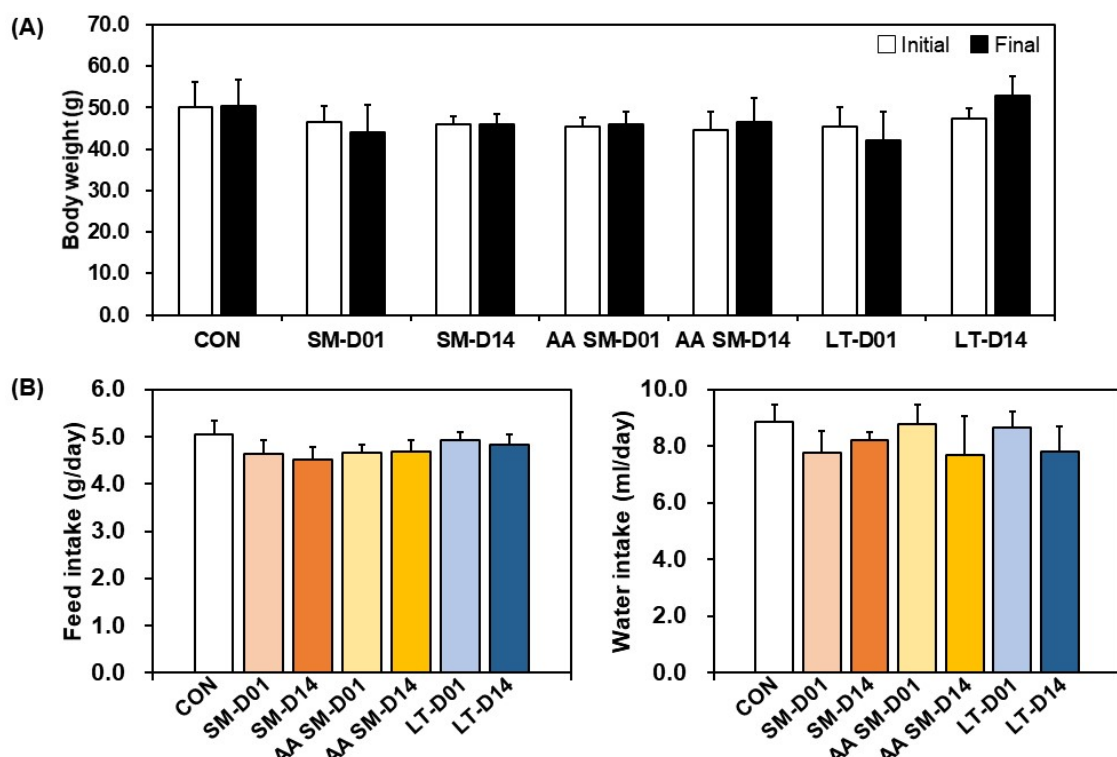


[그림 20] 한우고기 저분자 추출물을 배양액에 첨가하여 분화시킨 마우스 근아세포(C2C12 cell) 특성. 핵과 근관(myotube)을 형광염색한 이미지(A)와 근관의 수 및 면적을 대조군과 비교한 결과(B). 처리구 : CON, 대조군; SM-D01, 저장 1일의 우둔 저분자 추출물; SM-D14, 저장 14일의 우둔 저분자 추출물; LT-D01, 저장 1일의 채끝 저분자 추출물; LT-D14, 저장 14일의 채끝 저분자 추출물; AA SM-D01, 저장 1일의 우둔 저분자 추출물 가수분해물; AA SM-D14, 저장 14일의 우둔 저분자 추출물 가수분해물. 첨자(\*)로 나타낸 값은 유의적인 차이를 나타냄( $p<0.05$ ).

### 3. 한우고기 유래 저분자 물질이 실험동물의 근육퇴화 억제에 미치는 영향

#### 가. 급여기간 체중, 사료 및 물 섭취량 변화

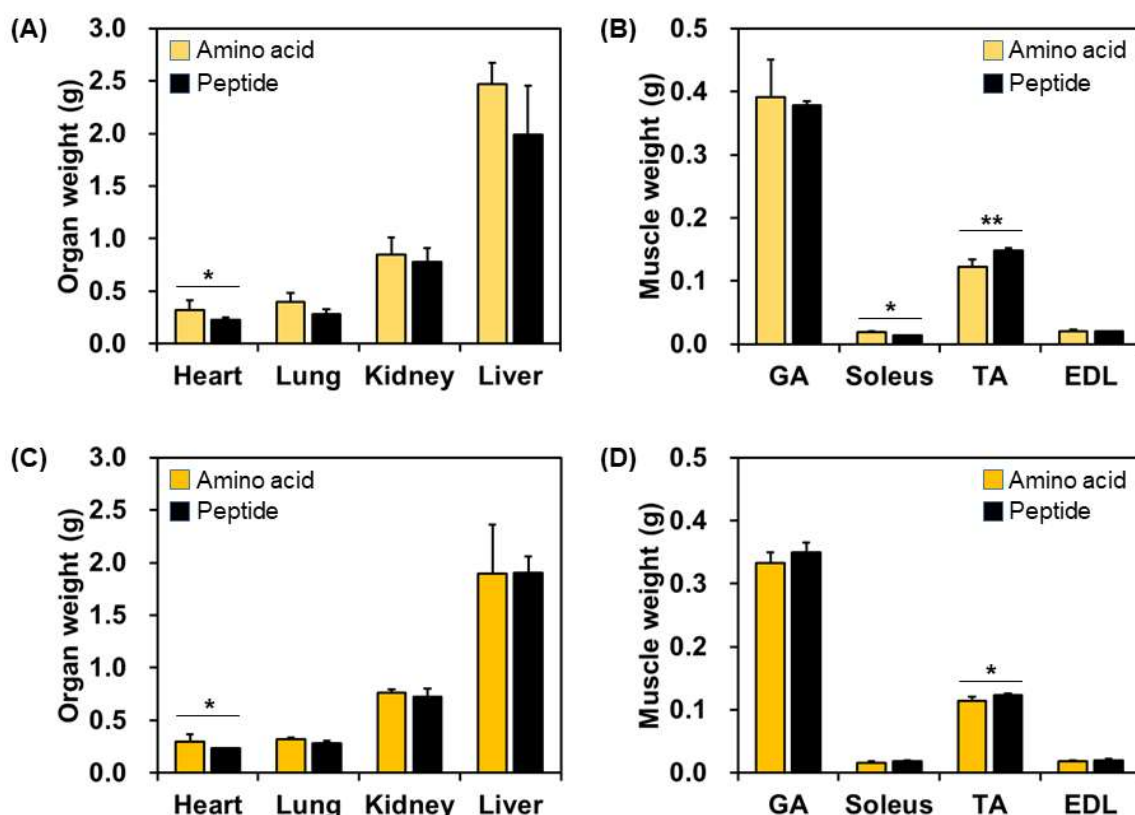
■ 한우고기 채끝 및 우둔에서 추출한 저분자 물질을 4주 동안 실험동물에 급여한 결과(그림 21), 체중의 변화가 없었고, 그룹 간에도 유의적 차이가 없었음( $p>0.05$ ). 저분자 추출물을 가수분해한 뒤 아미노산을 회수하여 동일한 양을 실험동물에 급여한 결과에서도 체중의 차이가 없었음( $p>0.05$ ). 4주 동안 급여한 사료 및 물의 일일 섭취량에서도 그룹 간 유의적 차이를 나타내지 않았음( $p>0.05$ ).



[그림 21] 4주 동안 한우고기 저분자 추출물을 급여한 동물실험 처리군별 체중, 사료 및 물 섭취량 비교. (A) 실험 전과 후의 체중 변화. (B) 급여실험 기간 일일 평균 사료 섭취량. (C) 급여실험 기간 일일 평균 물 섭취량. 처리군 : CON, 대조군; LT-D01, 저장 1일의 채끝 저분자 추출물; LT-D14, 저장 14일의 채끝 저분자 추출물; SM-D01, 저장 1일의 우둔 저분자 추출물; SM-D14, 저장 14일의 우둔 저분자 추출물; AA SM-D01, 저장 1일의 우둔 저분자 추출물 가수분해물; AA SM-D14, 저장 14일의 우둔 저분자 추출물 가수분해물.

## 나. 저분자 추출물과 가수분해물을 급여 차이

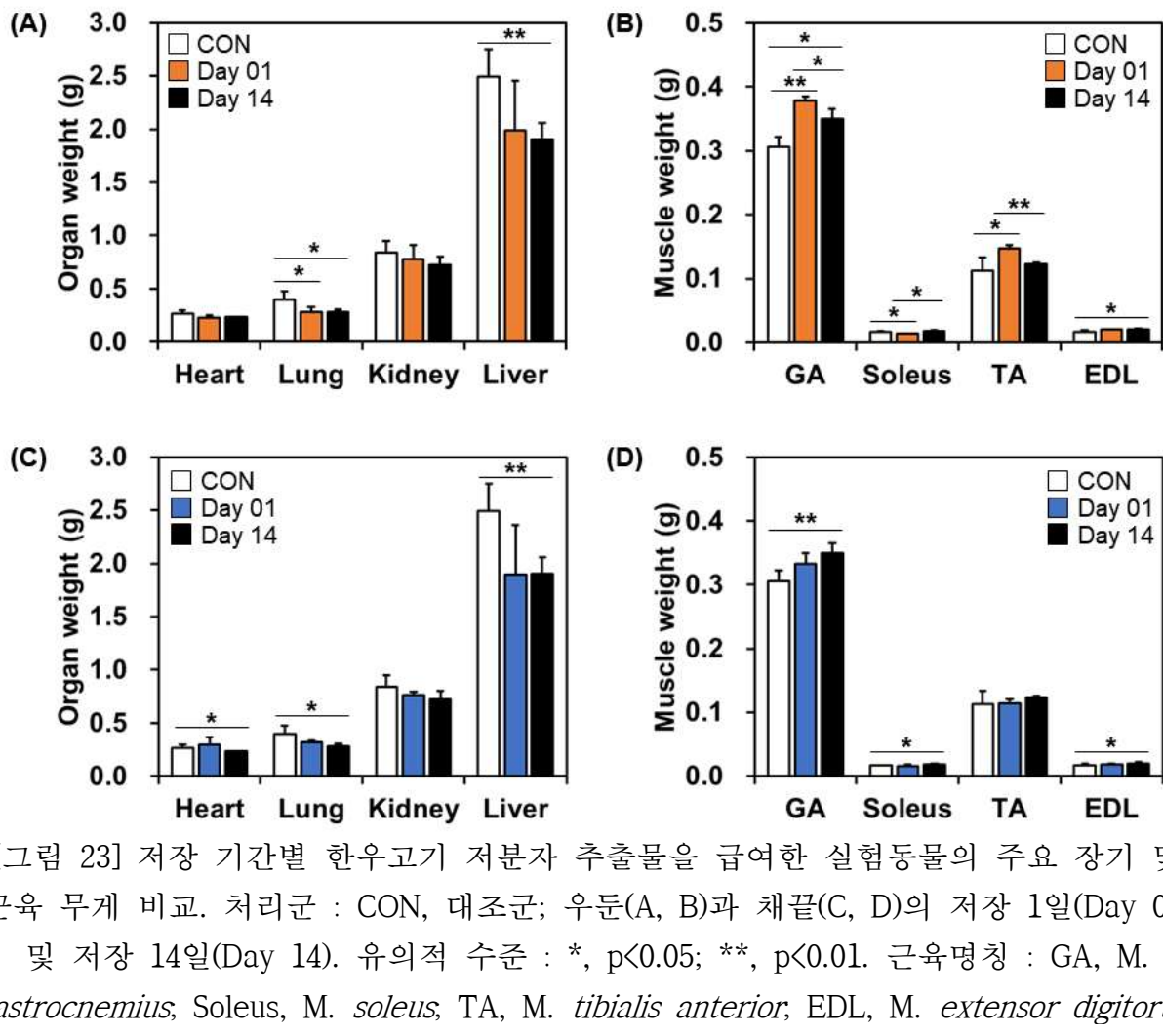
■ 펩타이드를 다량 함유한 저분자 추출물과 가수분해물을 급여한 뒤 실험동물의 주요 장기와 근육의 무게를 비교한 결과(그림 22), 장기에서는 심장이 가수분해물을 급여한 그룹에서 유의적으로 높은 값을 나타내었지만( $p<0.05$ ), 근육에서 *M. tibialis anterior* (TA)는 저분자 추출물 그룹이 유의적으로 높은 값을 나타내었음( $p<0.05$ ). *M. soleus*에서는 저장 1일의 우둔 저분자 추출물이 가수분해물 그룹보다 낮은 값을 나타내었으나( $p<0.05$ ), 저장 14일 우둔 저분자 추출물 및 가수분해물 그룹에서는 유의적 차이를 나타내지 않았음( $p>0.05$ ).



[그림 22] 한우고기 저분자 추출물과 가수분해물을 급여한 실험동물의 주요 장기 및 근육 무게 비교. 처리군 : Amino acid, 가수분해물 급여; Peptide, 저분자 추출물 급여; 저장 1일의 우둔 저분자 추출물(A)과 가수분해물(B) 급여; 저장 14일의 우둔 저분자 추출물(C)과 가수분해물(D) 급여. 유의적 수준 : \*,  $p<0.05$ ; \*\*,  $p<0.01$ . 근육명칭 : GA, *M. gastrocnemius*, Soleus, *M. soleus*, TA, *M. tibialis anterior*, EDL, *M. extensor digitorum longus*.

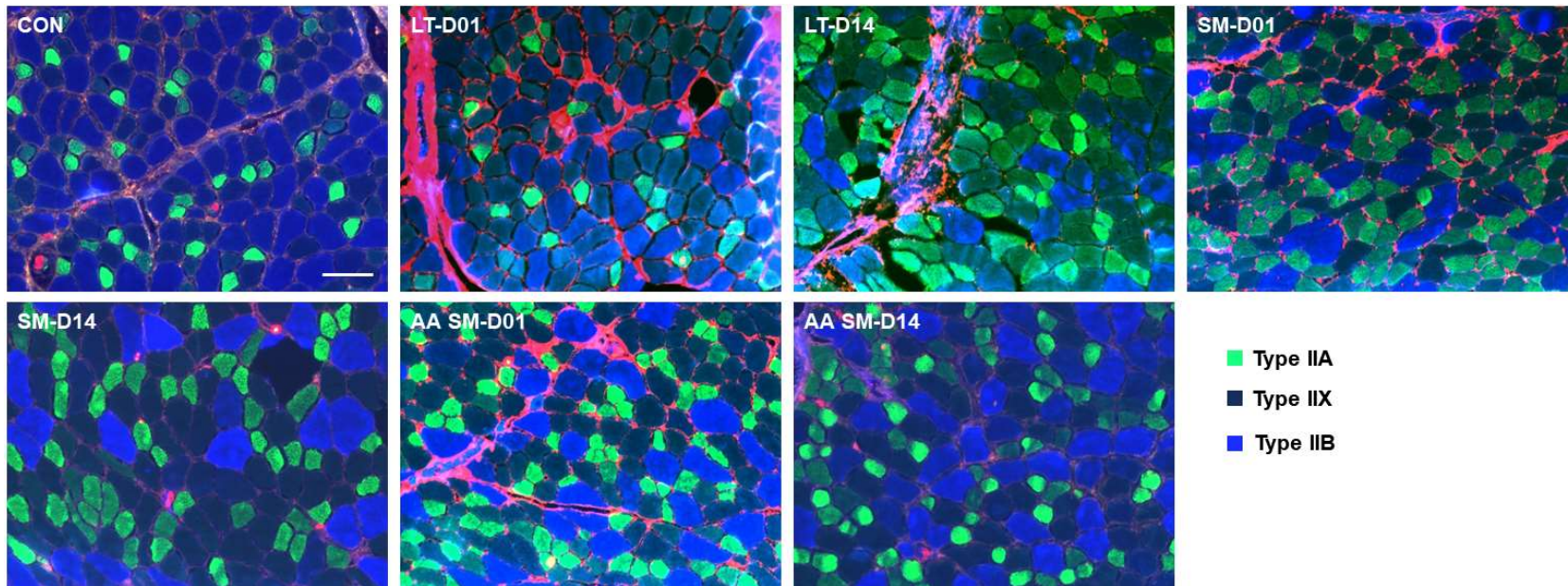
#### 다. 한우고기 저장 기간 차이에 따른 효과

- 한우 우둔 및 채끝 저분자 추출물을 급여한 실험동물의 허파와 간은 대조군 대비 저장 14일 그룹에서 유의적으로 감소하는 경향을 나타내었고, 심장의 경우, 채끝 그룹에서만 감소하는 경향을 나타내었음( $p<0.05$ ; 그림 23).
- 저장 14일의 한우 우둔 저분자 추출물을 급여한 실험동물에서는 모든 근육이 대조군 보다 유의적으로 높은 값을 나타내었고, 저장 7일의 우둔 저분자 추출물 급여 그룹에서는 *M. gastrocnemius* (GA) 및 TA의 무게가 유의적으로 증가하였음 ( $p<0.05$ ).
- 저장 14일의 한우 채끝 저분자 추출물 급여 그룹에서도 GA, *M. soleus* 및 *M. extensor digitorum longus* (EDL)이 대조군보다 높은 값을 나타내었음( $p<0.05$ ).

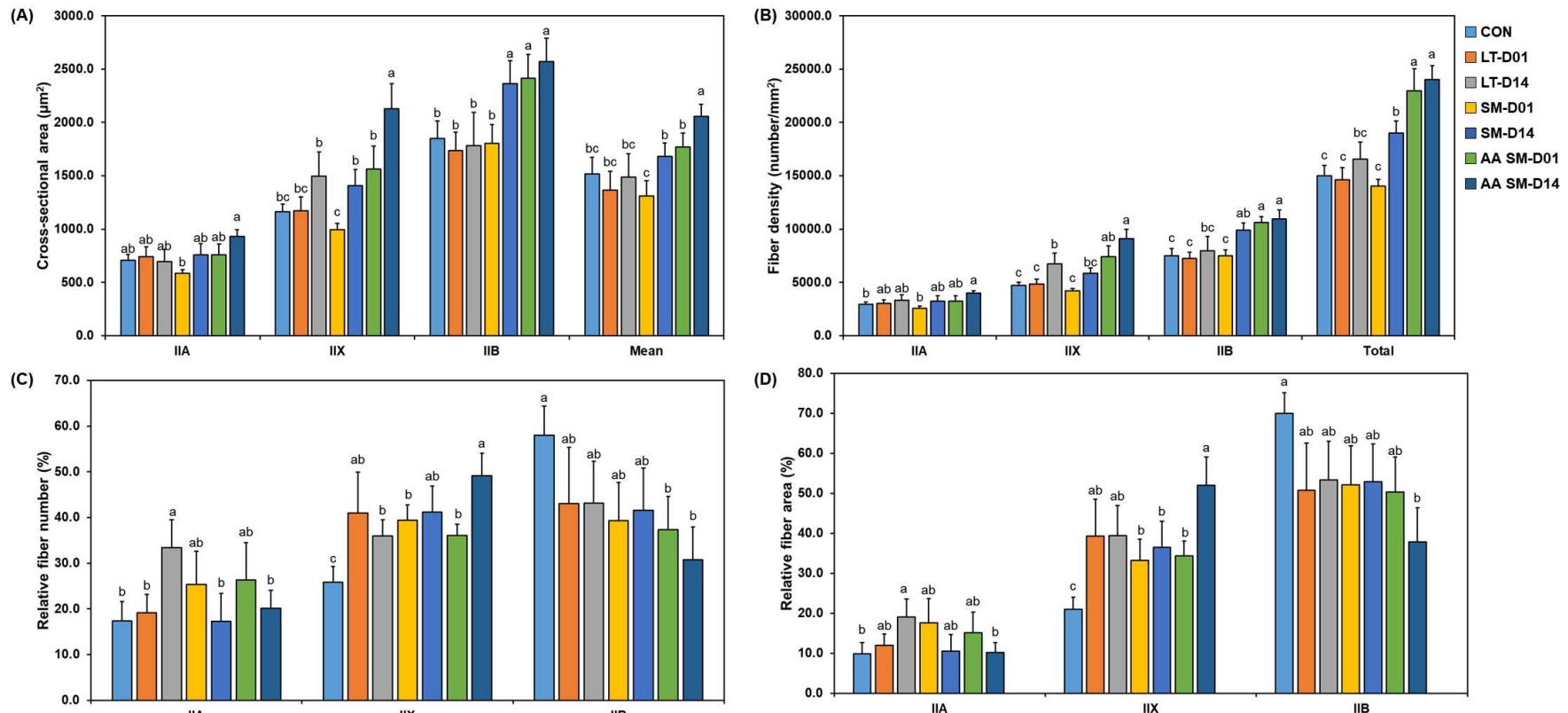


## 라. 근섬유 특성 비교

- 한우고기 저분자 추출물을 급여한 실험동물의 TA 근육을 채취하여 근섬유 타입(유형)을 4종(I, IIa, IIx, IIb)로 구분하여 근섬유 크기(cross-sectional area; CSA), 근섬유 밀도, 근섬유의 수적 조성 및 면적 조성을 분석하여 그룹 간 비교하였음(그림 24).
- 근섬유 타입 중 I은 분포 빈도(0.5% 미만)가 매우 적어 근섬유 특성 비교에 고려하지 않았고, 나머지 3종(IIa, IIx, IIb)만 타입을 구분하여 각각의 특성을 비교하였음(그림 25).
- 근섬유 타입 중 IIa 및 IIx에서는 저장 14일 우둔 저분자 추출물 가수분해물이 가장 큰 근섬유 크기(CSA)를 나타내었음. 그러나 IIb에서는 모든 가수분해물 급여 그룹과, 저장 14일 우둔 저분자 추출물 그룹이 다른 그룹보다 더 큰 근섬유 크기를 나타내었음( $p<0.05$ ). 근섬유 밀도는 근섬유 크기와 유사한 경향을 나타내었음.
- 근섬유 조성에서는 수적 조성 및 면적 조성이 서로 유사한 경향을 나타내었는데, IIa에서는 저장 14일의 한우 채끝 저분자 추출물 급여 그룹이 대조군, 저장 1일의 한우 우둔 가수분해물, 저장 14일의 한우 우둔 저분자 추출물 가수분해물보다 유의적으로 더 높은 조성을 나타내었음( $p<0.05$ ). IIx에서는 근섬유 크기의 결과와 마찬가지로 저장 14일의 한우 우둔 저분자 추출물 가수분해물이 가장 높은 값을 나타내었고, IIb에서는 대조군이 가장 높은 조성을 나타내었음( $p<0.05$ ).



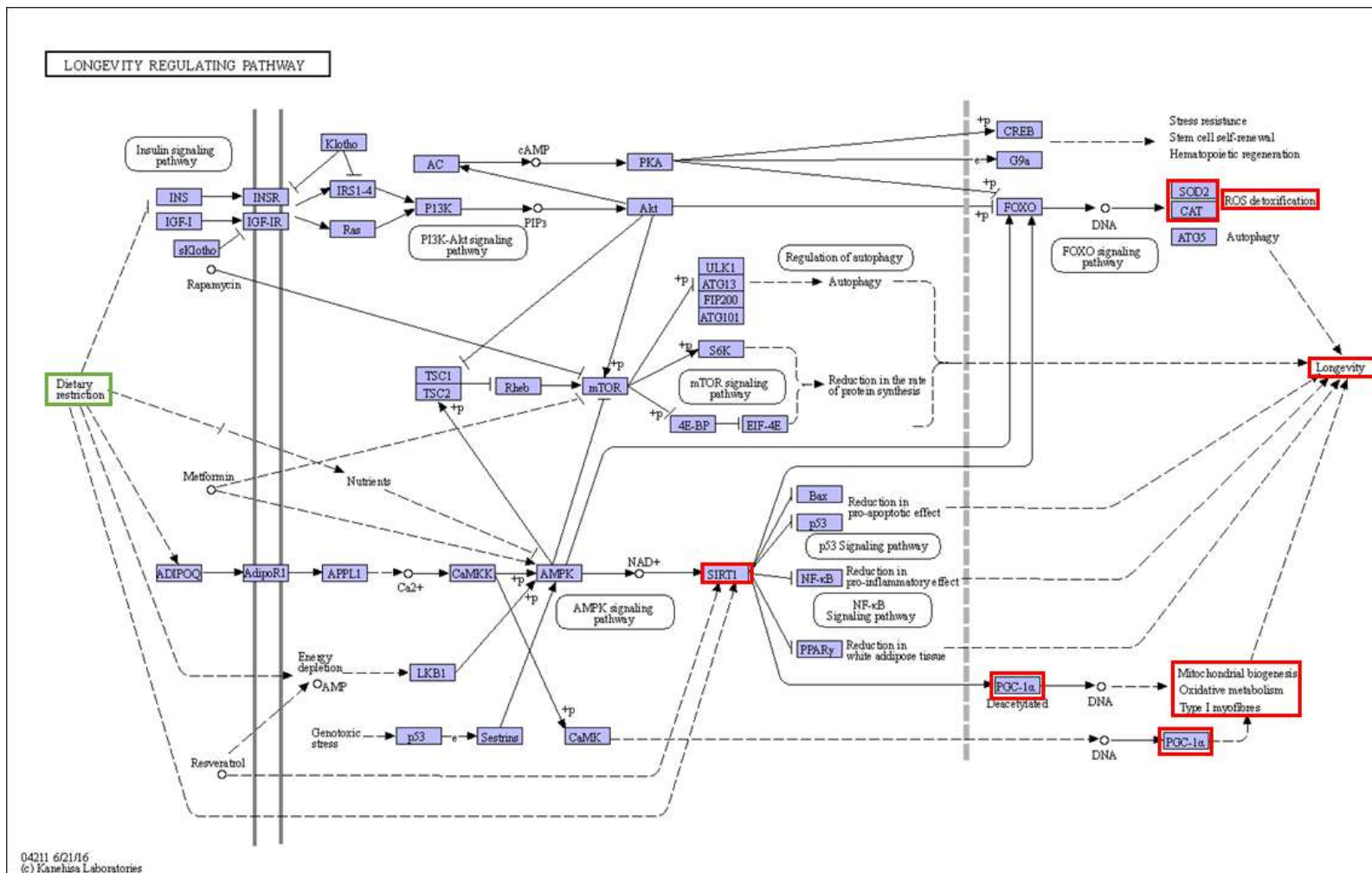
[그림 24] 마우스 *M. tibialis anterior*의 근섬유 염색 결과. 처리군 : CON, 대조군; LT-D01, 저장 1일의 채끝 저분자 추출물; LT-D14, 저장 14일의 채끝 저분자 추출물; SM-D01, 저장 1일의 우둔 저분자 추출물; SM-D14, 저장 14일의 우둔 저분자 추출물; AA SM-D01, 저장 1일의 우둔 저분자 추출물 가수분해물; AA SM-D14, 저장 14일의 우둔 저분자 추출물 가수분해물. Bar = 100  $\mu\text{m}$ .



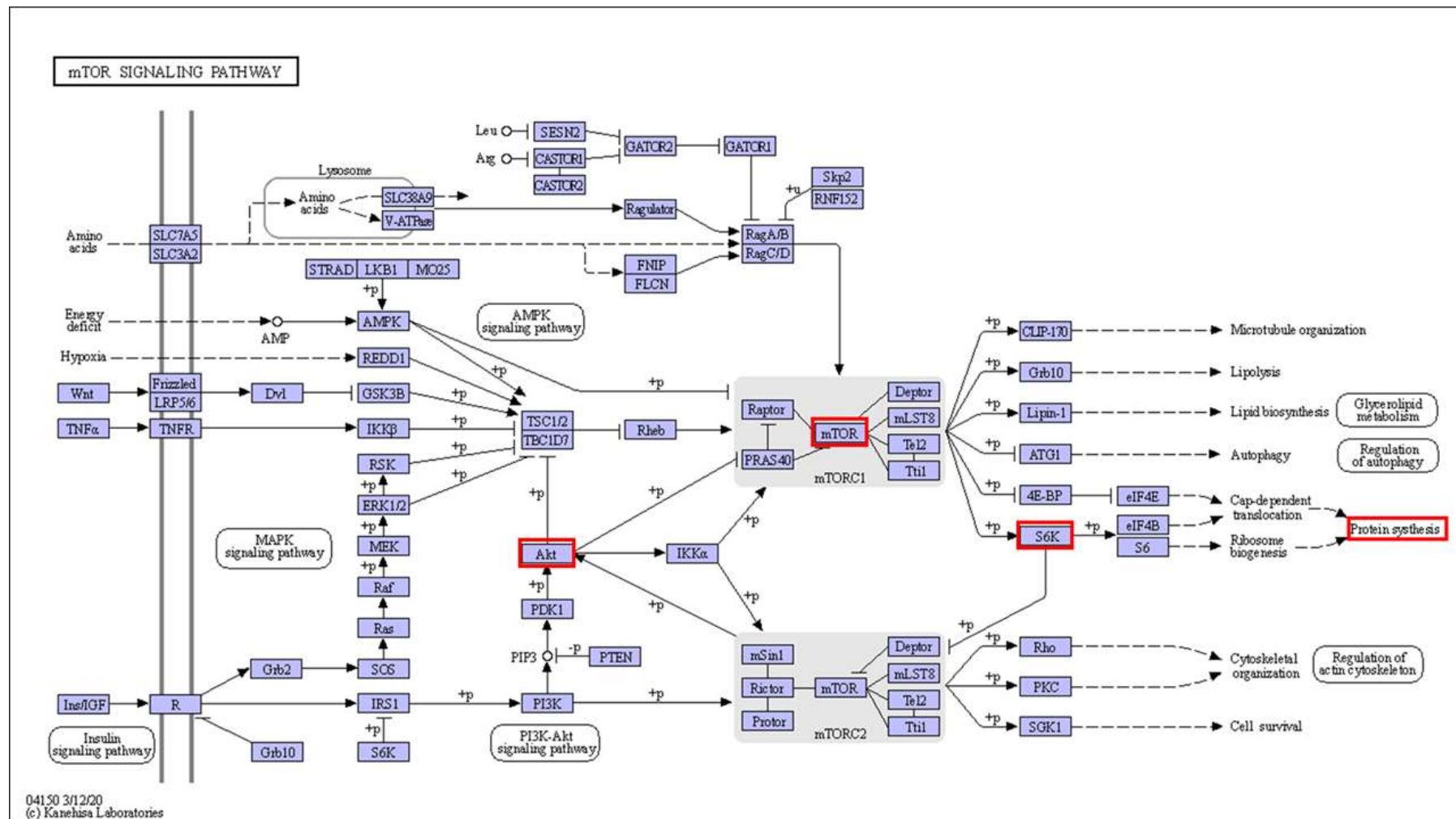
[그림 25] 마우스 *M. tibialis anterior* 근섬유 특성 비교. (A) 근섬유 크기, (B) 근섬유 밀도, (C) 근섬유 수적 조성, (D) 근섬유 면적 조성. 처리군 : CON, 대조군; LT-D01, 저장 1일의 채끝 저분자 추출물; LT-D14, 저장 14일의 채끝 저분자 추출물; SM-D01, 저장 1일의 우둔 저분자 추출물; SM-D14, 저장 14일의 우둔 저분자 추출물; AA SM-D01, 저장 1일의 우둔 저분자 추출물 가수분해물; AA SM-D14, 저장 14일의 우둔 저분자 추출물 가수분해물. 동일한 첨자(<sup>a-c</sup>)로 표시한 값은 동일한 근섬유 타입에서 유의적으로 차이 없음( $p>0.05$ ).

#### 마. 전사체(mRNA) 발현 비교

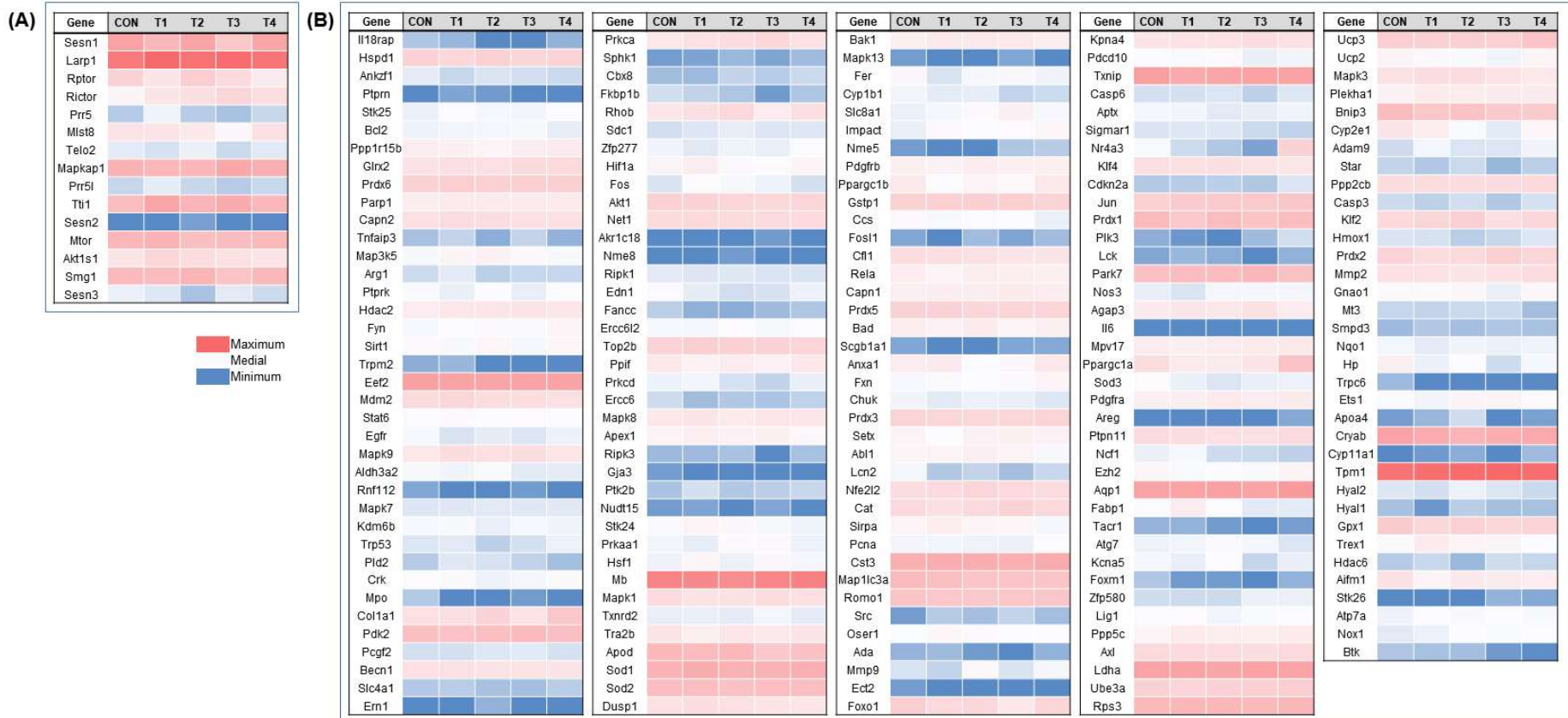
- 노화와 함께 동반되는 운동 부족, 영양 섭취 부족 및 불균형, 호르몬의 변화 등으로 인해 근육량의 감소와 근육 기능 약화가 야기되는데, 이러한 현상은 근육 내 미토콘드리아 기능과 매우 밀접한 연관이 있음(D' Antona 등, 2010; 그림 26, 그림 27).
- 따라서 14개월령 마우스에 한우고기 저분자 추출물을 급여하여 얻은 TA 근육에서 근육 기능 퇴화 억제 효과를 확인하고자 미토콘드리아 생합성(mitochondria biogenesis), 근육 단백질 합성 기작 및 산화적 스트레스 대응 연관 전사체(mRNA)를 분석하여 대조군과 비교하였음(그림 28).
- 대조군과 비교하여 NRF-1과 Tfam은 큰 차이가 없는 것으로 보이나, PGC-1 $\alpha$ 는 저장 14일의 한우 우둔 저분자 추출물을 급여한 마우스가 대조군 대비 3배 이상의 발현량을 나타내었음(그림 29).
- 산화적 스트레스에 대응하는 인자인 COX4i1의 경우 부위 및 저장 기관에 관계없이 한우고기 유래 저분자 추출물 급여 마우스에서 높은 발현량을 나타낸 반면, cytochrome c (Cycl)의 경우 저장 기간에 관계없이 한우 우둔에서 유래한 저분자 추출물 급여 마우스가 대조군과 비슷한 발현량을 나타내었음.
- Cox4i1은 Sod1의 발현 양상과 비슷한 결과를 나타내었고, Gpx1의 경우 모든 처리 구가 대조구에 비해 낮은 발현량을 나타내었음.
- SIRT1은 저장 1일의 한우 채끝과 우둔 저분자 추출물 급여군에서 대조군 보다 낮은 발현량을 나타내었으나 나머지 처리군은 대조군보다 높은 발현량을 나타냄.
- mTOR signaling 관련 mRNA 발현 결과에서는 대조군 대비 저장 1일의 한우 채끝 저분자 추출물 급여군이 mTOR, Akt3, Akt2 및 Rps6kal을 더 많이 발현한 것으로 확인됨. 저장 1일의 한우 우둔 저분자 추출물 급여군도 대조군 보다 Akt3 및 Rps6kal을 더 많이 발현할 것으로 나타남.



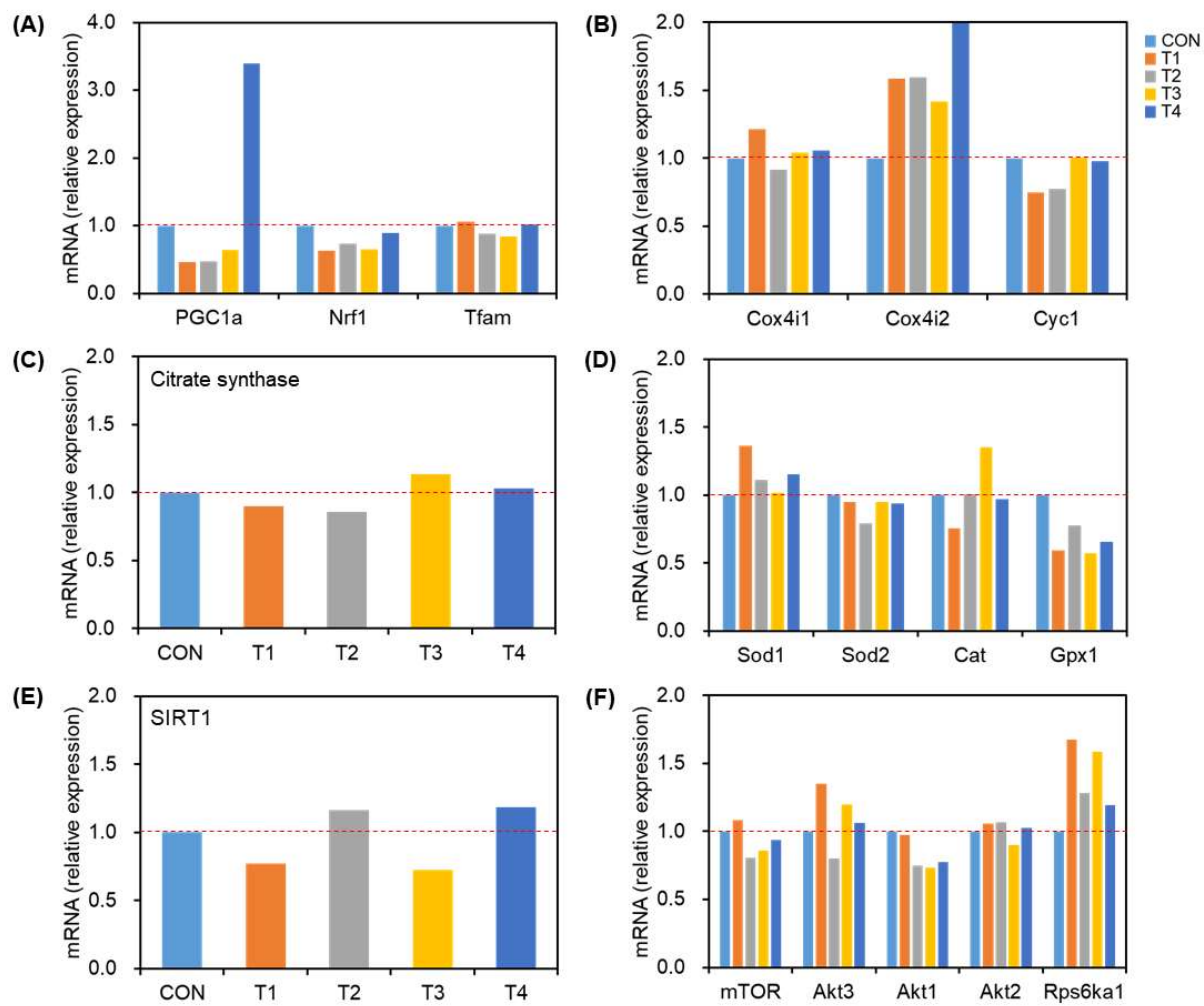
[그림 26] Longevity regulating pathway. KEGG pathway에서 발췌 함.



[그림 27] mTOR signaling pathway. KEGG pathway에서 발췌함.



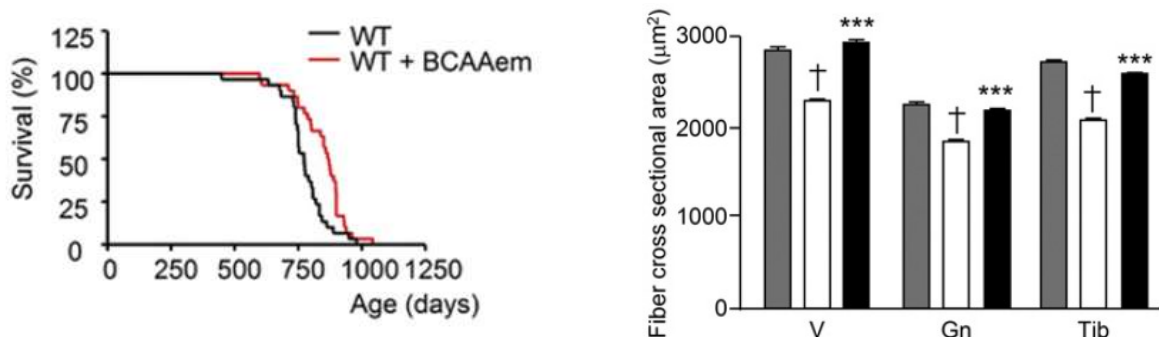
[그림 28] 근육단백질 합성(A) 및 산화적 스트레스 대응(B) 연관 mRNA 발현 비교. NCBI database (<http://ncbi.nlm.nih.gov>)에서 taxonomy *Mus musculus*의 gene 검색. 처리구 : CON, 대조군; T1, 저장 1일의 한우 채끝 저분자 추출물; T2, 저장 14일의 한우 채끝 저분자 추출물; T3, 저장 1일의 한우 우둔 저분자 추출물; T4, 저장 14일의 한우 우둔 저분자 추출물.



[그림 29] 미토콘드리아 생합성(A, C, E), 산화적 스트레스 대응(B, D)과 근육 단백질 합성(F) 연관 mRNA 발현 비교. 처리구 : CON, 대조군; T1, 저장 1일의 한우 채끝 저분자 추출물; T2, 저장 14일의 한우 채끝 저분자 추출물; T3, 저장 1일의 한우 우둔 저분자 추출물; T4, 저장 14일의 한우 우둔 저분자 추출물.

## 바. 선행연구 결과와 비교

- BCAA를 보충하여 급여한 중년(16개월령 이상) 마우스의 수명 연장과 심근 및 골격근의 미토콘드리아 기능 개선 효과 연구 (D' Antona 등, 2010, Cell Metabolism, 12, 362-372; 그림 30)
- 위 선행연구에서 중년(middle-aged, 16개월령)의 마우스에 BCAA를 급여한 결과 수명이 774일에서 869일로 연장(12%)되었고, 체중과 사료 섭취량에서 대조군과 차이가 없으나 주요 골격근의 근섬유 크기가 유의적으로 커졌음. 연령의 증가로 인해 근섬유 크기가 자연적으로 감소하였지만 BCAA를 사료에 보충하여 급여함으로써 근섬유 크기가 어린 마우스 수준으로 커졌음.



[그림 30] 선행연구(D' Antona 등, 2010)에서 대조군(WT)과 BCAA 급여군(WT+BCAAem)의 생존율(좌) 및 주요 근육의 근섬유 크기 비교(우) 결과. 처리군 : 회색, adult mouse; 백색, WT; 흑색, WT+BCAAem. V : M. vastus, Gn : M. gastrocnemius, Tib : M. tibialis. 유의성 : †, adult mouse와 비교( $P<0.001$ ); \*\*\*, WT와 비교( $P<0.001$ ). {참고문헌 : D' Antona 등, 2010 (Cell Metabolism, 12, 362-372)에서 발췌}

- 위 선행연구의 결과가 시사하는 바는 BCAA를 보충 급여함으로써 근육의 기능개선과 수명 연장을 기대할 수 있는 것으로, 한우고기 저분자 추출물을 급여한 14개월령 마우스에서 대조군 대비 근육량의 증가 및 근육기능 개선 효과를 나타낸 본 연구의 결과와 부합함.

## 제4장 요약 및 결론

---

### 제1절. 주요 결과 요약

#### ■ 한우고기 부위별 근섬유 특성 및 이화학적 특성

- 한우고기 6개 부위(채끝, 안심, 양지, 우둔, 설도, 사태)의 근섬유 조성이 다름. 안심과 우둔은 근섬유 타입 I을 많이 함유하고 있고, 사태, 양지 및 설도는 IIx의 비율이 높은 편임.
- 한우 우둔, 사태 및 설도는 서로 육색, 보수력 및 연도 차이가 있고, 부위와 상관 없이 모두 저장 초기에 비해 저장 후기에 연도가 향상되었음.

#### ■ 한우고기 유래 펩타이드의 인체 내 소화-흡수 특성

- 저장 중 한우고기에서 자연적으로 생성되는 펩타이드는 총 4,252종(총 37,938개)으로 확인되고, 주로 myoglobin, myosin 아형 및 actin 등 44종의 단백질에서 유래한 것으로 확인됨.
- 데이터베이스 검색을 통해 생리활성능(항고혈압, 항산화, 항균성 등)이 검증된 펩타이드는 총 4,116종이었으나, 한우고기에서 자연적으로 생성된 펩타이드에는 해당 되는 것이 없었음.
- 한우고기를 구성하고 있는 아미노산 조성에서는 채끝, 안심 및 우둔이 양지, 설도 및 사태와 구분되는 경향을 나타냄. 즉, 채끝, 안심 및 우둔에서는 serine, histidine, threonine, arginine 및 tyrosine 등이 양지, 설도 및 사태보다 더 높은 함량을 나타낸 반면, glutamic acid, glycine, alanine 및 cysteine은 양지, 설도 및 사태가 더 높은 조성을 나타냄.
- 가열 한우고기를 인체소화액(*In vitro* digestion) 모델에 적용하여 획득한 소화물에서는 총 2,152종(총 15,055개)의 펩타이드가 확인되었고, 주로 myoglobin, glyceraldehyde-3-phosphate dehydrogenase, myosin 아형 및 actin 등에서 유래한

것으로 확인됨.

- 한우고기가 함유한 다양한 단백질 및 펩타이드는 소화 과정을 거치면서 다시 다양한 펩타이드 및 아미노산으로 분해되고, 이때 펩타이드는 비교적 짧은 길이로 분해되어 저분자 물질의 함량이 증가함. 한우 부위 중 사태는 형태적 특성이 다른 부위와 달라 상대적으로 결체조직이 많은 특성을 나타내고, 그로 인해 다른 부위(0.01%~0.14%)보다 긴 사슬의 펩타이드가 상대적으로 많게 잔존(0.49%~2.86%)하고 있었음.
- 한우고기의 구성 아미노산은 소화 과정을 거치면서 그 조성이 확연하게 변함. 즉, 인체소화액 적용 후에는 대부분의 부위에서 aspartic acid, proline, serine, threonine의 조성은 감소한 반면, alanine, arginine, phenylalanine의 조성은 증가하였음.
- BCAA(valine, leucine, isoleucine) 중 isoleucine의 함량은 7일 및 14일 동안 저장한 우둔에서 증가하였고, valine은 7일 및 14일간 저장한 안심에서 증가하였음.

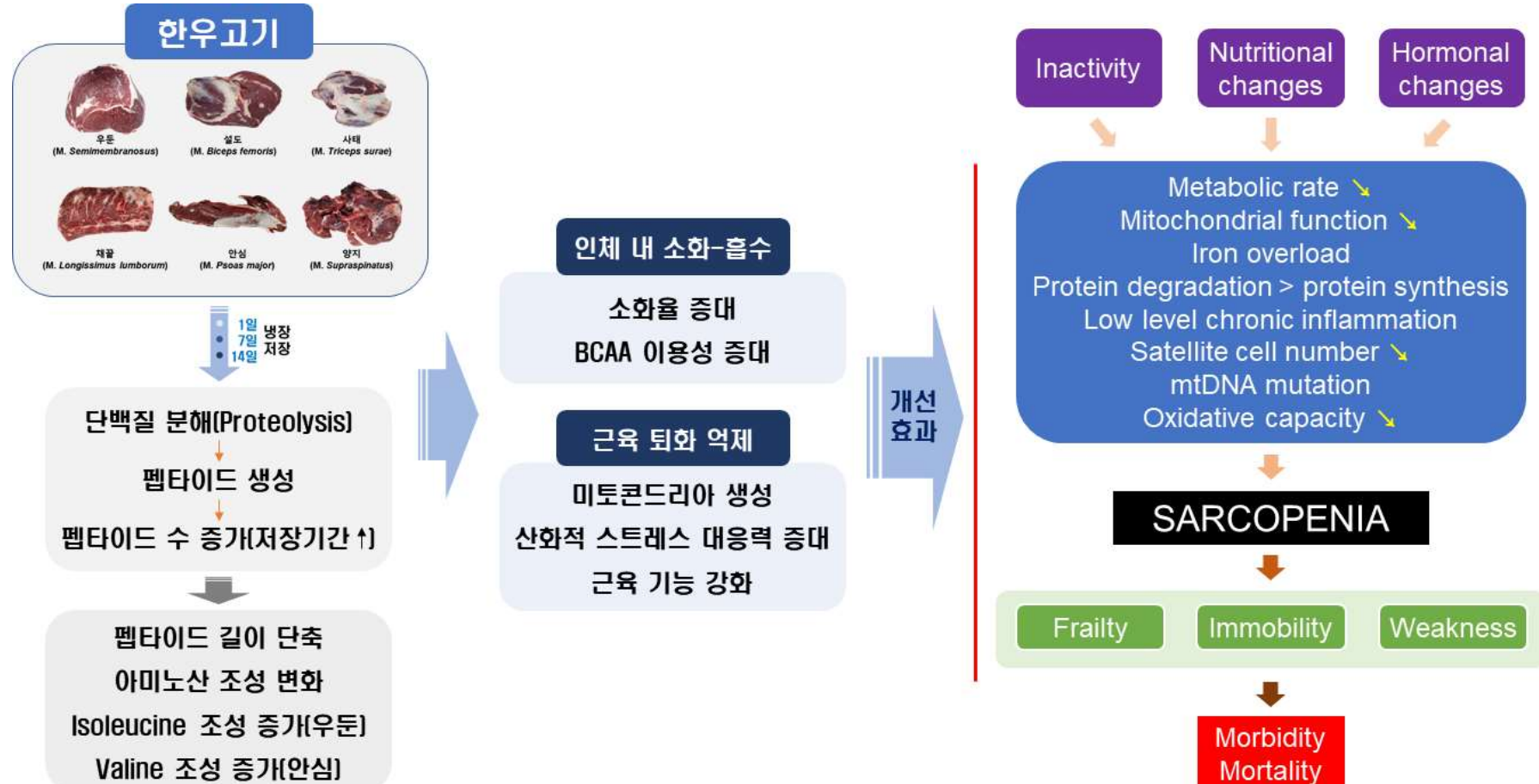
### ■ 세포 및 동물실험을 통한 근육퇴화 억제능 구명

- 한우고기는 저장 중에 단백질이 자연적으로 분해되고, 그로 인해 소화율이 개선되는 것을 안심, 양지 및 우둔에서 확인함.
- 한우고기 유래 펩타이드 중 장상피세포모델(Caco-2 monolayer)을 투과한 펩타이드는 총 10종으로 확인되었고, 이 중 4종은 myoglobin 단백질에서 유래한 펩타이드였고, 나머지는 phosphoglycerate kinase(1종), creatine kinase M-type(2종), glyceraldehyde-3-phosphate dehydrogenase(2종) 및 troponin T-fast skeletal muscle(1종)에서 유래한 것으로 확인됨.
- 한우고기 유래 저분자 물질은 근아세포(C2C12 cell)가 분화하여 myotube를 형성하는데 유의미한 효과를 나타내지 않았음.
- 한우 우둔 및 채끝 유래 저분자 물질을 14개월령 마우스에 급여한 결과, 주요 근육(*M. gastrocnemius*, *M. soleus*, *M. tibialis anterior*)에서 근육량의 증가를 확인하였고, 근섬유 타입 IIb의 크기와 IX의 조성이 증가함을 확인하였음.

- 근육 단백질 합성 연관 mTOR signaling 전사체 및 미토콘드리아 생합성 연관 전사체의 발현에서 한우고기 유래 저분자 물질의 급여효과를 확인하였음.

## 제2절. 결론

- 노화로 인해 발생하는 근감소증(sarcopenia)은 자연적인 현상이지만, 운동과 식이 개선을 통해 근육량 감소와 근육기능 약화를 일부 개선할 수 있음.
- 다양한 영양원 중 BCAA(branched chain amino acid; 분지쇄아미노산)으로 알려진 valine, leucine 및 isoleucine는 근육세포에 분포하는 미토콘드리아를 생성시키고 기능을 강화하여 노화로 인해 발생되는 근육기능 약화를 억제할 수 있는 것으로 보고되었는데, 한우 우둔, 양지 및 안심은 냉장 저장 중 isoleucine 또는 valine의 조성이 증가하는 경향을 보였고, 특히 우둔에서 추출한 저분자 물질은 실험동물에서 주요 골격근의 중량을 증가시키고, 미토콘드리아의 기능 개선에 효과가 있었음.
- 또한, 한우고기에서 생성되는 다양한 펩타이드는 7일 또는 14일간 저장 중 그 특성이 변화하여 인체 소화율을 향상시켜 노화로 인한 영양 결핍 및 불균형을 개선하는 효과가 있을 것으로 기대됨.
- 따라서 한우고기는 냉장 저장 중 생성되는 다양한 펩타이드와 BCAA 조성의 변화로 인해 소화-흡수율을 개선시켜 단백질 영양원 결핍을 방지하고 BCAA 이용성을 증대시켜 미토콘드리아 생성 및 산화적 스트레스 대응력을 증대시킴으로써 노화에 의한 근육 기능 저하를 예방할 수 있을 것으로 기대함(그림 31).



[그림 31] 한우고기 섭취의 노화로 인한 근육기능 퇴화 억제 효과에 대한 모식도(참조 : Arnold 등, 2011)

## 참고문헌

---

- Arnold, A. S., Egger, A., & Handschin, C. (2011). PGC-1 $\alpha$  and myokines in the aging muscle-A mini-review. *Gerontology*, 57, 37–43.
- Association of Official Analytical Chemists (AOAC) (2000). Official methods of analysis (17th ed.). Gaithersburg, MD: AOAC.
- Bradford, M. M. (1976). A rapid and sensitive method for the quantitation of microgram quantities of protein utilizing the principle of protein-dye binding. *Analytical Biochemistry*, 72, 248–254.
- Commission Internationale de l'Eclairage (CIE) (1976). Recommendations on uniform color spaces-color difference equations, Psychometric Color Terms. Supplement No. 2 to CIE Publication No. 15 (E-1.3.1.). 1971/(TC-1-3). Paris, France: Commission Internationale de l'Eclairage.
- D'Antona, G., Ragni, M., Cardile, A., Tedesco, L., Dossena, M., et al. (2010). Branched-chain amino acid supplementation promotes survival and supports cardiac and skeletal muscle mitochondrial biogenesis in middle-aged mice. *Cell Metabolism*, 12, 362–372.
- Folch, J., Lees, M., & Sloane-Stanley, G. H. (1957). A simple method for the isolation and purification of total lipids from animal tissues. *Journal of Biological Chemistry*, 226, 497–509.
- Gallego, M., Mora, L., & Toldra, F. (2016). Peptidomics as a tool for quality control in drycured ham processing. *Journal of Proteomics*, 147, 98–170.
- Gomes MJ, Martinez PF, Pagan LU, Damatto RL, Cezar MDM, Lima, ARR, Okoshi K, & Okoshi MP. (2017). Skeletal muscle aging: influence of oxidative stress and physical exercise. *Oncotarget*, 8, 20428–20440.
- Kim, C. Y., Na, K., Park, S., Jeong, S. K., Cho, J. Y., Shin, H., Lee, M. J., Han, G., & Paik, Y. K. (2019). FusionPro, a versatile proteogenomic tool for identification of novel fusion transcripts and their potential translation products in cancer cells. *Molecular & Cellular Proteomics*, 18, 1651–1668.

- Kim, G. D., Lee, S. Y., Jung, E. Y., Song, S., & Hur, S. J. (2021). Quantitative changes in peptides derived from proteins in beef tenderloin (*postas major* muscle) and striploin (*longissimus lumborum* muscle) during cold storage. *Food Chemistry*, 338, 128029.
- Lee, S. J., Lee, S. Y., & Hur, S. J. (2015). Effect of *Escherichia coli* and *Lactobacillus casei* on luteolin found in simulated human digestion system. *Journal of Food & Nutrition Research*, 3, 311-316.
- SAS. (2012). The SAS program for window. Cary, NC: The SAS Institute Inc.
- Colombini, S., Broderick, G. A., & Clayton, M. K. (2011). Effect of quantifying peptide release on ruminal protein degradation determined using the inhibitor in vitro system. *Journal of Dairy Science*, 94, 1967-1977.

### [별첨 1] 주요 용어 설명

명 칭	해 설
펩타이드(peptide)	아미노산 두 개 이상이 탈수 축합반응으로 형성된 물질. 단백질은 고분자의 펩타이드이기 때문에 단백질이 분해되면 다양한 종류의 펩타이드가 생성됨.
분지쇄아미노산 (branched-chain amino acid, BCAA)	가지사슬 아미노산이라고도 하며, 지방족 결사슬을 가지고 있는 아미노산으로서 류신(leucine), 아이소류신(isoleucine) 및 발린(valine)이 있음.
근감소증(sarcopenia)	근육량이 줄거나 근력이 약해지는 현상으로 영양 부족, 운동량 감소 및 노화 등으로 인해 발생됨.
Proteolysis	단백질 분해효소에 의해 단백질이 분해되는 현상
Proteolysis-induced peptide	식육 내 단백질 분해효소에 의해 단백질이 분해되어 생성된 펩타이드
인공소화( <i>In vitro</i> digestion)	생체 밖에서 인체 소화효소를 이용하여 음식물을 소화시키는 것으로 인공소화 실험을 통해 실제 인체 내에서 음식물이 소화되는 현상을 예측할 수 있음.
근섬유(muscle fiber)	근세포(muscle cell)라고도 하며, 근육을 구성하고 있는 세포로, 그 형태가 섬유(fiber)처럼 생겨서 근섬유라 칭함. 근섬유는 수축 및 대사적 특성에 따라 여러 유형(type)으로 구분되며, 소의 골격근에는 I, IIA, IIX, I/IIA, IIIA/IIIX 등의 유형이 분포하는 것으로 보고됨.
Caco-2 cell	장상피세포 실험을 위해 사용되는 세포로 분화를 유도하여 세포단층(cell monolayer)을 형성시킨 뒤 물질 투과 실험을 실시함. 소장에서의 물질 흡수 여부를 판단하기 위해 활용됨.
근아세포(myoblast)	근육 세포를 형성하는 도중에 있는 미분화 상태의 세포. 근아세포의 분화를 유도하여 근육 세포 형성에 영향을 주는 요인을 연구하는데 활용될 수 있음.
근관(myotube)	근아세포의 분화 시 근아세포들이 융합하여 형성되는 골 근섬유
RNA(ribose nucleic acid)	리보핵산. DNA의 유전 정보를 세포질로 나르고, 아미노산을 수송하거나 단백질과 결합하여 세포질 속에서 리보솜의 주요 성분을 이룸.
mRNA(messenger RNA)	전령 RNA. 핵 안에 있는 DNA의 유전 정보를 세포질 안의 리보솜에 전달하는 한 가닥의 RNA
전사체	세포 또는 조직에서 발현된 전체 RNA
mTOR(mammalian target of rapamycin)	세린/트레오닌 인산화 효소로 단백질 합성, 대사 조절 및 세포 분화 등에 관여함.

[별첨 2] 저장 중 한우고기에서 생성된 펩타이드 목록

Accession no.	Sequence (AAs)	Accession no.	Sequence (AAs)	Accession no.	Sequence (AAs)	Accession no.	Sequence (AAs)	Accession no.	Sequence (AAs)	Accession no.	Sequence (AAs)	Accession no.	Sequence (AAs)	Accession no.	Sequence (AAs)	Accession no.	Sequence (AAs)	Accession no.	Sequence (AAs)			
P02192	NAWGVKEADVAGAA0A1KNAWGVKEADVAGGQ9XSC		DVIQTGVD		A0A45NVINGGSHAGNKQ9XS		INVINGGSHAGNKQ9BE4		FRENLNKL	F1MT6	TPEIIHAQQVKN	A0A3Q1LTX9	SIVKYKEKYE	F1MRC2	YQKSALKT	A0A3Q1LZ74	FGEAAPYLRLKS					
P02192	NAWGVKEADVAGAA0A1KQHQEVLGQFUG3HG				2DI31	LAM4	LAM0												EK			
P02192	NAWGVKEADVAGAA0A1KMAAQYKVLFHG				Q9XSC	NPGHPFIM	A0A45AGAAEKGVPLYRQ9XS		INVINGGSHAGNKQ9BE4		FGEAAPYLRK	F1MT6	AIPKAAKAARQ	A0A3Q1LTX9	VSDIDYRNLYH	F1MRC2	NKLMTNL	A0A3Q1LZ74	FKAGLLGI			
P02192	NAWGVKEADVAGAA0A1KFRNDMAAQYKVLFHG				Q9XSC	GEFGKGKYY	A0A45LPVPAF	Q9XS	INVINGGSHAGNKQ9BE4		FGEAAPYLRKSEK	F1MT6	IHAQQVKN	A0A3Q1LTX9	VSDIDYK	F1MRC2	FRENLNKL	A0A3Q1LZ74	TNLRSTPHPF			
P02192	WGKVEADVAGHQA0A1KGKVEADVAGHGQ9XSC		YTVFKDL		2DI31	H4	LAM0											EK				
P02192	NAWGVKEADVAGAA0A1KQHQEVLGQFUG3HG				Q9XSC	GEFGKGKYYPLK	A0A45NVINGGSHAGNKQ9XS		INVINGGSHAGNKQ9BE4		FKAGLLGL	F1MT6	VSDIDYKNLL	A0A3Q1LTX9	IPIKAAKASRE	F1MRC2	FGEAAPYLRKSEK	A0A3Q1LZ74	KSEKERIEAQN			
P02192	NAWGVKEADVAGAA0A1KAIHVHLAKHPSDQHQEV				Q9XSC	GEFGKGKYYPLK	A0A45NVINGGSHAGNKQ9XS		INVINGGSHAGNKQ9BE4		FDAK	F1MT6	VTPALLHVVKY	A0A3Q1LTX9	VTPALLHVVKY	F1MRC2	FGEAAPYLRKSEK	A0A3Q1LZ74	KPPDAK			
P02192	VLA NAVGVKEADVAGAA0A1KAAQYKVLFHG				Q9XSC	NPGHPFIM	A0A45GVIKAKYKGDA	Q9XS	INVINGGSHAGNKQ9BE4		YQKSSVKT	F1MT6	ARTNALNVSNK	A0A3Q1LTX9	LAKQNQINYSEKL	F1MRC2	DTVVGQLYQKSALKT	A0A3Q1LZ74	DEKLAQLITR			
P02192	HAKHPSDFGADAA0A1KQAAQMSK				Q9XSC	NDMAAQYKVLG	A0A45NVINGGSHAGNKQ9XS		INVINGGSHAGNKQ9XS		ILPVPAPF	F1MT6	YKADLKDLSKKG	A0A3Q1LTX9	QQTVDMLSVAAK	F1MRC2	FKAGLLGL	E1BP87	YADFKQRYK			
P02192	HAKHPSDFGADAA0A1KQAAQMSK				Q9XSC	NPGHPFI	A0A45NGGGSHAGNKL	Q9XS	INVINGGSHAGNK		FGEAAPYLRKSEK	F1MT6	LAKQNQINY	A0A3Q1LTX9	VSDIDYKNLYH	F1MRC2	TNLRSTPHFV	E1BP87	FGEAAPYLRK			
P02192	AIHVHLAKHPSDAA0A1KFRNDMAAQYKVLFHG				Q9XSC	DVIQTGVD	A0A3Q1NVINGGSHAGNKQ9XS		INVINGGSHAGNKQ9BE4		FDAK	F1MT6	VTPALLHVVKY	A0A3Q1LTX9	VTPALLHVVKY	F1MRC2	FGEAAPYLRKSEK	E1BP87	FGEAAPYLRK			
P02192	AAQYKVLFHG				Q9XSC	LVVDGVKL	A0A3Q1NVINGGSHAGNKQ9XS		INVINGGSHAGNKQ9BE4		DEKLAQLITR	F1MT6	SIVKYKEKYE	A0A3Q1LTX9	IPIKAAK	F1MRC2	YQKSALKT	E1BP87	NKLMTNL			
P02192	AAQYKVLFHG				Q9XSC	TGEFKGKYY	A0A3Q1NVINGGSHAGNKQ9XS		INVINGGSHAGNKL		INGGSHAGNKL	F1MT6	A0A3Q1SPLPVIPHQKVVA	A0A3Q1LTX9	VSDIDYRNLYH	A0A3Q1PIKAAKASR	F1MRC2	KSEKERIEAQNKP	E1BP87	FRENLNKL		
P02192	NAWGVKEADVAGAA0A1KQAAQMSKALEL				Q9XSC	FDKPVSPPLL	A0A3Q1NVINGGSHAGNK1MB0		INVINGGSHAGNK		SPVYQAVIK	F1MT6	VSDIDYK	A0A3Q1LTX9	Q9BE4	YADFKQRYK	E1BP87	FGEAAPYLRK				
P02192	AAQYKVLFHG				Q9XSC	PGNTHNKKHLN	A0A3Q1NVINGGSHAGNK1MB0		INVINGGSHAGNK		Q9BE4	F1MT6	QVDSASPVYQAVI	A0A3Q1LTX9	QTPVDMLSVAAK	A0A3Q1VQKSALKT	E1BP87	FGEAAPYLRK				
P02192	FRNDMAAQYKVLA0A1KNAWGVKEADVAGQ9XSC				Q9XSC	GVDNPGBPF	A0A3Q1NVINGGSHAGNK1MB0		INVINGGSHAGNK		SPVYQAVIK	F1MT6	IPIKAAKAARQ	A0A3Q1LTX9	Q9BE4	QTPVDMLSVAAK	A0A3Q1VQKSALKT	E1BP87	FGEAAPYLRK			
P02192	GVKVEADVAGHQA0A1KNDMAAQYKVLFHG				Q9XSC	DPIIQDRHGGFKP	A0A3Q1NVINGGSHAGNK1MB0		INVINGGSHAGNK		Q9BE4	F1MT6	QTPVDMLSVAAK	A0A3Q1LTX9	Q9BE4	VTPALLHVVKY	A0A3Q1LTX9	VTPALLHVVKY	F1MRC2	TNLRSTPHF		
P02192	AIHVHLAKHPSDAA0A1KFRNDMAAQYKVLFHG				Q9XSC	NDMAAQYKV	A0A3Q1NVINGGSHAGNK1MB0		INVINGGSHAGNK		Q9BE4	F1MT6	QTPVDMLSVAAK	A0A3Q1LTX9	Q9BE4	VTPALLHVVKY	A0A3Q1LTX9	VTPALLHVVKY	F1MRC2	FGEAAPYLRK		
P02192	AAQYKVLFHG				Q9XSC	VVTDGVKL	A0A3Q1NVINGGSHAGNK1MB0		INVINGGSHAGNK		Q9BE4	F1MT6	QTPVDMLSVAAK	A0A3Q1LTX9	Q9BE4	VTPALLHVVKY	A0A3Q1LTX9	VTPALLHVVKY	F1MRC2	FGEAAPYLRK		
P02192	AAQYKVLFHG				Q9XSC	NPGHPFIMT	A0A3Q1AGAAEKGVPLYRQ1MB0		INVINGGSHAGNK		DFSGSLPIK	F1MT6	IPIPDLPTEVK	A0A3Q1LTX9	DMLGIVLAKKC	Q9BE4	YQKSALKTLA	E1BP87	KSEKERIEAQN			
P02192	NDMAAQYKV				Q9XSC	OUFU3	A0A1KFRNDMAAQYKV	Q9XSC	DVIQTGVDNPGBP	A0A3Q1LPVPAF	F1MB0	INVINGGSHAGNK	A0A3Q1LTX9	PLPVIPHQK	F1MT6	VSDIDYKNLYH	A0A3Q1IPIKAAKASRE	E1BP87	DEKLAQLITR			
P02192	FRNDMAAQYKV				Q9XSC	OUFU3	A0A1KGKVEADVAGHGQ9XSC		DPIIQDRHGGFKP	A0A3Q1LTX9	INVINGGSHAGNK	F1MB0	INVINGGSHAGNK	A0A3Q1LTX9	FSGSLPIK	F1MT6	VTPALLHVVK	A0A3Q1SIVKYKEYE	Q9BE4	YQKSALKT	G3MZ95A	SKKLAGQRFT
P02192	FRNDMAAQYKV				Q9XSC	OUFU3	A0A1KAIHVHLAKHPSDQHQEV		PGNTHNKKHLN		PGKTT	F1MT6	A0A3Q1SGGPAESAESRPP	A0A3Q1LTX9	TPLYVTALQ	Q9BE4	NKLMTNL	G3MZ95YQ	CNKAITSGGIT			
P02192	VLA NAVGVKEADVAGAA0A1KAAQYKVLFHG				Q9XSC	NPGHPFIM	A0A3Q1NVINGGSHAGNK1MB0		INVINGGSHAGNK		Q9BE4	F1MT6	IPIKAAK	A0A3Q1LTX9	Q9BE4	VTPALLHVVKY	A0A3Q1LTX9	VTPALLHVVKY	F1MRC2	FGEAAPYLRK		
P02192	VLA NAVGVKEADVAGAA0A1KAAQYKVLFHG				Q9XSC	DKPVSPLLL	A0A3Q1NVINGGSHAGNK1MB0		INVINGGSHAGNK		Q9BE4	F1MT6	QTPVDMLSVAA	A0A3Q1LTX9	Q9BE4	VTPALLHVVKY	A0A3Q1LTX9	VTPALLHVVKY	F1MRC2	FGEAAPYLRK		
P02192	NAWGVKEADVAGAA0A1KQHQEVLG				Q9XSC	TGEFKGKYY	A0A3Q1NVINGGSHAGNK1MB0		INVINGGSHAGNK		Q9BE4	F1MT6	QTPVDMLSVAA	A0A3Q1LTX9	Q9BE4	VTPALLHVVKY	A0A3Q1LTX9	VTPALLHVVKY	F1MRC2	FGEAAPYLRK		
P02192	AQAAMSKALEL				Q9XSC	OUFU3	A0A1KAKHPSDFGADAAQ9XSC		LVVDGVKL		Q9BE4	F1MT6	QTPVDMLSVAA	A0A3Q1LTX9	Q9BE4	VTPALLHVVKY	A0A3Q1LTX9	VTPALLHVVKY	F1MRC2	FGEAAPYLRK		
P02192	NAWGVKEADVAGAA0A1KQHQEVLG				Q9XSC	OUFU3	A0A1KAAQAMSKALEL		Q9XSC		Q9BE4	F1MT6	QTPVDMLSVAA	A0A3Q1LTX9	Q9BE4	VTPALLHVVKY	A0A3Q1LTX9	VTPALLHVVKY	F1MRC2	FGEAAPYLRK		
P02192	NAWGVKEADVAGAA0A1KQHQEVLG				Q9XSC	OUFU3	A0A1KAAQAMSKALEL		Q9XSC		Q9BE4	F1MT6	QTPVDMLSVAA	A0A3Q1LTX9	Q9BE4	VTPALLHVVKY	A0A3Q1LTX9	VTPALLHVVKY	F1MRC2	FGEAAPYLRK		
P02192	NAWGVKEADVAGAA0A1KQHQEVLG				Q9XSC	OUFU3	A0A1KAAQAMSKALEL		Q9XSC		Q9BE4	F1MT6	QTPVDMLSVAA	A0A3Q1LTX9	Q9BE4	VTPALLHVVKY	A0A3Q1LTX9	VTPALLHVVKY	F1MRC2	FGEAAPYLRK		
P02192	NAWGVKEADVAGAA0A1KQHQEVLG				Q9XSC	OUFU3	A0A1KAAQAMSKALEL		Q9XSC		Q9BE4	F1MT6	QTPVDMLSVAA	A0A3Q1LTX9	Q9BE4	VTPALLHVVKY	A0A3Q1LTX9	VTPALLHVVKY	F1MRC2	FGEAAPYLRK		
P02192	NAWGVKEADVAGAA0A1KQHQEVLG				Q9XSC	OUFU3	A0A1KAAQAMSKALEL		Q9XSC		Q9BE4	F1MT6	QTPVDMLSVAA	A0A3Q1LTX9	Q9BE4	VTPALLHVVKY	A0A3Q1LTX9	VTPALLHVVKY	F1MRC2	FGEAAPYLRK		
P02192	NAWGVKEADVAGAA0A1KQHQEVLG				Q9XSC	OUFU3	A0A1KAAQAMSKALEL		Q9XSC		Q9BE4	F1MT6	QTPVDMLSVAA	A0A3Q1LTX9	Q9BE4	VTPALLHVVKY	A0A3Q1LTX9	VTPALLHVVKY	F1MRC2	FGEAAPYLRK		
P02192	NAWGVKEADVAGAA0A1KQHQEVLG				Q9XSC	OUFU3	A0A1KAAQAMSKALEL		Q9XSC		Q9BE4	F1MT6	QTPVDMLSVAA	A0A3Q1LTX9	Q9BE4	VTPALLHVVKY	A0A3Q1LTX9	VTPALLHVVKY	F1MRC2	FGEAAPYLRK		
P02192	NAWGVKEADVAGAA0A1KQHQEVLG				Q9XSC	OUFU3	A0A1KAAQAMSKALEL		Q9XSC		Q9BE4	F1MT6	QTPVDMLSVAA	A0A3Q1LTX9	Q9BE4	VTPALLHVVKY	A0A3Q1LTX9	VTPALLHVVKY	F1MRC2	FGEAAPYLRK		
P02192	NAWGVKEADVAGAA0A1KQHQEVLG				Q9XSC	OUFU3	A0A1KAAQAMSKALEL		Q9XSC		Q9BE4	F1MT6	QTPVDMLSVAA	A0A3Q1LTX9	Q9BE4	VTPALLHVVKY	A0A3Q1LTX9	VTPALLHVVKY	F1MRC2	FGEAAPYLRK		
P02192	NAWGVKEADVAGAA0A1KQHQEVLG				Q9XSC	OUFU3	A0A1KAAQAMSKALEL		Q9XSC		Q9BE4	F1MT6	QTPVDMLSVAA	A0A3Q1LTX9	Q9BE4	VTPALLHVVKY	A0A3Q1LTX9	VTPALLHVVKY	F1MRC2	FGEAAPYLRK		
P02192	NAWGVKEADVAGAA0A1KQHQEVLG				Q9XSC	OUFU3	A0A1KAAQAMSKALEL		Q9XSC		Q9BE4	F1MT6	QTPVDMLSVAA	A0A3Q1LTX9	Q9BE4	VTPALLHVVKY	A0A3Q1LTX9	VTPALLHVVKY	F1MRC2	FGEAAPYLRK		
P02192	NAWGVKEADVAGAA0A1KQHQEVLG				Q9XSC	OUFU3	A0A1KAAQAMSKALEL		Q9XSC		Q9BE4	F1MT6	QTPVDMLSVAA	A0A3Q1LTX9	Q9BE4	VTPALLHVVKY	A0A3Q1LTX9	VTPALLHVVKY	F1MRC2	FGEAAPYLRK		
P02192	NAWGVKEADVAGAA0A1KQHQEVLG				Q9XSC	OUFU3	A0A1KAAQAMSKALEL		Q9XSC		Q9BE4	F1MT6	QTPVDMLSVAA	A0A3Q1LTX9	Q9BE4	VTPALLHVVKY	A0A3Q1LTX9	VTPALLHVVKY	F1MRC2	FGEAAPYLRK		
P02192	NAWGVKEADVAGAA0A1KQHQEVLG				Q9XSC	OUFU3	A0A1KAAQAMSKALEL		Q9XSC		Q9BE4	F1MT6	QTPVDMLSVAA	A0A3Q1LTX9	Q9BE4	VTPALLHVVKY	A0A3Q1LTX9	VTPALLHVVKY	F1MRC2	FGEAAPYLRK		
P02192	NAWGVKEADVAGAA0A1KQHQEVLG				Q9XSC	OUFU3	A0A1KAAQAMSKALEL		Q9XSC		Q9BE4	F1MT6	QTPVDMLSVAA	A0A3Q1LTX9	Q9BE4	VTPALLHVVKY	A0A3Q1LTX9	VTPALLHVVKY	F1MRC2	FGEAAPYLRK		
P02192	NAWGVKEADVAGAA0A1KQHQEVLG				Q9XSC	OUFU3	A0A1KAAQAMSKALEL		Q9XSC		Q9BE4	F1MT6	QTPVDMLSVAA	A0A3Q1LTX9	Q9BE4	VTPALLHVVKY	A0A3Q1LTX9	VTPALLHVVKY	F1MRC2	FGEAAPYLRK		
P02192	NAWGVKEADVAGAA0A1KQHQEVLG				Q9XSC	OUFU3	A0A1KAAQAMSKALEL		Q9XSC		Q9BE4	F1MT6	QTPVDMLSVAA	A0A3Q1LTX9	Q9BE4	VTPALLHVVKY	A0A3Q1LTX9	VTPALLHVVKY	F1MRC2	FGEAAPYLRK		
P02192	NAWGVKEADVAGAA0A1KQHQEVLG				Q9XSC	OUFU3	A0A1KAAQAMSKALEL		Q9XSC		Q9BE4	F1MT6	QTPVDMLSVAA	A0A3Q1LTX9	Q9BE4	VTPALLHVVKY	A0A3Q1LTX9	VTPALLHVVKY	F1MRC2	FGEAAPYLRK		
P02192	NAWGVKEADVAGAA0A1KQHQEVLG				Q9XSC	OUFU3	A0A1KAAQAMSKALEL		Q9XSC		Q9BE4	F1MT6	QTPVDMLSVAA	A0A3Q1LTX9	Q9BE4	VTPALLHVVKY	A0A3Q1LTX9	VTPALLHVVKY	F1MRC2	FGEAAPYLRK		
P02192	NAWGVKEADVAGAA0A1KQHQEVLG				Q9XSC	OUFU3	A0A1KAAQAMSKALEL		Q9XSC		Q9BE4	F1MT6	QTPVDMLSVAA	A0A3Q1LTX9	Q9BE4	VTPALLHVVKY	A0A3Q1LTX9	VTPALLHVVKY	F1MRC2	FGEAAPYLRK		
P02192	NAWGVKEADVAGAA0A1KQHQEVLG				Q9XSC	OUFU3	A0A1KAAQAMSKALEL		Q9XSC		Q9BE4	F1MT6	QTPVDMLSVAA	A0A3Q1LTX9	Q9BE4	VTPALLHVVKY	A0A3Q1LTX9	VTPALLHVVKY	F1MRC2	FGEAAPYLRK		
P02192	NAWGVKEADVAGAA0A1KQHQEVLG				Q9XSC	OUFU3	A0A1KAAQAMSKALEL		Q9XSC		Q9BE4	F1MT6	QTPVDMLSVAA	A0A3Q1LTX9	Q9BE4	VTPALLHVVKY	A0A3Q1LTX9	VTPALLHVVKY	F1MRC2	FGEAAPYLRK		
P02192	NAWGVKEADVAGAA0A1KQHQEVLG				Q9XSC	OUFU3	A0A1KAAQAMSKALEL		Q9XSC		Q9BE4	F1MT6	QTPVDMLSVAA	A0A3Q1LTX9	Q9BE4	VTPALLHVVKY	A0A3Q1LTX9	VTPALLHVVKY	F1MRC2	FGEAAPYLRK		
P02192	NAWGVKEADVAGAA0A1KQHQEVLG				Q9XSC	OUFU3	A0A1KAAQAMSKALEL		Q9XSC		Q9BE4	F1MT6	QTPVDMLSVAA	A0A3Q1LTX9	Q9BE4	VTPALLHVVKY	A0A3Q1LTX9	VTPALLHVVKY	F1MRC2	FGEAAPYLRK		
P02192	NAWGVKEADVAGAA0A1KQHQEVLG				Q9XSC	OUFU3	A0A1KAAQAMSKALEL		Q9XSC		Q9BE4	F1MT6	QTPVDMLSVAA	A0A3Q1LTX9	Q9BE4	VTPALLHVVKY	A0A3Q1LTX9	VTPALLHVVKY	F1MRC2	FGEAAPYLRK		
P02192	NAWGVKEADVAGAA0A1KQHQEVLG				Q9XSC	OUFU3	A0A1KAAQAMSKALEL		Q9XSC		Q9BE4	F1MT6	QTPVDMLSVAA	A0A3Q1LTX9	Q9BE4	VTPALLHVVKY	A0A3Q1LTX9	VTPALLHVVKY	F1MRC2	FGEAAPYLRK		
P02192	NAWGVKEADVAGAA0A1KQHQEVLG				Q9XSC	OUFU3	A0A1KAAQAMSKALEL		Q9XSC		Q9BE4</td											

P02192	VLNAWGVKE	A0A1K OFUF3	AAQYKVL	A4IFM 8	AGPSIVHRK	A0A3Q 1M0V5	VNINGGSHAGNK LAM	A0A3Q 1M0V5	VNINGGSHAGNK LAM	K5E94 6	VGKEVADQVKAP LVK	A0A3Q 1MC60	IIHAQQVKN 5	F1MKC 4	EAGPSIVHRK	Q2KJE 5	IPASTGAAKAVGK VIPD	A0JN5J	KVLGNPSN
P02192	NAWGKVEADVAG	A0A1K OFUF3	FRNDMAAQY	A4IFM 8	TQEYDEAGPSIV	A0A3Q 1M0V5	GVIKAKYGKD	A0A3Q 1M0V5	VNINGGSHAGNK LAM	K5E94 6	KVADQVKAPLV LKD	A0A3Q 1MC60	VVDTPEIIHAQQ VKN	P02070	LVVYPWTQRF	Q2KJE 5	IPASTGAAKAVGK IPDLKGKL	Q08E10	EAFVKHIMSN
P02192	AAMS KALE	A0A1K OFUF3	AIIHVHLAKHP	A4IFM 8	GPSIVHRK	A0A3Q 1M0V5	VNINGGSHAGNK LAM	A0A3Q 1M0V5	VNINGGSHAGNK LAM	F1MQL 3	TPEIIHAQQVKN 6	A0A3Q 1MC60	VSDIDYKNLH	P02070	LVVYPWTQ	Q2KJE 5	IPASTGAAKAVGK IPDLK	Q08E10	FVKHIMSN
P02192	AAQYKV LG	A0A1K OFUF3	AIIHVHL	A4IFM 8	WITKQYEYD	A0A3Q 1M0V5	INGGSHAGNKLA LAM	A0A3Q 1M0V5	INGGSHAGNKLA LAM	F1MQL 3	AIPIKAAKAARQA 3	A0A3Q 1MC60	ARTNALNVSNK	P02070	VVYPWTQ	Q2KJE 5	IPASTGAAKAVGK VIPDLK	Q08E10	VKHIMSN
P02192	NAWGKVEAD	A0A1K OFUF3	ISDAIIHVHLAKHP	A4IFM 8	WITKQYEYD	P01966	ASHLPSDFTPAV	A0A3Q 1M0V5	VNINGGSHAGNK LAM	F1MQL 3	IIHAQQVKN 3	A0A3Q 1MC60	YKADLKDSLKKG	P02070	WGKVKVDEVGGEA LG	Q2KJE 5	STGAAKAVGVIP	Q08E10	EAFVKHIM
P02192	ISDAIIHVHLAKHP	A0A1K OFUF3	VLN AWGVKEAH	A4IFM 8	WITKQYEYD	P01966	SAADKGNVKA AEEA	A0A3Q 1M0V5	VNINGGSHAGNK LAM	F1MQL 3	VVDTPEIIHAQQ 3	A0A3Q 1MC60	LAKQNQINY	P02070	VVVLARNFGKEFTP V	Q2KJE 5	IPASTGAAKAVGK IPDLKGKL	Q08E10	KVLGNPSN
P02192	YKVLGFHG	A0A1K OFUF3	FRNDMAAQYKV	A4IFM 8	TKQYEYD	P01966	HLPSDFTPAV	A0A3Q 1M0V5	VNINGGSHAGNK LAM	F1MQL 3	VSDIDYKNLH	A0A3Q 1MC60	EQKVVAGVANALA HRYH	P02070	TPALLHVKYA	Q2KJE 5	IPASTGAAKAVGK IPDLKGKL	A0A3Q1	APPPPAAEVPE
P02192	YKVLGFHG	A0A1K OFUF3	GLSDGEWQ	A4IFM 8	TKQYEYD	P01966	VLSAADKGNVKA AEEA	A0A3Q 1M0V5	VNINGGSHAGNK LAM	F1MQL 3	ARTNALNVSNK	A0A3Q 1MC60	SIVKYKEEKE	P02070	LVVYPWTQR	Q2KJE 5	IPDLKGKL	A0A3Q1	EAPPPPAAEVPE
P02192	AQAAMSKAL	A0A1K OFUF3	YKVLGFH	A4IFM 8	RVAPEEHPTL	P01966	ASHLPSDFTPAV	A0A3Q 1M0V5	VNINGGSHAGNK LAM	F1MQL 3	YKADLKDSLKKG	A0A3Q 1MC60	VSDIDYRNLYH	P02070	KLLGNVL	Q2KJE 5	IPASTGAAKAVGK	A0A3Q1	APPPPAAEVPE
P02192	DAIIHVHLAK	A0A1K OFUF3	NAWGKVEADVAG	A4IFM 8	YDEAGPSIVRK	P01966	VLSAADKGNVKA AEEA	A0A3Q 1M0V5	VNINGGSHAGNK LAM	F1MQL 3	LAKQNQINY	A0A3Q 1MC60	VSDIDYK	P02070	NFGKEFTPVL	Q2KJE 5	IPASTGAAKAVGK	A0A3Q1	APPPPAAEVPE
P02192	RNDMAAQYKV	A0A1K OFUF3	ADVAGHGQE	A4IFM 8	LVCDNGSGLVK	P01966	ADAKGNVKA AEEA	A0A3Q 1M0V5	VNINGGSHAGNK LAM	F1MQL 3	VTPALLHVKYA	A0A3Q 1MC60	AIPIKAAKAARQ	P02070	ARNGFKEFTPVL	Q3ZC0	ASLSTFQQM	A0A3Q1	APPPPAAEVPE
P02192	AAQYKVL	A0A1K OFUF3	KVLGFH	A4IFM 8	TKQYEDE	P01966	ADAKGNVKA AEEA	A0A3Q 1M0V5	ILPVAF	F1MQL 3	SIVKYKEEKE	A0A3Q 1MC60	AIPIKAAKASRE	P02070	YPWTQR	Q3ZC0	VCDNGSGLVKAG	A0A3Q1	APPPPAAEVPE
P02192	FRNDMAAQY	A0A1K OFUF3	YKVLGFH	A4IFM 8	EAGPSIVRK	P01966	ASHLPSDFTPAV	A0A3Q 1M0V5	VNINGGSHAGNK LAM	F1MQL 3	VSDIDYRNLYH	A0A3Q 1MC60	LAKQNQINYSEK	P02070	LVVYPWTQR	Q3ZC0	KQEYDEAGPSIVHRA	A0A3S5	APPPPAAEVPE
P02192	AIHVHLAKHP	A0A1K OFUF3	FRNDMAAQYKV	A4IFM 8	FAGDDAPRAVFP	P01966	HLPSDFT	A0A3Q 1M0V5	VNINGGSHAGNK LAM	F1MQL 3	VSDIDYK	A0A3Q 1MC60	QTpvdmLSVVA AKK	P02070	VVDPDMLSVVA 4QB	Q3ZC0	VCDNGSGLVK	A0A3S5	EAPPPPAAEVPE
P02192	AIHVHL	A0A1K OFUF3	NAWGKVE	P68138	WITKQYEDEAGPSI	P01966	HLPSDFTPAV	A0A3Q 1M0V5	VNINGGSHAGNK LAM	F1MQL 3	AIPIKAAKAARQ	A0A3Q 1MC60	TPIDPLPEVK	D4QBB	LVVYPWTQ	Q3ZC0	PSIVRK	A0A3S5	APPPPAAEVPE
P02192	ISDAIIHVHLAKHP	A0A1K OFUF3	NAWGKVEADVAG	P68138	TKQYEDEAGPSIV	P01966	LASHLPSDFTPA	A0A3Q 1M0V5	VNINGGSHAGNK LAM	F1MQL 3	IPIKAAKASRE	A0A3Q 1MC60	VSDIDYRNLYH	D4QBB	LVVYPWTQ	Q3ZC0	AGPSIVRK	A0A3S5	APPPPAAEVPE
P02192	VLNAWGVKEAH	A0A1K OFUF3	WKGKVEADVAGH	P68138	TKQYEDEAGPSIV	P01966	VLSAADKGNVKA AEEA	A0A3Q 1M0V5	ADPKESFVKA 1LYQ9	F1MQL 3	VTPALLHVK	A0A3Q 1MC60	YKEDVSPGT	D4QBB	WGKVKVDEVGGEA LG	Q3ZC0	GPSIVRK	A0A3S5	APPPPAAEVPE
P02192	FRNDMAAQYKV	A0A1K OFUF3	VLN AWGVKEADV	P68138	ASLSTFQQM	P01966	ADKGNVKA AEEA	A0A3Q 1M0V5	YQKSSVKT	F1MQL 3	VTPALLHVK	A0A3Q 1MC60	YKEDVSPGT	D4QBB	VVVLARNFGKEFTP V	Q3ZC0	RVAPEEHPTL	A0A3S5	APPPPAAEVPE
P02192	GLSDGEWQ	A0A1K OFUF3	AIHVHLAKHP	P68138	TKQYEYH	P01966	SAADKGNVKA AEEA	A0A3Q 1M0V5	YQKSSVKT	F1MQL 3	VTPALLHVK	A0A3Q 1MC60	YKEDVSPGT	D4QBB	VVDPDMLSVVA 4QB	Q3ZC0	YDEAGPSIVHRA	Q8MKH	APPPPAAEVPE
P02192	YKVLGFH	A0A1K OFUF3	MAAQYKV	P68138	VCDNGSGLVKAG	P01966	ASHLPSDFTPAV	A0A3Q 1M0V5	ADPKESFVKA 1LYQ9	F1MQL 3	VSDIDYRNLYH	A0A3Q 1MC60	YKEDVSPGT	D4QBB	QVPRHQG	Q3ZC0	VCDNGSGLVK	Q8MKH	APPPPAAEVPE
P02192	NAWGKVEADVAG	A0A1K OFUF3	AIIHVHLAK	P68138	MWITKQYEDEAGP	A0A1K OFUD3	WKGKVGHHAA GAEALER	A0A3Q 1M0V5	YADFKQRYK	F1MQL 3	VTPALLHVK	A0A3Q 1MC60	VSDIDYRNLYH	D4QBB	KLLGNVL	Q3ZC0	EAGPSIVRK	Q8MKH	APPPPAAEVPE
P02192	ADVAHGQE	A0A1K OFUF3	VAGHGQEVL	P68138	KQEYDEAGPSIVH	A0A1K OFUD3	HLPSDFTPAV	A0A3Q 1M0V5	VADPKESFVKA 1LYQ9	F1MQL 3	AIPIKAAK	A0A3Q 1MC60	YKEDVSPGT	D4QBB	NFGKEFTPVL	Q3ZC0	AGDDAPRAVFP	Q8MKH	APPPPAAEVPE
P02192	KVLGFHG	A0A1K OFUF3	NAWGKVEA	P68138	VCDNGSGLVK	A0A1K OFUD3	WKGKVGHHAA	A0A3Q 1M0V5	YQKSSVKT	F1MQL 3	PIKAAKASR	A0A3Q 1MC60	YKEDVSPGT	D4QBB	ARNGFKEFTPVL	F1MJT	VNPGHPFI	Q8MKH	HAPPPPAAEVPE
P02192	QYKVLGFHG	A0A1K OFUF3	AQAAMSKALE	P68138	TKQYEYD	A0A1K OFUD3	ASHLPSDFTPAV	A0A3Q 1M0V5	FGEAAPYLRSK	F1MQL 3	PIKAAKAARQ	A0A3Q 1MC60	YKEDVSPGT	D4QBB	YPWTQR	F1MJT	FDKPVSP	Q8MKH	APPPPAAEVPE
P02192	FRNDMAAQYKV	A0A1K OFUF3	NAWGKVE	P68138	PSIVRK	A0A1K OFUD3	VNINGGSHAGNK LAM	A0A3Q 1M0V5	FGEAAPYLRSK	F1MQL 3	VSDIDYRNLYH	A0A3Q 1MC60	YKEDVSPGT	D4QBB	VVDPDMLSVVA 4QB	F1MJT	VDNPGHPF	Q8MKH	APPPPAAEVPE
P02192	NAWGKVE	A0A1K OFUF3	ISDAIIHV	P68138	AGPSIVRK	A0A1K OFUD3	ADAKGNVKA AEEA	A0A3Q 1M0V5	NKLMNL	F1MQL 3	VSDIDYRNLYH	A0A3Q 1MC60	YKEDVSPGT	D4QBB	LEGKVLPGVDA	F1MJT	VDNPGHPFI	Q8MKH	EAPPPPAAEVPE
P02192	NAWGKVEADVAG	A0A1K OFUF3	KAIIHVHLAKHP	P68138	TKQYEDEAGPSI	A0A1K OFUD3	AADKGNVKA AEEA	A0A3Q 1M0V5	FRENLNKL	F1MQL 3	VSDIDYRNLYH	A0A3Q 1MC60	YKEDVSPGT	D4QBB	LEGKVLPGVDA	F1MJT	VDNPGHPFI	Q8MKH	APPPPAAEVPE
P02192	WKGKVEADVAGH	A0A1K OFUF3	FGADQAAMSK	P68138	TKQYEYD	A0A1K OFUD3	WKGKVGHHAA	A0A3Q 1M0V5	YQKSSVKT	F1MQL 3	VSDIDYRNLYH	A0A3Q 1MC60	YKEDVSPGT	D4QBB	LEGKVLPGVDA	F1MJT	VDNPGHPFI	Q8MKH	APPPPAAEVPE
P02192	WKGKVEADVAGH	A0A1K OFUF3	GLSDGEWQ	P68138	GPSIVRK	A0A1K OFUD3	ASHLPSDFTPAV	A0A3Q 1M0V5	FGEAAPYLRSK	F1MQL 3	VSDIDYRNLYH	A0A3Q 1MC60	YKEDVSPGT	D4QBB	LEGKVLPGVDA	F1MJT	VDNPGHPFI	Q8MKH	APPPPAAEVPE
P02192	VLNAWGVKEAD	A0A1K OFUF3	WKGKVEADVAGH	P68138	WITKQYEYD	A0A1K OFUD3	HLPSDFT	A0A3Q 1M0V5	FGEAAPYLRSK	F1MQL 3	VSDIDYRNLYH	A0A3Q 1MC60	YKEDVSPGT	D4QBB	LEGKVLPGVDA	F1MJT	VDNPGHPFI	Q8MKH	APPPPAAEVPE
P02192	AIHVHLAKHP	A0A1K OFUF3	AIHVHLAKHP	P68138	WITKQYEYD	A0A1K OFUD3	WKGKVGHHAA	A0A3Q 1M0V5	YQSR	F1MQL 3	VSDIDYRNLYH	A0A3Q 1MC60	YKEDVSPGT	D4QBB	LEGKVLPGVDA	F1MJT	VDNPGHPFI	Q8MKH	APPPPAAEVPE
P02192	MAAQYKV	A0A1K OFUF3	NAWGKVEADVAG	P68138	WITKQYEYD	A0A1K OFUD3	WKGKVGHHAA	A0A3Q 1M0V5	FKAAGLLGL	F1MQL 3	VSDIDYRNLYH	A0A3Q 1MC60	YKEDVSPGT	D4QBB	LEGKVLPGVDA	F1MJT	VDNPGHPFI	Q8MKH	APPPPAAEVPE
P02192	AIHVHLAK	A0A1K OFUF3	ISDAIIHV	P68138	TKQYEYD	A0A1K OFUD3	VNINGGSHAGNK LAM	A0A3Q 1M0V5	YQKSSVKT	F1MQL 3	VSDIDYRNLYH	A0A3Q 1MC60	YKEDVSPGT	D4QBB	LEGKVLPGVDA	F1MJT	VDNPGHPFI	Q8MKH	APPPPAAEVPE
P02192	VAGHGQEVL	A0A1K OFUF3	NAWGKVEADVAG	P68138	TKQYEYD	A0A1K OFUD3	ADAKGNVKA AEEA	A0A3Q 1M0V5	SIVKYKEEKE	A0A3Q 1MC60	VSDIDYRNLYH	A0A3Q 1MC60	YKEDVSPGT	D4QBB	LEGKVLPGVDA	F1MJT	VDNPGHPFI	Q8MKH	APPPPAAEVPE
P02192	NAWGKVEA	A0A1K OFUF3	AAQYKVL	P68138	RVAPEEHPTL	A0A1K OFUD3	WKGKVGHHAA	A0A3Q 1M0V5	FGEAAPYLRSK	F1MQL 3	VSDIDYRNLYH	A0A3Q 1MC60	YKEDVSPGT	D4QBB	LEGKVLPGVDA	F1MJT	VDNPGHPFI	Q8MKH	APPPPAAEVPE
P02192	AQAAMSKALE	A0A1K OFUF3	NAWGKVEADVAG	P68138	YDEAGPSIVH	P10096	VYNEFGYSNR	A0A3Q 1M0V5	FGEAAPYLRSK	F1MQL 3	VSDIDYRNLYH	A0A3Q 1MC60	YKEDVSPGT	D4QBB	LEGKVLPGVDA	F1MJT	VDNPGHPFI	Q8MKH	APPPPAAEVPE
P02192	NAWGKVE	A0A1K OFUF3	KAIIHVHLAKHP	P68138	FQYDSTHGFKN	P10096	DEKLAQLTR	A0A3Q 1M0V5	YQDK	F1MQL 3	VSDIDYRNLYH	A0A3Q 1MC60	YKEDVSPGT	D4QBB	LEGKVLPGVDA	F1MJT	VDNPGHPFI	Q8MKH	APPPPAAEVPE





Q9BE3	GFEAAPYLRKSEK	A0A3Q1L530	VS VKVMLSAGQKR	E1BE1	IDLTVKLGSRV	A0A3Q1L5C60	TARMNSNNIT	P63258	SKQYEDESGPSV	A6QR1	VINVGGSHAGNK	A0A3Q1L5C60	MKGIGWIPI	Q3ZBDNTNHGHIL	WVDYSKNA	P02192	AKHPSDFGADQA	Q3T0P6	FLKDCVGPEVK	
Q9BE3	FMGVKNWPWMK	A0A3Q1L11E9	VS VKVMLSAGQKR	A0A3Q1N8N0	IDLTVKLGSRV	A0A3Q1L1MC60	RSPIDRPEFHFI	F1MRD1	SKQYEDESGPSV	A0A3Q1N8N0	VINVGGSHAGNK	Q3ZC8	DIDSPPITARNTG	ISDAIIHVLHAK	A0A1K4OFUFS3	AKHPSDFGADQA	G3X7N4	FLKDCVGPEVK		
Q9BE3	FKAGLLGL	A0A3Q1L11L60	VS VKVMLSAGQKR	A0A3Q1L1VB7	IDLTVKLGSRV	A6QL1GKYTPSGKAGAF	1N2C8	FKAGLLGL	A0A3Q1N8N0	VINVGGSHAGNK	A5D98	DIDSPPITARNTG	A0A1K4OFUFS3	ISDAIIHVLHAK	P02192	AIIHVLHAKHPSDF	Q32KNG	FLKDCVGPEVK		
Q9BE3	YKKSSLKMLS	A0A3Q1M762	VS VKVMLSAGQKR	A0A3Q1N613	IDLTVKLGSRV	F1MM7	KKSSLKM	A0A452DIX3	ARQKLDPKIAV	A0A3Q1N8N0	VINVGGSHAGNK	Q3ZC0	LGRPDGVPMPDFK	1M1R86	SKKLAGQRFTAVED	A0A1K4OFUFS3	AKHPSDFGADQA	A0A452	IHCQLQHPEHV	
Q9BE3	TRPFDLK	A0A3Q1M746	VS VKVMLSAGQKR	A1B1M6	DGNHQNVY	Q9BE3	KKSSLKM	Q5E956	ARQKLDPKIAV	Q9XJS9	VINVGGSHAGNK	G3X7N7	LGRPDGVPMPDFK	1M1R85	SKKLAGQRFTAVED	Q9XSC6	VDNPGRHPF	Q5EA88	IHCQLQHPEHV	
Q9BE3	VKNWPWMK	A0A3Q1L1ZP3	VS VKVMLSAGQKR	A6QL1PT	YTPSGKAGAAA	G3 M Y	YRGRKMFDAAKS	F1N2F2	NLPTGIPIVY	F1MB0	VINVGGSHAGNK	P52556	VVKKIALFGATG	P02192	NAWGKVEADVAGH	P68138	VCDNGSGLVKAG	A0A3Q1M9X3	IHCQLQHPEHV	
Q9BE3	TNLRSTPHFVR	E1BNT1	VS VKVMLSAGQKR	A0A3Q1IN2Q9	TVRKVNAEHSV	F8SWQGCRKMFDAKS	PT	HAKHPSDFGADA	A0A3Q1N8N0	VINVGGSHAGNK	Q3ZC0	INGGSHAGNKLA	A0A1K4OFUFS3	TARMNSNNISTKK	P02192	NAWGKVEADVAD	Q3ZC0	NAWGKVEADVAD		
Q9BE3	GFEAAPYLRKSEK	1LRQ8	VS VKVMLSAGQKR	P00570	TVRKVNAEHSV	Q9BE4	KSEKERIEAQNK	A0A1K4OFUFS3	HAKHPSDFGADA	A6QR1	VINVGGSHAGNK	Q3ZC0	INGGSHAGNKLA	Q0IIHE1	INGGSHAGNKLA	P10175	UTAKPAKPTPSPK	A0A1K0FUF3	NAWGKVEADVAD	
A0A45	EAJVKHIMAG	A1A4J4	VS VKVMLSAGQKR	Q9BE40	YQKMVERR	A0A3Q1LYQ9	KSEKERIEAQNK	P82908	FIQRGGPE	A0A3Q1LYI8	VINVGGSHAGNK	Q9XJS9	INGGSHAGNKLA	E1BDJ9	INGGSHAGNKLA	A0A3Q1WLSSEGPVD	YERKGRIVRKVNAEG	MRIEEALGDK	AVFAGRKFRR	
A0A45	FVKHIMAG	A4IFK4R	GPFKPQAAVAS	A0A3Q1LYQ9	YQKMVERR	Q9BE41	KSEKERIEAQNK	F1N2F2	TSVLKRAIR	P02192	FRNDMAAQ	F1MB0	INGGSHAGNKLA	Q8S8Q4	NLNSRPSFNRTPIP	A0A3Q1WLSSGEPV	YERKGRIVRKVNAEG	P68138	PSIVHRK	
A0A45	RVLGPKQEEELNS	A4IFK4	GPFKPQ	Q9BE41	YQKMVERR	F1MRCKSEKERIEAQNK	A0A3Q1N2Q9	SQVCTHLDA	A0A1K4OFUFS3	FRNDMAAQ	A0A3Q1IMXQ0	INGGSHAGNKLA	E1BHK1	NLNSRPSFNRTPIP	Q9BE41	FSGTPGDSSEASGG	TKKGKKKGSSFQ	Q5E9B5	PSIVHRK	
A0A45	EAJVKHIM	A4IFK4	GPFKPQAA	F1MRC2	YQKMVERR	F1N77	KSEKERIEAQNK	P00570	SQVCTHLDA	A0A3Q1LYQ9	VINVGGSHAGNK	A6QR1	INGGSHAGNKLA	A0A3Q1YKVGAL	YKIVGAL	F1MRC2	FSGTPGDSSEASGG	TKKGKKKGSSFQ	Q5E9B5	PSIVHRK
A0A45	VKHIMAG	A4IFK4	PARPASALNIA	Q5E955	YQKMVERR	A0A3Q1LYV29	KSEKERIEAQNK	A0A3Q1LYV29	TVRKVNAEHSV	A0A3Q1LYV29	VINVGGSHAGNK	A0A3Q1LYI8	INGGSHAGNKLA	A6QL1	QLSIGTENTENRRFY	Q3ZC0	YEEALGDKAVFAG	P60712	PSIVHRK	
A0A45	RVLGPKQEEELNS	A0A3Q1MS81	NKLMTNL	A0A1K4OFUFS3	GADAQAAMSK	E1B1P8	KSEKERIEAQNK	Q3ZC0	DVAKSRGVEA	Q9XJS9	VINVGGSHAGNK	A6QL1	INGGSHAGNKLA	Q3ZC0	DIDSPPITARNTGIC	P63258	PSIVHRK			
A0A45	FVKHIMA	A0A3Q1MS81	YKIVGAL	A0A452DIX3	WKMNRKNNL	A0A3Q11LZ74	KSEKERIEAQNK	P00570	VCTHLDA	F1M80	VINVGGSHAGNK	Q1MS81	YKIVGAL	F1MRC2	FSGTPGDSSEASGG	TKKGKKKGSSFQ	Q5E9B5	PSIVHRK		
A0A45	VPCRGAGVMRC	E1BPX	WKMNRKNNL	Q5E956	WKMNRKNNL	Q3T0B	WMSHLRPDG	P00570	VCTHLDA	A0A3Q1V1M05VLA	VINVGGSHAGNK	A0A3Q1LYI8	WKMNRKNNL	Q1MS81	YKIVGAL	F1MRC2	FSGTPGDSSEASGG	TKKGKKKGSSFQ	Q5E9B5	PSIVHRK
A0A45	PGGIKACR	1	NKLMTNL	Q5E956	WKMNRKNNL	MSHLRPDG	P00570	VCTHLDA	A0A3Q1V1M05VLA	VINVGGSHAGNK	A0A3Q1LYI8	WKMNRKNNL	Q1MS81	YKIVGAL	F1MRC2	FSGTPGDSSEASGG	TKKGKKKGSSFQ	Q5E9B5	PSIVHRK	
A0A3Q1IMBD4	EAJVKHIMAG	E1BPX8	YKIVGAL	A6QL1G3X7N4	KALSDHHI	MSHLRPDG	P02192	NAWGKVEAD	A6QR1	VINVGGSHAGNK	Q3ZC0	WGMKVKEDEVG	Q1MS81	YKIVGAL	F1MRC2	FSGTPGDSSEASGG	TKKGKKKGSSFQ	Q5E9B5	PSIVHRK	
A0A3Q1IMBD4	FVKHIMAG	1	LLKNSPLVSR	Q5E956	KALSDHHI	MSHLRPDG	P02192	NAWGKVEAD	A6QR1	VINVGGSHAGNK	Q3ZC0	WGMKVKEDEVG	Q1MS81	YKIVGAL	F1MRC2	FSGTPGDSSEASGG	TKKGKKKGSSFQ	Q5E9B5	PSIVHRK	
A0A3Q1IMBD4	EAJVKHIMAG	1	LLKNSPLVSR	Q5E956	KALSDHHI	MSHLRPDG	P02192	NAWGKVEAD	A6QR1	VINVGGSHAGNK	Q3ZC0	WGMKVKEDEVG	Q1MS81	YKIVGAL	F1MRC2	FSGTPGDSSEASGG	TKKGKKKGSSFQ	Q5E9B5	PSIVHRK	
A0A3Q1IMBD4	EAJVKHIMAG	1	LLKNSPLVSR	Q5E956	KALSDHHI	MSHLRPDG	P02192	NAWGKVEAD	A6QR1	VINVGGSHAGNK	Q3ZC0	WGMKVKEDEVG	Q1MS81	YKIVGAL	F1MRC2	FSGTPGDSSEASGG	TKKGKKKGSSFQ	Q5E9B5	PSIVHRK	
A0A3Q1IMBD4	EAJVKHIMAG	1	LLKNSPLVSR	Q5E956	KALSDHHI	MSHLRPDG	P02192	NAWGKVEAD	A6QR1	VINVGGSHAGNK	Q3ZC0	WGMKVKEDEVG	Q1MS81	YKIVGAL	F1MRC2	FSGTPGDSSEASGG	TKKGKKKGSSFQ	Q5E9B5	PSIVHRK	
A0A3Q1IMBD4	EAJVKHIMAG	1	LLKNSPLVSR	Q5E956	KALSDHHI	MSHLRPDG	P02192	NAWGKVEAD	A6QR1	VINVGGSHAGNK	Q3ZC0	WGMKVKEDEVG	Q1MS81	YKIVGAL	F1MRC2	FSGTPGDSSEASGG	TKKGKKKGSSFQ	Q5E9B5	PSIVHRK	
A0A3Q1IMBD4	EAJVKHIMAG	1	LLKNSPLVSR	Q5E956	KALSDHHI	MSHLRPDG	P02192	NAWGKVEAD	A6QR1	VINVGGSHAGNK	Q3ZC0	WGMKVKEDEVG	Q1MS81	YKIVGAL	F1MRC2	FSGTPGDSSEASGG	TKKGKKKGSSFQ	Q5E9B5	PSIVHRK	
A0A3Q1IMBD4	EAJVKHIMAG	1	LLKNSPLVSR	Q5E956	KALSDHHI	MSHLRPDG	P02192	NAWGKVEAD	A6QR1	VINVGGSHAGNK	Q3ZC0	WGMKVKEDEVG	Q1MS81	YKIVGAL	F1MRC2	FSGTPGDSSEASGG	TKKGKKKGSSFQ	Q5E9B5	PSIVHRK	
A0A3Q1IMBD4	EAJVKHIMAG	1	LLKNSPLVSR	Q5E956	KALSDHHI	MSHLRPDG	P02192	NAWGKVEAD	A6QR1	VINVGGSHAGNK	Q3ZC0	WGMKVKEDEVG	Q1MS81	YKIVGAL	F1MRC2	FSGTPGDSSEASGG	TKKGKKKGSSFQ	Q5E9B5	PSIVHRK	
A0A3Q1IMBD4	EAJVKHIMAG	1	LLKNSPLVSR	Q5E956	KALSDHHI	MSHLRPDG	P02192	NAWGKVEAD	A6QR1	VINVGGSHAGNK	Q3ZC0	WGMKVKEDEVG	Q1MS81	YKIVGAL	F1MRC2	FSGTPGDSSEASGG	TKKGKKKGSSFQ	Q5E9B5	PSIVHRK	
A0A3Q1IMBD4	EAJVKHIMAG	1	LLKNSPLVSR	Q5E956	KALSDHHI	MSHLRPDG	P02192	NAWGKVEAD	A6QR1	VINVGGSHAGNK	Q3ZC0	WGMKVKEDEVG	Q1MS81	YKIVGAL	F1MRC2	FSGTPGDSSEASGG	TKKGKKKGSSFQ	Q5E9B5	PSIVHRK	
A0A3Q1IMBD4	EAJVKHIMAG	1	LLKNSPLVSR	Q5E956	KALSDHHI	MSHLRPDG	P02192	NAWGKVEAD	A6QR1	VINVGGSHAGNK	Q3ZC0	WGMKVKEDEVG	Q1MS81	YKIVGAL	F1MRC2	FSGTPGDSSEASGG	TKKGKKKGSSFQ	Q5E9B5	PSIVHRK	
A0A3Q1IMBD4	EAJVKHIMAG	1	LLKNSPLVSR	Q5E956	KALSDHHI	MSHLRPDG	P02192	NAWGKVEAD	A6QR1	VINVGGSHAGNK	Q3ZC0	WGMKVKEDEVG	Q1MS81	YKIVGAL	F1MRC2	FSGTPGDSSEASGG	TKKGKKKGSSFQ	Q5E9B5	PSIVHRK	
A0A3Q1IMBD4	EAJVKHIMAG	1	LLKNSPLVSR	Q5E956	KALSDHHI	MSHLRPDG	P02192	NAWGKVEAD	A6QR1	VINVGGSHAGNK	Q3ZC0	WGMKVKEDEVG	Q1MS81	YKIVGAL	F1MRC2	FSGTPGDSSEASGG	TKKGKKKGSSFQ	Q5E9B5	PSIVHRK	
A0A3Q1IMBD4	EAJVKHIMAG	1	LLKNSPLVSR	Q5E956	KALSDHHI	MSHLRPDG	P02192	NAWGKVEAD	A6QR1	VINVGGSHAGNK	Q3ZC0	WGMKVKEDEVG	Q1MS81	YKIVGAL	F1MRC2	FSGTPGDSSEASGG	TKKGKKKGSSFQ	Q5E9B5	PSIVHRK	
A0A3Q1IMBD4	EAJVKHIMAG	1	LLKNSPLVSR	Q5E956	KALSDHHI	MSHLRPDG	P02192	NAWGKVEAD	A6QR1	VINVGGSHAGNK	Q3ZC0	WGMKVKEDEVG	Q1MS81	YKIVGAL	F1MRC2	FSGTPGDSSEASGG	TKKGKKKGSSFQ	Q5E9B5	PSIVHRK	
A0A3Q1IMBD4	EAJVKHIMAG	1	LLKNSPLVSR	Q5E956	KALSDHHI	MSHLRPDG	P02192	NAWGKVEAD	A6QR1	VINVGGSHAGNK	Q3ZC0	WGMKVKEDEVG	Q1MS81	YKIVGAL	F1MRC2	FSGTPGDSSEASGG	TKKGKKKGSSFQ	Q5E9B5	PSIVHRK	
A0A3Q1IMBD4	EAJVKHIMAG	1	LLKNSPLVSR	Q5E956	KALSDHHI	MSHLRPDG	P02192	NAWGKVEAD	A6QR1	VINVGGSHAGNK	Q3ZC0	WGMKVKEDEVG	Q1MS81	YKIVGAL	F1MRC2	FSGTPGDSSEASGG	TKKGKKKGSSFQ	Q5E9B5	PSIVHRK	
A0A3Q1IMBD4	EAJVKHIMAG	1	LLKNSPLVSR	Q5E956	KALSDHHI	MSHLRPDG	P02192	NAWGKVEAD	A6QR1	VINVGGSHAGNK	Q3ZC0	WGMKVKEDEVG	Q1MS81	YKIVGAL	F1MRC2	FSGTPGDSSEASGG	TKKGKKKGSSFQ	Q5E9B5	PSIVHRK	
A0A3Q1IMBD4	EAJVKHIMAG	1	LLKNSPLVSR	Q5E956	KALSDHHI	MSHLRPDG	P02192	NAWGKVEAD	A6QR1	VINVGGSHAGNK	Q3ZC0	WGMKVKEDEVG	Q1MS81	YKIVGAL	F1MRC2	FSGTPGDSSEASGG	TKKGKKKGSSFQ	Q5E9B5	PSIVHRK	
A0A3Q1IMBD4	EAJVKHIMAG	1	LLKNSPLVSR	Q5E956	KALSDHHI	MSHLRPDG	P02192	NAWGKVEAD	A6QR1	VINVGGSHAGNK	Q3ZC0	WGMKVKEDEVG	Q1MS81	YKIVGAL	F1MRC2	FSGTPGDSSEASGG	TKKGKKKGSSFQ	Q5E9B5	PSIVHRK	
A0A3Q1IMBD4	EAJVKHIMAG	1	LLKNSPLVSR	Q5E956	KALSDHHI	MSHLRPDG	P02192	NAWGKVEAD	A6QR1	VINVGGSHAGNK	Q3ZC0	WGMKVKEDEVG	Q1MS81	YKIVGAL	F1MRC2	FSGTPGDSSEASGG	TKKGKKKGSSFQ	Q5E9B5	PSIVHRK	
A0A3Q1IMBD4	EAJVKHIMAG	1	LLKNSPLVSR	Q5E956	KALSDHHI	MSHLRPDG	P02192	NAWGKVEAD	A6QR1	VINVGGSHAGNK	Q3ZC0	WGMKVKEDEVG	Q1MS81	YKIVGAL	F1MRC2	FSGTPGDSSEASGG	TKKGKKKGSSFQ	Q5E9B5	PSIVHRK	
A0A3Q1IMBD4	EAJVKHIMAG	1	LLKNSPLVSR	Q5E956	KALSDHHI	MSHLRPDG	P02192	NAWGKVEAD	A6QR1	VINVGGSHAGNK	Q3ZC0	WGMKVKEDEVG	Q1MS81	YKIVGAL	F1MRC2	FSGTPGDSSEASGG	TKKGKKKGSSFQ	Q5E9B5	PSIVHRK	
A0A3Q1IMBD4	EAJVKHIMAG	1	LLKNSPLVSR	Q5E956	KALSDHHI	MSHLRPDG	P02192	NAWGKVEAD	A6QR1	VINVGGSHAGNK	Q3ZC0	WGMKVKEDEVG	Q1MS81	YKIVGAL	F1MRC2	FSGTPGDSSEASGG	TKKGKKKGSSFQ	Q5E9B5	PSIVHRK	
A0A3Q1IMBD4	EAJVKHIMAG	1	LLKNSPLVSR	Q5E956	KALSDHHI	MSHLRPDG	P02192	NAWGKVEAD	A6QR1	VINVGGSHAGNK	Q3ZC0	WGMKVKEDEVG	Q1MS81	YKIVGAL	F1MRC2	FSGTPGDSSEASGG	TKKGKKKGSSFQ	Q5E9B5	PSIVHRK	
A0A3Q1IMBD4	EAJVKHIMAG	1	LLKNSPLVSR	Q5E956	KALSDHHI	MSHLRPDG	P02192	NAWGKVEAD	A6QR1	VINVGGSHAGNK	Q3ZC0	WGMKVKEDEVG	Q1MS81	YKIVGAL	F1MRC2	FSGTPGDSSEASGG	TKKGKKKGSSFQ	Q5E9B5	PSIVHRK	
A0A3Q1IMBD4	EAJVKHIMAG	1	LLKNSPLVSR	Q5E956	KALSDHHI	MSHLRPDG	P02192	NAWGKVEAD	A6QR1	VINVGGSHAGNK	Q3ZC0	WGMKVKEDEVG	Q1MS81	YKIVGAL	F1MRC2	FSGTPGDSSEASGG	TKKGKKKGSSFQ	Q5E9B5	PSIVHRK	
A0A3Q1IMBD4	EAJVKHIMAG	1	LLKNSPLVSR	Q5E956	KALSDHHI	MSHLRPDG	P02192	NAWGKVEAD	A6QR1	VINVGGSHAGNK	Q3ZC0	WGMKVKEDEVG	Q1MS81	YKIVGAL	F1MRC2	FSGTPGDSSEASGG	TKKGKKKGSSFQ	Q5E9B5	PSIVHRK	
A0A3Q1IMBD4	EAJVKHIMAG	1	LLKNSPLVSR	Q5E956	KALSDHHI	MSHLRPDG	P02192	NAWGKVEAD	A6QR1	VINVGGSHAGNK	Q3ZC0	WGMKVKEDEVG	Q1MS81	YKIVGAL	F1MRC2	FSGTPGDSSEASGG	TKKGKKKGSSFQ	Q5E9B5	PSIVHRK	
A0A3Q1IMBD4	EAJVKHIMAG	1	LLKNSPLVSR	Q5E956	KALSDHHI	MSHLRPDG	P02192	NAWGKVEAD	A6QR1	VINVGGSHAGNK	Q3ZC0	WGMKVKEDEVG	Q1MS81	YKIVGAL	F1MRC2	FSGTPGDSSEASGG	TKKGKKKGSSFQ	Q5E9B5	PSIVHRK	
A0A3Q1IMBD4	EAJVKHIMAG	1	LLKNSPLVSR	Q5E956	KALSDHHI	MSHLRPDG	P02192	NAWGKVEAD	A6QR1	VINVGGSHAGNK	Q3ZC0	WGMKVKEDEVG	Q1MS81	YKIVGAL	F1MRC2	FSGTPGDSSEASGG	TKKGKKKGSSFQ	Q5E9B5	PSIVHRK	
A0A3Q1IMBD4	EAJVKHIMAG	1	LLKNSPLVSR	Q5E956	KALSDHHI	MSHLRPDG	P02192	NAWGKVEAD	A6QR1	VINVGGSHAGNK	Q3ZC0	WGMKVKEDEVG	Q1MS81	YKIVGAL	F1MRC2	FSGTPGDSSEASGG	TKKGKKKGSSFQ	Q5E9B5	PSIVHRK	
A0A3Q1IMBD4	EAJVKHIMAG	1	LLKNSPLVSR	Q5E956	KALSDHHI	MSHLRPDG	P02192	NAWGKVEAD	A6QR1	VINVGGSHAGNK	Q3ZC0	WGMKVKEDEVG	Q1MS81	YKIVGAL	F1MRC2	FSGTPGDSSEASGG	TKKGKKKGSSFQ	Q5E9B5	PSIVHRK	
A0A3Q1IMBD4	EAJVKHIMAG	1	LLKNSPLVSR	Q5E956	KALSDHHI	MSHLRPDG	P02192	NAWGKVEAD	A6QR1	VINVGGSHAGNK	Q3ZC0	WGMKVKEDEVG	Q1MS81	YKIVGAL	F1MRC2	FSGTPGDSSEASGG	TKKGKKKGSSFQ	Q5E9B5	PSIVHRK	
A0A3Q1IMBD4	EAJVKHIMAG	1	LLKNSPLVSR	Q5E956	KALSDHHI	MSHLRPDG	P02192	NAWGKVEAD	A6QR1	VINVGGSHAGNK	Q3ZC0	WGMKVKEDEVG	Q1MS81	YKIVGAL	F1MRC2	FSGTPGDSSEASGG	TKKGKKKGSSFQ	Q5E9B5	PSIVHRK	
A0A3Q1IMBD4	EAJVKHIMAG	1	LLKNSPLVSR	Q5E956	KALSDHHI	MSHLRPDG	P02192	NAWGKVEAD	A6QR1	VINVGGSHAGNK	Q3ZC0	WGMKVKEDEVG	Q1MS81	YKIVGAL	F1MRC2	FSGTPGDSSEASGG	TKKGKKKGSSFQ	Q5E9B5	PSIVHRK	
A0A3Q1IMBD4	EAJVKHIMAG	1	LLKNSPLVSR	Q5E956	KALSDHHI	MSHLRPDG	P02192	NAWGKVEAD	A6QR1	VINVGGSHAGNK	Q3ZC0	WGMKVKEDEVG	Q1MS81	YKIVGAL	F1MRC2	FSGTPGDSSEASGG	TKKGKKKGSSFQ	Q5E9B5	PSIVHRK	
A0A3Q1IMBD4	EAJVKHIMAG	1	LLKNSPLVSR	Q5E956	KALSDHHI	MSHLRPDG	P02192	NAWGKVEAD	A6QR1	VINVGGSHAGNK	Q3ZC0	WGMKVKEDEVG	Q1MS81	YKIVGAL	F1MRC2	FSGTPGDSSEASGG	TKKGKKKGSSFQ	Q5E9B5	PSIVHRK	
A0A3Q1IMBD4	EAJVKHIMAG	1	LLKNSPLVSR	Q5E956	KALSDHHI	MSHLRPDG	P02192	NAWGKVEAD	A6QR1	VINVGGSHAGNK	Q3ZC0	WGMKVKEDEVG	Q1MS81	YKIVGAL	F1MRC2	FSGTPGDSSEASGG	TKKGKKKGSSFQ	Q5E9B5	PSIVHRK	
A0A3Q1IMBD4																				

A0A3Q 1NI96	TTTTAVHIQPAH	A0A1K 0UFU3	EFISDAIHVLHAK HPSDFGADAQAA MSK	Q9XSJ 4	GGSHAGNKLAMQ	A0A3Q 1LVZ9	YKVLNASA	A0A14 0T8A1	AAAPAPAQAPLQS PPGAAAK	P02192	NAWGKVADVAG HL	A0A1K 0UFU3	NAWGKVEA	A0A3Q 1LYQ9	FSGPASGEAEGGP KGGKKGSSF	Q8M H6	MAKLKQQKYE	A0A3Q1 LYQ9	FGSPASGEAEQ GPKGGKKKG SSFTQ		
A0A3Q 1NI96	VREPVISAVEQTA QR	A0A1K 0UFU3	QYKVLGFHG	F1MB0 8	GGSHAGNKLAMQ	E1BP8 7	YKVLNASA	Q3ZC8 7	VKQKGPDFL	A0A1K 0UFU3	KNAWGVKEADVAG HL	P68138	RVAPEEHPTL	P02070	VVAGVANALAH YH	A0A3Q 1M430	MAKLKQQKYE	A0A452 DIX3	VVLGHSERRH VFGESDELIGQ KAHALA		
A0A3Q 1NI96	TRIEKKIEAH	A0A1K 0UFU3	FTGHPETL	A0A3Q 1MXQ0	GGSHAGNKLAMQ	A0A3Q 1LZ74	YKVLNASA	A5D98 4	VKQKGPDFL	A6QL1	TENTENRRFYR Q	A0A45 2DIX3	ARQKLDPKIAVAD AQNCYK	A0A45 4	VVAGVANALAH YH	B1GVT 6	MAKLKQQKYE	Q5E956	VVLGHSERRH VFGESDELIGQ KAHALA		
E1BF2 3	AKPKLLPAAAPSP AH	Q3T0P 6	HLGRPDGVMPD KYSLQPVAELKS LLGK	A6QR1 9	GGSHAGNKLAMQ	A0A3Q 1MBD4	FVKHIMAG	Q9BE4 0	YKVLNAS	A0JN5	FVKHIMSN	Q5E95 6	ARQKLDPKIAVAD AQNCYK	P02070	VVAGVANALAH YH	P02192	IIHVLHAKHPS DFGADAAQAM SK	IIHVLHAKHPS DFGADAAQAM SK			
F1N2F 2	DQALKPTKPMRF LGDEETVRK	G3X7N 4	HLGRPDGVMPD KYSLQPVAELKS LLGK	A0A3Q 1MIY8	GGSHAGNKLAMQ	P85100	FVKHIMAG	A0A3Q 1LYQ9	YKVLNAS	Q08E1 0	FVKHIMSN	Q5E9B 5	VVAGVANALAH YH	A0A3Q 1MGU4	D4QBB 4	LVVYPWTQ	P02192	IIJHLVHAKHP SDFGADAAQAM M			
F1N2F 2	DQALKPTKPMRF LGDEETVRK	Q9XSC 6	MVEMEKKLEKGQ SIDDMPAQK	P68138	PSIVGRPRHQG	A0A45 2DI97	FVKHIMAG	Q9BE4 1	YKVLNAS	A0A3Q 1M6K6	FRAGSALNRMK F1MKC	P02004	FRAGSALNRMK F1MKC	P01966	HLPSDFTPAVHAS IMT60PDG	A6QL1 8	PHQYPALTPEQKKE	A0A1K0 FUF3	IIHVLHAKHPS DFGADAAQAM SK		
F1N2F 2	NLPTGIPIVYE 1MOV5K	A0A3Q 1MOV5	NPELILPVPAFN NGGSHAGNLA	P60712	PSIVGRPRHQG	P68138	CDNGSGLVK	F1N77 5	YKVLNAS	A0A3Q 1MNP9	FVHEGYQG	A0A0F 7RXP0	FVNTNTVPRASV PDG	A0A1K 0UD3	HLPSDFTPAVHAS DKFLANVST	A0A3Q 1IMGU4	LVVYPWTQ	A0A452 DIX3	ARQKLDPKIAV AAQN		
F1N2F 2	NLPTGIPIVY 1MOV5	A0A3Q 1MOV5	IKNYPVVS	P63258	PSIVGRPRHQG	P10096	GYSNRVVD	A0A3Q 1LZV9	YKVLNAS	Q0II5	FVHEGYQG	P80177	FVNTNTVPRASV PDG	A0A45 2DJ16	EAPPPAEEPEV EVH	G3N1Y 3	LVVYPWTQ	Q5E956	ARQKLDPKIAV AAQN		
Q32KV 0	DQALKPTKPMRF LGDEETVRK	Q3ZC0 9	OKKLSVVDQEKV K	F1MRD 0	PSIVGRPRHQG	Q2KJE 5	GYSNRVVD	E1BPS 7	YKVLNAS	A0A3Q 1M6K7	FVHEGYQG	P10096	QYDSTHGKF 1MHL7	A0A3Q 2DJ16	EAPPPAEEPEV EVH	P02081	LVVYPWTQ	P02192	GLSDGEWQ		
Q32KV 0	DQALKPTKPMRF LGDEETVRK	Q3ZC0 9	NPPELILPVPAFN NGGSHAGNLA	A0A3Q 1MP70	EGDRDRFNR	Q3SZX 4	HNGPDHWHE	A0A3Q 1LZ74	YKVLNAS	P02192	AQYKVLFGH Q9BE4	P02192	YQKSSVKTALL 5ZPQ2	A0A3S 7	EAPPPAEEPEV EVH	Q3ZC8 7	QTQQLHAAM	A0A1K0 FUF3	GLSDGEWQ		
Q32KV 0	DQALKPTKPMRF LGDEETVRK	Q3ZC0 9	IKNYPVVS	Q3ZBD 7	EGDRDRFNR	A6QL1 8	TADDRVNP GVILFHET	P02192	FISDAIHLVHAKH A0A1K 0UFU3	AQYKVLFGH 1LYQ9	YQKSSVKTALL 5ZPQ2	A0A3S 5ZPQ2	EAPPPAEEPEV EVH	A5D98 4	QTQQLHAAM	P10096	YDSTHGFNG TVKAENGKLV INGKAIT				
Q32KV 0	NLPTGIPIVYE 1MC60	A0A3Q 1MC60	NNAITMNHRL	A0A3Q 1M0V5	LILPVPAF	A0A0N 4STN2Y	IHQKRADPDFHK D	A0A1K 0UFU3	FISDAIHLVHAKH PSDFGADAAQ	P01966	ASHLPSDFTPAV HASLDKFL	A0A3Q 1IN2Q9	SQVCTHL	Q8MK1 4	EAPPPAEEPEV EVH	P68138	FAGDDAPRAVFS VGRPRHQG	P10175	YHLDNYKK		
Q32KV 0	NLPTGIPIVY 1MC60	A0A3Q 1MC60	ARQNKLNY	Q3ZC0 9	LILPVPAF	A0A3Q 1MQN0Y	IHQKRADPDFHK D	A0A1K 0AAQ	FISDAIHLVHAKH PSDFGADAAQ	P02192	ASHLPSDFTPAV HASLDKFL	A0A3Q 1QAA	SQVCTHL	Q8MK1 3	EAPPPAEEPEV EVH	P68138	VCDNGSGLVK	P10175	YHLDNYKK		
Q5E95 6	VDIINAKQ	A0A3Q 1M1H0	FSGSLPLK ASPVYQAVIK	A6QR1 9	LILPVPAF	A0A3Q 1LKB8Y	IHQKRADPDFHK D	A0A1K 0UFU3	HAKHPDFGADAA QAA	P02070	ARNFGKEFTP VPL	A0A3Q 1IM6C0	KVNAYNISENL	Q8MK1 2	EAPPPAEEPEV EVH	Q5E95 5	FAGDDAPRAVFS VGRPRHQG	P10096	FNSDTHSSTF DAGAGIALND HFVK		
Q5E95 6	VGGASLKP INAQK	A0A3Q 1M1H0	FEALGHTWH	A0A3Q 1MIY8	LILPVPAF	P13182	IHQKRADPDFHK D	Q3T0P 6	HLGRPDGVPM	D4QBB 4	BARNFGKEFTP VPL	A0A3Q 1IMNP9	LDTSEAHLEH SRKR	Q8MK1 1	EAPPPAEEPEV EVH	P60712	FAGDDAPRAVFS VGRPRHQG	Q32KN6	MSHLGRPDGV PMPDK		
Q5E95 6	APSRKFF	A0A3Q 1M1H0	FSGSLPLK	A6QLL 8	TADDRVNP C	P02192	DFGADAAQAM 4	IHLVHAKHPS G3X7N	HLGRPDGVPM	A6QL1 8	AINKCPLLK AL	Q0II5	LDTSEAHLEH SRKR	Q8MK1 9	EAPPPAEEPEV EVH	P63258	FAGDDAPRAVFS VGRPRHQG	A6QLL8	KIGEHTPSSL IMANVELN		
Q5E95 6	APSRKFF	A0A3Q 1M1H0	FSKLLYT	A0A1K 0UFU3	A0A1K 0UFU3	A0A1K 0UFU3	IHLVHAKHPS G3X7N	KIGEHTPSSL AL	AINKCPLLK AL	P02192	AINKCPLLK AL	Q0II5	LDTSEAHLEH SRKR	Q8MK1 0	EAPPPAEEPEV EVH	P63258	FAGDDAPRAVFS VGRPRHQG	P10175	YHLDNYKK		
A0A45 2DIX3	VDIINAKQ	Q9BE4	KSEKERIEAQNK FDAK	F6QIC1	DVGDRWRK	A0A3Q 1LVWQ	RAGGAAAAAAC GGAALGLP	P02192	IRLFTGHPET	A0A3Q 1LTB0	SLVADAMNGKE GEV	P01966	SAADKGNV WKGVGHHAEY GAEALER	Q9XSC 6	LVDGVKL	P01966	HLPSDTPA V	G3X7N4	HLGRPDGVPM PDKYSLQPVA ELK		
A0A45 2DIX3	VGGASLKP INAQK	Q9BE4	RENLNKL	A5PJM 2	DVGDRWRK	A0A3Q 1LLS2	RAGGAAAAAAC GGAALGLP	A0A1K 0UFU3	IRLFTGHPET	Q32L 3	GSLVADAMNGKE GEV	A0A1K 0UFU3	SAADKGNV WKGVGHHAEY GAEALER	Q9XSC 6	PFGNTHNKHKL	A0A1K 0UFU3	HLPSDTPA V	P10096	YDSTHGFNG TVKAENGKLV INGKA		
A0A45 2DIX3	APSRKFF	Q9BE4	ADFKQRYK	P02192	HAKHPDFGADAQ	P68138	GMESAGIHET YNSIMK	P02192	MAAQYKVLG	A0A3Q 1LTB0	MAAQYKVLG	P02192	MAAQYKVLG	A0A3Q 1LTB0	MAAQYKVLG	P01966	SAADKGNV WKGVGHHAEY GAEALER	Q9XSC 6	HLGRPDGVPM PDKYSLQPVA ELK	P10175	YHLDNYKK
A0A45 2DIX3	ARQKLDPK INAQK	Q9BE4	FSKLLYT	A0A1K 0UFU3	A0A1K 0UFU3	A0A1K 0UFU3	GMESAGIHET YNSIMK	Q2KJE 5	GMSRVDL	A0A1K 0UFU3	MAAQYKVLG	Q32LG 3	LLKNSPLVSR	P01966	SAADKGNV WKGVGHHAEY GAEALER	Q9XSC 6	LVDGVKL	P01966	HLGRPDGVPM PDKYSLQPVA ELK	P10175	YHLDNYKK
A0A45 2DIX3	ARQKLDPK INAQK	Q9BE4	FSKLLYT	A0A1K 0UFU3	A0A1K 0UFU3	A0A1K 0UFU3	GMESAGIHET YNSIMK	Q2KJE 5	GMSRVDL	A0A1K 0UFU3	MAAQYKVLG	Q32LG 3	LLKNSPLVSR	P01966	SAADKGNV WKGVGHHAEY GAEALER	Q9XSC 6	LVDGVKL	P01966	HLGRPDGVPM PDKYSLQPVA ELK	P10175	YHLDNYKK
A0A45 2DIX3	ARQKLDPK INAQK	Q9BE4	FSKLLYT	A0A1K 0UFU3	A0A1K 0UFU3	A0A1K 0UFU3	GMESAGIHET YNSIMK	Q2KJE 5	GMSRVDL	A0A1K 0UFU3	MAAQYKVLG	Q32LG 3	LLKNSPLVSR	P01966	SAADKGNV WKGVGHHAEY GAEALER	Q9XSC 6	LVDGVKL	P01966	HLGRPDGVPM PDKYSLQPVA ELK	P10175	YHLDNYKK
A0A45 2DIX3	ARQKLDPK INAQK	Q9BE4	FSKLLYT	A0A1K 0UFU3	A0A1K 0UFU3	A0A1K 0UFU3	GMESAGIHET YNSIMK	Q2KJE 5	GMSRVDL	A0A1K 0UFU3	MAAQYKVLG	Q32LG 3	LLKNSPLVSR	P01966	SAADKGNV WKGVGHHAEY GAEALER	Q9XSC 6	LVDGVKL	P01966	HLGRPDGVPM PDKYSLQPVA ELK	P10175	YHLDNYKK
A0A45 2DIX3	ARQKLDPK INAQK	Q9BE4	FSKLLYT	A0A1K 0UFU3	A0A1K 0UFU3	A0A1K 0UFU3	GMESAGIHET YNSIMK	Q2KJE 5	GMSRVDL	A0A1K 0UFU3	MAAQYKVLG	Q32LG 3	LLKNSPLVSR	P01966	SAADKGNV WKGVGHHAEY GAEALER	Q9XSC 6	LVDGVKL	P01966	HLGRPDGVPM PDKYSLQPVA ELK	P10175	YHLDNYKK
A0A45 2DIX3	ARQKLDPK INAQK	Q9BE4	FSKLLYT	A0A1K 0UFU3	A0A1K 0UFU3	A0A1K 0UFU3	GMESAGIHET YNSIMK	Q2KJE 5	GMSRVDL	A0A1K 0UFU3	MAAQYKVLG	Q32LG 3	LLKNSPLVSR	P01966	SAADKGNV WKGVGHHAEY GAEALER	Q9XSC 6	LVDGVKL	P01966	HLGRPDGVPM PDKYSLQPVA ELK	P10175	YHLDNYKK
A0A45 2DIX3	ARQKLDPK INAQK	Q9BE4	FSKLLYT	A0A1K 0UFU3	A0A1K 0UFU3	A0A1K 0UFU3	GMESAGIHET YNSIMK	Q2KJE 5	GMSRVDL	A0A1K 0UFU3	MAAQYKVLG	Q32LG 3	LLKNSPLVSR	P01966	SAADKGNV WKGVGHHAEY GAEALER	Q9XSC 6	LVDGVKL	P01966	HLGRPDGVPM PDKYSLQPVA ELK	P10175	YHLDNYKK
A0A45 2DIX3	ARQKLDPK INAQK	Q9BE4	FSKLLYT	A0A1K 0UFU3	A0A1K 0UFU3	A0A1K 0UFU3	GMESAGIHET YNSIMK	Q2KJE 5	GMSRVDL	A0A1K 0UFU3	MAAQYKVLG	Q32LG 3	LLKNSPLVSR	P01966	SAADKGNV WKGVGHHAEY GAEALER	Q9XSC 6	LVDGVKL	P01966	HLGRPDGVPM PDKYSLQPVA ELK	P10175	YHLDNYKK
A0A45 2DIX3	ARQKLDPK INAQK	Q9BE4	FSKLLYT	A0A1K 0UFU3	A0A1K 0UFU3	A0A1K 0UFU3	GMESAGIHET YNSIMK	Q2KJE 5	GMSRVDL	A0A1K 0UFU3	MAAQYKVLG	Q32LG 3	LLKNSPLVSR	P01966	SAADKGNV WKGVGHHAEY GAEALER	Q9XSC 6	LVDGVKL	P01966	HLGRPDGVPM PDKYSLQPVA ELK	P10175	YHLDNYKK
A0A45 2DIX3	ARQKLDPK INAQK	Q9BE4	FSKLLYT	A0A1K 0UFU3	A0A1K 0UFU3	A0A1K 0UFU3	GMESAGIHET YNSIMK	Q2KJE 5	GMSRVDL	A0A1K 0UFU3	MAAQYKVLG	Q32LG 3	LLKNSPLVSR	P01966	SAADKGNV WKGVGHHAEY GAEALER	Q9XSC 6	LVDGVKL	P01966	HLGRPDGVPM PDKYSLQPVA ELK	P10175	YHLDNYKK
A0A45 2DIX3	ARQKLDPK INAQK	Q9BE4	FSKLLYT	A0A1K 0UFU3	A0A1K 0UFU3	A0A1K 0UFU3	GMESAGIHET YNSIMK	Q2KJE 5	GMSRVDL	A0A1K 0UFU3	MAAQYKVLG	Q32LG 3	LLKNSPLVSR	P01966	SAADKGNV WKGVGHHAEY GAEALER	Q9XSC 6	LVDGVKL	P01966	HLGRPDGVPM PDKYSLQPVA ELK	P10175	YHLDNYKK
A0A45 2DIX3	ARQKLDPK INAQK	Q9BE4	FSKLLYT	A0A1K 0UFU3	A0A1K 0UFU3	A0A1K 0UFU3	GMESAGIHET YNSIMK	Q2KJE 5	GMSRVDL	A0A1K 0UFU3	MAAQYKVLG	Q32LG 3	LLKNSPLVSR	P01966	SAADKGNV WKGVGHHAEY GAEALER	Q9XSC 6	LVDGVKL	P01966	HLGRPDGVPM PDKYSLQPVA ELK	P10175	YHLDNYKK
A0A45 2DIX3	ARQKLDPK INAQK	Q9BE4	FSKLLYT	A0A1K 0UFU3	A0A1K 0UFU3	A0A1K 0UFU3	GMESAGIHET YNSIMK	Q2KJE 5	GMSRVDL	A0A1K 0UFU3	MAAQYKVLG	Q32LG 3	LLKNSPLVSR	P01966	SAADKGNV WKGVGHHAEY GAEALER	Q9XSC 6	LVDGVKL	P01966	HLGRPDGVPM PDKYSLQPVA ELK	P10175	YHLDNYKK
A0A45 2DIX3	ARQKLDPK INAQK	Q9BE4	FSKLLYT	A0A1K 0UFU3	A0A1K 0UFU3	A0A1K 0UFU3	GMESAGIHET YNSIMK	Q2KJE 5	GMSRVDL	A0A1K 0UFU3	MAAQYKVLG	Q32LG 3	LLKNSPLVSR	P01966	SAADKGNV WKGVGHHAEY GAEALER	Q9XSC 6	LVDGVKL	P01966	HLGRPDGVPM PDKYSLQPVA ELK	P10175	YHLDNYKK
A0A45 2DIX3	ARQKLDPK INAQK	Q9BE4	FSKLLYT	A0A1K 0UFU3	A0A1K 0UFU3	A0A1K 0UFU3	GMESAGIHET YNSIMK	Q2KJE 5	GMSRVDL	A0A1K 0UFU3	MAAQYKVLG	Q32LG 3	LLKNSPLVSR	P01966	SAADKGNV WKGVGHHAEY GAEALER	Q9XSC 6	LVDGVKL	P01966	HLGRPDGVPM PDKYSLQPVA ELK	P10175	YHLDNYKK
A0A45 2DIX3	ARQKLDPK INAQK	Q9BE4	FSKLLYT	A0A1K 0UFU3	A0A1K 0UFU3	A0A1K 0UFU3	GMESAGIHET YNSIMK	Q2KJE 5	GMSRVDL	A0A1K 0UFU3	MAAQYKVLG	Q32LG 3	LLKNSPLVSR	P01966	SAADKGNV WKGVGHHAEY GAEALER	Q9XSC 6	LVDGVKL	P01966	HLGRPDGVPM PDKYSLQPVA ELK	P10175	YHLDNYKK
A0A45 2DIX3	ARQKLDPK INAQK	Q9BE4	FSKLLYT	A0A1K 0UFU3	A0A1K 0UFU3	A0A1K 0UFU3	GMESAGIHET YNSIMK	Q2KJE 5	GMSRVDL	A0A1K 0UFU3	MAAQYKVLG	Q32LG 3	LLKNSPLVSR	P01966	SAADKGNV WKGVGHHAEY GAEALER	Q9XSC 6	LVDGVKL	P01966	HLGRPDGVPM PDKYSLQPVA ELK	P10175	YHLDNYKK
A0A45 2DIX3	ARQKLDPK INAQK	Q9BE4	FSKLLYT	A0A1K 0UFU3	A0A1K 0UFU3	A0A1K 0UFU3	GMESAGIHET YNSIMK	Q2KJE 5	GMSRVDL	A0A1K 0UFU3	MAAQYKVLG	Q32LG 3	LLKNSPLVSR	P01966	SAADKGNV WKGVGHHAEY GAEALER	Q9XSC 6	LVDGVKL	P01966	HLGRPDGVPM PDKYSLQPVA ELK	P10175	YHLDNYKK
A0A45 2DIX3	ARQKLDPK INAQK	Q9BE4	FSKLLYT	A0A1K 0UFU3	A0A1K 0UFU3	A0A1K 0UFU3	GMESAGIHET YNSIMK	Q2KJE 5	GMSRVDL	A0A1K 0UFU3	MAAQYKVLG	Q32LG 3	LLKNSPLVSR	P01966	SAADKGNV WKGVGHHAEY GAEALER	Q9XSC 6	LVDGVKL	P01966	HLGRPDGVPM PDKYSLQPVA ELK	P10175	YHLDNYKK
A0A45 2DIX3	ARQKLDPK INAQK	Q9BE4	FSKLLYT	A0A1K 0UFU3	A0A1K 0UFU3	A0A1K 0UFU3	GMESAGIHET YNSIMK	Q2KJE 5	GMSRVDL	A0A1K 0UFU3	MAAQYKVLG	Q32LG 3	LLKNSPLVSR	P01966	SAADKGNV WKGVGHHAEY GAEALER	Q9XSC 6	LVDGVKL	P01966	HLGRPDGVPM PDKYSLQPVA ELK	P10175	YHLDNYKK
A0A45 2DIX3	ARQKLDPK INAQK	Q9BE4	FSKLLYT	A0A1K 0UFU3	A0A1K 0UFU3	A0A1K 0UFU3	GMESAGIHET YNSIMK	Q2KJE 5	GMSRVDL	A0A1K 0UFU3	MAAQYKVLG	Q32LG 3	LLKNSPLVSR	P01966	SAADKGNV WKGVGHHAEY GAEALER	Q9XSC 6	LVDGVKL	P01966	HLGRPDGVPM PDKYSLQPVA ELK	P10175	YHLDNYKK
A0A45 2DIX3	ARQKLDPK INAQK	Q9BE4	FSKLLYT	A0A1K 0UFU3	A0A1K 0UFU3	A0A1K 0UFU3	GMESAGIHET YNSIMK	Q2KJE 5	GMSRVDL	A0A1K 0UFU3	MAAQYKVLG	Q32LG 3	LLKNSPLVSR	P01966	SAADKGNV WKGVGHHAEY GAEALER	Q9XSC 6	LVDGVKL	P01966	HLGRPDGVPM PDKYSLQPVA ELK	P10175	YHLDNYKK
A0A45 2DIX3	ARQKLDPK INAQK	Q9BE4	FSKLLYT	A0A1K 0UFU3	A0A1K 0UFU3	A0A1K 0UFU3	GMESAGIHET YNSIMK	Q2KJE 5	GMSRVDL	A0A1K 0UFU3	MAAQYKVLG	Q32LG 3	LLKNSPLVSR	P01966	SAADKGN						

Q3T0P 6	EGKVLPGVDA	G3X7N 4	VGPEVEKACADP AAGSVI	P02192	HAKHPSDFG	A0A1K OFUF3 D	AIHHVLHAKHPS SDFGADAQAAMS ALE	A0A1K OFUD3	AADKGKVAAW GAKVAAALT	P10096	HEKYNNTLK	Q9XSC 6	VDNPGRPFIM	Q3ZC09 AGNKL	LPVPAFNVINGSSH A0A3Q 1MC60	TKKYQEDFEHMK	Q9BE40	KSEKERIEAQN KPF
G3X7N 4	EGKVLPGVDA	A0A3Q 1N2Q9	YEKRGIVRKVN GSVDN	P02192	ISDAIIHVLHAKH PSDFGADAQ	A0A1K OFUF3	SDAIHHVLHAKH ALE	A0A1K OFUD3	HGAKVAAALT	P10096	FGFRIGR	Q9XSC 6	VAGDEESEYTVFK DL	Q3ZC09 RAAVPVGASTGIYE	A0A3Q 1MC60	DMLGIVLAKKC	Q9BE40	AVFGEAAPYL RKSEK
A0A3Q 1MT60 DG	VVNTNVPRASVP P00570	YEKRGIVRKVN GSVDN	A0A1K OFUF3	HAKHPSDFGADAQ	A0A1K OFUF3	DAIIHVLHAK	A0A1K ALTK	TTMEKAGAHLKG GAKRVIISAPS	P10096	Q9XSC 6	GVDPNGHPFI	Q3ZC09 VLAKEHINKTLGP A	ELRDGDKSRYLGK A0A3Q 1MC60	DTPEMQRVRENQK NFS	Q9BE40	VFGEAAPYL R		
A0A0F 7RPXO DG	VVNTNVPRASVP P02192	AIHHVLHAKHPS FGADAQAAM	A0A1K OFUF3	ISDAIIHVLHAKH PSDFGADAQAAMS AWGKVGGHAAE	A0A1K OFUD3	SDAIHHVLHAKH PSDFGADAQAAMS AWGKVGGHAAE	A0A1K OFUF3	ASHLPSDFTPAV HASLDKFLANVS T	P10096	Q9XSC 6	VIQTGVNDPGHP FI	Q3ZC09 VLAKEHINKTLGP A	ELRDGDKSRYLGK A0A3Q 1MC60	DTPEMQRVRENQK NFS	Q9BE40	LFSGPASGEAE GGPKGGKKK GSSFQ		
P80177 DG	VVNTNVPRASVP P02192	AIHHVLHAKHPS FGADAQAAM	A0A1K OFUF3	ISDAIIHVLHAKH PSDFGADAQAAMS AWGKVGGHAAE	A0A1K OFUD3	VLSAADKGNVKA AWGKVGGHAAE	A0A1K AWGKVGGHAAE	VLSAADKGNVKA AWGKVGGHAAE	P10096	Q9XSC 6	TGEFKGKY GPA	Q3ZC09 VLAKEHINKTLGP A	ELRDGDKSRYLGK A0A3Q 1MC60	DRLYKENYEKTKA EK	Q9BE40	FGEAAPYL RKS		
P02192	HAKHPSDFGADA QAAMSKA	P01966	VLSAADKGNVKA AWGKVGGHAAE	P02192	SDAIHHVLHAKH PSDFGADAQAAMS AWGKVGGHAAE	A0A1K OFUF3	HAKHPSDFGAD	P10096	Q9XSC 6	FDAGAGIALNDH VK	Q3ZC09 VLAKEHINKTLGP A	ELRDGDKSRYLGK A0A3Q 1MC60	KAGAAEKGVPYL YKHDEWEKTAKK	Q9BE40	FGEAAPYL RKS			
A0A1K OFUF3 QAAMSKA	HAKHPSDFGADA QAAMSKA	P02192	AIHHVLHAKHPS AWGKVGGHAAE	A0A1K OFUF3	VLSAADKGNVKA AWGKVGGHAAE	A0A1K OFUF3	EADVAUGHGQE	P10096	Q9XSC 6	ISWYDNEFGYSN SLQPQVA	Q3ZC09 VLAKEHINKTLGP A	ELRDGDKSRYLGK A0A3Q 1MC60	STGYKHARTTELPO QR	Q9BE40	GEAAPYL RKS			
P02192	VLAWGKVEADV AHGQEV	P10096	QERDPANIKW G	P02192	ISDAIIHVLHAKH PSDFGADAQ	A0A1K OFUF3	VLAWGKVEADV AHGQEVH	P10096	Q9XSC 6	XVVKQASEGPLK LISNMLDK	Q3ZC09 VLAKEHINKTLGP A	Q1IVGDDLTVTPNK RIAAQAVEKKA	A0A3Q 1MC60	HVRVKDEVSDLK Y	Q9BE40	MTHLHEPA		
A0A1K OFUF3 AHGQEV	VLAWGKVEADV AHGQEV	P10096	QERDPANIKW G	P02192	DAIIHVLHAK	A0A1K OFUF3	EFISDAIIH	P10096	Q9XSC 6	ERDPANIKWGD GAEY	Q3ZC09 VLAKEHINKTLGP A	Q1IVGDDLTVTPNK RIAAQAVEKKA	A0A3Q 1MC60	PVGASSFR	Q9BE40	GEAAPYL RKS		
Q3T0P 6	KVLPGVDA	A6QLL 8	LTADDRVNP CIGG	P02192	ISDAIIH	A0A1K OFUF3	GKVEADVGAGH Q	P10096	Q9XSC 6	IIPASTGAAKAV KVIPELNGKLT	Q3ZC09 VLAKEHINKTLGP A	PELILPVPAFN GSHAGN	A0A3Q 1MC60	YQKKNYEK YKHDWEKTAKK	Q9BE40	LFSGPASGEAE GGPKGGKKK GSSF		
G3X7N 4	KVLPGVDA	P02192	ISDAIIHVLHAKH PSDFG	P02192	NAWGKVEADVG A	A0A1K OFUF3	NAWGKVEADVG M	P10096	Q9XSC 6	MEKAGAHLKG L	Q3ZC09 VLAKEHINKTLGP A	GNEPILLPVPA FDKPVSP	A0A3Q 1MC60	KERIEAQNKPF DAK	Q9BE40	KERIEAQNKPF DAK		
P10096	MVHMASKE	P02192	AIHHVLHAKHPS FG	P02192	HAKHPSDFGAD	A0A1K OFUF3	HAKHPSD	P10096	Q9XSC 6	KVVHQASEGPLK ACADPAAGS	Q3ZC09 VLAKEHINKTLGP A	NELPILPVPA GSHAGN	A0A3Q 1MC60	TARMNSNN	Q9BE40	FGEAAPYL R		
A6QLL 8	DRVNP CIGG	P02192	ISDAIIHVLHAKH PSDFG	P02192	EADVAUGHGQE	A0A1K OFUF3	AIHHVLHAKHPS D	P10096	Q9XSC 6	DAGAGIALNDH K	Q3ZC09 VLAKEHINKTLGP A	NELPILPVPA GSHAGN	A0A3Q 1MC60	DTNYKKKF DAK	Q9BE40	KERIEAQNKPF DAK		
A6QLL 8	KIGEHTP SSLA ENA	P02192	ISDAIIHVLHAKHPS FG	P02192	NAWGKVEADVG HG	A0A1K OFUF3	NAWGKVEADVG HG	P10096	Q9XSC 6	RVPTPN TCRLEKPA	Q3ZC09 VLAKEHINKTLGP A	GDKAVFAGR KAK	A0A3Q 1MC60	GEAAPYL R	Q9BE40	KERIEAQNKPF DAK		
P02192	AIHHVLHAKHPS Q3T0P 6	P02192	MSHLGRPDG PDKYSLQP VAVEL	P02192	EFISDAIIH	A0A1K OFUF3	MSHLGRPDG PDKYSLQP VAVEL	P10096	Q9XSC 6	FQYDSTH TVKAENGKLV GKA	Q3ZC09 VLAKEHINKTLGP A	VVDGVKLM	Q3ZC09 VLAKEHINKTLGP A	IEEALGDKA KFRNPKAK	A0A3Q 1MC60	QVQYKKDY SPV	Q9BE40	EAAPYL R
A0A1K OFUF3 FGADA	AIHHVLHAKHPS G3X7N 4	P02192	MSHLGRPDG PDKYSLQP VAVEL	P02192	GKVEADVGHGQ	A0A1K OFUF3	WKGVEAD	P10096	Q9XSC 6	AKVIHDH FIVEG	Q3ZC09 VLAKEHINKTLGP A	QVVTDE PDKH	A0A3Q 1MC60	SDLRYKET FQKTKG	Q9BE40	ARVEYQKM RR		
P02070	QADRFQKV NALAHRYH	P02192	AIHHVLHAKHPS FGADAQA	P02192	HLAES HAKH	A0A1K OFUF3	AIHHVLHAKHPS VK	P10096	Q9XSC 6	GVNHEK YSLQP VAKELKSL GKD	Q3ZC09 VLAKEHINKTLGP A	FDKPVSP LL	A0A3Q 1MC60	RSSIPDR VTD	PEHFHHRA SDVVKYKQD	Q9BE40	ICRKGFPSR	
D4QBQ D4QBQ 3	QADRFQKV NALAHRYH	P02192	ISDAIIHVLHAKH PSDFGADAQAAMS KA	P02192	HAKHPSD	A0A1K OFUF3	VAGHQEV	P10096	Q9XSC 6	HEKYNNT LKV	Q3ZC09 VLAKEHINKTLGP A	YVND TDKHK	A0A3Q 1MC60	SIVKYKE LARQNKLNY	Q9BE40	EAAPYL R		
F1N2F 2	D4QBQ D4QBQ 3	P02192	ISDAIIHVLHAKH PSDFGADAQAAMS LGEETV R	P02192	AIHHVLHAKHPS GADAQA	A0A1K OFUF3	AIHHVLHAKH PSD	P10096	Q9XSC 6	LEPKAKY VKQASEGPLK	Q3ZC09 VLAKEHINKTLGP A	TGEFKG YYP	A0A3Q 1MC60	YDLKNSKG GILLAKK	Q9BE40	GPASGEAE GGPKGGKKGS SF		
P02192	GKVEADVG HG	P02192	NAWGKVEADVG HG	P02192	NAWGKVEADVG HR	A0A1K OFUF3	NAWGKVEAD AQAAMSK	P10096	Q9XSC 6	DNEFGY PDKYSLQP VAVEL	Q3ZC09 VLAKEHINKTLGP A	YTFVKDL	A0A3Q 1MC60	DAIPITA AKQNAHTMN	Q9BE40	NKLMTNL		
P02192	GKVEADVG HG	P02192	NAWGKVEADVG HG	P02192	NAWGKVEADVG HR	A0A1K OFUF3	NAWGKVEAD AQAAMSK	P10096	Q9XSC 6	YDSTH GKNGT	Q3ZC09 VLAKEHINKTLGP A	SHLGRPDG PTDKH	A0A3Q 1MC60	RSIPDR VTD	PEHFHHRA SDVVKYKQ	Q9BE40	SEKERIEAQNK PFDAK	
A0A1K OFUF3 E	GKVEADVG HG	P02192	NAWGKVEADVG HG	P02192	WKGVEAD	A0A1K OFUF3	HAKHPSDFGAD	P10096	Q9XSC 6	FQYDSTH TVKAENGKLV GKAIT	Q3ZC09 VLAKEHINKTLGP A	LEKGVL PVD	A0A3Q 1MC60	LAKQNQIN RAKRNQEN	Q9BE40	KERIEAQNKPF D		
A6QLL 8	NAINKCPL LKPW	P10096	QERDPANIKW G	P02192	AIHHVLHAKHPS A	A0A1K OFUF3	NAWGKVEADVG HG	P10096	Q9XSC 6	DSTH GKNGT	Q3ZC09 VLAKEHINKTLGP A	MSHLGRPDG PTDKH	A0A3Q 1MC60	RSIPDR VTD	PEHFHHRA SDVVKYKQ	Q9BE40	SEKERIEAQNK PFDAK	
P02192	NAWGKVE	P02192	AAQYKV LG	P02192	VAGHQEV	A0A1K OFUF3	HLAES	P10096	Q9XSC 6	LEGKVL PVD	Q3ZC09 VLAKEHINKTLGP A	MSHLGRPDG PTDKH	A0A3Q 1MC60	SIVKYKE YQYKKNYEKS	Q9BE40	AAAPYL R		
A0A1K OFUF3	NAWGKVE	A0A1K OFUF3	AAQYKV LG	P02192	SDAIHHVLHAKH PSDFGADAQ	A0A1K OFUF3	NAWGKVEAD	P10096	Q9XSC 6	MSHLGRPDG PTDKH	Q3ZC09 VLAKEHINKTLGP A	DPII ENLK	A0A3Q 1MC60	YKAKGEDV Q	Q9BE40	AVFGEAAPYL RKSEKERIEAQ NPKFD		
P01966	ASHLPSDFT HASL DK	P02192	NAWGKVEADVG HR	P02192	NAWGKVEADVG EAH	A0A1K OFUF3	SDAIHHVLHAKH PSDFGADAQ	P10096	Q9XSC 6	YDSTH GKNGT	Q3ZC09 VLAKEHINKTLGP A	MSHLGRPDG PTDKH	A0A3Q 1MC60	SRVNQIT Q	Q9BE40	APYL RSEK		
A0A1K OFUF3	ASHLPSDFT HASL DK	P02192	NAWGKVEADVG HR	P02192	QAAAMSK	A0A1K OFUF3	SDAIHHVLHAK	P10096	Q9XSC 6	YDNEFGY KSL	Q3ZC09 VLAKEHINKTLGP A	MSHLGRPDG PTDKH	A0A3Q 1MC60	AKNNAI TIPDN	Q9BE40	APYL RSEK		
P02192	ISDAIIHVLHAKH PSD	P68138	TKQEYDEAGPS IVHR	P02192	HAKHPSDFGADAQ	A0A1K AAM	ISDAIIHVLHAK PSDFG	P10096	Q9XSC 6	MSHLGRPDG PTDKH	Q3ZC09 VLAKEHINKTLGP A	DPII LLGKD	A0A3Q 1MC60	LPPDA VQAIK	A0A3Q 1MC60	SDSHYKAD A	ADPKESF V	
A0A1K OFUF3	ISDAIIHVLHAKH PSD	P68138	LEGKVL PGVDA	P02192	NAWGKVEADVG HV	A0A1K OFUF3	MAAQYKV	P10096	Q9XSC 6	MSHLGRPDG PTDKH	Q3ZC09 VLAKEHINKTLGP A	FPGN KSL	A0A3Q 1MC60	SENKY Q	Q9BE40	AAAPYL RSEK		
P68138	YDEAGPSIV HRK	G3X7N	LEGKVL PGVDA	P02192	HLAES	A0A1K OFUF3	NAWGKVEADVG P0096	GIALNDH FVK	Q3ZC09 VLAKEHINKTLGP A	MSHLGRPDG PTDKH	Q3ZC09 VLAKEHINKTLGP A	MSHLGRPDG PTDKH	A0A3Q 1MC60	APIPA KASRE	A0A3Q 1MC60	SDREYK PYLRKSEKER	Q9BE40	SDREYK PYLRKSEKER

		4				0UFU3	GHG		6	GNKVKAEPTKIEAFRA	6		1MC60		1MC60				
Q5E9B 5	YDEAGPSIVHRK	P02192	KVLGFHG	P02192	NAWKGKVEAD	A0A1K 0UFU3	NAWKGKVEADVA GH	P10096	HEKYNNNTLKV	Q3T0PSHGLRPDGPVMP DKYSLQPVA	Q9XSC 6	VVDGVKL	A0A3Q 1MC60	YKEDVSPGTIAIGKT PEMMRVKQTQDH	A0A3Q 1MC60	HIGARNIKDDPKM	Q9BE40	VVGLYQK	
F1MKC 4	YDEAGPSIVHRK	A0A1K 0UFU3	KVLGFHG	P02192	ISDAIIHLHAKHP AL	A0A1K 0UFU3	KAIHLHAKHP DFGADAQAAMS	P10096	AVGKVIPELNGKL T	Q3T0FLKDCVGPEVEK ACADPAAGS	Q9XSC 6	GNTNHKHKL	A0A3Q 1MC60	VSDIDYKNYLHQ	A0A3Q 1MC60	PDQSDVIHARRA	Q9BE40	VFGEEAPYLK SEKER	
P02192	ISDAIIHLHAKHP SDFGADA	A6QLL 8	FISNHAY	P02192	ISDAIIHLHAKHP A0A3Q 0UFU3	A0A1K 0UFU3	DVGAGHQQEV LA	P10096	PASTGAAKVG KVIPELN	Q3T0P KDCVGPE	Q9XSC 6	HMAKALTLEIYK A0A3Q 1MC60	PDRPEHFHH	A0A3Q 1MC60	HNTPHDMVNIVAA KKA	Q9BE40	FRENLNKLM		
A0A1K 0UFU3	ISDAIIHLHAKHP SDFGADA	A0A1K 1MOV5	NINGGSHAGNK LA	P02192	FISDAIIHLHAKHP PSDFG	A0A1K 0UFU3	AIIHLHAKHP PSDFG	P10096	RVPTPNVSVD V	Q3T0PGVMPDKYSLQP VA	Q9XSC 6	NPGHPFIM	A0A3Q 1MC60	TNLDYKKKY	P68138	EYDEAGPSIVHRK	Q9BE40	AAPYLRS	
Q9XSC 6	DVITQGVNDNP GHP	Q3ZC0 9	NINGGSHAGNK LA	P02192	MAAQYKV	A0A1K 0UFU3	GLSDGEWQLVL	P10096	VVKQASEGPLKG FLKDCVGPEVEK	Q9XSC 6	MVEMEKK	A0A3Q 1MC60	SYVKHHLAQ	P68138	LVCNDNGSLVKAG	Q9BE40	SGPASGEAEG GPKGGKKKG SSF		
A6QLL 8	KIGEHTPSSLAIM E	Q9XSC 4	NINGGSHAGNK LA	P02192	NAWKGKVEADVA HG	A0A1K 0UFU3	NAWKGKVEADVA GHGQEVLIRLT	P10096	TGAAKAVGVIP K	Q3T0P LLG	HLGRPDGVPM KYSLQPVAVELKS	Q9XSC 6	ASGMARDWPDA RGIWHNDNKS	A0A3Q 1MC60	ARMNSNNISTKK YQEDFEHM	P68138	ESAGIHETTYSIM K	Q9BE40	RKSEKERIEAQ NKPFD
P68138	DEAGPSIVHRK	F1MB0 8	NINGGSHAGNK LA	P02192	NAWKGKVEADVA H	A0A1K 0UFU3	AIIHLHAKP GADAQAAMS	P10096	EPAKYDEIKKVV I	Q3T0P HIGGMA	Q9XSC 6	LPPHCSR	A0A3Q 1MC60	A VHIIAKAKDAY PLPNPKANREKM	P68138	RVAPEEHPTLLTEA VNLKERYA	Q9BE40	MTHLHEPAV L	
Q5E9B 5	DEAGPSIVHRK	A0A3Q 1MXQ0	NINGGSHAGNK LA	P02192	AIIHLHAKHP DSD	A0A1K 0UFU3	NAWKGKVEADVA GADAQAAMS	P10096	RVPTPNVSVDL I	Q3T0P KACADPAAGSVI	Q9XSC 6	DPIIQRDRHGGFK TDKHK TDLNHE	A0A3Q 1MC60	FKMQGHMISLPYTP NLK	P68138	YNELRVAPEEHPT KERIEAQNPKP DAK	Q9BE40	GEAAPYLRS KERIEAQNPKP DAK	
F1MKC 4	DEAGPSIVHRK	A6QR1 9	NINGGSHAGNK LA	P02192	DVAGHQQEV	A0A1K 0UFU3	VLAGWKVEAD VAG	P10096	RDPANIKWDAG I	Q3T0P KSLLGKD	Q9XSC 6	QQLIDHH	A0A3Q 1MC60	RQLKAAGDALSDKI YKENYEK	P68138	TKQEYD	Q9BE40	KSEKERIEAQ NKPFD	
P02192	AIIHLHAKHP FGADAQAA	A0A3Q 1MYI8	NINGGSHAGNK LA	P02192	AIIHLHAKP DSD	A0A1K 0UFU3	NDMAAQYK GHDQE	P10096	PASTGAAKVG KVIPELNKLGT	Q3T0P 6	PTDKHK TDLNHE	A0A3Q 1MC60	AKNMMQIQSDN	P68138	YASGRRTGIVL I	Q9BE40	FGEAAPYLRS KGEAAPYLRS		
A0A1K 0UFU3	AIIHLHAKHP FGADAQAA	P68138	WITKQYEDEAGP SIVHRK	P02192	GLSDGEWQLVL	A0A1K 0UFU3	NAWKGKVEADVA GHGQEVLIR	P10096	IPASTGAAKVG KVIP	Q3T0P 6	DDHFLFDKPVSP GKDAS	A0A3Q 1MC60	QIVKYKEKYEKERG KPM	P68138	RVAPEEHPTLLTEA PLNPKANREKMTQ	Q9BE40	IEAQNPKPDAK		
P02192	HAKHPSDFGADA QAAMSK	P02192	WGKVEADVAGHG QE	P02192	NAWKGKVEADVA HGQEVLIRLT	A0A1K 0UFU3	NAWKGKVEADVA GHGQE	P10096	STGAAKAVGV I	Q3T0P PE	PLKDCVGPEVEKA CADPAAGSVI	Q9XSC 6	FDPIIQRDRHGGFK PTDKHK TDLNHE	A0A3Q 1MC60	PDQSDVIHARQ	P68138	TKQEYDE	Q9BE40	RSTHPHF
A0A1K 0UFU3	HAKHPSDFGADA QAAMSK	A0A1K 3QE	WGKVEADVAGHG QE	P02192	AIIHLHAKP DSD	A0A1K 0UFU3	NAWKGKVEADVA GHA	P10096	IPASTGAAKVG KVIPELNKLGT	Q3T0P 6	KVKAEPKIEFR ASLSK	Q9XSC 6	TLEIYKK	A0A3Q 1MC60	YDLKNSKGKIT	P68138	TKQEYDE	Q9BE40	MTHLHEPAV L
P68138	QEDEAGPSIVHR K	P02192	NAWKGKVEADVA HGQE	P02192	NAWKGKVEADVA HGQE	A0A1K 0UFU3	NAWKGKVEADVA QE	P10096	VHDHFGIVEG I	Q3T0P 6	PMPPDKYSLQP VQXSC	Q9XSC 6	MVEMEKKLEKG QSIDDM	A0A3Q 1MC60	SENKYKSYVKHH	P68138	TKQEYD	Q9BE40	AVFGEAAPYL RKSEKER
A0A3Q 1MOV5	NINGGSHAGNK L	A0A1K 0UFU3	NAWKGKVEADVA HGQE	P02192	VLAGWKVEADVA AG	A0A1K 0UFU3	MEKAGAHLKGGA GE	P10096	MEKAGAHLKGGA KRIIS	Q3T0P 6	HLGRPDGVPM KYSLQPVAVELKS	Q9XSC 6	PFGNTHN	A0A3Q 1MC60	KEYRKDYEEISKGR N	P68138	RPRHQQVMVGMQ KDSYVGDEAQSKRG	Q9BE40	FSGPASGEAEG GPKGGKKKG
Q3ZC0 9	NINGGSHAGNK L	P02192	AIIHLHAKHP FGADAQAAMS	P02192	NDMAAQYK	P01966	ASHLPSDFTPAV AGA	Q09XSC T	QERDPANIKWGD T	Q3T0P AGA	LGRPDGVPM VSLQPVAVELKS	Q9XSC 6	PFGNTHKHKL NKHAAEYPDLS	A0A3Q 1MC60	IHAQQVKN	P68138	TKQEYDE	Q9BE40	GEAAPYLRS KERIEAQNPKP DAK
Q9XSC 4	NINGGSHAGNK L	P02192	NAWKGKVEADVA HGQEVLIRLT	P01966	VLSAADKGNVK A0A1K 0UFU3	NAWKGKVEADVA HGQE	P10096	PASTGAAKVG KVIP	Q3X7N PDKYSLQPVA	MSHSLGRPDGVPM V	VSLAQVAKG LGKD	Q9XSC 6	LKHKPVTDMKE	P68138	RPRHQQVMVGMQ KDS	Q9BE40	EAAPYLRS KERIEAQNPKP DAK		
F1MB0 8	NINGGSHAGNK L	P02192	VLAGWKVEADVA AGHGOE	P02192	NAWKGKVEADVA HGQE	P01966	LASHLPSDFTPA VHASLDK	P10096	STGAAKAVGV I	Q3X7N 4	VGPEVEKACADP AAGSVIL	Q9XSC 6	ARTNALVSNKL	P68138	ASLSTFQQM	Q9BE40	PKESFVK		
A0A3Q 1MXQ0	NINGGSHAGNK L	P02192	VLAGWKVEADVA AGHGOE	P02192	NAWKGKVEADVA HA	A0A1K 0UFU3	VHASLDKFLANV VK	P10096	LASHLPSDFTPA V	Q3X7N 4	LEPKAKYDEIKV SSM	Q9XSC 6	ARTNALVSNKL	P68138	WITKQYEDEAGPSI VHRK	Q9BE40	IQYNVRA		
A6QR1 9	NINGGSHAGNK L	A6QLL 9	RVGVGDLVTDT QPEHSG	P02192	GKVEADVAGHGQE	P01966	VLSAADKGNVK EYGAEL	P10096	ALNDHFV	G3X7N 4	GRPDGVMP SLQPVA	Y0A3Q 1IM0V5	NINGGSHAGNK LAM	P68138	TKQEYD	Q9BE40	FKAGLLG		
A0A3Q 1MYI8	NINGGSHAGNK L	P02192	AAQYKVLGFHG	P02192	NAWKGKVEADVA E	P01966	HLPSDFTPAV SL	P10096	APLAKVIHDH	G3X7N 4	AILGGA LISNMLDK	Q0A3Q 1IM0V5	KEYRKDYEEISKGR NL	P68138	WITKQEY	Q9BE40	VFGEEAPYL KSEK		
Q9BE4 0	YADFKQRYK	A0A1K 0UFU3	AAQYKVLGFHG	P02192	NAWKGKVEADVA AGHQEVL	P01966	ASHLPSDFTPAV VKQA	P10096	LEPKAKYDEIKV V	Q3X7N 4	NDAFGTA NDAFGTA	Q0A3Q 1IM0V5	GNPELLLPV GWGVMSHRS	P68138	DTPQILHAKKS	P68138	MWITKQYEDEAGP SIVHRK	Q9BE40	FGNAKTVRND N
A0A3Q 1LYYQ9	YADFKQRYK	P68138	TKQYEDEAGPSI VHRK	A0A1K 0UFU3	ISDAIIHLHAKHP KA	P01966	PSDFGADAAQAMS VHSRDKFLAP	P10096	KVVKQASEGPLK GILG	Q3X7N 4	GRPDGVPM VSLQPVAVELKS	Q0A3Q 1IM0V5	LAGNPE AFVNNGHSHAG NKL	P68138	DTPQILHAKKS	P68138	WITKQEYDEAGPSI VHRK	Q9BE40	EAAPYLRS KSEK
Q9BE4 4	YADFKQRYK	P02192	YKVLGFHG	P02192	NAWKGKVEADVA HGQE	A0A1K 0UFU3	ISDAIIHLHAKHP KA	P01966	HLPSDFT	P10096	TKCLEPK V	Q3X7N 4	VNDAFGTA NAIL	Q0A3Q 1IM0V5	PDQSDVIHARQA	P68138	SAGIHETTYSIMK	Q9BE40	ERIEAQNPKF D
F1MRC 2	YADFKQRYK	A0A1K 0UFU3	YKVLGFHG	P02192	NAWKGKVEADVA HGQE	P01966	VSLAADKGNVK KVIP	P10096	IPASTGAAKVG I	Q3X7N 4	FLKDCVGPEVEK ACADPAAGSVI	Q0A3Q 1IM0V5	GTENKSFG YR	P68138	AGIHETTYSIMK	Q9BE40	TNLRLSTHPHF VR		
E1BP8 7	YADFKQRYK	P02192	NAWKGKVEADVA HGQE	P01966	HLPSDFT	P10096	YNTNLKIVSN G	P10096	DAFTGA A	G3X7N 4	GTENKSFG D	Q0A3Q 1IM0V5	TKQEYDE	P68138	TKQEYDE	Q9BE40	EAAPYLRS		
A0A3Q 1LZ74	YADFKQRYK	A0A1K 0UFU3	NAWKGKVEADVA HGQE	P01966	PSDFGADAAQAMS VHSRDKFL	P10096	HLPSDFTPAV KAEN	P10096	YDSTHGKFNGT AA	G3X7N 4	GTENKSFG NAIL	Q0A3Q 1IM0V5	GTENKSFG GKPYA	P68138	TKQEYDE	Q9BE40	ARVEYQKMVE RRES		
E1BMH 2	KTFVQKLAGVF GENG	P02192	VLAGWKVEADVA AGHQEVL	P01966	DAIIHLHAKHP OFU	A0A1K 0UFU3	DAIIHLHAKHP VHSRDKFL	P10096	LASHLPSDFTPA V	Q3X7N 4	VNDAFGTA V	Q0A3Q 1IM0V5	GTENKSFG V	P68138	AGIHETTYSIMK	Q9BE40	VVGLYQKSS KT		
P02070	VVVLARNFGKEF TPV	P02192	ISDAIIHLHAKHP SKA	A0A1K 0UFU3	AAQYKVLGFHG	P01966	PSDFGADAAQAMS EL	P10096	FQYDSTHGKFNG G	Q3X7N 4	GRPDGVPM VSLQPVAVELKS	Q0A3Q 1IM0V5	VNDAFGTA V	P68138	PIKAAKASRE	A0A3Q 1IM0H	TVDSASPQVQAVIK	Q9BE40	EAAPYLRS
D4QBB 4	VVVLARNFGKEF TPV	P02192	ISDAIIHLHAKHP SDFGADAAQAM	A0A1K 0UFU3	ISDAIIHLHAKHP VHSRDKFL	P01966	PSDFGADA VH	P10096	LCRPGVPM VSLQPVA L	Q3X7N 4	GRPDGVPM VSLQPVA L	Q0A3Q 1IM0V5	YRNGKYD PDPDPARHISGE L	P68138	PIKAAKASRE	A0A3Q 1IM0H	TVDSASPQVQAVIK	Q9BE40	EAAPYLRS
Q5E94 6	VGKEVADQVKAP LVLKD	P02192	ISDAIIHLHAKHP SDFGADAAQAM	A0A1K 0UFU3	NAWKGKVEADVA HGQ	P01966	HLPSDFTPA V	P10096	AKVIHDHFGIVE A	G3X7N 4	GRPDGVPM VSLQPVA L	Q0A3Q 1IM0V5	AKLNRINYS KE	P68138	AKLNRINYS SDK	A0A3Q 1IM0H	PLPVIPHQKV VAN	Q9BE40	FRENLNK

P02192	RNDMAAQYKV	P02192	FISDAIIHVLHAKPSDFSK	A0A1K0UFU3	AIIHVLHAKPSDFSK	P01966	LSAADKGKGNVKA	P10096	AVGKVIPELN	G3X7N4	KVKAEPKIEAFR	A0A3Q1M0V5H	AGAAEKGVPYR	A0A3Q1MC60	YVELATKERPHHHAGN	A0A3Q1MC60	LPIKDLTVDSASPV	Q9BE40	VADPKESFVK
A0A1K0UFU3	FRNDMAAQYKV	P02192	SDGADAAQAA	0UFU3	SDGADAAQAA	P01966	SAADKGKGNVKA	P10096	TCRLEKPAKY	G3X7N4	MSHLGRPDGVPM	A0A3Q1M0V5H	PELILPVPAFA	A0A3Q1MC60	AIPPIAKAAR	A0A3Q1MC60	DFSGSLPIKD	Q9BE40	ATVQSREGGKV
P02070	FQKVVAGVANAL	P02192	SDGADAAQAMS	0UFU3	AIIHVLHAKPSDFSKA	P01966	ASHLPSDFTPAV	P10096	NDHFVKL	G3X7N4	SHLGRPDGVPM	A0A3Q1M0V5H	NVINGSHAGNK	A0A3Q1MC60	KVNAYNISE	A0A3Q1MC60	SPLPVIPHQK	Q9BE40	YQKMVERRES
D4QBB4	FQKVVAGVANAL	P02192	FGADAAQAMS	0UFU3	AIIHVLHAKPSDFSKA	P01966	ASHLPSDFTPAV	P10096	KWGDAGAEY	G3X7N4	LEGKVLPGVD	A0A3Q1M0V5H	PELILPVPAFN	A0A3Q1MC60	SDREYKKAYETK	A0A3Q1MC60	SPLPVIPHQKVAN	Q9BE40	LFSGPASGEAE
D4QBB3	FQKVVAGVANAL	P02192	PSDFGADA	0UFU3	FISDAIIHVL	P01966	VLSAADK	P10096	RVPTPNVSVDLG	G3X7N4	MSHLGRPDGVPM	A0A3Q1M0V5H	IPVPVA	A0A3Q1MC60	VSDIDYKNYLH	A0A3Q1MC60	FSGLSLPIKD	Q9BE40	GPKGGKKKGSSFQT
A0A3Q1	FQKVVAGVANAL	P02192	NAWGKVEADVAG	0UFU3	NAWGKVEADVAG	P01966	ASHLPSDFTPAV	P10096	IVSN	G3X7N4	MSHLGRPDGVPM	A0A3Q1M0V5H	KVNLKAVEHINK	A0A3Q1MC60	GVVLAKKCQ	A0A3Q1MC60	SQKFAPGKTT	A0A3Q1LYQ9	VADPKESFVK
P02070	VVYPWTQRF	P02192	AIIHVLHAKPSDF	0UFU3	RNDMAAQYK	P01966	TVLTSKYR	P10096	EKAGAHLKGAKG	G3X7N4	MSHLGRPDGVPM	A0A3Q1M0V5H	LPVPFA	A0A3Q1MC60	GVVLAKKCQ	A0A3Q1MC60	QGSGLPIKDLTVDSA	A0A3Q1LYQ9	KSEKERIEAQN
D4QBB4	VVYPWTQRF	P02192	SDGADAAQAA	0UFU3	SDGADAAQAA	P01966	KLLSHSSL	P10096	AGAGIALNDHF	G3X7N4	NDAFGTAHRAHS	A0A3Q1M0V5H	SHAGNKL	A0A3Q1MC60	IDYKNYLHQ	A0A3Q1MC60	QFSGLSLPIKDLTVDSA	A0A3Q1LYQ9	AVFGEAAPYL
D4QBB3	VVYPWTQRF	P02192	FGADAAQAMS	0UFU3	AIIHVLHAKPSDF	P01966	NAWGKVEAD	P10096	GTVAENGKLV	G3X7N4	HLGRPDGVPM	A0A3Q1M0V5H	ELRDGDKSRYLG	A0A3Q1MC60	TIPIDPLPEVKRK	A0A3Q1MC60	SPVYQAVIK	A0A3Q1LYQ9	VFGEAAPYL
G3N1Y3	VVYPWTQRF	P02192	NAWGKVEADVAG	0UFU3	MAAAQYKVLGFHG	P01966	AAADKGKGNVKA	P10096	MVHMASK	G3X7N4	MSHLGRPDGVPM	A0A3Q1M0V5H	KVNLKAVEHINK	A0A3Q1MC60	MKGIGWLPLE	A0A3Q1MC60	QGSGLPIKDLTVDSA	A0A3Q1LYQ9	LFSGPASGEAE
P02081	VVYPWTQRF	P02192	FISDAIIHVL	0UFU3	IHVHLHAKPSDFGADA	P01966	HAGKVAALT	P10096	IPASTGAAKAVG	G3X7N4	MSHLGRPDGVPM	A0A3Q1M0V5H	KVNLKAVEHINK	A0A3Q1MC60	LPDPDIEFAKK	A0A3Q1MC60	GGKATIIHAQ	A0A3Q1LYQ9	FGEAAPYLRSK
Q9XSC6	DVIQTGVDNPGBFI	P02192	GKVEADVAGHG	0UFU3	SDGADAAQAA	P01966	AQVKGHGAKVA	P10096	VNHEKYNNTLK	G3X7N4	MSHLGRPDGVPM	A0A3Q1M0V5H	SHAGNKL	A0A3Q1MC60	LDPPDIEFAKK	A0A3Q1MC60	QGSGLPIKDLTVDSA	A0A3Q1LYQ9	FGEAAPYLRSK
P02070	VVVLARNFGKEF	P02192	RNDMAAQYK	0UFU3	WGKVEADVAGHG	P01966	ASHLPSDFTPAV	P10096	MEKAGAHLKGGA	G3X7N4	MSHLGRPDGVPM	A0A3Q1M0V5H	SHLGRPDGVPM	A0A3Q1MC60	QASTGYKHARTTE	A0A3Q1MC60	QFSGLSLPIKDLTVDSA	A0A3Q1LYQ9	GEAAPYLRSK
D4QBB4	VVVLARNFGKEF	P02192	SDGADAAQAA	0UFU3	IHVHLHAKPSDFG	P01966	ASLDKFLANVSP	P10096	KRVIISAPSADAM	G3X7N4	MSHLGRPDGVPM	A0A3Q1M0V5H	KVNLKAVEHINK	A0A3Q1MC60	QASTGYKHARTTE	A0A3Q1MC60	QFSGLSLPIKDLTVDSA	A0A3Q1LYQ9	GEAAPYLRSK
A0A452DJ16	APPPPAAEVPEVH	P02192	NAWGKVEAD	0UFU3	IHVHLHAKPSDF	P01966	VLSAADKGKGNV	P10096	EKYNNNTLKVSN	G3X7N4	MSHLGRPDGVPM	A0A3Q1M0V5H	ELRDGDKSRYLG	A0A3Q1MC60	TIPIDPLPEVKRK	A0A3Q1MC60	SPVYQAVIK	A0A3Q1LYQ9	MTHLHEPA
A0A452DJ16	APPPPAAEVPEVH	P02192	NAWGKVEAD	0UFU3	IHVHLHAKPSDF	P01966	ASLDKFLANVSP	P10096	ACADPAAGS	G3X7N4	MSHLGRPDGVPM	A0A3Q1M0V5H	KVNLKAVEHINK	A0A3Q1MC60	TIPIDPLPEVKRK	A0A3Q1MC60	SPVYQAVIK	A0A3Q1LYQ9	MTHLHEPA
A0A452DJ16	APPPPAAEVPEVH	P02192	NAWGKVEAD	0UFU3	IHVHLHAKPSDF	P01966	AAWKG	P10096	ASHLPSDFTPAV	G3X7N4	MSHLGRPDGVPM	A0A3Q1M0V5H	KVNLKAVEHINK	A0A3Q1MC60	TIPIDPLPEVKRK	A0A3Q1MC60	SPVYQAVIK	A0A3Q1LYQ9	GEAAPYLRSK
A0A452DJ16	APPPPAAEVPEVH	P02192	MAAQYKVLGFHG	0UFU3	AIIHVLHAKPSDF	P01966	AAWKG	P10096	STHGKFNGTVKA	G3X7N4	MSHLGRPDGVPM	A0A3Q1M0V5H	PELILPVPAFN	A0A3Q1MC60	STGYKHARTTE	A0A3Q1MC60	QFSGLSLPIKDLTVDSA	A0A3Q1LYQ9	LFSGPASGEAE
A0A452ZPQ2	APPPPAAEVPEVH	P02192	IHVHLHAKPSDF	0UFU3	AIIHVLHAKPSDF	P01966	VHASLDK	P10096	RVIISAPSADAM	G3X7N4	MSHLGRPDGVPM	A0A3Q1M0V5H	PELILPVPAFN	A0A3Q1MC60	STGYKHARTTE	A0A3Q1MC60	QFSGLSLPIKDLTVDSA	A0A3Q1LYQ9	GEAAPYLRSK
A0A452ZPQ2	APPPPAAEVPEVH	P02192	SDGADAAQAA	0UFU3	IHVHLHAKPSDF	P01966	VHASLDK	P10096	FLKDCVGPEVEK	G3X7N4	MSHLGRPDGVPM	A0A3Q1M0V5H	ENKYYKSYVKKH	A0A3Q1MC60	ENKYYKSYVKKH	A0A3Q1MC60	SPVYQAVIKQNQ	A0A3Q1LYQ9	KERIEAQNKPF
A0A452ZPQ2	APPPPAAEVPEVH	P02192	SDGADAAQAA	0UFU3	IHVHLHAKPSDF	P01966	VHASLDK	P10096	FQYDSTHGKFNG	G3X7N4	MSHLGRPDGVPM	A0A3Q1M0V5H	ENKYYKSYVKKH	A0A3Q1MC60	SPVYQAVIKQNQ	A0A3Q1MC60	SPVYQAVIKQNQ	A0A3Q1LYQ9	DAK
A0A452ZPQ2	APPPPAAEVPEVH	P02192	SDGADAAQAA	0UFU3	IHVHLHAKPSDF	P01966	VHASLDK	P10096	TVKAEN	G3X7N4	MSHLGRPDGVPM	A0A3Q1M0V5H	ENKYYKSYVKKH	A0A3Q1MC60	SPVYQAVIKQNQ	A0A3Q1MC60	SPVYQAVIKQNQ	A0A3Q1LYQ9	GEAAPYLRSK
Q8MKI4	APPPPAAEVPEVH	P02192	WGKVEADVAGHG	0UFU3	IHVHLHAKPSDF	P01966	VHASLDK	P10096	RDPANIKWG	G3X7N4	MSHLGRPDGVPM	A0A3Q1M0V5H	ENKYYKSYVKKH	A0A3Q1MC60	SPVYQAVIKQNQ	A0A3Q1MC60	SPVYQAVIKQNQ	A0A3Q1LYQ9	KERIEAQNKPF
Q8MKI3	APPPPAAEVPEVH	P02192	IHVHLHAKPSDF	0UFU3	NAWGKVEAD	P01966	VHASLDK	P10096	IGGGMA	G3X7N4	MSHLGRPDGVPM	A0A3Q1M0V5H	ENKYYKSYVKKH	A0A3Q1MC60	SPVYQAVIKQNQ	A0A3Q1MC60	SPVYQAVIKQNQ	A0A3Q1LYQ9	KERIEAQNKPF
Q8MKI3	APPPPAAEVPEVH	P02192	IHVHLHAKPSDF	0UFU3	NAWGKVEAD	P01966	VHASLDK	P10096	LENLRFVHEEGKGK	G3X7N4	MSHLGRPDGVPM	A0A3Q1M0V5H	ENKYYKSYVKKH	A0A3Q1MC60	SPVYQAVIKQNQ	A0A3Q1MC60	SPVYQAVIKQNQ	A0A3Q1LYQ9	KERIEAQNKPF
Q8MKI2	APPPPAAEVPEVH	P02192	IHVHLHAKPSDF	0UFU3	NAWGKVEAD	P01966	VHASLDK	P10096	Q3ZC0	G3X7N4	MSHLGRPDGVPM	A0A3Q1M0V5H	ENKYYKSYVKKH	A0A3Q1MC60	SPVYQAVIKQNQ	A0A3Q1MC60	SPVYQAVIKQNQ	A0A3Q1LYQ9	KERIEAQNKPF
Q8MKI1	APPPPAAEVPEVH	P02192	AIIHVLHAKPSDF	0UFU3	NAWGKVEAD	P01966	VHASLDK	P10096	Q3ZC0	G3X7N4	MSHLGRPDGVPM	A0A3Q1M0V5H	ENKYYKSYVKKH	A0A3Q1MC60	SPVYQAVIKQNQ	A0A3Q1MC60	SPVYQAVIKQNQ	A0A3Q1LYQ9	KERIEAQNKPF
Q8MKI9	APPPPAAEVPEVH	P02192	AIIHVLHAKPSDF	0UFU3	ADVAGHGQE	P01966	VHASLDK	P10096	LENLRFVHEEGKGK	G3X7N4	MSHLGRPDGVPM	A0A3Q1M0V5H	ENKYYKSYVKKH	A0A3Q1MC60	SPVYQAVIKQNQ	A0A3Q1MC60	SPVYQAVIKQNQ	A0A3Q1LYQ9	GEAAPYLRSK
Q8MKI0	APPPPAAEVPEVH	P02192	NAWGKVE	0UFU3	VHASLDK	P10096	VHASLDK	P10096	VNGFGRIG	G3X7N4	MSHLGRPDGVPM	A0A3Q1M0V5H	ENKYYKSYVKKH	A0A3Q1MC60	SPVYQAVIKQNQ	A0A3Q1MC60	SPVYQAVIKQNQ	A0A3Q1LYQ9	EAAAPYLRSK
P02192	AIIHVLHAKPSDF	P02192	YKVLGFH	0UFU3	VHASLDK	P10096	VHASLDK	P10096	IPASTGAAKAVG	G3X7N4	MSHLGRPDGVPM	A0A3Q1M0V5H	ENKYYKSYVKKH	A0A3Q1MC60	SPVYQAVIKQNQ	A0A3Q1MC60	SPVYQAVIKQNQ	A0A3Q1LYQ9	EAAAPYLRSK
A0A1K0UFU3	AIIHVLHAKPSDF	P02192	NAWGKVEADVA	0UFU3	ADVAGHGQE	P01966	VHASLDK	P10096	IPASTGAAKAVG	G3X7N4	MSHLGRPDGVPM	A0A3Q1M0V5H	ENKYYKSYVKKH	A0A3Q1MC60	SPVYQAVIKQNQ	A0A3Q1MC60	SPVYQAVIKQNQ	A0A3Q1LYQ9	EAAAPYLRSK
P01966	HLPSDFTPAVHA	P02192	NAWGKVEADVAG	0UFU3	NAWGKVEADVAG	P01966	VHASLDK	P10096	VNGFGRIG	G3X7N4	MSHLGRPDGVPM	A0A3Q1M0V5H	ENKYYKSYVKKH	A0A3Q1MC60	SPVYQAVIKQNQ	A0A3Q1MC60	SPVYQAVIKQNQ	A0A3Q1LYQ9	EAAAPYLRSK
A0A1K0UFU3	HLPSDFTPAVHA	P02192	NAWGKVEADVAG	0UFU3	NAWGKVEADVAG	P01966	VHASLDK	P10096	IPASTGAAKAVG	G3X7N4	MSHLGRPDGVPM	A0A3Q1M0V5H	ENKYYKSYVKKH	A0A3Q1MC60	SPVYQAVIKQNQ	A0A3Q1MC60	SPVYQAVIKQNQ	A0A3Q1LYQ9	EAAAPYLRSK
A0A1K0UFU3	HLPSDFTPAVHA	P02192	NAWGKVEADVAG	0UFU3	NAWGKVEADVAG	P01966	VHASLDK	P10096	IPASTGAAKAVG	G3X7N4	MSHLGRPDGVPM	A0A3Q1M0V5H	ENKYYKSYVKKH	A0A3Q1MC60	SPVYQAVIKQNQ	A0A3Q1MC60	SPVYQAVIKQNQ	A0A3Q1LYQ9	EAAAPYLRSK
A0A1K0UFU3	HLPSDFTPAVHA	P02192	NAWGKVEADVAG	0UFU3	NAWGKVEADVAG	P01966	VHASLDK	P10096	IPASTGAAKAVG	G3X7N4	MSHLGRPDGVPM	A0A3Q1M0V5H	ENKYYKSYVKKH	A0A3Q1MC60	SPVYQAVIKQNQ	A0A3Q1MC60	SPVYQAVIKQNQ	A0A3Q1LYQ9	EAAAPYLRSK
A0A1K0UFU3	HLPSDFTPAVHA	P02192	NAWGKVEADVAG	0UFU3	NAWGKVEADVAG	P01966	VHASLDK	P10096	IPASTGAAKAVG	G3X7N4	MSHLGRPDGVPM	A0A3Q1M0V5H	ENKYYKSYVKKH	A0A3Q1MC60	SPVYQAVIKQNQ	A0A3Q1MC60	SPVYQAVIKQNQ	A0A3Q1LYQ9	EAAAPYLRSK
A0A1K0UFU3	HLPSDFTPAVHA	P02192	NAWGKVEADVAG	0UFU3	NAWGKVEADVAG	P01966	VHASLDK	P10096	IPASTGAAKAVG	G3X7N4	MSHLGRPDGVPM	A0A3Q1M0V5H	ENKYYKSYVKKH	A0A3Q1MC60	SPVYQAVIKQNQ	A0A3Q1MC60	SPVYQAVIKQNQ	A0A3Q1LYQ9	EAAAPYLRSK
A0A1K0UFU3	HLPSDFTPAVHA	P02192	NAWGKVEADVAG	0UFU3	NAWGKVEADVAG	P01966	VHASLDK	P10096	IPASTGAAKAVG	G3X7N4	MSHLGRPDGVPM	A0A3Q1M0V5H	ENKYYKSYVKKH	A0A3Q1MC60	SPVYQAVIKQNQ	A0A3Q1MC60	SPVYQAVIKQNQ	A0A3Q1LYQ9	EAAAPYLRSK
A0A1K0UFU3	HLPSDFTPAVHA	P02192	NAWGKVEADVAG	0UFU3	NAWGKVEADVAG	P01966	VHASLDK	P10096	IPASTGAAKAVG	G3X7N4	MSHLGRPDGVPM	A0A3Q1M0V5H	ENKYYKSYVKKH	A0A3Q1MC60	SPVYQAVIKQNQ	A0A3Q1MC60	SPVYQAVIKQNQ	A0A3Q1LYQ9	EAAAPYLRSK
A0A1K0UFU3	HLPSDFTPAVHA	P02192	NAWGKVEADVAG	0UFU3	NAWGKVEADVAG	P01966	VHASLDK	P10096	IPASTGAAKAVG	G3X7N4	MSHLGRPDGVPM	A0A3Q1M0V5H	ENKYYKSYVKKH	A0A3Q1MC60	SPVYQAVIKQNQ	A0A3Q1MC60	SPVYQAVIKQNQ	A0A3Q1LYQ9	EAAAPYLRSK
A0A1K0UFU3	HLPSDFTPAVHA	P02192	NAWGKVEADVAG	0UFU3	NAWGKVEADVAG	P01966	VHASLDK	P10096	IPASTGAAKAVG	G3X7N4	MSHLGRPDGVPM	A0A3Q1M0V5H	ENKYYKSYVKKH	A0A3Q1MC60	SPVYQAVIKQNQ	A0A3Q1MC60	SPVYQAVIKQNQ	A0A3Q1LYQ9	EAAAPYLRSK
A0A1K0UFU3	HLPSDFTPAVHA	P02192	NAWGKVEADVAG	0UFU3	NAWGKVEADVAG	P01966	VHASLDK	P10096	IPASTGAAKAVG	G3X7N4	MSHLGRPDGVPM	A0A3Q1M0V5H	ENKYYKSYVKKH	A0A3Q1MC60	SPVYQAVIKQNQ	A0A3Q1MC60	SPVYQAVIKQNQ	A0A3Q1LYQ9	EAAAPYLRSK
A0A1K0UFU3	HLPSDFTPAVHA	P02192	NAWGKVEADVAG	0UFU3	NAWGKVEADVAG	P01966	VHASLDK	P10096	IPASTGAAKAVG	G3X7N4	MSHLGRPDGVPM	A0A3Q1M0V5H	ENKYYKSYVKKH	A0A3Q1MC60	SPVYQAVIKQNQ	A0A3Q1MC60	SPVYQAVIKQNQ	A0A3Q1LYQ9	EAAAPYLRSK
A0A1K0UFU3	HLPSDFTPAVHA	P02192	NAWGKVEADVAG	0UFU3	NAWGKVEADVAG	P01966	VHASLDK	P10096	IPASTGAAKAVG	G3X7N4	MSHLGRPDGVPM	A0A3Q1M0V5H	ENKYYKSYVKKH	A0A3Q1MC60	SPVYQAVIKQNQ	A0A3Q1MC60	SPVYQAVIKQNQ	A0A3Q1LYQ9	EAAAPYLRSK
A0A1K0UFU3	HLPSDFTPAVHA	P02192	NAWGKVEADVAG	0UFU3	NAWGKVEADVAG	P01966	VHASLDK	P10096	IPASTGAAKAVG	G3X7N4	MSHLGRPDGVPM	A0A3Q1M0V5H	ENKYYKSYVKKH	A0A3Q1MC60	SPVYQAVIKQNQ	A0A3Q1MC60	SPVYQAVIKQNQ	A0A3Q1LYQ9	EAAAPYLRSK
A0A1K0UFU3	HLPSDFTPAVHA	P02192	NAWGKVEADVAG	0UFU3	NAWGKVEADVAG	P01966	VHASLDK	P10096	IPASTGAAKAVG	G3X7N4	MSHLGRPDGVPM	A0A3Q1M0V5H	ENKYYKSYVKKH	A0A3Q1MC60	SPVYQAVIKQNQ	A0A3Q1MC60	SPVYQAVIKQNQ	A0A3Q1LYQ9	EAAAPYLRSK
A0A1K0UFU3	HLPSDFTPAVHA	P02192	NAWGKVEADVAG	0UFU3	NAWGKVEADVAG	P01966	VHASLDK	P10096	IPASTGAAKAVG	G3X7N4	MSHLGRPDGVPM	A0A3Q1M0V5H	ENKYYKSY						



A0A3Q ILYQ9	EAAPYLRK	Q5E95 W	EISPGMIKDLGATF1MRC 2	KERIEAQNKPFDA0A3Q 1MXQ0LA	NVINGSHAGNKF1N77	IEAQNKPFDAK	E1BP8 7	GEAAPYLRKSEKEQ5 5	5	M	YENQPVGEFIHCLQF1MZX 8	AAAPYLRKSEKER	G3MYN 5	MSGMEGRKK MFDAAKSPTT Q	
A0A3Q ILYQ9	AQNKPFD	Q5E95 6	GEKLDEREAGITE KVVFEQTQVIAD NVK	F1MRC 2	FGEEAPYLRK 9	A6QR1 9	LIPVPAFNVINGF1N77 SHAGNCLA 5	RSTPHF 7	E1BP8 5	KSEKERIEAQNKPF DAK	Q5E9B 5	YASGRRTGIVL 8	Q5EA8 8	HICLQNHP F1MZX 6	AAAPYLRKSEK G3MYN 5
A0A3Q ILYQ9	FRENLNK	Q5E95 6	GGNWKMNGRKN	F1MRC 2	KERIEAQNKPFDA0A3Q 1	LIPVPAFNVINGF1N77 GSHAGNCLA 5	AVFGEAPYLRKSE E1BP8 7	FGEEAPYLRK 7	Q5E9B 5	RVAAPEEHPTLLT EAPLNPKANREK MTQ	Q5EA8 8	YENQPVGEFI F1MZX 6	AAAPYLRKSEKER G3MYN 5	ERPVEVGDW KN	
A0A3Q ILYQ9	VADPKESFVKAT	Q5E95 6	AKVPADTEVVCA	F1MRC 2	VAEPKESFVKGT PPT	A6QR1 9	NVINGSHAGNKF1N77 LAM 5	FGEEAPYLRKSE E1BP8 7	IEAQNKPFDAK	Q5E9B 5	RPRHQGVMVGM GQKDSYVGDEA SKRG	Q5EA8 8	YENQPVGEFIHCLQF1MZX 6	VVGLYQK G3MYN 5	RPVVEVGDW N
A0A3Q ILYQ9	YQKMERRES	Q5E95 6	NAAKVPADTE	F1MRC 2	GEAAPYLRKSEKE RIEAQNKPF	A6QR1 9	GWGVMSHRSRG IEAQNKPF	F1N77 5	E1BP8 7	EAAPYLRKSEKE RSTPHF	Q5E9B 5	RPRHQGVMVGM HCLQNHP EVH	Q5EA8 8	F1MZX 6	FRENLNKLMT G3MYN 5
A0A3Q ILYQ9	DLLKALCYPR	Q5E95 6	QKLDPKIAVAAQ N	F1MRC 2	NITGWLEKNKDPL N	A6QR1 9	DGTENKSFGAF1N77 NAILG	IQYNVRA 5	E1BP8 7	MTHLHEPAVLNYQ5 5	ASLSTFQQM 5	F1MM0 7	FGEEAPYLRKSEK F1MZX 6	SVKVKEDETEK G3MYN 5	
A0A3Q ILYQ9	LSFGPASGEAEAGC PKKGKCK	Q5E95 6	VKANGAFTGEISP GMIKDLGATW	F1MRC 2	EAAPYLRKSEKER KAGLLG	A6QR1 9	DGTENKSFGAF1N77 NAILGVS	E1BP8 7	FGEEAPYLRKSE RVAPEEHT	Q5E9B 5	F1MM0 7	F1MZX 6	F1MZX 6	EGRKKMFDA KSPTTQ	
A0A3Q ILYQ9	SGPASGEAEAGPK KGKKGSSQFT	Q5E95 6	GHSERRHVFG 2	F1MRC 2	ARVEYQKMVERR NAIL	A6QR1 9	DGTENKSFGAF1N77 K	FGEEAPYLRKSE E1BP8 7	GEAAPYLRKSE SAIGHETTYNSI 5	Q5E9B 5	F1MM0 7	GEAAPYLRKSEK F1MZX 6	F1MZX 6	F1MZX 6	
P02070	VVVLARNFGKEF	Q5E95 6	KVIADNVKDWSK TPVL	F1MRC 2	ICRGKFPSR 9	A6QR1 9	TENKSFGANAI LG	F1BP8 5	FGNAKTVRNDN LEAQNKPF	Q5E9B 5	F1MM0 7	GEAAPYLRKSEK F1MZX 6	RSTPHF F1MZX 6	A0A452 PPPPAEP EVH	
P02070	WGKVKVDEVGGE ALG	Q5E95 6	GGNWKMNGRK	F1MRC 2	EAAPYLRKSEKER EA	A6QR1 9	NVINGSHAGNKF1N77 5	E1BP8 7	EAAPYLRKSEK PESFKV	F1MCK 4	F1MM0 7	F1MZX 6	F1MZX 6	F1MZX 6	
P02070	VVVLARNFGKEF TPVLQAD	Q5E95 6	GHSERRHVFGESD ELIGQKVAH	F1MRC 2	NKLMTNL 9	A6QR1 9	INGGSHAGNKL 5	F1N77 5	E1BP8 7	FGEEAPYLRKSE IQYNVRA	F1MCK 4	F1MM0 7	MGVKNWPWMK F1MZX 6	IFGEAAPYLRKSEK F1MZX 6	A0A452 APPPE PEV
P02070	ARNFGKEFTPVL	Q5E95 6	VKANGAFTGEISP GMIKDLG	F1MRC 2	SEKERIEAQNKPF AK	A6QR1 9	ILPVPAF 5	F1N77 5	TNLRSTPHFV F1BP8 7	PKAGLLG F1MCK	F1MM0 7	GEAAPYLRKSEK F1MZX 6	PKAGLLG F1MZX 6	A0A452 TAPKGKVGG WK	
P02070	FQKVVAGVAN	Q5E95 6	GHSERRHVFGESD	F1MRC 2	KERIEAQNKPF	A6QR1 9	LPVPAFN SHAGNLA 5	E1BP8 7	FGNAKTVRNDN EA	F1MCK 4	F1MM0 7	FGNAKTVRNDN F1MZX 6	FGNAKTVRNDN F1MZX 6	A0A452 APPPE EVH	
P02070	LVVYPWTQRF	Q5E95 6	GHSERRHVFG 2	F1MRC 2	GEAAPYLRKSE ERIEA	A6QR1 9	RAVPSGASTG YE	F1N77 5	EAAPYLRK E1BP8 7	F1MCK 4	F1MM0 7	FGNAKTVRNDN F1MZX 6	FGNAKTVRNDN F1MZX 6	A0A452 DDIQKKRQN DL	
P02070	ARNFGKEFTPV	Q9BE4 1	DTVVGLYQKSAL KT	F1MRC 2	AAAPYLRKSEKER A	A6QR1 9	DSRGNPTVEVDL HTAK	F1N77 5	AAQNKPF E1BP8 7	F1MCK 4	F1MM0 7	RVAAPEEHPTLLT F1MZX 6	RVAAPEEHPTLLT F1MZX 6	A0A452 APKIEGEKVD DL	
P02070	VVVPWTQ	Q9BE4 1	KFDIDHTQYKFGH T	F1MRC 2	AAAPYLRKSEKER AQNKPF	A6QR1 9	LPVPAF LA	F1N77 5	F1BP8 7	TKLALCYPR E1BP8 7	F1MM0 7	GEAAPYLRKSE F1MZX 6	ASLSTFQQM F1MZX 6	A0A452 APKIEGEKVD ER	
P02070	NFGKEFTPV	Q9BE4 1	IDIDHTQYKFGH K	F1MRC 2	AAAPYLRKSEKER AAYP	A0A3Q 1M1Y8	LPVPAFN SHAGNLA 5	F1N77 5	F1BP8 7	F1MCK 4	F1MM0 7	FGADDAPRAV F1MCK 7	AAAPYLRKSEK F1MZX 6	AAAPYLRKSEK F1MZX 6	A0A3Q1 EAPPPE EVH
P02070	FKLGNVNL	Q9BE4 1	DTVVGLYQKSAL K	F1MRC 2	IQYNIRA 2	A0A3Q 1M1Y8	LPVPAFN GSHAGNLA 5	F1N77 5	AAAPYLRK E1BP8 7	F1MCK 4	F1MM0 7	YKSSLKMLS F1MZX 6	AAAPYLRK F1MZX 6	A0A3Q1 PPPE EVH	
P02070	DFQKVVAGVANA LAHYRH	Q9BE4 1	YQKSALKTLAFL A	F1MRC 2	AAAPYLRKSEK AA	A0A3Q 1M1Y8	DSRGNPT LAM	F1N77 5	AAQNKPF E1BP8 7	F1MCK 4	F1MM0 7	AAQNKPF F1MZX 6	AAQNKPF F1MZX 6	A0A452 FDDIQKKRQN MK	
P02070	VVVLARNFGKD	Q9BE4 1	FGEEAPYLRKSE PYLRKSEKER	F1MRC 2	AAAPYLRKSEK AA	A0A3Q 1M1Y8	GWGVMSHRSRG EK	F1N77 5	F1BP8 7	F1MCK 4	F1MM0 7	AAQNKPF F1MZX 6	AAQNKPF F1MZX 6	A0A452 APKIEGEKVD RWK	
P02070	LVVYPWT	Q9BE4 1	YQKSALKTLA 2	F1MRC 2	VVGLYQK F1MCK	A0A3Q 1M1Y8	DGTENKSFGAF1N77 NAILG	F1N77 5	F1BP8 7	F1MCK 4	F1MM0 7	FGNAKTVRNDN F1MZX 6	FGNAKTVRNDN F1MZX 6	A0A452 APKIEGEKVD FDDIQKKRQN HE	
P02070	FKLLGNV	Q9BE4 1	DTVVGLYQKSAL K	F1MRC 2	IQYNIRA 2	A0A3Q 1M1Y8	LPVPAFN L1V29	F1N77 5	AAAPYLRK E1BP8 7	F1MCK 4	F1MM0 7	YKSSLKMLS F1MZX 6	AAAPYLRK F1MZX 6	A0A3Q1 PPPE EVH	
P02070	DFQKVVAGVANA LAHYRH	Q9BE4 1	YQKSALKTLAFL A	F1MRC 2	AAAPYLRKSEK AA	A0A3Q 1M1Y8	DSRGNPT LAM	F1N77 5	AAQNKPF E1BP8 7	F1MCK 4	F1MM0 7	AAQNKPF F1MZX 6	AAQNKPF F1MZX 6	A0A3Q1 APPPE EVH	
P02070	VVVLARNFGKD	Q9BE4 1	FGEEAPYLRKSE PYLRKSEKER	F1MRC 2	AAAPYLRKSEK AA	A0A3Q 1M1Y8	GWGVMSHRSRG EK	F1N77 5	F1BP8 7	F1MCK 4	F1MM0 7	AAQNKPF F1MZX 6	AAQNKPF F1MZX 6	A0A3Q1 APKIEGEKVD RWK	
P02070	FQKVVAGVAN	Q9BE4 1	IDIDHTQYKFGH T	F1MRC 2	VVGLYQK F1MCK	A0A3Q 1M1Y8	DGTENKSFGAF1N77 NAILG	F1N77 5	F1BP8 7	F1MCK 4	F1MM0 7	FGADDAPRAV F1MCK 7	AAAPYLRK F1MZX 6	A0A3Q1 EAPPPE EVH	
P02070	NFGKEFTPVL	Q9BE4 1	IDIDHTQYKFGH T	F1MRC 2	AAAPYLRK F1MCK	A0A3Q 1M1Y8	LPVPAF NAIL	F1N77 5	F1BP8 7	F1MCK 4	F1MM0 7	YKSSLKMLS F1MZX 6	AAAPYLRK F1MZX 6	A0A3Q1 APPPE EVH	
P02070	VVAGVANALAH YH	Q9BE4 1	GEAAPYLRKSE K	F1MRC 2	F1MRC 2	A0A3Q 1M1Y8	TKLALCYPR LG	F1N77 5	AAQNKPF F1MCK 7	A0A3Q 1M1Y8	F1MM0 7	DAFGTAHRAHS F1MCK 7	F1MZX 6	A0A3Q1 IDIQKKRQN MK	
P02070	HVDOPENFK	Q9BE4 1	MTHLHEPA KERYA	F1MRC 2	AAAPYLRK F1MCK	A0A3Q 1M1Y8	MTHLHEPAVLNY 5	A0A3Q 1M1Y8	AAAPYLRK F1MCK 7	A0A3Q 1M1Y8	F1MM0 7	F1MZX 6	F1MZX 6	A0A3Q1 APKIEGEKVD DL	
P02070	GMKHLDLKG	Q9BE4 1	YQKSALKTL	F1MRC 2	IFGEAAPYLRK F1MCK	A0A3Q 1M1Y8	AAAPYLRKSE K	A0A3Q 1M1Y8	AAAPYLRK F1MCK 7	A0A3Q 1M1Y8	F1MM0 7	YKSSLK F1MZX 6	YKSSLK F1MZX 6	A0A3Q1 APKIEGEKVD HE	
P02070	KVVAVG VAN	Q9BE4 1	IDIDHTQYKFGH T	F1MRC 2	GEAAPYLRK F1MCK	A0A3Q 1M1Y8	AAAPYLRKSE K	A0A3Q 1M1Y8	AAAPYLRK F1MCK 7	A0A3Q 1M1Y8	F1MM0 7	AAAPYLRK F1MCK 7	AAAPYLRK F1MZX 6	A0A3Q1 APKIEGEKVD HE	
P02070	VVVLARNFGKEF	Q9BE4 1	GEAAPYLRKSE K	F1MRC 2	VVGLYQKSALK T	A0A3Q 1M1Y8	LPVPAFN SHAGNLA 5	F1N77 5	AAAPYLRK F1MCK 7	A0A3Q 1M1Y8	F1MM0 7	AAAPYLRK F1MCK 7	AAAPYLRK F1MZX 6	A0A3Q1 APKIEGEKVD HE	
P02070	QADFQKVVAGV NALAHYRH	Q9BE4 1	GEAAPYLRK F1MCK	F1MRC 2	AAAPYLRK F1MCK	A0A3Q 1M1Y8	AAAPVPSGASTG YE	A0A3Q 1M1Y8	AAAPYLRK F1MCK 7	A0A3Q 1M1Y8	F1MM0 7	AAAPYLRK F1MCK 7	AAAPYLRK F1MZX 6	A0A3Q1 APKIEGEKVD HE	
P02070	WGKVKVDE	Q9BE4 1	GEAAPYLRK F1MCK	F1MRC 2	GEAAPYLRK F1MCK	A0A3Q 1M1Y8	AAAPYLRK F1MCK 7	A0A3Q 1M1Y8	AAAPYLRK F1MCK 7	A0A3Q 1M1Y8	F1MM0 7	FLKDCVGPE F1MCK 7	FLKDCVGPE F1MCK 7	A0A3Q1 APKIEGEKVD RWK	
D4QBB	VVVLARNFGKEF	Q9BE4 1	GEERIEAQNKPF TPV	F1MRC 2	GEAAPYLRK F1MCK	A0A3Q 1M1Y8	AAAPYLRK F1MCK 7	A0A3Q 1M1Y8	AAAPYLRK F1MCK 7	A0A3Q 1M1Y8	F1MM0 7	AAAPYLRK F1MCK 7	AAAPYLRK F1MZX 6	A0A355 APPPP EVPEV	
D4QBB	VVVLARNFGKEF	Q9BE4 1	GEERIEAQNKPF TPV	F1MRC 2	GEAAPYLRK F1MCK	A0A3Q 1M1Y8	AAAPYLRK F1MCK 7	A0A3Q 1M1Y8	AAAPYLRK F1MCK 7	A0A3Q 1M1Y8	F1MM0 7	AAAPYLRK F1MCK 7	AAAPYLRK F1MZX 6	A0A355 APPPP EVPEV	
D4QBB	VVVLARNFGKEF	Q9BE4 1	GEERIEAQNKPF TPV	F1MRC 2	GEAAPYLRK F1MCK	A0A3Q 1M1Y8	AAAPYLRK F1MCK 7	A0A3Q 1M1Y8	AAAPYLRK F1MCK 7	A0A3Q 1M1Y8	F1MM0 7	AAAPYLRK F1MCK 7	AAAPYLRK F1MZX 6	A0A355 APPPP EVPEV	
D4QBB	VVVLARNFGKEF	Q9BE4 1	GEERIEAQNKPF TPV	F1MRC 2	GEAAPYLRK F1MCK	A0A3Q 1M1Y8	AAAPYLRK F1MCK 7	A0A3Q 1M1Y8	AAAPYLRK F1MCK 7	A0A3Q 1M1Y8	F1MM0 7	AAAPYLRK F1MCK 7	AAAPYLRK F1MZX 6	A0A355 APPPP EVPEV	
D4QBB	ARNFGKEFTPVL	Q9BE4 1	NITGWLEKNKD LN	F1MRC 2	GEAAPYLRK F1MCK	A0A3Q 1M1Y8	AAAPYLRK F1MCK 7	A0A3Q 1M1Y8	AAAPYLRK F1MCK 7	A0A3Q 1M1Y8	F1MM0 7	AAAPYLRK F1MCK 7	AAAPYLRK F1MZX 6	A0A355 APPPP EVPEV	
D4QBB	FQKVVAGVAN	Q9BE4 1	AAAPYLRK F1MCK	F1MRC 2	QKPKVVKKGKPE H	A0A3Q 1M1Y8	AAAPYLRK F1MCK 7	A0A3Q 1M1Y8	AAAPYLRK F1MCK 7	A0A3Q 1M1Y8	F1MM0 7	AAAPYLRK F1MCK 7	AAAPYLRK F1MZX 6	A0A355 APPPP EVPEV	

D4QBB <sub>4</sub>	LVVWPWTQRF	Q9BE <sub>4</sub>	ARVEYQKMKVERR	F1MRC <sub>2</sub>	FGEEAPYLRKSEKD4QBB <sub>2</sub>	LVVWPWTQRF	A0A3Q <sub>6</sub>	SEKERIEAQNKPFDAK <sub>6</sub>	A0A3Q <sub>6</sub>	GEEAPYLRKSEKEQ <sub>6</sub>	Q32K <sub>6</sub>	LGRPDGVPMPPDK <sub>7</sub>	F1MM <sub>0</sub>	TRPFDLK	Q32LG <sub>3</sub>	GAVALGASGGIGQPL <sub>3</sub>	A0A3S <sub>5</sub>	APKIPGEKEVDB <sub>3</sub>	
D4QBB <sub>4</sub>	ARNGKEFTPV	Q9BE <sub>4</sub>	ICRKGFPSR	F1MRC <sub>2</sub>	FAVPKESFVKGTD4QBB <sub>3</sub>	ARNFGNEFTPV <sub>5</sub>	A0A3Q <sub>5</sub>	KERIEAQNKPFDAK <sub>5</sub>	A0A3Q <sub>5</sub>	AAAPYLRKSEKER <sub>5</sub>	G3M9 <sub>5</sub>	TCSKKLAGQRFT <sub>7</sub>	F1MM <sub>0</sub>	EAAPYLRK	Q32LG <sub>3</sub>	GAVALGASGGIGQPL <sub>3</sub>	A0A3S <sub>5</sub>	EAPPAAEVPVH	
D4QBB <sub>4</sub>	VVWPWTQ	Q9BE <sub>4</sub>	EAAPYLRKSEKER <sub>1</sub>	F1MRC <sub>2</sub>	LSFGPTGDS <sub>3</sub>	D4QBB <sub>3</sub>	ARNFGNEFTPV <sub>5</sub>	A0A3Q <sub>5</sub>	FGEEAPYLRKSEKD4QBB <sub>3</sub>	ICRKGFPSR <sub>5</sub>	G3M9 <sub>5</sub>	VIGTGSSFPKG <sub>7</sub>	F1MM <sub>0</sub>	LYKKSSLKM	Q32LG <sub>3</sub>	GAVALGASGGIGQPL <sub>3</sub>	A0A3S <sub>5</sub>	PPPPAEVPVH	
D4QBB <sub>4</sub>	NFGKEFTPV	Q9BE <sub>4</sub>	NKLMNTL	F1MRC <sub>2</sub>	EAAPYLRKSEKER <sub>1</sub>	D4QBB <sub>3</sub>	WSKVVHVDEVGG <sub>3</sub>	A0A3Q <sub>5</sub>	AAAPYLRKSEKER <sub>1</sub>	A0A3Q <sub>5</sub>	EAAPYLRKSEKER <sub>1</sub>	G3M9 <sub>5</sub>	SKKLAGQRFTA <sub>7</sub>	F1MM <sub>0</sub>	YKKSSLKM	Q32LG <sub>3</sub>	GAVALGASGGIGQPL <sub>3</sub>	A0A3S <sub>5</sub>	PPPPAEVPVH
D4QBB <sub>4</sub>	FKLLGNVL	Q9BE <sub>4</sub>	SEKERIEAQNKPFDAK <sub>1</sub>	F1MRC <sub>2</sub>	PKESFVK	D4QBB <sub>3</sub>	VVVLARNGNEF <sub>3</sub>	A0A3Q <sub>5</sub>	AVGFEAPYLRKSA <sub>3</sub>	A0A3Q <sub>5</sub>	TKLMLN	G3M9 <sub>5</sub>	VTCSSKLQRQFT <sub>7</sub>	F1MM <sub>0</sub>	QDLDVKLQLKV <sub>3</sub>	Q32LG <sub>3</sub>	GAVALGASGGIGQPL <sub>3</sub>	A0A3S <sub>5</sub>	GTAPKGKVGG <sub>3</sub>
D4QBB <sub>4</sub>	DFQKVVAGVANA	Q9BE <sub>4</sub>	KERIEAQNKPFDAK <sub>1</sub>	F1MRC <sub>2</sub>	FKAGLLG	D4QBB <sub>3</sub>	VVWPWTQ <sub>5</sub>	A0A3Q <sub>5</sub>	AAAPYLRKSEKER <sub>1</sub>	A0A3Q <sub>5</sub>	ERIA	G3M9 <sub>5</sub>	TCSSKLQRQFT <sub>7</sub>	F1MM <sub>0</sub>	GATGKLASADIET <sub>3</sub>	Q32LG <sub>3</sub>	EVVKAGAGD <sub>3</sub>	A0A3S <sub>5</sub>	APPPPAAEVPVH
D4QBB <sub>4</sub>	VVVLARNGKD	Q9BE <sub>4</sub>	FGEEAPYLRKSEKF1MRC <sub>2</sub>	ERIEA <sub>2</sub>	FGNAKTVRNDN	D4QBB <sub>3</sub>	ARNFGNEFTPV <sub>5</sub>	A0A3Q <sub>5</sub>	ERIEA	A0A3Q <sub>5</sub>	FGEEAPYLRKSEKF1MRC <sub>2</sub>	G3M9 <sub>5</sub>	TCSSKLQRQFT <sub>7</sub>	F1MM <sub>0</sub>	MQLTQSIMDLEND <sub>3</sub>	Q32LG <sub>3</sub>	NAТИVATLTAACAQ <sub>3</sub>	A0A3S <sub>5</sub>	APKGKVGG <sub>3</sub>
D4QBB <sub>4</sub>	VVVPWT	Q9BE <sub>4</sub>	AAAPYLRKSEKER <sub>1</sub>	F1MRC <sub>2</sub>	AAAPYLRKSEK	D4QBB <sub>3</sub>	FKLLGNVL	A0A3Q <sub>5</sub>	AAAPYLRKSEK <sub>1</sub>	A0A3Q <sub>5</sub>	ERIEA	G3M9 <sub>5</sub>	TCSSKLQRQFT <sub>7</sub>	F1MM <sub>0</sub>	DSRKGAEK <sub>3</sub>	Q32LG <sub>3</sub>	ENQPVGEGFIHCLQA <sub>3</sub>	A0A3S <sub>5</sub>	APPPPAAEVPVH
D4QBB <sub>4</sub>	VVVPWTQR	Q9BE <sub>4</sub>	AAAPYLRKSEKER <sub>1</sub>	F1MRC <sub>2</sub>	ERIEAQNKPFDAK <sub>3</sub>	D4QBB <sub>3</sub>	DFQKVVAGVANA <sub>5</sub>	A0A3Q <sub>5</sub>	ALAHRYH	A0A3Q <sub>5</sub>	AAAPYLRKSEKER <sub>1</sub>	G3M9 <sub>5</sub>	CSKKLAGQRFT <sub>9</sub>	Q9BE <sub>3</sub>	FGEAAAPYLRKSEK <sub>5</sub>	Q32LG <sub>3</sub>	QENQPVGEGFIHCLQA <sub>3</sub>	A0A3S <sub>5</sub>	DDIQKQRQNKA <sub>3</sub>
D4QBB <sub>4</sub>	NFGKEFTPVL	Q9BE <sub>4</sub>	AAAPYLRKSEKER <sub>1</sub>	F1MRC <sub>2</sub>	TNLRSRTHPHFVR	D4QBB <sub>3</sub>	VVVLARNGNEF <sub>3</sub>	A0A3Q <sub>5</sub>	TPV	A0A3Q <sub>5</sub>	AAAPYLRKSEKER <sub>1</sub>	G3M9 <sub>5</sub>	TCSSKLQRQFT <sub>7</sub>	F1MM <sub>0</sub>	YKQL	A0A3Q <sub>5</sub>	HCLQNHP <sub>3</sub>	A0A3S <sub>5</sub>	APKIPGEKV <sub>3</sub>
D4QBB <sub>4</sub>	VVAGVANALAH <sub>1</sub>	Q9BE <sub>4</sub>	QYNIRA <sub>2</sub>	F1MRC <sub>2</sub>	FGEEAPYLRKSEKD4QBB <sub>3</sub>	LVVWPWT	A0A3Q <sub>5</sub>	VGEAAAPYLRKSEKD4QBB <sub>3</sub>	ER	A0A3Q <sub>5</sub>	AAAPYLRKSEKER <sub>1</sub>	G3M9 <sub>5</sub>	TCSSKLQRQFT <sub>7</sub>	Q9BE <sub>3</sub>	GEAAAPYLRKSEK <sub>5</sub>	A0A3Q <sub>5</sub>	ENQPVGEGFI <sub>3</sub>	A0A3S <sub>5</sub>	APKIPGEKV <sub>3</sub>
D4QBB <sub>4</sub>	HVDPEFNK	Q9BE <sub>4</sub>	AAAPYLRKSEK <sub>2</sub>	F1MRC <sub>2</sub>	AAAPYLRK	D4QBB <sub>3</sub>	VVVPWTQR	A0A3Q <sub>5</sub>	FRENLNKLM	A0A3Q <sub>5</sub>	AAAPYLRKSEK <sub>2</sub>	G3M9 <sub>5</sub>	VTCSSKLQRQFT <sub>9</sub>	Q9BE <sub>3</sub>	GEAAAPYLRK <sub>5</sub>	A0A3Q <sub>5</sub>	WQLVALPPDVVQAA <sub>3</sub>	A0A3S <sub>5</sub>	DDIQKQRQNKA <sub>3</sub>
D4QBB <sub>4</sub>	GMKHLDLKG	Q9BE <sub>4</sub>	PYLRKSEKER <sub>2</sub>	F1MRC <sub>2</sub>	ARVEYQKMKVERRED <sub>3</sub>	D4QBB <sub>3</sub>	VVAGVANALAH <sub>3</sub>	A0A3Q <sub>5</sub>	RYH	A0A3Q <sub>5</sub>	AAAPYLRK	G3M9 <sub>5</sub>	VTCSSKLQRQFT <sub>9</sub>	Q9BE <sub>3</sub>	GEAAAPYLRK <sub>5</sub>	A0A3Q <sub>5</sub>	ENQPVGEGFIHCLQ <sub>3</sub>	Q8MKI <sub>4</sub>	PPPPAEVPVH
D4QBB <sub>4</sub>	KVAGVAN	Q9BE <sub>4</sub>	VVGLYQK <sub>2</sub>	F1MRC <sub>2</sub>	EAAPYLRK	D4QBB <sub>3</sub>	HVDPEFNK	A0A3Q <sub>5</sub>	VVGLYQK <sub>2</sub>	A0A3Q <sub>5</sub>	FRENLNKLM	G3M9 <sub>5</sub>	TCSSKLQRQFT <sub>9</sub>	Q9BE <sub>3</sub>	YKPNVAKK <sub>5</sub>	A0A3Q <sub>5</sub>	HCLQNHP <sub>3</sub>	A0A3S <sub>5</sub>	APKIPGEKV <sub>3</sub>
D4QBB <sub>4</sub>	VVVLARNGKEF <sub>1</sub>	Q9BE <sub>4</sub>	FRENLNKLM	F1MRC <sub>2</sub>	EGGKVTVKTEGGAD <sub>3</sub>	D4QBB <sub>3</sub>	GMKHLDLKG	A0A3Q <sub>5</sub>	FRENLNKLM	A0A3Q <sub>5</sub>	AAAPYLRKSEKER <sub>1</sub>	G3M9 <sub>5</sub>	TCSSKLQRQFT <sub>9</sub>	Q9BE <sub>3</sub>	AAAPYLRKSEKER <sub>1</sub>	A0A3Q <sub>5</sub>	ENQPVGEGFIHCLQ <sub>3</sub>	Q8MKI <sub>4</sub>	PPPPAEVPVH
D4QBB <sub>4</sub>	QADFQKVVAGVA <sub>1</sub>	Q9BE <sub>4</sub>	AAAPYLRK <sub>2</sub>	F1MRC <sub>2</sub>	FGSGPTGDSEAS <sub>3</sub>	D4QBB <sub>3</sub>	KVAGVAN	A0A3Q <sub>5</sub>	AAAPYLRK <sub>2</sub>	A0A3Q <sub>5</sub>	AAAPYLRK	G3M9 <sub>5</sub>	TCSSKLQRQFT <sub>9</sub>	Q9BE <sub>3</sub>	AAAPYLRKSEKER <sub>1</sub>	Q2KJE <sub>5</sub>	PASTGAAKAVGK <sub>5</sub>	Q8MKI <sub>4</sub>	APPPPAAEVPVH
D4QBB <sub>4</sub>	NALAHRY <sub>1</sub>	Q9BE <sub>4</sub>	AAAPYLRK <sub>2</sub>	F1MRC <sub>2</sub>	GTTKGGKKKGSS <sub>3</sub>	D4QBB <sub>3</sub>	FRENLNK	A0A3Q <sub>5</sub>	AAAPYLRK <sub>2</sub>	A0A3Q <sub>5</sub>	AAAPYLRK	G3M9 <sub>5</sub>	TCSSKLQRQFT <sub>9</sub>	Q9BE <sub>3</sub>	AAAPYLRK <sub>2</sub>	Q2KJE <sub>5</sub>	PASTGAAKAVGK <sub>5</sub>	Q8MKI <sub>4</sub>	HE
D4QBB <sub>4</sub>	WGKVKVDE	Q9BE <sub>4</sub>	RKSEKER <sub>1</sub>	F1MRC <sub>2</sub>	PTGTDSEASGGT <sub>3</sub>	D4QBB <sub>3</sub>	QADFQKVVAGV <sub>3</sub>	A0A3Q <sub>5</sub>	ANALAHRY <sub>2</sub>	A0A3Q <sub>5</sub>	AAAPYLRK	G3M9 <sub>5</sub>	TCSSKLQRQFT <sub>9</sub>	Q9BE <sub>3</sub>	NKLMNTL <sub>5</sub>	Q2KJE <sub>5</sub>	PASTGAAKAVGK <sub>5</sub>	Q8MKI <sub>4</sub>	TAPKGKVGG <sub>3</sub>
Q3ZC <sub>8</sub>	DIDSPPI <sub>1</sub>	Q9BE <sub>4</sub>	ARTNTG <sub>2</sub>	F1MRC <sub>2</sub>	MTLHLHEPAVL <sub>3</sub>	D4QBB <sub>3</sub>	KGGKKKGSSQFT <sub>3</sub>	A0A3Q <sub>5</sub>	ANALAHRY <sub>2</sub>	A0A3Q <sub>5</sub>	AAAPYLRK	G3M9 <sub>5</sub>	TCSSKLQRQFT <sub>9</sub>	Q9BE <sub>3</sub>	YKPNVAKK <sub>5</sub>	A0A3Q <sub>5</sub>	HCLQNHP <sub>3</sub>	A0A3S <sub>5</sub>	APKIPGEKV <sub>3</sub>
Q3ZC <sub>8</sub>	TGWRPGSGFTNT <sub>1</sub>	Q9BE <sub>4</sub>	IFGEAAAPYLRK <sub>2</sub>	F1MRC <sub>2</sub>	FRENLNK	D4QBB <sub>3</sub>	MRVVPVP	A0A3Q <sub>5</sub>	AAAPYLRK <sub>2</sub>	A0A3Q <sub>5</sub>	AAAPYLRK	G3M9 <sub>5</sub>	TCSSKLQRQFT <sub>9</sub>	Q9BE <sub>3</sub>	AAAPYLRK <sub>2</sub>	Q2KJE <sub>5</sub>	TGAAKAVGK <sub>5</sub>	Q8MKI <sub>4</sub>	HEEVH
Q3ZC <sub>8</sub>	LVKQKGPDFL	Q9BE <sub>4</sub>	GEAAAPYLRK <sub>2</sub>	F1MRC <sub>2</sub>	YQKMVERRES	A0A3Q <sub>5</sub>	YQKMVERRES	A0A3Q <sub>5</sub>	AAAPYLRK <sub>2</sub>	A0A3Q <sub>5</sub>	AAAPYLRK	G3M9 <sub>5</sub>	TCSSKLQRQFT <sub>9</sub>	Q9BE <sub>3</sub>	AAAPYLRK <sub>2</sub>	Q2KJE <sub>5</sub>	PASTGAAKAVGK <sub>5</sub>	Q8MKI <sub>4</sub>	APKIPGEKV <sub>3</sub>
Q3ZC <sub>8</sub>	TQQLHAAM	Q9BE <sub>4</sub>	VVGLYQKSALKT <sub>2</sub>	F1MRC <sub>2</sub>	AIFGEAAAPYLRK <sub>3</sub>	D4QBB <sub>3</sub>	AAAPYLRK <sub>2</sub>	A0A3Q <sub>5</sub>	TADDRLVNP <sub>8</sub>	A0A3Q <sub>5</sub>	AAAPYLRK	G3M9 <sub>5</sub>	TCSSKLQRQFT <sub>9</sub>	Q9BE <sub>3</sub>	YKPNVAKK <sub>5</sub>	A0A3Q <sub>5</sub>	ENQPVGEGFIHCLQ <sub>3</sub>	Q8MKI <sub>4</sub>	PPPPAEVPVH
Q3ZC <sub>8</sub>	TGWRPGSGFTN <sub>1</sub>	Q9BE <sub>4</sub>	KSEKER <sub>2</sub>	F1MRC <sub>2</sub>	DLLKALCYPR	A0A3Q <sub>5</sub>	FRENLNK	A0A3Q <sub>5</sub>	AAAPYLRK <sub>2</sub>	A0A3Q <sub>5</sub>	AAAPYLRK	G3M9 <sub>5</sub>	TCSSKLQRQFT <sub>9</sub>	Q9BE <sub>3</sub>	AAAPYLRK <sub>2</sub>	Q2KJE <sub>5</sub>	TGAAKAVGK <sub>5</sub>	Q8MKI <sub>4</sub>	DDIQKQRQNKA <sub>3</sub>
Q3ZC <sub>8</sub>	TQQLHAAM	Q9BE <sub>4</sub>	FGEAAAPYLRK <sub>2</sub>	F1MRC <sub>2</sub>	PTGDSEAS	A0A3Q <sub>5</sub>	AAAPYLRK <sub>2</sub>	A0A3Q <sub>5</sub>	AAAPYLRK <sub>2</sub>	A0A3Q <sub>5</sub>	AAAPYLRK	G3M9 <sub>5</sub>	TCSSKLQRQFT <sub>9</sub>	Q9BE <sub>3</sub>	AAAPYLRK <sub>2</sub>	Q2KJE <sub>5</sub>	PASTGAAKAVGK <sub>5</sub>	Q8MKI <sub>4</sub>	APKIPGEKV <sub>3</sub>
Q3ZC <sub>8</sub>	TGWRPGSG	Q9BE <sub>4</sub>	EQANQNPFD <sub>1</sub>	F1MRC <sub>2</sub>	YQKMVERRES	A0A3Q <sub>5</sub>	AAAPYLRK <sub>2</sub>	A0A3Q <sub>5</sub>	AAAPYLRK <sub>2</sub>	A0A3Q <sub>5</sub>	AAAPYLRK	G3M9 <sub>5</sub>	TCSSKLQRQFT <sub>9</sub>	Q9BE <sub>3</sub>	AAAPYLRK <sub>2</sub>	Q2KJE <sub>5</sub>	PASTGAAKAVGK <sub>5</sub>	Q8MKI <sub>4</sub>	APKIPGEKV <sub>3</sub>
Q3ZC <sub>8</sub>	SKHHSAGT	Q9BE <sub>4</sub>	RSTHPHF	F1MRC <sub>2</sub>	AAAPYLRK <sub>2</sub>	A0A3Q <sub>5</sub>	VVNGGSHAGN <sub>1</sub>	A0A3Q <sub>5</sub>	AAAPYLRK <sub>2</sub>	A0A3Q <sub>5</sub>	AAAPYLRK	G3M9 <sub>5</sub>	TCSSKLQRQFT <sub>9</sub>	Q9BE <sub>3</sub>	AAAPYLRK <sub>2</sub>	Q2KJE <sub>5</sub>	PASTGAAKAVGK <sub>5</sub>	Q8MKI <sub>4</sub>	APKIPGEKV <sub>3</sub>
Q3ZC <sub>8</sub>	TQQLHAA	Q9BE <sub>4</sub>	MTLHLHEPAVL <sub>1</sub>	F1MRC <sub>2</sub>	GWGVMSHRS <sub>4</sub>	A0A3Q <sub>5</sub>	AAAPYLRK <sub>2</sub>	A0A3Q <sub>5</sub>	AAAPYLRK <sub>2</sub>	A0A3Q <sub>5</sub>	AAAPYLRK	G3M9 <sub>5</sub>	TCSSKLQRQFT <sub>9</sub>	Q9BE <sub>3</sub>	AAAPYLRK <sub>2</sub>	Q2KJE <sub>5</sub>	TGAAKAVGK <sub>5</sub>	Q8MKI <sub>4</sub>	APKIPGEKV <sub>3</sub>
A5D9 <sub>8</sub>	DIDSPPI <sub>1</sub>	Q9BE <sub>4</sub>	ARTNTG <sub>2</sub>	F1MRC <sub>2</sub>	IFGEAAAPYLRK <sub>3</sub>	D4QBB <sub>3</sub>	Q9XS <sub>5</sub>	A0A3Q <sub>5</sub>	AAAPYLRK <sub>2</sub>	A0A3Q <sub>5</sub>	AAAPYLRK	G3M9 <sub>5</sub>	TCSSKLQRQFT <sub>9</sub>	Q9BE <sub>3</sub>	AAAPYLRK <sub>2</sub>	Q2KJE <sub>5</sub>	PASTGAAKAVGK <sub>5</sub>	Q8MKI <sub>4</sub>	APKIPGEKV <sub>3</sub>
A5D9 <sub>8</sub>	TGWRPGSGFTNT <sub>1</sub>	Q9BE <sub>4</sub>	AAAPYLRK <sub>2</sub>	F1MRC <sub>2</sub>	Q9XS <sub>5</sub>	D4QBB <sub>3</sub>	AAAPYLRK <sub>2</sub>	A0A3Q <sub>5</sub>	AAAPYLRK <sub>2</sub>	A0A3Q <sub>5</sub>	AAAPYLRK	G3M9 <sub>5</sub>	TCSSKLQRQFT <sub>9</sub>	Q9BE <sub>3</sub>	AAAPYLRK <sub>2</sub>	Q2KJE <sub>5</sub>	PASTGAAKAVGK <sub>5</sub>	Q8MKI <sub>4</sub>	APKIPGEKV <sub>3</sub>
A5D9 <sub>8</sub>	TQQLHAA	Q9BE <sub>4</sub>	AAAPYLRK <sub>2</sub>	F1MRC <sub>2</sub>	Q9XS <sub>5</sub>	D4QBB <sub>3</sub>	AAAPYLRK <sub>2</sub>	A0A3Q <sub>5</sub>	AAAPYLRK <sub>2</sub>	A0A3Q <sub>5</sub>	AAAPYLRK	G3M9 <sub>5</sub>	TCSSKLQRQFT <sub>9</sub>	Q9BE <sub>3</sub>	AAAPYLRK <sub>2</sub>	Q2KJE <sub>5</sub>	PASTGAAKAVGK <sub>5</sub>	Q8MKI <sub>4</sub>	APKIPGEKV <sub>3</sub>
A5D9 <sub>8</sub>	TGWRPGSGFTN <sub>1</sub>	Q9BE <sub>4</sub>	AAAPYLRK <sub>2</sub>	F1MRC <sub>2</sub>	Q9XS <sub>5</sub>	D4QBB <sub>3</sub>	AAAPYLRK <sub>2</sub>	A0A3Q <sub>5</sub>	AAAPYLRK <sub>2</sub>	A0A3Q <sub>5</sub>	AAAPYLRK	G3M9 <sub>5</sub>	TCSSKLQRQFT <sub>9</sub>	Q9BE <sub>3</sub>	AAAPYLRK <sub>2</sub>	Q2KJE <sub>5</sub>	PASTGAAKAVGK <sub>5</sub>	Q8MKI <sub>4</sub>	APKIPGEKV <sub>3</sub>
A5D9 <sub>8</sub>	TQQLHAA	Q9BE <sub>4</sub>	AAAPYLRK <sub>2</sub>	F1MRC <sub>2</sub>	Q9XS <sub>5</sub>	D4QBB <sub>3</sub>	AAAPYLRK <sub>2</sub>	A0A3Q <sub>5</sub>	AAAPYLRK <sub>2</sub>	A0A3Q <sub>5</sub>	AAAPYLRK	G3M9 <sub>5</sub>	TCSSKLQRQFT <sub>9</sub>	Q9BE <sub>3</sub>	AAAPYLRK <sub>2</sub>	Q2KJE <sub>5</sub>	PASTGAAKAVGK <sub>5</sub>	Q8MKI <sub>4</sub>	APKIPGEKV <sub>3</sub>
A5D9 <sub>8</sub>	TGWRPGSGFTN <sub>1</sub>	Q9BE <sub>4</sub>	AAAPYLRK <sub>2</sub>	F1MRC <sub>2</sub>	Q9XS <sub>5</sub>	D4QBB <sub>3</sub>	AAAPYLRK <sub>2</sub>	A0A3Q <sub>5</sub>	AAAPYLRK <sub>2</sub>	A0A3Q <sub>5</sub>	AAAPYLRK	G3M9 <sub>5</sub>	TCSSKLQRQFT <sub>9</sub>	Q9BE <sub>3</sub>	AAAPYLRK <sub>2</sub>	Q2KJE <sub>5</sub>	PASTGAAKAVGK <sub>5</sub>	Q8MKI <sub>4</sub>	APKIPGEKV <sub>3</sub>
A5D9 <sub>8</sub>	TQQLHAA	Q9BE <sub>4</sub>	AAAPYLRK <sub>2</sub>	F1MRC <sub>2</sub>	Q9XS <sub>5</sub>	D4QBB <sub>3</sub>	AAAPYLRK <sub>2</sub>	A0A3Q <sub>5</sub>	AAAPYLRK <sub>2</sub>	A0A3Q <sub>5</sub>	AAAPYLRK	G3M9 <sub>5</sub>	TCSSKLQRQFT <sub>9</sub>	Q9BE <sub>3</sub>	AAAPYLRK <sub>2</sub>	Q2KJE <sub>5</sub>	PASTGAAKAVGK <sub>5</sub>	Q8MKI <sub>4</sub>	APKIPGEKV <sub>3</sub>
A5D9 <sub>8</sub>	TGWRPGSGFTN <sub>1</sub>	Q9BE <sub>4</sub>	AAAPYLRK <sub>2</sub>	F1MRC <sub>2</sub>	Q9XS <sub>5</sub>	D4QBB <sub>3</sub>	AAAPYLRK <sub>2</sub>	A0A3Q <sub>5</sub>	AAAPYLRK <sub>2</sub>	A0A3Q <sub>5</sub>	AAAPYLRK	G3M9 <sub>5</sub>	TCSSKLQRQFT <sub>9</sub>	Q9BE <sub>3</sub>	AAAPYLRK <sub>2</sub>	Q2KJE <sub>5</sub>	PASTGAAKAVGK <sub>5</sub>	Q8MKI <sub>4</sub>	APKIPGEKV <sub>3</sub>
A5D9 <sub>8</sub>	TQQLHAA	Q9BE <sub>4</sub>	AAAPYLRK <sub>2</sub>	F1MRC <sub>2</sub>	Q9XS <sub>5</sub>	D4QBB <sub>3</sub>	AAAPYLRK <sub>2</sub>	A0A3Q <sub>5</sub>	AAAPYLRK <sub>2</sub>	A0A3Q <sub>5</sub>	AAAPYLRK	G3M9 <sub>5</sub>	TCSSKLQRQFT <sub>9</sub>	Q9BE <sub>3</sub>	AAAPYLRK <sub>2</sub>	Q2KJE <sub>5</sub>	PASTGAAKAVGK <sub>5</sub>	Q8MKI <sub>4</sub>	APKIPGEKV <sub>3</sub>
A5D9 <sub>8</sub>	TGWRPGSGFTN <sub>1</sub>	Q9BE <sub>4</sub>	AAAPYLRK <sub>2</sub>	F1MRC <sub>2</sub>	Q9XS <sub>5</sub>	D4QBB <sub>3</sub>	AAAPYLRK <sub>2</sub>	A0A3Q <sub>5</sub>	AAAPYLRK <sub>2</sub>	A0A3Q <sub>5</sub>	AAAPYLRK	G3M9 <sub>5</sub>	TCSSKLQRQFT <sub>9</sub>	Q9BE <sub>3</sub>	AAAPYLRK <sub>2</sub>	Q2KJE <sub>5</sub>	PASTGAAKAVGK <sub>5</sub>	Q8MKI <sub>4</sub>	APKIPGEKV <sub>3</sub>
A5D9 <sub>8</sub>	TQQLHAA	Q9BE <sub>4</sub>	AAAPYLRK <sub>2</sub>	F1MRC <sub>2</sub>	Q9XS <sub>5</sub>	D4QBB <sub>3</sub>	AAAPYLRK <sub>2</sub>	A0A3Q <sub>5</sub>	AAAPYLRK <sub>2</sub>	A0A3Q <sub>5</sub>	AAAPYLRK	G3M9 <sub>5</sub>	TCSSKLQRQFT <sub>9</sub>	Q9BE <sub>3</sub>	AAAPYLRK <sub>2</sub>	Q2KJE <sub>5</sub>	PASTGAAKAVGK <sub>5</sub>	Q8MKI <sub>4</sub>	APKIPGEKV <sub>3</sub>
A5D9 <sub>8</sub>	TGWRPGSGFTN <sub>1</sub>	Q9BE <sub>4</sub>	AAAPYLRK <sub>2</sub>	F1MRC <sub>2</sub>	Q9XS <sub>5</sub>	D4QBB <sub>3</sub>	AAAPYLRK <sub>2</sub>	A0A3Q <sub>5</sub>	AAAPYLRK <sub>2</sub>	A0A3Q <sub>5</sub>	AAAPYLRK	G3M9 <sub>5</sub>	TCSSKLQRQFT <sub>9</sub>	Q9BE <sub>3</sub>	AAAPYLRK <sub>2</sub>	Q2KJE <sub>5</sub>	PASTGAAKAVGK <sub>5</sub>	Q8MKI <sub>4</sub>	APKIPGEKV <sub>3</sub>
A5D9 <sub>8</sub>	TQQLHAA	Q9BE <sub>4</sub>	AAAPYLRK <sub>2</sub>	F1MRC <sub>2</sub>	Q9XS <sub>5</sub>	D4QBB <sub>3</sub>	AAAPYLRK <sub>2</sub>	A0A3Q <sub>5</sub>	AAAPYLRK <sub>2</sub>	A0A3Q <sub>5</sub>	AAAPYLRK	G3M9 <sub>5</sub>	TCSSKLQRQFT <sub>9</sub>	Q9BE <sub>3</sub>	AAAPYLRK <sub>2</sub>	Q2KJE <sub>5</sub>	PASTGAAKAVGK <sub>5</sub>	Q8MKI <sub>4</sub>	APKIPGEKV <sub>3</sub>
A5D9 <sub>8</sub>	TGWRPGSGFTN <sub>1</sub>	Q9BE <sub>4</sub>	AAAPYLRK <sub>2</sub>	F1MRC <sub>2</sub>	Q9XS <sub>5</sub>	D4QBB <sub>3</sub>	AAAPYLRK <sub>2</sub>	A0A3Q <sub>5</sub>	AAAPYLRK <sub>2</sub>	A0A3Q <sub>5</sub>	AAAPYLRK	G3M9 <sub>5</sub>	TCSSKLQRQFT <sub>9</sub>	Q9BE <sub>3</sub>					



A0A3Q1	KVNAEGSVDN	F1MRD0	RVAPEEEHPT	Q08DP0	YMKEAIQ	E1BDJ9	TNRGSKMFKLR	A6QQQ3	LLDLQHNKLSDGIV1LLS2	A0A3QPGPRAAGAAAAAG0XW2	ECVDGTLLLGL	E1BF23H	AKPKLPAAPSPA	F1MCK2	GDLKGSGIGFRGA	A0A3Q1	LPGASGLPGPV
A0A3Q1	VCTHLDALK	F1MRD0	RPRHQGVVMVGMGKRG	A0A3Q1	YMKEAIQ	E1BDJ9	GAKAELPKYK	A0A3Q1MC10	LEALGHCLAH	A0A3QPGPRAAGAAAAAG0XW2	ECVDGTLLLGL	E1BF23H	AKPKLPAAPSPA	A0A0K6FSY2	SDRELGFSPPSPP	A0A3Q1	EPNTLPGPTG
A0A3Q1	1N2Q9	VQK	1N2Q9	OKDS	ILRDI	E1BDJ9	JGGQESSGLNLGK	A0A3Q1MC10	KVISPRD	A0A3QPGPRAAGAAAAAG0XW2	ECVDGTLLLGL	E1BF23H	AKPKLPAAPSPA	A0A0K6FSY2	SDRELGFSPPSPP	A0A3Q1	APGQKGGERG
A0A3Q1	YEKRGIVRKVNABE	F1MRD0	RPRHQGVVMVGMG	G3N1Y3	LVVYPWTQRF	E1BDJ9	QNLNSRPSFNRT	A0A3Q1	QNGGVDAIDHLSG	A0A3QPGPRAAGAAAAAG0XW2	ECVDGTLLLGL	E1BF23H	AKPKLPAAPSPA	F1MWF1U9	GPGVSVGSSCGA	A0A3Q1	LPGMPGPGLS
A0A3Q1	1N2Q9	HLDA	1N2Q9	GSVDNVFSQVCT	ASLSTFQQM	G3N1Y3	VVYPWTQ	E1BDJ9	PIPWLSSGEV	A0A3Q1LV49	LEALGHCLAH	F1MUC5	EASSVPTGGLTLP	P24763	ECVDGTLLLGL	F1MZF1MWS	LEKATQAHENIHS
A0A3Q1	YEKRGIVRKVNABE	F1MRD0	YADHNGPDHWHE	G3N1Y3	LVVYPWT	E1BDJ9	VNQNLNSRPSFN	A0A3Q1	QNGGVDAIDHLSG	A0A3Q1M0NO	EASSVPTGGLTLP	G0XWX	ECVDGTLLLGL	F1MZS	SGATGKMR	A0A3Q1	LPGPPGFGPP
A0A3Q1	1N2Q9	H	1N2Q9	REVQQGEEFERR	Q3SZX	G3N1Y3	LVVYPWTQR	Q8SQ24	VNQNLNSRPSFN	E1BHN	LEALGHCLAH	A0A3Q1M4P8	EASSVPTGGLTLP	G0XWP	ECVDGTLLLGL	F1MZS	LGPGSP
A0A3Q1	THLDALK	Q3SZX	DHNGPDHWHE	G3N1Y3	QASFQKV	Q8SQ24	LGKKISVPRD	E1BHN	QNGGVDAIDHLSG	A0A21KJL	LEALGHCLAH	A0A3Q1V	EASSVPTGGLTLP	G0XWP	ECVDGTLLLGL	F1MZS	EPNTLPGPTG
A0A3Q1	1N2Q9	Q3SZX	RPPQPIKGR	P02081	LVVYPWTQRF	Q8SQ24	TNRGSKMFKLR	A0A3Q1	QAGQLGLGLGWA	A0A3Q1	QAGPNPKP	A0A3Q1V	EASSVPTGGLTLP	G0XWP	ECVDGTLLLGL	F1MZS	APGQKGGERG
A0A3Q1	YERIAQPT	Q3SZX	WRPPQPIKGRIVK	P02081	VVYPWTQ	Q8SQ24	GAKAELPKYK	P07471	AKGDHGGTART	A0A21	ECVDGTLLLGL	A0A3Q1V	EASSVPTGGLTLP	G0XWP	ECVDGTLLLGL	F1MZS	LPGMPGPGLS
A0A3Q1	1N2Q9	Q3SZX	RPPQPIK	P02081	LVVYPWT	Q8SQ24	QAGPNPKP	P07471	ASAAKGDHGGT	A0A21ARTW	ECVDGTLLLGL	A0A3Q1V	EASSVPTGGLTLP	G0XWP	ECVDGTLLLGL	F1MZS	LGPGSP
P00570	KVNAEGSVDN	Q3SZX	WRPPQPIKGR	P02081	LVVYPWTQR	Q8SQ24	VNQNLNSRPSFN	A6QP89	FVEKPQGGTVK	A0A0K2	WSLLISVVFPRHS	A0A3Q1V	EASSVPTGGLTLP	G0XWP	ECVDGTLLLGL	F1MZS	EPNTLPGPTG
P00570	VCTHLDALK	Q3SZX	RPPQPIKGRIVK	P02081	QASFQKV	Q8SQ24	VNQNLNSRPSFN	A6QP89	FVEKPQGGTVK	A0A0K2	WSLLISVVFPRHS	A0A3Q1V	EASSVPTGGLTLP	G0XWP	ECVDGTLLLGL	F1MZS	APGQKGGERG
P00570	PGSGKGTQCEK	A0A3Q1	QNVVLPGPAPW	1MGE7	VEPTHKSIVEY	E1BHK1	VNQNLNSRPSFN	A6QP89	EAGTAPVK	A0A21	WSLLISVVFPRHS	A0A3Q1V	EASSVPTGGLTLP	G0XWP	ECVDGTLLLGL	F1MZS	LPGMPGPGLS
P00570	GSVDNVFSQVCT	A0A3Q1	1MQS4	GFRL	VEPTHKSIVEY	E1BHK1	RTPIPWLSSGEV	A6QP89	EAGTAPVK	A0A21	WSLLISVVFPRHS	A0A3Q1V	EASSVPTGGLTLP	G0XWP	ECVDGTLLLGL	F1MZS	LGPGSP
P00570	YERIAQPT	Q3SZX	ELPGVKIVHAQF	F1MGE7	ARVEPTHKSIVE	E1BHK1	LGKKISVPRD	Q08D17	TPMPFGGLVGE	A0A3Q1	ASAAKGDHGGT	A0A3Q1V	EASSVPTGGLTLP	G0XWP	ECVDGTLLLGL	F1MZS	EPNTLPGPTG
P00570	GSVDNVFSQVCT	A0A3Q1	1MQS4	YFEHKHNRVPK	ARVEPTHKSIVE	E1BHK1	TNRGSKMFCLR	Q08D17	RAVAVGSAKEV	A0A3Q1	ASAAKGDHGGT	A0A3Q1V	EASSVPTGGLTLP	G0XWP	ECVDGTLLLGL	F1MZS	APGQKGGERG
P00570	VDTKGFLIDGY	A0A3Q1	APNIPLEMELPGV	F1MGE7	RVPMTPV	E1BHK1	GAKAELPKYK	Q6T8D8	LPPVVPVSKPG	A0A3Q1	ASAAKGDHGGT	A0A3Q1V	EASSVPTGGLTLP	G0XWP	ECVDGTLLLGL	F1MZS	LPGMPGPGLS
P00570	REVQQGEEFERR	A0A3Q1	1MQS4	KIVHAQF	RVPMTPV	E1BHK1	QAGPNPKP	Q6T8D8	LPPVVPVSKPG	A0A3Q1	ASAAKGDHGGT	A0A3Q1V	EASSVPTGGLTLP	G0XWP	ECVDGTLLLGL	F1MZS	LGPGSP
P00570	THLDALK	A0A3Q1	1MQS4	LPGVKIVHAQF	RVPMTPV	E1BHK1	QAGPNPKP	Q6T8D8	LPPVVPVSKPG	A0A3Q1	ASAAKGDHGGT	A0A3Q1V	EASSVPTGGLTLP	G0XWP	ECVDGTLLLGL	F1MZS	EPNTLPGPTG
P00570	YERIAQPT	A0A3Q1	1MQS4	APNIPLEMELPGV	Q0VCV0	VEPTHKSIVE	E1BHK1	VNQNLNSRPSFN	A0A3Q1	ASAAKGDHGGT	A0A3Q1V	EASSVPTGGLTLP	G0XWP	ECVDGTLLLGL	F1MZS	APGQKGGERG	
P00570	GSVDNVFSQ	A0A3Q1	1MQS4	KIVH	VEPTHKSIVE	E1BHK1	RTPIPWLSSGEV	A0A3Q1	ASAAKGDHGGT	A0A3Q1V	EASSVPTGGLTLP	G0XWP	ECVDGTLLLGL	F1MZS	LPGMPGPGLS		
P00570	ERRIAQPT	A0A3Q1	EPTQPRQSGSFR	Q0VCV0	ARVEPTHKSIVE	E1BHK1	VNQNLNSRPSFN	F6RFU1	GGGGGGGGGGK	A0A3Q1	ASAAKGDHGGT	A0A3Q1V	EASSVPTGGLTLP	G0XWP	ECVDGTLLLGL	F1MZS	LGPGSP
P00570	ERRIAQPTL	A0A3Q1	1MQS4	LPGVKIVH	ARVEPTHKSIVE	E1BHK1	VNQNLNSRPSFN	F6RFU1	GGGGGGGGGGK	A0A3Q1	ASAAKGDHGGT	A0A3Q1V	EASSVPTGGLTLP	G0XWP	ECVDGTLLLGL	F1MZS	EPNTLPGPTG
Q32PH	VIILNHPGQISAG	P10175	YHLDNYKQSS	Q0VCV0	RVPMTPV	M5FMT6	FVTKPNPSPEPPA	A0A3Q1IND53	ASAAKGDHGGT	A0A3Q1	ASAAKGDHGGT	A0A3Q1V	EASSVPTGGLTLP	G0XWP	ECVDGTLLLGL	F1MZS	VVNTNVRPAS
Q32PH	VSL	P10175	TTAKPAKPTPTSPK	Q0VCV0	RVPMTPV	Q3B7M	FVTKPNPSPEPPA	F1Q573	ASAAKGDHGGT	A0A3Q1	ASAAKGDHGGT	A0A3Q1V	EASSVPTGGLTLP	G0XWP	ECVDGTLLLGL	F1MZS	VPDGLLS
Q32PH	VIILNHPGQISAG	P10175	EQAIG	VIILNHPGQISAG	RVPMTPV	Q3B7M	FVTKPNPSPEPPA	F1Q573	ASAAKGDHGGT	A0A3Q1	ASAAKGDHGGT	A0A3Q1V	EASSVPTGGLTLP	G0XWP	ECVDGTLLLGL	F1MZS	APGQKGGERG
Q32PH	VIILNHPGQISAGY	A0A3Q1	1N196	TTAVHIQPAH	A0A3Q1	VEKYNNTLKI	Q3SZE5	TGLPFVTAPNPK	A0A3Q1	ASAAKGDHGGT	A0A3Q1V	EASSVPTGGLTLP	G0XWP	ECVDGTLLLGL	F1MZS	LPGMPGPGLS	
Q32PH	SPV	Q3SZE5	1N196	TTAVHIQPAH	A0A3Q1	VEKYNNTLKI	Q3SZE5	TGLPFVTAPNPK	A0A3Q1	ASAAKGDHGGT	A0A3Q1V	EASSVPTGGLTLP	G0XWP	ECVDGTLLLGL	F1MZS	LGPGSP	
Q32PH	HDNPKSLKSGDA	A0A3Q1	1N196	QREPVISAVEQT	A0A3Q1	PLAKVIHDH	Q3SZE5	ASAAKGDHGGT	A0A3Q1	ASAAKGDHGGT	A0A3Q1V	EASSVPTGGLTLP	G0XWP	ECVDGTLLLGL	F1MZS	EPNTLPGPTG	
Q32PH	EMVMPGKPM	A0A3Q1	1N196	AQR	PLAKVIHDH	Q3SZE5	ASAAKGDHGGT	A0A3Q1	ASAAKGDHGGT	A0A3Q1V	EASSVPTGGLTLP	G0XWP	ECVDGTLLLGL	F1MZS	APGQKGGERG		
Q32PH	VIILNHPGQIS	A0A3Q1	1N196	QAVDMARVREPVISA	A0A3Q1	VEEQTAQR	Q3SZE5	ASAAKGDHGGT	A0A3Q1	ASAAKGDHGGT	A0A3Q1V	EASSVPTGGLTLP	G0XWP	ECVDGTLLLGL	F1MZS	LPGMPGPGLS	
Q32PH	VIILNHPGQISAGY	A0A3Q1	1N196	AVHQPAHEQIRK	A0A3Q1	KWGDAGAEY	Q3SZE5	ASAAKGDHGGT	A0A3Q1	ASAAKGDHGGT	A0A3Q1V	EASSVPTGGLTLP	G0XWP	ECVDGTLLLGL	F1MZS	LGPGSP	
Q29RP	VIIITHGEE	A0A3Q1	1N196	AILGSNLVLLAGS	A0A3Q1	VIIITHGEE	F1ME1	ASAAKGDHGGT	A0A3Q1	ASAAKGDHGGT	A0A3Q1V	EASSVPTGGLTLP	G0XWP	ECVDGTLLLGL	F1MZS	EPNTLPGPTG	
Q29RP	VIIITHGEE	A0A3Q1	1N196	AILGSNLVLLAGS	A0A3Q1	VIIITHGEE	F1ME1	ASAAKGDHGGT	A0A3Q1	ASAAKGDHGGT	A0A3Q1V	EASSVPTGGLTLP	G0XWP	ECVDGTLLLGL	F1MZS	APGQKGGERG	
Q29RP	VIIITHGEE	A0A3Q1	1N196	AILGSNLVLLAGS	A0A3Q1	VIIITHGEE	F1ME1	ASAAKGDHGGT	A0A3Q1	ASAAKGDHGGT	A0A3Q1V	EASSVPTGGLTLP	G0XWP	ECVDGTLLLGL	F1MZS	LPGMPGPGLS	
O0269	TGGAASGLGLATA	F1ME1	AILGSNLVLLAGS	A0A3Q1	VIIITHGEE	F1ME1	ASAAKGDHGGT	A0A3Q1	ASAAKGDHGGT	A0A3Q1V	EASSVPTGGLTLP	G0XWP	ECVDGTLLLGL	F1MZS	LGPGSP		
O0269	ERLVGQQATA	F1ME1	AILGSNLVLLAGS	A0A3Q1	VIIITHGEE	F1ME1	ASAAKGDHGGT	A0A3Q1	ASAAKGDHGGT	A0A3Q1V	EASSVPTGGLTLP	G0XWP	ECVDGTLLLGL	F1MZS	EPNTLPGPTG		
O0269	ITGGASGLGLAT	Q3SZ01	LVDHANNPNKKF	A0A3Q1	VIIITHGEE	F1ME1	ASAAKGDHGGT	A0A3Q1	ASAAKGDHGGT	A0A3Q1V	EASSVPTGGLTLP	G0XWP	ECVDGTLLLGL	F1MZS	APGQKGGERG		
Q29RP	VIIITHGEE	A0A3Q1	1N196	PGAGAPAGTGGGA	A0A3Q1	VIIITHGEE	F1ME1	ASAAKGDHGGT	A0A3Q1	ASAAKGDHGGT	A0A3Q1V	EASSVPTGGLTLP	G0XWP	ECVDGTLLLGL	F1MZS	LPGMPGPGLS	
Q29RP	YKNL	A0A3Q1	1N196	AAGAG	INDB6	VIIITHGEE	F1ME1	ASAAKGDHGGT	A0A3Q1	ASAAKGDHGGT	A0A3Q1V	EASSVPTGGLTLP	G0XWP	ECVDGTLLLGL	F1MZS	LGPGSP	
Q29RP	YKNL	A0A3Q1	1N196	QAGAG	INDB6	VIIITHGEE	F1ME1	ASAAKGDHGGT	A0A3Q1	ASAAKGDHGGT	A0A3Q1V	EASSVPTGGLTLP	G0XWP	ECVDGTLLLGL	F1MZS	EPNTLPGPTG	
Accession no. and sequences were derived from the UniProt database, taxonomy Bos taurus 9913 (46,765 sequences).																	

[별첨 3] 인체소화액(*In vitro* digestion) 모델 적용 후 한우고기에서 생성된 펩타이드 목록

Accession no.	Sequence (AAs)	Accession no.	Sequence (AAs)	Accession no.	Sequence (AAs)	Accession no.	Sequence (AAs)	Accession no.	Sequence (AAs)	Accession no.	Sequence (AAs)	Accession no.	Sequence (AAs)	Accession no.	Sequence (AAs)	Accession no.	Sequence (AAs)		
A0JN5J	AAAPAPAPAPAPAPA PAPPK	P02192	SDAIHV	P02465	NGLQQLPGLAGH	P19858	IFKFIIPNIVK	P68138	KIIAPPERK	Q08DP0	SHNPGPNGDFGIK	Q3SX4	HVGSSDDHGSEH	Q9XSC6	GIWHNDN	A0A140 T897	LIVRYTR	A0A3Q1 M165	KIEFTPPE
A0JN5J	KVLGNPSNEEM	P02192	LFTGHPE	P02465	EGPVGLP	P19858	MIGLYG	P68138	KIKIAPPERK	Q08DP0	GEESFGTGSVDHI	Q3SX4	PSLKPWT	Q9XSC6	KDLFDPI	A0A140 T897	LKECCDKPL	A0A3Q1 M165	PEPS
A0JN5J	PAPAPAPAPPKEE	P02192	TALGGILKK	P02465	GATGPAGV	P19858	DLQHGS	P68138	MKILTERG	Q08DP0	TGEHDFGAA	Q3SX4	LKEPITV	Q9XSC6	QGSIDDMIPA	A0A140 T897	LRLAKEY	A0A3Q1 M165	KIEFTPPE
A0JN5J	PAPAPAPAPPK	P02192	IHLVHLAKHPS	P02465	LGPGVNP	P19858	ILGEHGHDSSVPV W	P68138	KIAPPE	Q08DP0	IAKGIIIL	Q3SX4	EISHPDSLKPVW	Q9XSC6	MWNEHLG	A0A140 T897	YEIARRHPY	A0A3Q1 M165	MDFDTFLPM
A0JN5J	PAPAPAPPKEE	P02192	EFISDAI	P02465	EGPVGPGIDGRP	P19858	WILGEHGHDSSVPV WS	P68138	ANNVMSGTTMYP GIAD	Q08DP0	PVDGSISR	Q3SX4	SSAENEPPVPL	Q9XSC6	GIWHNDNK	A0A140 T897	ANKYNGVF	A0A3Q1 M165	KEPEFDP
A0JN5J	PAPAPAPPK	P02192	KHGNNTVL	P02465	GEPEGPAGAVGPAGA VGPR	P19858	VQRNVNF	P68138	SYELPDGQVI	Q08DP0	LRNIFDFN	Q3SX4	ADHNCPD	Q9XSC6	AEELYPDLS	A0A140 T897	DAFLGSFL	A0A3Q1 M1H0	AAAPIQSPLPVIE HO
A0JN5J	TLSQVGDVL	P02192	EFISDAII	P04985	AGVLPGVGVGGPG	P19858	VAGVSLKNLHPEL	P68138	VAPEEHPT	Q08DP0	HGVVGPY	Q3SX4	HLHWGSSD	Q9XSC6	KAEEEYPD	A0A140 T897	VELLKKPKATE	A0A3Q1 M1H0	AAAPIQSPLPVIF Q
A0JN5J	PAPAPAPPKEEK	P02192	KIPVKYL	P04985	FPGFFGAGGGAAAG AAA	P19858	MKDLADEV	P68138	NWDDMEK	Q08DP0	SVEDILKDHWQ	Q3SX4	SHDPSLKPWT	Q9XSC6	SIDDMPA	A0A140 T897	DKLKHLVD	A0A3Q1 M1H0	AAAPIQSPLPVIP IPH
A0JN5J	TLSQVGD	P02453	GLTGPIGPP	P04985	FPIGGGAGG	P19858	SVADLAESIMKNL	P68138	NVPIYEG	Q08DP0	EDFGHHPD	Q3SX4	HNGPDHW	Q9XSC6	KDLFDPIIJD	A0A140 T897	LYYANKYNGVF	A0A3Q1 M1H0	AAPIQSPLOVIPH
A0JN5J	KVLGNPSNEE	P02453	STCISVPGPMGPGSP R	P04985	EPIGGGAGGLGVGC K	P19858	ITIVGVGAVG	P68138	IVLDSDGTVTHN	Q08E14	GAGGVAAIAGVGA EKA	Q3SX4	HLVHWNSKYN	Q9XSC6	GVNDNPGHPFIM	A0A140 T897	KADEKKFWGKYL	A0A3Q1 M1H0	AAPIQSPLOVIF H
A0JN5J	PAPAPAPPKEEK	P02453	GETGPAGPAGPIGP V	P10096	VIISAPSADAMFV	P19858	IIIPNIVK	P68138	SIVGRPR	Q08E14	SPCPAGPRGPVG	Q3SX4	HLHWGSSD	Q9XSC6	FKDLFDPI	A0A1B0 Z542	LRGPSWDPF	A0A3Q1 M1H0	SPLPVIPH
A0JN5J	KVLGNPSNE	P02453	VPGPMGPGSPR	P10096	RVIIAPSADAPM	P20004	INGPFTPDLAHPV	P68138	EKSYELPDGQVITIG N	Q08E14	GSPGPAGPRGPVG	Q3SX4	LLLKEPI	Q9XSC6	KGKYPL	A0A1B0 Z542	LHSHGWPGYV	A0A3Q1 M1H0	ASRPPWVTDD
A0JN5J	PAPAPAPPK	P02453	GISVPGPMGPGSPR	P10096	AINDPFIDLH	P20004	WRPGSGIIHQ	P68138	IIINWDDMEK	Q08E14	PPGPRGGAGGPPGPE GGKGA	Q3SX4	KEISHDPSLKPW	Q9XSC6	TLDDVQTGVDNPGH PFI	A0A1B0 Z542	KYTLPPGVDP	A0A3Q1 M1H0	SPLPVIPHQ
A0JN5J	EFEQFLPM	P02453	GEPGPTIQGPP	P10096	VIISAPSADAPM	P30086	PVDLSKWSGPL	P68138	MYPGIAD	Q0III1	GSGSGSGPGSGGAG GPGOH	Q3SX4	GENQSPIEL	Q9XSC6	LFDPIIJD	A0A1B0 Z542	VSLDNVNHF	A0A3Q1 M1H0	TGPGPWG
A0JN5J	IDLSAIK	P02453	GETGPAGPAGPIGP VGA	P10096	INDPFIDLH	P33097	FSFTGLNPK	P68138	GIITNWDD	Q0III1	FIPTVGGQLGTAG G	Q3SX4	ADHNCPDHW	Q9XSC6	VNEEDHL	A0A1B0 Z542	VSLDNVNHF	A0A3Q1 M1H0	KDLTVDSASP
A0JN5J	AAAPAPAPAPAPA	P02453	DLSFLPQPQPEK	P10096	MFQYDSTHKG	P33097	VSSPTWENHNGV	P68138	PSIVGRPRHQGVVM	Q0III1	YENHDPV	Q3SX4	EISHPDSLKPW	Q9XSC6	QLIDDHF	A0A1B0 Z542	RGPSWDPF	A0A3Q1 M1H0	SRPPWVTDD
A0JN5J	KVLGNPSNEEM	P02453	DLSFLPQPQPE	P10096	VKVGVNGFCR	P33097	FSFTGLNPKQVE	P68138	AVFPSIV	Q0III1	FIPTVGGQL	Q3TOV2	VGVPAI	Q9XSC6	DDHFLFDKPVSP	A0A1B0 Z542	LSHSGWP	A0A3Q1 M1H0	GSDFSGSLP
A0JN5J	KIEFEQFLPM	P02453	RGPAGPQGPQR	P10096	VKVGVNGFC	P33097	FNEWTNGNV	P68138	SFTVTAER	Q0III1	FIPTVGGQLGT	Q3ZBP1	WINEEDHT	Q9XSC6	DDHFLFDKPVSP	A0A2Z4 HHC6	NSITGKAVV	A0A3Q1 M1H0	SKRPIP
A0JN5J	VLGPNPSNEEM	P02453	QGPPGEGPGEPGASO PMGPR	P10096	VIISAPSAD	P33097	IANDSSINHEYLP I	P68138	FIGMESAGI	Q0III1	FIPTVGGQLG	Q3ZBP1	ADLDFPVK	Q9XSC6	FLFDKPVSP	A0A3Q1 LGS0	MLAGPAAAISIKS	A0A3Q1 M1H0	AAPIQ
A0JN5J	MKEEEVE	P02453	ISVPGPMGPGSPR	P10096	VAINDPFIDLH	P33097	VFKLTAD	P68138	TLKYPIEH	Q0III1	SNRPSFN	Q3ZBP1	ADLDFPVK	Q9XSC6	GVNDNPGHPFI	A0A3Q1 LJ98	AVVEGFQPI	A0A3Q1 M1H0	THKPIEV
A0JN5J	FEQFLPM	P02453	TGPIGPP	P10096	AINDPFIDLH	P33097	IANDSSINHEYLP	P68138	IVLDSDGTVTHN	Q0P5G8	LSDLAH	Q4VQD	VFPSPVGRPK	Q9XSC6	GVNDNPGHPF	A0A3Q1 LJK4	TAAAALGP	A0A3Q1 M1N2	VDGAPAGGK
A0JN5J	AAAPAPAPAPAPAP	P02453	GPSGPQPGSPGP	P10096	HDHFGIVEG	P49410	AKPGSIQPH	P68138	LRAVAPEEHPTL	Q0P5L7	LLGVGTPV	Q4VQD	PSIVGRPK	Q9XSC6	LFDKPVSP	A0A3Q1 LKD6	DPKPGGAPT	A0A3Q1 M304	LVIPFTVQKGEL TGE
A0JN5J	MKEEEVEA	P02453	GPSGPQGPSPGP	P10096	AKVIIHDHF	P68138	SYELPDGQVITIGN ER	P68138	EKMTQIM	Q148C2	IFRASGEHVTDE	Q4VQD	DLDIRKDL	Q9XSC6	FDKPVSP	A0A3Q1 LGS2	AGGAAAAACGGGAA	A0A3Q1 M304	KFNDHEIIPDS
A0JN5J	VFDKEGNNTVM	P02453	GLTGPIGPP	P10096	RVPTPNVS	P68138	FIGMESAGI	P68138	HTNDDMEK	Q148C2	AEIFRASGEHVTDE	Q5E956	TGEISPGMIK	Q9XSC6	QTGVNDNPGHPF	A0A3Q1 LMV5	ALPQHLPKF	A0A3Q1 M304	AEAHIPGSPF
A0JN5J	VFDKEGNNTVM	P02453	TGPIGPPGP	P10096	IIISAPSADAPM	P68138	VLDSDGTVTHN PIYEG	P68138	YVIAQAVL	Q148C2	LKMMEGVQ	Q5E956	KNNLGEI	Q9XSC6	LFDKPVSP	A0A3Q1 LMV9	VLSAATATVS	A0A3Q1 M304	NDEHIPDS
A0JN5J	VFDKEGNNTVMG	P02453	GLTGPIGPPGPAGA P	P10096	NDPFIDLH	P68138	ANNVMSGTTM P	P68138	EYDEAGPSIV	Q148C2	IFRASGEHVTDE	Q5E956	AYEPVWA	Q9XSC6	GVNDNPGHP	A0A3Q1 LP35	VGPGSAGAPG	A0A3Q1 M304	NGAHPGSPF
A0JN5J	VFDKEGNNTVM	P02453	GETCPAGPAGPIGP VGA	P10096	IKWDGAGAE	P68138	GMESAGIHET	P68138	EAPLNPK	Q148C2	RIFDRNADG	Q5E956	AFTGEISPGMIK	Q9XSC6	FDKPVSP	A0A3Q1 L061	ADGAGGAGGPGGAG	A0A3Q1 M304	FAEAHIPGSPF
A0JN5J	HVLATLGEK	P02453	PGPMGPGSPR	P10096	HDHFGIVE	P68138	EYDEAGPSIVH	P68138	SAGIETT	Q148C2	FLKMMEGVQ	Q5E956	HVFGESDE	Q9XSC6	LFDKPVSP	A0A3Q1 LOC6	HKLVIDDV	A0A3Q1 M304	AFGPGLLEGGLV NKA
A0JN5J	VFDKEGNNTVMGA	P02453	QGPPGEGPGE	P10096	RVPTPNVS	P68138	SYELPDGQVITIGN E	P68138	WITKQEY	Q148C2	RIFDRNADGY	Q5EAE83	VFEEDIGGR	Q9XSC6	LFDKPVSP	A0A3Q1 LOC6	WRPPDKIGAGGIDG	A0A3Q1 M304	DEHIDEPDS
A0JN5J	FDKEGNNTVM	P02453	KGEAGPSGPAGPTO A	P10096	VIISAPSADAPM	P68138	EKSYELPDGQVITI GNE	P68138	MKILTERG	Q148C2	FLKMMEG	Q5EAE83	GMVDFKPL	A0A060	GLGSPGVDVAMA	A0A3Q1 LOC6	VEISDPDPL	A0A3Q1 M304	LGPGLEGLLV
A0JN5J	DKEGNNTVM	P02453	GLTGPIGPP	P10096	ISAPSADAPM	P68138	YELPDGQVITIGN E	P68138	IGMESAGI	Q148F8	RLPPGVDP	Q5K47	KLVIIEGDL	A0A060	VEWQPPKDDGNE	A0A3Q1 LOC6	FGGEHIPNSPF	A0A3Q1 M304	FGGEHIPNSPF
A0JN5J	EDFVEGL	P02453	GLTGPIGPPGPAGA P	P10096	MFQYDSTHKG	P68138	KDLYANNVMSG TTMPCGIAD	P68138	LYKPIEH	Q148F8	ASAPLGLSAPG	Q5K47	LKGTEDELD	A0A060	MLGVGAIA	A0A3Q1 LOC6	ISDPDPLK	A0A3Q1 M304	RQHVPGSPF
F1MUG_2	NLPGAGPASHQ	P02453	AGPPGPGPGPAGKE	P10096	KWGDAGAE	P68138	IGMESAGIHET	P68138	GPX	Q148F8	PSIVGRPRHQGVVM	Q5K47	VIIEGDL	A0A060	HVNILDKLT	A0A3Q1 LOC6	VWEPPKYDGRPV	A0A3Q1 M304	WVAGARG
M5FK56	LLGGGGPAAVGGP GG	P02453	GLTGPIG	P10096	DFNSDTH	P68138	YIEG	P68138	VLDSGDGVTHN	P68138	KIKIAPPER	Q148H2	DPPVCKPVGPAA	Q5K47	VIIEGDL	A0A140 T897	VELLKHPKATEEQ	A0A3Q1 LOC6	QVAVGARG
M5FK56	QAVVGARG	P02453	DLSFLPQPPQ	P10096	FQYDSTHKG	P68138	ELPDGQVITIGN	P68138	FIGMESA	Q148H2	VELPLSPVILEKPA	Q5K48	LKGTEDEVE	A0A140	DKLKHLVDEPQN	A0A3Q1	VVEISDPDPL	A0A3Q1	GGPQHIVGSPF

M5FK56	LGDTRGAMATAPYSYS	P02453	GEPPQGPGR	P10096	RVPTPNVS	P68138	GMESAGIHETT	P68138	ATAASSSLE	Q148H2	PSLIPVILEKPA	Q5KR48	KLVILEGELE	T897	LOC6	M304	
O62654	GGAPSPLGSPL	P02453	GPAGPQGPGR	P10096	AFRVTPTNVS	P68138	QEYDEAGPSIVH	P68138	NWDDMEKI	Q148H2	KPVGPPAAPKPA	Q5KR48	TIDDLEDEV	A0A140	DKLKHLVDEPQNL	A0A3Q1	
O62654	MDMSKPDLT	P02453	DGEAGAQGP	P10096	FRVPTPNVS	P68138	VFPSPIVGRPR	P68138	TLKPIE	Q148H2	VVIEFNKDQL	Q5KR49	LKATEDELD	A0A140	FKDLGEEHFKG	A0A3Q1	
O62654	TFGGAPSPLGSPL	P02453	SVPGMGPGSPR	P10096	FQYDSTHG	P68138	YDEAGPSIVH	P68138	THNVIYE	Q148H2	QEPPIDL	Q5KR49	SKOLEDELV	A0A140	TPDETYVPKAFL	A0A3Q1	
O62654	TFGGAPSPL	P02453	GPSGPQQGPSPGPP	P10096	AINDPFID	P68138	GIITNWDDMEK	P68138	SYELPDGVQVITIGNE	Q148H2	AKPAVGPPPS	Q5KR49	KLVIIESDLE	A0A140	SALTPDETYVPKA	A0A3Q1	
O62654	FGGAPSPL	P02453	GPPGPMGP	P10096	FRVPTPNVS	P68138	VLDSDGVTHNVPIYE	P68138	DIDIJKDL	Q148H2	DFETFLPM	Q5KR49	LKATEDE	A0A140	LYYANKYNGV	A0A3Q1	
O77834	LPFPPIIDDKN	P02453	GPSGPQQGPSPGPPG	P10096	FRVPTPN	P68138	AVFPSIVGRPR	P68138	KYSWIGGSIL	Q148H2	VELPSLIPV	Q5KR49	AISEELDHALNDM	A0A140	EKLGEYGFQNA	A0A3Q1	
O77834	NGEEPTEKLPFPI	P02453	DLSFLPQPQPK	P10096	VIPELNG	P68138	IGMESAGIHETTYN	P68138	VFPSPIVGRP	Q148H2	VELPSLIPV	Q5KR49	SEALKDAQE	A0A140	KADEKKFWGK	A0A3Q1	
O77834	LPFPPIIDDK	P02453	DGEAGAQGP	P10096	FRVPTPNV	P68138	AGFAGDDAPR	P68138	GYALPHAIM	Q148H2	FETFLPM	Q5KR49	SQKEDKYEEEIK	A0A140	DTHKSEIAHRF	A0A3Q1	
O77834	MPGGLLLG	P02453	QGPPGEPEP	P10096	AINDPFIDL	P68138	AVFPSIVGRP	P68138	FPSIVGRP	Q148H2	VELPSLI	Q5KR49	EDKYEEEIK	A0A140	TRKVQVSTPT	A0A3Q1	
P00125	LSDYFPKPYPNPPE	P02453	GPSGPQQGPSPGPPGK	P10096	GAAQNIIPA	P68138	DDMEKIWHHT	P68138	YALPHAIM	Q148H2	QEPPIDL	Q7SIB2	GFPTPLIGAPGF	A0A140	YYANKYNGV	A0A3Q1	
P00125	SDLEHPPSYWPW	P02453	GLTGPICP	P10096	DAGAGIALNDHF	P68138	HQGVMVGMGQK	P68138	TLKPIEH	Q28100	GLGPVGVAvgVG	Q7SIB2	MREKVLTSSA	A0A140	PDPLLK	A0A3Q1	
P00125	DYFPKPYPNPE	P02453	QGPPGEPEP	P10096	VGVNGFG	P68138	RVAPEEHPTL	P68138	YASGRRTGIVL	Q28100	VVPVGVGVPVGVG	Q7SIB2	WVDPDPPEAV	A0A140	DLNLKIPGNW	A0A3Q1	
P00125	ELHPPSYWPW	P02453	GPSGPQQGPSPGPPGPK	P10096	RVIISAPS	P68138	SYELPDGQVITI	P68138	PSIVGRP	Q2KHU5	GLGPVGVAvgVG	Q7SIB2	TKPFMPIAPT	A0A140	APGNGL	A0A3Q1	
P01966	SHLPSDFTPA	P02453	RGEPGPAGLPGPPGER	P10096	FRVPTPNVS	P68138	FPSIVGRPR	P68138	ALPHAIM	Q2KIU1	VVPVGVGVPVGVG	Q7SIB2	EKLGEGYGFQNAL	A0A140	FGRPIPSPF	A0A3Q1	
P01966	ASHLPSDFTPA	P02453	GANGAPIAGAP	P12234	RLPRPPPPEMPE	P68138	VGMGQKDSYVGD	P68138	EAQSKR	Q2KJY1	ALPHAIMRL	Q32PH8	APGNGLGLPGVIGA	A0A140	WEPPKYDGGRPV	A0A3Q1	
P01966	PHFDLSHGSA	P02453	PPGSAGSPGKDGLNGLP	P12234	LPRPPPPEMPE	P68138	MQKEITALAPSTM	P68138	YSVWIGGSIL	Q32PH8	HGDNMLEPSPNMP	Q8MKH6	TKPFMPIAPT	A0A140	APGNGL	A0A3Q1	
P01966	AVEHLLDLPGLA	P02453	GLTGPICP	P12344	WAHVEMGPPDPI	P68138	GFAGDDAPR	P68138	VFPSPIVG	Q32PH8	MLEPSPNMPW	Q8MKH6	VIPHPGTAPF	A0A140	VIPHPGTAPF	A0A3Q1	
P01966	AVEHLLDLPGA	P02453	LTGSPGSPGP	P12344	WAHVEMGPPDILC	P68138	VLDSDGVTH	P68138	TLKPIEH	Q32PH8	VETGILRPGM	Q8MKH6	YIPHPGTAPF	A0A140	APGNGL	A0A3Q1	
P02070	LLVVPWT	P02453	DLGAPGP	P12344	WAHVEMGPPDIL	P68138	IGMESAGIH	P68138	SVWIGGSIL	Q32PH8	KIGGITVPGV	Q9BE40	APGNGL	A0A140	APGNGL	A0A3Q1	
P02070	LLVVPWT	P02453	GLTGPICP	P12344	DVFLPKPT	P68138	EKSYELPDGQVITI	P68138	TLKPIE	Q32PH8	EALDTILPPTRPTD	Q9BE40	WEPPKYDGGRPV	A0A140	APGNGL	A0A3Q1	
P02192	NAWGKVEADVAC	P02459	EQGPKGECPGAGP	P12344	LPKPTWGNHTPI	P68138	DSYVGDEAQ	P68138	YALPHAIMRL	Q32PH8	ALAK	Q9BE40	TKPFMPIAPT	A0A140	APGNGL	A0A3Q1	
P02192	NAWGKVEADVAC	P02459	GAPGPAGEEGKRG	P12344	DVFLPKPT	P68138	LTEAPLNPK	P68138	TKPIEH	Q32PH8	ALAK	Q9BE40	WEPPKYDGGRPV	A0A140	APGNGL	A0A3Q1	
P02192	SDAIILHVLAHKHPS	P02459	ARGEPPGAGA	P12344	AHVEMGPPDIL	P68138	LAGRDLLTDYL	P68138	SVWIGGSIL	Q32PH8	LLASIDVDH	Q9BE40	TKPFMPIAPT	A0A140	APGNGL	A0A3Q1	
P02192	SDAIILHVLAHKH	P02459	NEGEKGEVGGPAGA	P12344	WGNHTPI	P68138	GMESAGIHET	P68138	RLDLAGRDLT	Q32PH8	NTGWLDKNKDPL	Q9BE40	WEPPKYDGGRPV	A0A140	APGNGL	A0A3Q1	
P02192	SDAIILHVLAHKHPSD	P02465	KGANGECPKA	P12344	GEPPGAGAVGPAG	P13620	LTLPKPPAIDWA	P68138	YALPHAIMRL	Q32PH8	Q9BE40	LLHDLFQDGE	Q9BE40	WEPPKYDGGRPV	A0A140	APGNGL	A0A3Q1
P02192	SDAIILHVLAHKHPSD	P02465	GEPPGAGAVGPAGP	P13620	LTLPKPPAIDWA	P68138	GIITNWDDM	P68138	YALPHAIMRL	Q32PH8	Q9BE40	WEPPKYDGGRPV	A0A140	APGNGL	A0A3Q1		
P02192	AIIHVLHAKHPSD	P02465	GEAGPAGPAGPAG	P13620	LTLPKPPAIDWA	P68138	QAYEDAAEEFH	P68138	YALPHAIMRL	Q32PH8	Q9BE40	WEPPKYDGGRPV	A0A140	APGNGL	A0A3Q1		
P02192	AIIHVLHAKHPSD	P02465	HGDQGAPGAVGPA	P13620	ATLPKPPAIDWA	P68138	FAGDDAPR	P68138	YALPHAIMRL	Q32PH8	Q9BE40	WEPPKYDGGRPV	A0A140	APGNGL	A0A3Q1		
P02192	HKIPVKYLE	P02465	GELGPVGNP	P13620	ATLPKPPAIDWA	P68138	VAPEEHPTLL	P68138	YALPHAIMRL	Q32PH8	Q9BE40	WEPPKYDGGRPV	A0A140	APGNGL	A0A3Q1		
P02192	ANKHKIPVKYLE	P02465	EGPVGLP	P13620	PYWPHRP	P68138	TLKPIEH	P68138	YALPHAIMRL	Q32PH8	Q9BE40	WEPPKYDGGRPV	A0A140	APGNGL	A0A3Q1		
P02192	IHHVLHAKHPSD	P02465	GAVGPAGAVGPR	P19858	WILGEHGSSV	P68138	MEEPVTIPDKPNSE	P68138	YIYE	Q32PH8	Q9BE40	WEPPKYDGGRPV	A0A140	APGNGL	A0A3Q1		
P02192	HPSDFGADAQ	P02465	VGPAGAVGPR	P19858	NLHPELGTADKEO	P68138	YAWKISGP	P68138	TKPIEH	Q32PH8	Q9BE40	WEPPKYDGGRPV	A0A140	APGNGL	A0A3Q1		
P02192	SDAIILHVH	P02465	HGDQGAP	P19858	WILGEHGSSV	P68138	EDAAEEFH	P68138	YAWKISGP	Q32PH8	Q9BE40	WEPPKYDGGRPV	A0A140	APGNGL	A0A3Q1		
P02192	FISDAIIHV	P02465	AGPAGPAGPAGPR	P19858	NLHPELGTADKEQ	P68138	MKILTERGYS	P68138	EDAAEEFH	Q32PH8	Q9BE40	WEPPKYDGGRPV	A0A140	APGNGL	A0A3Q1		
P02192	FISDAIIHV	P02465	EGPVGLP	P19858	KNLHPELGTAD	P68138	TLKPIEH	P68138	EDAAEEFH	Q32PH8	Q9BE40	WEPPKYDGGRPV	A0A140	APGNGL	A0A3Q1		
P02192	HKIPVKYL	P02465	GHGDQGAP	P19858	YAWKISGP	P68138	MEEPVTIPDKPN	P68138	EDAAEEFH	Q32PH8	Q9BE40	WEPPKYDGGRPV	A0A140	APGNGL	A0A3Q1		
P02192	SDAIILHV	P02465	RGSTCEIGPAGPPG	P19858	NLHPELGTADKE	P68138	LLTEAPLNPK	P68138	EDAAEEFH	Q32PH8	Q9BE40	WEPPKYDGGRPV	A0A140	APGNGL	A0A3Q1		
P02192	EFISDAIIHV	P02465	SGETGASGP	P19858	WILGEHGSSV	P68138	DEAGPSIVH	P68138	EDAAEEFH	Q32PH8	Q9BE40	WEPPKYDGGRPV	A0A140	APGNGL	A0A3Q1		
P02192	SDAIILHVLA	P02465	GPNDSGRP	P19858	SVADLAESIMK	P68138	LDSDGVTH	P68138	EDAAEEFH	Q32PH8	Q9BE40	WEPPKYDGGRPV	A0A140	APGNGL	A0A3Q1		

P02192	ANKHKIPVKYL	P02465	RGSTGEIGPAGPPGPP	P19858	LLVSNPVDIL	P68138	LDLAGRDLTDYL	Q05JF3	VFKGDEVIE	Q3SZE5	FSKEEIDQM	Q9BE40	IHYAGTVD	T897	M0V5	MC60	V
P02192	ANKHKIPVKY	P02465	SGETGASGPP	P19858	LVVSNPVDIL	P68138	LTEAPLNPKANR	Q05JF3	DAAEFFHPYIPF	Q3SZE5	LKEAPGPI	Q9N1P0	FSSAIPAT	A0A140	FKDLGEEH	A0A3Q1	ILPPDAVPF
P02192	ISDAIIHV	P02465	GDRGEAGPAGPACPAGPR	P19858	LGEHGDSVPPVWS	P68138	MQEITALAPST	Q05JF3	ETWEDDD	Q3SZE5	KVFDPPEG	Q9XSC6	TLDDVIQTVGDNDP	A0A140	SQKFPKAE	A0A3Q1	VHIMPDIPQII
P02192	EFSDAIIH	P02465	GPNGDSGRPGEP	P19858	MIKGLYGIKEDV	P68138	TLKYPIEH	Q05JF3	WIDPDDFPLLVP	Q3SZE5	KVFDPPEGK	Q9XSC6	VIQTGVNDNPGHPF	A0A140	YANKYNGVF	A0A3Q1	SHVMPDTPEI
P02192	AIIHVLHAK	P02465	SGETGASGPP	P19858	LVVSNPVDILT	P68138	TEAPLNPK	Q05JF3	IDPDDFPLLVP	Q3SZE5	AAFPDV	Q9XSC6	TVFKDLDFPIQD	A0A140	EIARRHPYF	A0A3Q1	HVMPDTPD
P02192	FISDAIIHVLHA	P02465	GPNGDSGRP	P19858	KNLHPELGTADKEQ	P68138	DSCDGVTNHNPVPIQ	Q05JF3	LDVLEDPV	Q3SZE5	KVFDPPEG	Q9XSC6	LVVVNEEDHL	A0A140	YYANKYN	A0A3Q1	ADLAGNPELILPV
P02192	VEADVAGH	P02465	AGPAGAAQQP	P19858	KNLHPELGTADKEQWV	P68138	LKYPIEH	Q05JF3	KLGLTEED	Q3SZX4	HLHWGSSDDHGSE	Q9XSC6	VIQTGVNDNPGHP	A0A140	YVPKADEK	A0A3Q1	AGNPELILPV
P02192	HKIPVKY	P02465	GSTGEIGPAGPPGP	P19858	NLHPELGTADK	P68138	SVWIGGSILA	Q05JF3	AEFFHPYIPF	Q3SZX4	GYADHNGPDHW	Q9XSC6	KDLFDPIQD	A0A140	TPDETYVPK	A0A3Q1	GIGWLPEGS
P02192	FISDAIIHVLHAKHPSD	P02465	RGSTGEIGPAGPP	P19858	ITIVGVAVGM	P68138	RVAPEEHPT	Q05JF3	EEGLDFPE	Q3SZX4	LHWGSSDDHGSE	Q9XSC6	VVNEEDHL	A0A140	TYVPKAF	A0A3Q1	RLPVDTPH
P02192	LFTGHPET	P02465	NGAQGPP	P19858	KFIIPNIVK	P68138	LMKILTERG	Q05JF3	LYHEPPEDDKA	Q3SZX4	ADHNGPDHW	Q9XSC6	FKKAGHPF	A0A140	DTHKSEIAHFRKDLGE	A0A3Q1	IQIVGDDLTVTNPK
P02192	TALGGILK	P02465	EGPVGLP	P19858	VAWKISGFPK	P68138	RVAPEEHPTLL	Q05JF3	TFNIDLAPQ	Q3SZX4	SHDPSLKPW	Q9XSC6	HGGFKPTD	A0A140	FVEVTKL	A0A3Q1	KFDIKVDAIPL
P02192	LEFISDAIIH	P02465	GSVGPVGAGPI	P19858	NLHPELGTAD	P68138	DSCDGVTNHNPVPIQEG	Q05JF3	ETWEDDDLG	Q3SZX4	EISHDPSLKPW	Q9XSC6	PGFNTHN	A0A140	HVKLVNE	A0A3Q1	FNVINGSHAGNK
P02192	YKVLFGHG	P02465	GPNGDSGRP	P19858	LLVSNPVDILT	P68138	KIKIAPP	Q05JF3	FHPYIPF	Q3SZX4	SHDPSLKPW	Q9XSC6	HGGFKPT	A0A140	ARRHPYF	A0A3Q1	YGKDATNVGDEGGFA
P02192	AIIHVLH	P02465	SGETGASGP	P19858	KFIIPNIVKY	P68138	LKYPIEH	Q05JF3	WIDPDDFPLL	Q3SZX4	EISHDPSLKPWT	Q9XSC6	DLFDPIQ	A0A140	HLVDEPQ	A0A3Q1	WVDDDLTVTNPK
P02192	FISDAIIH	P02465	GPNGDSGRPGEP	P19858	MDLQHGSL	P68138	IVLDSGDGVTH	Q05JF3	WIDPDDFPL	Q3SZX4	SHDPSLKPWT	Q9XSC6	GIWHNDNKS	A0A140	SLHTLFG	A0A3Q1	FNVINGSHAGN
P02192	ISDAIIH	P02465	OTGPAGARGPPGP	P19858	FIIPNIV	P68138	KIKIAPP	Q05JF3	WIDPDDFPLL	Q3SZX4	DHNGPDHW	Q9XSC6	DLFDPIQD	A0A140	HVKLVNEL	A0A3Q1	DATNVGDEGGFAPN
P02192	HPSDFGADA	P02465	GPNGDSGR	P19858	ILGEHGDSVPPV	P68138	VLDSDGVTHNPV	Q08D17	GPLVGETLPR	Q3SZX4	HNGPDHW	Q9XSC6	TLDDVIQTVGDVN	A0A140	KDLGEEHFKGLV	A0A3Q1	KLGWEEA
P02192	ISDAIIHVLHAK	P02465	EGPVGLP	P19858	KISGFPK	P68138	EITALAPSTMK	Q08D17	NKTPMPF	Q3SZX4	HLHWGSSDD	Q9XSC6	GGNMKEVFR	A0A140	TPDETYVPK	A0A3Q1	WVNGGSHAGNK
P02192	GLSDGEWQ	P02465	NGLQLP	P19858	VVSNPVDIL	P68138	SYELPDQG	Q08DN5SPMVLPLMPK	Q3SZX4	NWRPPQPI	Q9XSC6	HGGFKPTDK	A0A140	FSQYQLQC	A0A3Q1	TAPLDMPL	
P02192	AESHANKHIPV	P02465	GPNGDSGRP	P19858	RYLMGER	P68138	NVMSGTTMYPG	Q08DP0	IRAMAHGVVGPY	Q3SZX4	HLHWGSSDDH	Q9XSC6	KAEEYYPDLS	A0A140	ADEKKFWGK	A0A3Q1	MILPVG
P02192	KIPVKYLE	P02465	IRGDKEPGDK	P19858	LVVSNPVD	P68138	VAPEEHPTL	Q08DP0	DAHMGVVGPy	Q3SZX4	HLHWGSSDDHGSE	Q9XSC6	WVNEEDHL	A0A140	EVTKLVTDL	A0A3Q1	WVNGGSH
P02192	FRNDMAAQ	P02465	GSDGSVGPVGAGP	P19858	ITIVGVAVGM	P68138	LAGRDLTDYL	Q08DP0	IVRIAAAANGICRL	Q3SZX4	HLHWGSSDD	Q9XSC6	GFTLDDVIQ	A0A140	SVARLSQKFPK	A0A3Q1	WVNGGSHAGN
P02192	FISDAIIHVLHAK	P02465	AGPSGPNGPP	P19858	VIIAGAR	P68138	THNVPYEG	Q08DP0	DAHMGVVGPy	Q3SZX4	LLLKEPITV	Q9XSC6	KAEEYYPDLSK	A0A140	YANKYNGVF	A0A3Q1	QIVGDDLTVTNPK
P02192	FTGHPET	P02465	GEQGPAGPP	P19858	SADTLWGIQK	P68138	AVFPSIVG	Q08DP0	LFADGSRIIF	Q3SZX4	HELPFNA	Q9XSC6	KDLFDPIQ	A0A140	WELLKHPK	A0A3Q1	IMPDTPEIM
P02192	KVLGFHG	P02465	AVGPAGPR	P19858	NLHPELGT	P68138	DDMEKIW	Q08DP0	EDFCGHHDPN	Q3SZX4	LLLKEPITV	Q9XSC6	VWVNEEDHL	A0A140	TPDETYVPK	A0A3Q1	GHNTP
P02192	LEFISDAI	P02465	KGAAGLPGVAGAP	P19858	KFIIPNIV	P68138	GIINTWD	Q08DP0	FSIYFQQTGVVRG	Q3SZX4	LLLKEPITV	Q9XSC6	TLDDVIQT	A0A140	YANKYNGVF	A0A3Q1	KDTQLHLDDAIR
A0A3Q1MP4	TLSTSLGGPGAP	A6QLL8	VEPEILPDGDHD	B0JYK6	FKDIVNM	F1MM0	DVFVPPDKE	F1MR0	QGTLEDQIISANPL	F1MR0	SISDNAYQ	G3X7N4	MIIGGMA	A5D984	VLTGWRPGSGFTNT	A6QP89	IKVVDIPD
A0A3Q1MP4	TLSTSLGGPGAP	A6QLL8	VEPEILPDGDHD	B0JYK6	NDTHPSLAIP	F1MM0	SPGVIDNPLV	F1MR0	KREGIEW	F1MR0	FFKAGLLG	G3X7N4	ESPERF	A5D984	VDPLEVSEKDIQDNL	A6QP89	WTTPRDDGNTA
A0A3Q1MOTS	FQSLAGLM	A6QLL8	PEILPDGDHD	B0JYK6	ALERWPVHL	F1MM0	TLEDQMNEH	F1MR0	QGTLED	F1MR0	QLDLVDK	G3X7N4	GRPDGVMPD	A5D984	LSGETAKGDYPLEA	A6QP89	HVVDPPKINLD
A0A3Q1MSA0	LLDDGTLMI	A6QLL8	PHQYPAITPE	B0JYK6	QDPLFKDIVNM	F1MM0	LFDNHLG	F1MR0	KEQDQVFPMNPKF	F1MR0	KLEGDLK	G3X7N4	VNDAFGTAH	A5D984	VLTGWRPGSGF	A6QP89	LSVLDLKPL
A0A3Q1MTT3	LLPGELA	A6QLL8	ADDGRPFPPQ	B0JYK6	TNHTVLPE	F1MM0	NIIGWLQK	F1MR0	CTVKEQDQVFPMNPKF	F1MR0	KMEGDLNEM	G3X7N4	VGVNLPK	A5D984	RGDLGIEIPAECV	A6QP89	SVDLKPL
A0A3Q1MVF0	INNLFGAPT	A6QLL8	EGTLLKPNM	E1B7X2	DGGSTLLTGFPE	F1MM0	AGFDTPIE	F1MR0	KMEGDLNEM	F1MR0	KMEGDLNEM	G3X7N4	MIIGGMA	A5D984	DGLGIEIPAECV	A6QP89	WRPPDQIGAAG
A0A3Q1N3L7	KYLPHDVVI	A6QLL8	LEGLLKP	E1B810	EPAAGPAGGA	F1MM0	SPGVIDNPL	F1MR0	KEDQVFPMNPKF	F1MR0	KMEGDLNEM	G3X7N4	LESUPERF	A5D984	TGWPGSGF	A6QP89	EDASPPGGLPP
A0A3Q1N4E3	LLQAGANVNAITI	A6QLL8	PEILPDGDHD	E1B8K0	PGGGGGVPGK	F1MM0	LEQHVDD	F1MR0	CNLTEEMAGLDETF	F1MR0	MEGDLNEM	G3X7N4	FHVEEG	A5D984	VARGDLGIEIPAECV	A6QP89	TWDPPLYD
A0A3Q1N84R	GFPNPPDLDIMNKPP	A6QLL8	KADDGRPFPPQ	E1B8K0	SESSAPGPPHGA	F1MM0	GFDTPIEK	F1MR0	KDTQIHLDDALRGQ	F1MR0	FDKIEDMA	G3X7N4	FHVEEGK	A5D984	QTQQLHAAMADT	A6QP89	WTTPRDDGNTA
A0A3Q1NE05	PAGGGGGSGGAGGAG	A6QLL8	LEGTLKPN	E1B896	AGGGPLIQVDPGV	F1MM0	KSPGVID	F1MR0	EDQVFPMNPKF	F1MR0	FDKIEDM	G3X7N4	IGGGMA	A5D984	KVVDVGSKIY	A6QP89	LAPAPAPPPEEPN
A0A3Q1NE05	VIGKGGET	A6QLL8	TVPPAVPGIT	E1B8A9	NNYGVLLHELGLDE	F1MM0	AGFDTPIEK	F1MR0	TKLEQQVDDLEGSL	F1MR0	VDDLEGSL	G3X7N4	TIGGGDT	A5D984	TGWPGSGFTNT	A6QP89	WTTPDQI
A0A3Q1N96PPW	QAQPTTMMPPGPEVPP	A6QLL8	KALSDHHYL	E1BBP4	GGVVLKDLGP	F1MM0	KKDFELN	F1MR0	EDQVFPMNPKF	F1MR0	FFKAGLLG	G5E5P7	QNSLRDEI	A5D984	LSGETAKGDYPL	A6QP89	EAPMFTQPL
A0A3Q1N96PW	QAQPTTMMPPGPEVPP	A6QLL8	TVPPAVPGITFL	E1BBD9	EPGVGLDAD	F1MM0	OLENDKQ	F1MR0	EDQVFPM	F1MR0	FKAGLLGL	I1XC73	ICTGVPPHL	A5D984	VALDTKGPEIR	A6QPA6	LATDSDAIDIL
A0A3Q1N96PPW	QAQPTTMMPPGPEVPP	A6QLL8	KALSDHHY	E1BDK6	rSPCGHVL	F1MM0	LLGSLDIDHNO	F1MR0	QDQVFPMNPKF	F1MR0	QDQVFPMNPKF	J7SA71	HSK7TAPDTCL	A5D984	GFFKKGDDV	A6OOQSSDLEHVPHL	IWEDIFPK



DJW7				7	F1MGE	FNPPDLDIMDRPPR	7	F1MM0	GTLEDQIQ	2	F1MME	DIPKPPSNIIPS	2	F1MRC	GTLEDQIISANPL	2	G3MZF	LLPLPEE	F1MRC2	VKHWPWM	7	F1MGETALGFNPPDLDIMDRP PR	A6QP89	VIDRPGPPQL
A0A452LKGADPE	A6QP89	YKNPVYE		7			7																	
DJW7																								
A4FV05DLGSLGLVE	A6QP89	RSENPDPST		F1MGE	LGFNPPDLDIMDRPPR	F1MME	CDKLIDPKPPSNIIIP	F1MME	SVAGWPEPR		F1MRC	RIHFGTGKLA		G3N377	RVPSGVAPSV		F1MRC2	FRENLNKL		F1MP21	SISNSAEDPFIAIHAD	F1MMY0	VFGAAHGLIFIP	
A4FV05TISVPGPPGP	A6QP89	LEIPISGEPPPKA		F1MGE	DIVPGDIVEV	F1MME	DIPKPPSNIIPS	F1MME	SQEHKFPTVPV		F1MRC	LITTNPY		F1MGE	VPMTGPV		F1MRC2	QEAPPHIF		F1MP21	SISNSAEDPFIAIHAD	A6QP89	KFTITGLPTDS	
A4FV99GETGAAGLK	A6QP89	WRPPDQIGA	A6QP89	DFDFTEAPM	A6QP89	NGEEIIPGPK	A4IFK4	GPAPPPPWPQAP	A4IFK4	AGPAPPPPWPQAP	A4IFK4	KPFPGSGNQPATP	A4IFK4	TAKPFPGSGNQPATP	A4IFK4	FPAPPPY								

Accession no. and sequences were derived from the UniProt database, taxonomy *Bos taurus* 9913 (46,765 sequences).

본 보고서에 대한 지적재산권은 한우자조금관리위원회에 있으며, 본 연구결과 및 내용의 일부 또는 전부를 인용하는 경우에는 한우자조금관리위원회 자료를 인용하였음을 반드시 명기해야함. 이러한 내용을 명기한 경우에만 사전 승인 없이 무상으로 인용할 수 있음.